

67695



T.C.
ULUDAĞ ÜNİVERSİTESİ
FEN BİLİMLERİ ENSTİTÜSÜ
Tekstil Mühendisliği Anabilim Dalı

**2, 3, 4 ÇÖZGÜ - ÖRGÜ HAREKETLERİYLE
ELDE EDİLEN ÇÖZGÜLÜ OTOMAT
ÖRME DOKULARININ FİZİKSEL VE GEOMETRİK
YAPI ÖZELLİKLERİNİN ARAŞTIRILMASI**

YÜKSEK LİSANS TEZİ

Erkan TÜRKER

Danışman:

Prof. Dr. Mehmet TASMACI

BURSA, Eylül 1997

T.C.
ULUDAĞ ÜNİVERSİTESİ
FEN BİLİMLERİ ENSTİTÜSÜ
TEKSTİL MÜHENDİSLİĞİ ANA BİLİM DALI

2,3,4 ÇÖZGU - ORGÜ HAREKETLERİYLE ELDE
EDİLEN ÇÖZGÜLÜ OTOMAT ÖRME DOKULARININ
FİZİKSEL VE GEOMETRİK YAPI ÖZELLİKLERİNİN
ARAŞTIRILMASI.

YÜKSEK LİSANS TEZİ

ERKAN TÜRKER

Sınav Günü

Jüri Üyeleri

24.10.1997

:Prof. Dr. Mehmet TASMACI (Danışman)

Prof. Dr. H. Rıfat ALPAY

Yrd. Doç. Dr. Recep EREN

BURSA , EYLÜL 1997

ÖZ

2,3,4 ÇÖZGÜ - ÖRGÜ HAREKETLERİYLE ELDE EDİLEN ÇÖZGÜLÜ OTOMAT ÖRME DOKULARININ FİZİKSEL VE GEOMETRİK YAPI ÖZELLİKLERİNİN ARAŞTIRILMASI.

Bu çalışma; 2,3,4 yatırım raylı ve E 28,32,40 incelikli çözgülü otomat örtme makinaları için yapılmıştır. Her yatırım rayındaki iplik numaraları ve kumaşın sıra sıklığının değişmediği kabul edilmiştir. İplik 50 denye polyester ve sıra sıklığı: 20 (Sıra/cm) olarak alınmıştır.

Bu esaslara göre 2,3,4 yatırım raylı makinalar için ayrı ayrı Üç boyutlu ilmek modeli geliştirilmiş ve Üç incelik ve Üç farklı yatırım rayı sayısına göre fransé, triko tuch, satin, samt ilmeklerinin eş - zit yatırımlarıyla kapalı ve açık şekilleri için ilmeklerin rack değeri , kumaş ağırlığı , örtme faktörü ,kumaş kalınlığı ,kumaş yoğunluğu değerleri hesaplanmıştır.

Hesaplanan değerler çizelgeler ve grafikler haline getirilerek birbirleri arasında karşılaştırma yapılmıştır.

Çalışma esas olarak beş bölümden oluşmaktadır.

Birinci bölümde (Giriş), çalışmanın amacı ve kapsamı;

İkinci bölümde (Kaynak araştırması), konu ile ilgili temel kaynak bilgileri;

Üçüncü bölümde,(Materyal ve Metod), önce gerekli materyal ve çalışma ortamı bilgileri ; sonada değerlendirme yöntemleri açıklanmıştır.

Dördüncü bölümde (İmek modelleri bulguları) , Çalışmada kabul edilen ilmek modeli oluşturulmuş ve bulguları verilmiştir.

Beşinci bölümde (Tartışma ve Sonuç) , İmek modeline göre elde edilen çeşitli kumaşların değerleri arasında karşılaştırma yapılarak sonuçları değerlendirilmiştir.

Elde edilen bulgular kumaşlarda rack değerleri, kumaş ağırlığı , örtme faktörü kumaş kalınlığı ve kumaş yoğunluğu değerlerinin birbirleri arasındaki ilişkiler tartışılarak çizelge ve şekil halinde gösterilmiştir.

ABSTRACT

AN INVESTIGATION OF PHYSICAL AND GEOMETRIC STRUCTURAL PROPERTIES OF WARP KNITTED FABRICS MANUFACTURED 2,3,4 WARP YARN MOTIONS.

this study was made for tricot machines which has 2,3,4 guide bars and fineness of 28,32,40 .It was assumed that yarn count and fabric count in each guide bar was not changed.Yarn count and fabric count were taken as 50 denier poliester and 20 (row/cm)respectively.

According to these assumptions ,3D model of loop was developed for each 2,3,4 guided bar machines, and rack value of loops , fabric weight , cover factor , fabric thickness ,fabric density values were calculated for open and close figures of franse , triko,tuch,satin,samt loops which have three fineness and three guide bars.

A comparison was made between calculated values and the results were given in tables and figures.

This study consist of five chapters.

In the first chapter(Introduction) scope and aim of the study,

In the second chapter (Literature review) ,fundamental knowledgws related to the subject.

In the third chapter (Material and method) , material used in the study and working conditions were given , then evaluation methods were explained.

In the fourth chapter(Loop model results), loop model accepted in this study were developed and its results were given.

In the fifth chapter ,(Discussion and results) , a comparision was made for the results obtained from the model , and the results were evaluated,

The results obtained from the specieus were discussed and relations between walues were given in the forms of table and figure.

İÇİNDEKİLER

	<u>Sayfa</u>
ŞEKİLLER DİZİNİ	
ÇİZELGELER DİZİNİ	
TERİMLER VE SEMBOLLER	
1.GİRİŞ.	1
1.1. Amaç ve Kapsam.	1
1.2. Çözgülü Örme ve Çözgülü Otomat makinalarının gelişimi.	1
1.3. Çözgülü Örmenin ekonomik yapısı.	3
2.KAYNAK ARAŞTIRMASI.	5
2.1. Çözgülü Otomat makinaları	5
2.1.1. Örme elemanları	5
2.1.1.1. İğneler	5
2.1.1.2. Platınlar	6
2.1.1.3. Delikli İğneler ve delikli İğne rayları	6
2.1.2. Tahrik mekanizmaları	6
2.1.2.1. İğne tahrik mekanizması	6
2.1.2.2. Platin tahrik mekanizması	7
2.1.2.3. Yatırım raylarının tahrik mekanizması	7
2.1.3. Desenlendirme Ünitesi	8
2.1.4. Kumaş çekme sistemi	8
2.1.5. Çözgülü salma mekanizması	9
2.2. Çözgülü örme kumaşların geometrik ve fizikal özelliklerine etki eden faktörler.	10
2.2.1. İpliğiñ hammaddesi	11
2.2.2. İpliğiñ üretilim teknolojisi	11
2.2.3. İpliğiñ bakım miktari ve yöndü	14
2.2.4. Makina özelliklerü	15
2.2.4.1. Makina türü	15
2.2.4.2. Makina incelligi	15
2.2.4.3. İğne rayı adedü	18
2.2.4.4. Yatırım rayı adedü	18
2.2.5. Kullanılan ilmekin yapısı ve özellikleri.	21
2.2.5.1. Çözgülü Otomat örme makinalarında ilmek oluşumu	21
2.2.5.2. Eş yatırım.	23
2.2.5.2.1. Kapali ilmek.	23
2.2.5.2.2. Açık ilmek.	24
2.2.5.3. Zıt yatırım.	24
2.2.5.3.1. Kapali ilmek.	24
2.2.5.3.2. Açık ilmek.	25

	<u>Sayfa</u>
2.2.6. Örme İşlemi esnasında oluşan kuvvetlerin analizi.	25
2.2.6.1. Çözgү gerilimi	25
2.2.6.1.1. Çözgү salma sisteminin kuvvet analizi .	25
2.2.6.1.2. İplik yolundaki gerdirme sistemlerinin analizi .	26
2.2.6.2. Kumaş çekme sistemi kuvvet analizi .	29
2.2.6.3. Oluşan kuvvetlerin makinada gösterilmesi .	30
3. MATERİYAL VE METOD	32
3.1. Materyal.	32
3.1.1. İlmek modelinde kullanılan iplik özellikleri.	32
3.1.2. Uygulamada esas alınan makina özellikleri.	32
3.2. Metod.	32
3.2.1. Model oluşturmada gözönüne alınan ilmek modelleri.	32
3.2.1.1. Allison ilmek modell.	32
3.2.1.2 . Grosberg ilmek modell .	33
3.2.1.3. Makina durumu modell .	34
3.3. Kumaşların fiziksel ve geometrik özelliklerinin karşılaştırılmasında model alınan hesaplama yöntemleri.	36
3.3.1. Kumaş ağırlığının hesaplanması.	36
3.3.2. Kumaş (mm) kalınlığının hesaplanması .	37
3.3.2.1. İki yatırım raylı makinada örülen kumaşların kalınlık değerleri.	37
3.3.2.2. Üç yatırım raylı makinalarda örülen kumaşların kalınlığı.	38
3.3.2.3. Dört yatırım raylı makinalarda örülen kumaşların kalınlığı.	39
3.3.3. Kumaş yoğunluklarının hesaplanması.	40
3.3.4. Kumaş örtme faktörlerinin hesaplanması.	40
3.3.5. İki , Üç , dört yatırım raylı makinalarda elde edilen yeni ilmek modellerine göre karşılaştırılma faktörlerinin hesaplanması.	42
4 .İKİ , ÜÇ , DÖRT YATIRIM RAYLI ÇÖZGÜ OTOMAT ÖRME MAKİNALARINDA ÖRÜLEN KUMAŞLARIN FİZİKSEL VE GEOMETRİK ÖZELLİKLERİNE ETKİ EDEN İLMEK MODELLERİNİN İNCELEME BULGULARI.	43
4.1. İki yatırım raylı makinalarda ilmek modelleri.	43
4.1.1. Eş yatırım .	43
4.1.1.1. Ön ve arka raylarda kapalı ilmek modell.	43
4.1.1.2. Ön ve arka raylarda açık ilmek modell.	45
4.1.1.3. Ön yatırım rayı kapalı , arka yatırım rayı açık ilmek modell	46
4.1.2. Zıt yatırım.	46
4.1.2.1. Ön ve arka raylarda kapalı ilmek modell.	46

	<u>Sayfa</u>
4.1.2.2. Ön ve arka raylarda açık ilmek modell.	47
4.1.2.3. Ön yatırım rayı kapalı , arka yatırım rayı açık ilmek modell.	48
4.2. Üç yatırım raylı makinalarda ilmek modelleri.	50
4.2.1. Eş yatırım .	51
4.2.1.1. Üç yatırım rayında kapalı ilmek modell .	51
4.2.1.2. Üç yatırım rayında açık ilmek modell .	52
4.2.1.3. Yatırım raylarında açık ve kapalı ilmek modell kombinasyonları .	53
4.2.2. Zıt yatırım .	53
4.2.2.1. Üç yatırım rayında kapalı ilmek modell.	53
4.2.2.1.1. İlk yatırım rayı zıt , 2. ve 3. yatırım rayları eş yatırım .	53
4.2.2.1.2. İkinci yatırım rayı zıt , 1. ve 3. yatırım rayları eş yatırım .	53
4.2.2.1.3. Üçüncü yatırım rayı zıt , 1. ve 2. yatırım rayları eş yatırım .	54
4.2.2.2. Üç yatırım rayında açık ilmek modell.	54
4.2.2.3. Açık ve kapalı ilmek modell kombinasyonları .	54
4.3. Dört yatırım raylı makinalarda ilmek modelleri.	56
4.3.1. Eş yatırım .	57
4.3.1.1. Dört yatırım rayında kapalı ilmek modell.	57
4.3.1.2. Dört yatırım rayında açık ilmek modell.	58
4.3.1.3. Yatırım raylarında kapalı ve açık ilmek modell kombinasyonları.	59
4.3.2. Zıt yatırım .	59
4.3.2.1. Dört yatırım rayında kapalı ilmek modell.	59
4.3.2.2. Dört yatırım rayında açık ilmek modell.	61
4.3.2.3. Dört yatırım rayında açık ve kapalı ilmek modell kombinasyonları .	61
4.4. İki,dört raylı makinalarda franse ilmeği kullanılması durumunda ilemek modeli	62
4.5. İmek modellne göre sabit tutulan parametrelerin değiştirilmesi durumunda kumaş özelliklerine etkileri.	65
4.5.1. Makina İncelliği .	65
4.5.2. Sıra sıklığı .	66
4.5.3. İplik numaraları.	66
4.5.4. Yatırım (Eş,zıt) .	66
4.5.5. İmek tipi (Açık - Kapalı).	67
4.5.6. Yatırım rayı taharı.	67
5. TARTIŞMA VE SONUÇ	68
5.1. Tartışma	68
5.1.1. İki yatırım raylı makinalarda örülmüş kumaşların karşılaştırılması.	68

	<u>Sayfa</u>
5.1.1.1. E 28 incelikli makinalarda örülen kumaşların karşılaştırılması.	68
5.1.1.1.1. Rack değerlerinin karşılaştırılması .	68
5.1.1.1.2. Ağırlık değerlerinin karşılaştırılması .	70
5.1.1.1.3. Örtme faktörü değerlerinin karşılaştırılması .	71
5.1.1.1.4. Kumaş kalınlığı .	71
5.1.1.1.5. Yoğunluk değerlerinin karşılaştırılması .	72
5.1.1.2. E 32 incelikli makinalarda örülen kumaşların karşılaştırılması.	74
5.1.1.2.1. Rack değerlerinin karşılaştırılması .	74
5.1.1.2.2. Ağırlık değerlerinin karşılaştırılması .	76
5.1.1.2.3. Örtme faktörü değerlerinin karşılaştırılması .	77
5.1.1.2.4. Kumaş kalınlığı .	77
5.1.1.2.5. Yoğunluk değerlerinin karşılaştırılması .	78
5.1.1.3. E 40 incelikli makinalarda örülen kumaşların karşılaştırılması.	79
5.1.1.3.1. Rack değerlerinin karşılaştırılması .	79
5.1.1.3.2. Ağırlık değerlerinin karşılaştırılması .	81
5.1.1.3.3. Örtme faktörü değerlerinin karşılaştırılması .	82
5.1.1.3.4. Kumaş kalınlığı .	83
5.1.1.3.5. Yoğunluk değerlerinin karşılaştırılması .	84
5.1.2. Üç yatırım raylı makinalarda örülülmüş kumaşların karşılaştırılması.	85
5.1.2.1. E 28 incelikli makinalarda örülen kumaşların karşılaştırılması.	85
5.1.2.1.1. Rack değerleri.	85
5.1.2.1.2. Ağırlık değerlerinin karşılaştırılması .	87
5.1.2.1.3. Örtme faktörü değerlerinin karşılaştırılması .	88
5.1.2.1.4. Kumaş kalınlığı .	89
5.1.2.1.5. Yoğunluk değerlerinin karşılaştırılması .	90
5.1.2.2. E 32 incelikli makinalarda örülen kumaşların karşılaştırılması.	91
5.1.2.2.1. Rack değerleri.	91
5.1.2.2.2. Ağırlık değerlerinin karşılaştırılması .	93
5.1.2.2.3. Örtme faktörü değerlerinin karşılaştırılması .	93
5.1.2.2.4. Kumaş kalınlığı .	94
5.1.2.2.5. Yoğunluk değerlerinin karşılaştırılması .	95
5.1.2.3. E 40 incelikli makinalarda örülen kumaşların karşılaştırılması.	96
5.1.2.3.1. Rack değerleri.	96
5.1.2.3.2. Ağırlık değerlerinin karşılaştırılması :	98
5.1.2.3.3. Örtme faktörü değerlerinin karşılaştırılması :	99
5.1.2.3.4. Kumaş kalınlığı :	99
5.1.2.3.5. Yoğunluk değerlerinin karşılaştırılması :	100

	<u>Sayfa</u>
5.1.3. Dört yatırım raylı makinalarda örülü kumaşların karşılaştırılması.	101
5.1.3.1. E 28 İncelikli makinalarda örülen kumaşların karşılaştırılması.	101
5.1.3.1.1. Rack değerlerinin karşılaştırılması.	101
5.1.3.1.2. Ağırlık değerlerinin karşılaştırılması .	103
5.1.3.1.3. Örtme faktörü değerlerinin karşılaştırılması .	104
5.1.3.1.4. Kumaş kalınlığı .	105
5.1.3.1.5. Yoğunluk değerlerinin karşılaştırılması .	105
5.1.3.2. E 32 İncelikli makinalarda örülen kumaşların karşılaştırılması.	106
5.1.3.2.1. Rack değerleri.	107
5.1.3.2.2. Ağırlık değerlerinin karşılaştırılması .	108
5.1.3.2.3. Örtme faktörü değerlerinin karşılaştırılması .	109
5.1.3.2.4. Kumaş kalınlığı .	110
5.1.3.2.5. Yoğunluk değerlerinin karşılaştırılması .	111
5.1.3.3. E 40 İncelikli makinalarda örülen kumaşların karşılaştırılması.	112
5.1.3.3.1. Rack değerleri.	112
5.1.3.3.2. Ağırlık değerlerinin karşılaştırılması .	114
5.1.3.3.3. Örtme faktörü değerlerinin karşılaştırılması .	115
5.1.3.3.4. Kumaş kalınlığı.	116
5.1.3.3.5. Yoğunluk değerlerinin karşılaştırılması .	116
5.1.4. İki yatırım raylı ve üç yatırım raylı makinada örülen kumaşların karşılaştırılması .	118
5.1.4.1.Rack değerleri	119
5.1.4.2.Ağırlık	119
5.1.4.3.Örtme faktörü	119
5.1.4.4. Kumaş kalınlığı .	119
5.1.4.5. Kumaş yoğunluğu	120
5.1.5. İki yatırım raylı ve dört yatırım raylı makinada örülen kumaşların karşılaştırılması .	120
5.1.5.1.Rack değerleri	122
5.1.5.2.Ağırlık	122
5.1.5.3.Örtme faktörü	122
5.1.5.4. Kumaş kalınlığı	122
5.1.5.5. Kumaş yoğunluğu	122
5.1.6. Üç yatırım raylı ve dört yatırım raylı makinada örülen kumaşların karşılaştırılması.	123
5.1.6.1.Rack değerleri	124
5.1.6.2.Ağırlık	124

	<u>Sayfa</u>
5.1.6.3. Örtme faktörü.	124
5.1.6.4. Kumaş kalınlığı	125
5.1.6.5. Kumaş yoğunluğu	125
5.2. Sonuç	126
5.2.1. Rack değerleri.	127
5.2.2. Kumaş ağırlığı.	127
5.2.3. Örtme faktörü.	128
5.2.4. Kumaş kalınlığı.	128
5.2.5. Kumaş yoğunluğu.	128
5.2.6. Örgü türleri.	128
5.2.6.1. Franse	128
5.2.6.2. Triko.	129
5.2.6.3. Tuch.	129
5.2.6.4. Satin.	129
5.2.6.5. Samt.	129

ÖZET

KAYNAKLAR

TEŞEKKÜR

ÖZGEÇMİŞ

6.EKLER

6.1. Grafikler

6.2. Bilgisayar programı.

ŞEKİLLER DİZİNİ

	Sayfa
Şekil 2.1. Çözgү otomat örme makinası genel görünüşü.	5
Şekil 2.2. Sorgulу ve esnek uçlu iğneler.	5
Şekil 2.3. Çözgү otomat örme makinası platini ve platin bloğu.	6
Şekil 2.4. Çözgү otomat örme makinası iğne rayı tahrık mekanizması.	6
Şekil 2.5. Çözgү otomat örme makinası platin rayı tahrık mekanizması.	7
Şekil 2.6. Çözgү otomat örme makinası yatırıım rayı tahrık mekanizması.	7
Şekil 2.7. Çözgү otomat örme makinası desenlendirme sistemi.	8
Şekil 2.8. Çözgү otomat örme makinası kumaş çekme sistemi.	8
Şekil 2.9. Çözgү otomat örme makinası çözgү salma sistemi ve regülatör Ünitesi.	9
Şekil 2.10. Polyester İpliklerin kopma dayanımlarının İflerin kıvırcıklık derecesine bağlı değişimi.	14
Şekil 2.11 : Farklı İnceliklerde kullanılan iğnelere göre minimum İlmek sırası sıkılıkları	16
Şekil 2.12. Kumasın maksimum enden çekme miktarının tahliminlenmesi İçin ilmek modell	18
Şekil 2.13.A,B,C,D : Nm 5 - 90 arasındaki İpliklerin çalışabilecekleri makina İncelikleri	19-20
Şekil 2.14: Çözgү otomat makinası zamanlama diyagramı	21
Şekil 2.15: Örүү elemanıların ana millin 0° deki pozisyonları	22
Şekil 2.16. : Eş yatırımlı kapalı ilmeklerde örme anındaki ve kumaş Üzerindeki görünümleri.	23
Şekil 2.17. : Eş yatırımlı açık ilmeklerde örme anındaki ve kumaş Üzerindeki görünümleri.	24
Şekil 2.18. : Zit yatırımlı kapalı ilmeklerin kumaş Üzerindeki görünümleri.	24
Şekil 2.19. Çözgү otomat makinalarında çözgү salma sistemi kuvvet analizi	25
Şekil 2.20. İplik yolu ve İpliğe etkileyen kuvvetler.	26
Şekil 2.21. Makina dönüş açısına göre İplikteki gerilm değişimleri.	28
Şekil 2.22. Çözgү otomat makinalarının kumaş çekme sistemi ve etkileyen kuvvetler	29
Şekil 2.23. Çözgү otomat örme makinasında ilmek düşürme pozisyonu.	30
Şekil 2.24 . ilmek düşürme esnasında etkileyen kuvvetler.	30
Şekil 3.1. Allison ilmek modell.	33
Şekil 3.2 . Grosberg ilmek modell	34
Şekil 3.3 . Makina durumu ilmek modell	35
Şekil 3.4. Makina durumu ilmek modelinde bağlantı noktaları uzunlukları.(Tek yatırım rayı)	35

	Sayfa
Şekil.3.5.Iki raylı makinada ilmek başı ipliklerinin alabileceğî pozisyonlar.	38
Şekil.3.6 .Üç yatırım raylı makinada örülümuş kumaşlarda ilmek başı ipliklerinin yerleşimi .	39
Şekil.3.7.Dört yatırım raylı makinada örülümuş kumaşlarda ilmek başı ipliklerinin yerleşimi .	40
Şekil . 3.8 . İki raylı bir kumaşta bağlı noktaları.	41
Şekil . 3.9 . İki rayda örülümuş ilmeklerde kesişme bölgeleri.	42
Şekil . 4.1. İki yatırım raylı makinada ön ve arka raylarda eş yatırım rayı ile örülüş ilmek bağlantısı.	43
Şekil . 4.2. Farklı iplik çaplarında arka yatırım rayı ilmeği bağlantı noktalarının çap artışı	44
Şekil . 4.3 .Ön ve arka yatırım raylarındaki ipliklerin eş yatırımla oluşturduğu açık ilmek ayak bağlantıları.	45
Şekil . 4.4 . Ön yatırım rayı kapalı , arka yatırım rayı açık ilmek	46
Şekil . 4.5 . Zıt yatırım , arka ve ön yatırım rayı kapalı ilmek modelinde arka ilmek ayak bağlantısı	47
Şekil . 4.6 . Arka ve ön yatırım raylarının açık ilmek yapması halinde ilmek ayaklarının bağlantıları.	47
Şekil . 4.7 . Üç yatırım raylı makinada ilmek oluşum modell.	50
Şekil . 4.8 . Üç yatırım rayında oluşturulan eş yatırımlı kapalı ilmeklerin ayak uzunlukları	51
Şekil . 4.9 . Üç yatırım rayında eş yatırımla oluşturulan ilmeklerin ayak bağlantıları.(Bir önceki sıradaki ilmekten gelen ilmek ayakları)	51
Şekil . 4.10 . Eş yatırımlı açık ilmek modell.	52
Şekil . 4.11 . Üç yatırım rayında örülümuş ilmeklerde zıt yatırım modell.	53
Şekil . 4.12. Dört yatırım raylı makinada örülen ilmek modell	57
Şekil.4.13.Eş yatırım yapan dört yatırım rayında oluşan ilmek ayak bağlantıları.	57
Şekil . 4.14. Dört yatırım rayında açık ilmek	58
Şekil . 4.15 . Dört yatırım raylı makinalarda zıt yatırım ilmek modell	60
Şekil 4.16. Kapalı ve açık franse ilmeği makina durum modell.	62
Şekil.5.1. İki yatırım raylı makinalarda örülen kumaşların Rack değerleri.	68
Şekil.5.2.Aynı yatırım rayında örülen aynı tip ilmeklerin kapalı / açık oranları.	69
Şekil.5.3. Farklı yatırım rayında örülen aynı tip ilmeklerin Rack değerleri oranı.	70
Şekil.5.4: İki yatırım raylı E28 Incelikli makinalarda örülen kumaşların rylara göre ağırlık değerleri.	70

	<u>Sayfa</u>
Şekil : 5.5. İki yatırım raylı E 28 İncelikli makinalarda kumaş ağırlığının yatırım raylarına göre dağılımının % cinsinden dağılımı.	71
Şekil : 5.6. İki yatırım raylı E 28 İncelikli makinalarda kumaş örtme faktörü değerleri.	71
Şekil.5.7. İki yatırım raylı makinalarda örülən eş yarımılı kapalı, zit yarımılı kapalı ve eş-zit yarımılı açık ilmekli kumaş kalınlığı.	72
Şekil : 5.8. İki yatırım raylı E 28 İncelikli makinalarda örülən kumaşların yoğunluk değerleri.	73
Şekil.5.9. İki yatırım raylı makinalarda örülülmüş kumaşların Rack değerleri.	74
Şekil .5.10. Aynı yatırım rayında örülən aynı tıp ilmeklerin kapalı / açık oranları.	75
Şekil.5.11. Farklı yatırım rayında örülən aynı tıp ilmeklerin Rack değerleri oranı.	76
Şekil.5.12: İki yatırım raylı E32 İncelikli makinalarda örülən kumaşların raylara göre ağırlık değerleri.	76
Şekil:5.13. İki yatırım raylı E 32 İncelikli makinalarda kumaş ağırlığının yatırım raylarına göre dağılımının % cinsinden dağılımı.	77
Şekil : 5.14. İki yatırım raylı E 32 İncelikli makinalarda kumaş örtme faktörü .	77
Şekil.5.15. İki yatırım raylı makinalarda örülən eş yarımılı kapalı, zit yarımılı kapalı ve eş-zit yarımılı açık ilmekli kumaş kalınlığı.	78
Şekil : 5.16. İki yatırım raylı E 32 İncelikli makinalarda örülən kumaşların yoğunluk değerleri.	79
Şekil.5.17. İki yatırım raylı makinalarda örülülmüş kumaşların Rack değerleri.	80
Şekil .5.18. Aynı yatırım rayında örülən aynı tıp ilmeklerin kapalı / açık oranları.	80
Şekil.5.19. Farklı yatırım rayında örülən aynı tıp ilmeklerin Rack değerleri oranı.	81
Şekil.5.20: İki yatırım raylı E40 İncelikli makinalarda örülən kumaşların raylara göre ağırlık değerleri.	82
Şekil : 5.21. İki yatırım raylı E 40 İncelikli makinalarda kumaş ağırlığının yatırım raylarına göre dağılımının % cinsinden dağılımı.	82
Şekil : 5.22. İki yatırım raylı E 4C İncelikli makinalarda kumaş örtme faktörü .	82
Şekil.5.23. İki yatırım raylı makinalarda örülən eş yarımılı kapalı, zit yarımılı kapalı ve eş-zit yarımılı açık ilmekli kumaş kalınlığı.	83
Şekil : 5.24. İki yatırım raylı E 40 İncelikli makinalarda örülən kumaşların özgül ağırlıkları..	84
Şekil .5.25. Üç yatırım raylı E28 İncelikli makinalarda örülən çeşitli kumaşların Rack değerleri.	85
Şekil .5.26. Aynı yatırım rayında örülən aynı tıp ilmeklerin kapalı / açık oranları.	86
Şekil.5.27. Farklı yatırım raylarında örülən aynı tıp ilmeklerin Rack değerleri oranı.	86
Şekil.5.28: Üç yatırım raylı E28 İncelikli makinalarda örülən kumaşların raylara göre ağırlık değerleri.	87
Şekil : 5.29. Üç yatırım raylı E 28 İncelikli makinalarda kumaş ağırlığının yatırım raylarına göre dağılımının % cinsinden dağılımı.	88
Şekil:5.30.Üç yatırım raylı E28 İncelikli makinalarda kumaş örtme faktörü değer.	88.
Şekil.5.31. Üç yatırım raylı makinalarda örülən eş yarımılı kapalı, zit yarımılı Kapalı ve eş-zit yarımılı açık ilmekli kumaş kalınlığı.	89
Şekil : 5.32. Üç yatırım raylı E 28 İncelikli makinalarda örülən kumaşların yoğunluk değerleri.	90
Şekil .5.33. Üç yatırım raylı E32 İncelikli makinalarda örülən çeşitli kumaşların Rack değerleri.	91

	<u>Sayfa</u>
Şekil .5.34. Aynı yatırım rayında örtülen aynı tip ilmeklerin kapalı / açık oranları.	92
Şekil.5.35. Farklı yatırım raylarında örtülen aynı tip ilmeklerin Rack değerleri oranı.	92
Şekil.5.36: Üç yatırım raylı E32 incelikli makinalarda örtülen kumaşların raylara göre ağırlık değerleri.	93
Şekil : 5.37. Üç yatırım raylı E 32 incelikli makinalarda kumaş ağırlığının yatırım raylarına göre dağılımının % cinsinden dağılımı.	93
Şekil:5.38.Üç yatırım raylı E32 incelikli makinalarda kumaş ört. faktörü değerleri.	94
Şekil.5.39. Üç yatırım raylı makinalarda örtülen eş yatırımlı kapalı, zıt yatırımlı kapalı ve eş-zıt yatırımlı açık ilmekli kumaş kalınlığı.	94
Şekil : 5.40. Üç yatırım raylı E 32 incelikli makinalarda örtülen kumaşların yoğunluk değerleri.	95
Şekil .5.41. Üç yatırım raylı E40 incelikli makinalarda örtülen çeşitli kumaşların Rack değerleri.	96
Şekil .5.42. Aynı yatırım rayında örtülen aynı tip ilmeklerin kapalı / açık oranları.	97
Şekil.5.43. Farklı yatırım raylarında örtülen aynı tip ilmeklerin Rack değerleri oranı.	97
Şekil.5.44: Üç yatırım raylı E40 incelikli makinalarda örtülen kumaşların raylara göre ağırlık değerleri.	98
Şekil : 5.45. Üç yatırım raylı E 40 incelikli makinalarda kumaş ağırlığının yatırım raylarına göre dağılımının % cinsinden dağılımı.	98
Şekil:5.46.Üç yatırım raylı E40 incelikli makinalarda kumaş ört. faktörü değerleri.	99
Şekil.5.47. Üç yatırım raylı makinalarda örtülen eş yatırımlı kapalı, zıt yatırımlı kapalı ve eş-zıt yatırımlı açık ilmekli kumaş kalınlığı.	99
Şekil : 5.48. Üç yatırım raylı E 40 incelikli makinalarda örtülen kumaşların yoğunluk değerleri.	100
Şekil .5.49. Dört yatırım raylı E28 incelikli makinalarda örtülen çeşitli kumaşların Rack değerleri.	102
Şekil .5.50. Aynı yatırım rayında örtülen aynı tip ilmeklerin kapalı / açık oranları.	102
Şekil.5.51. Farklı yatırım raylarında örtülen aynı tip ilmeklerin Rack değeri oranı.	103
Şekil.5.52: Dört yatırım raylı E28 incelikli makinalarda örtülen kumaşların raylara göre ağırlık değerleri.	103
Şekil : 5.53. Dört yatırım raylı E 28 incelikli makinalarda kumaş ağırlığının yatırım raylarına göre dağılımının % cinsinden dağılımı.	104
Şekil : 5.54. Dört yatırım raylı E 28 incelikli makinalarda kumaş örtme faktörü değerleri.	104
Şekil.5.55. Dört yatırım raylı makinalarda örtülen eş yatırımlı kapalı, zıt yatırımlı kapalı ve eş-zıt yatırımlı açık ilmekli kumaş kalınlığı.	105
Şekil : 5.56. Dört yatırım raylı E 28 incelikli makinalarda örtülen kumaşların yoğunluk değerleri.	106
Şekil .5.57. Dört yatırım raylı E32 incelikli makinalarda örtülen çeşitli kumaşların Rack değerleri.	107
Şekil .5.58. Aynı yatırım rayında örtülen aynı tip ilmeklerin kapalı / açık oranları.	108
Şekil.5.59. Farklı yatırım raylarında örtülen aynı tip ilmeklerin Rack değeri oranı.	108
Şekil.5.60: Dört yatırım raylı E32 incelikli makinalarda örtülen kumaşların raylara göre ağırlık değerleri.	109
Şekil : 5.61. Dört yatırım raylı E 32 incelikli makinalarda kumaş ağırlığının yatırım raylarına göre dağılımının % cinsinden dağılımı.	109

	<u>Sayfa</u>
Şekil : 5.62. Dört yatırım raylı E 32 incelikli makinalarda kumaş örtme faktörü değerleri.	110
Şekil.5.63. Dört yatırım raylı makinalarda örülən eş yatırımlı kapalı, zıt yatırımlı kapalı ve eş-zıt yatırımlı açık ilmekli kumaş kalınlığı.	110
Şekil : 5.64. Dört yatırım raylı E 32 incelikli makinalarda örülən kumaşların yoğunluk değerleri.	111
Şekil .5.65. Dört yatırım raylı E40 incelikli makinalarda örülən çeşitli kumaşların Rack değerleri.	108
Şekil .5.66. Aynı yatırım rayında örülən aynı tip ilmeklerin kapalı / açık oranları.	108
Şekil.5.67. Farklı yatırım raylarında örülən aynı tip ilmeklerin Rack değeri oranı	109
Şekil.5.68: Dört yatırım raylı E40 incelikli makinalarda örülən kumaşların raylara göre ağırlık değerleri.	114
Şekil : 5.69. Dört yatırım raylı E 40 incelikli makinalarda kumaş ağırlığının yatırım raylarına göre % cinsinden dağılımı.	115
Şekil : 5.70. Dört yatırım raylı E 40 incelikli makinalarda kumaş örtme faktörü değerleri.	115
Şekil.5.71. Dört yatırım raylı makinalarda örülən eş yatırımlı kapalı, zıt yatırımlı kapalı ve eş-zıt yatırımlı açık ilmekli kumaş kalınlığı.	116
Şekil : 5.72. Dört yatırım raylı E 40 incelikli makinalarda örülən kumaşların yoğunluk değerleri.	117

CİZELGELER DİZİNİ

	Sayfa
Çizelge.1.1. Tekstil mamullerinin kullanım alanlarına göre sınıflandırılması.	1
Çizelge.1.2. Çözgülü Otomat örme makinaları kullanım alanları.	2
Çizelge.1.3. Türkiye'de 1989 -1993 yılları arasında çözgülü örme makinası imalatı.	3
Çizelge.1.4. Türkiye'de 1989 -1993 yılları itibariyle örme tekstillerinin ithalat ve ihracatı.	3
Çizelge 2.1. Çözgülü örme kumaş özelliklerine etki eden faktörler	10
Çizelge . 2.2 . Çeşitli liflerin özellikler	11
Çizelge .2.3. Pamuk ve yün ipliklerinin elde edilme yöntemleri.	12
Çizelge 2.4. Örme kumaşa etki eden lif özellikleri.	13
Çizelge .2.5 . Çözgü otomat makinalarında makina inceliğine göre kullanılabilen maksimum iplik numaraları	16
Çizelge .4.1: İki yatırım rayında örülü kumaşların Rack,m ² gramaj ve örtme faktörü.	48
Çizelge.4.2.: İki yatırım rayında örülü kumaşların Rack,m ² ağırlığı ve örtme faktörü	49
Çizelge 4.3.: İki yatırım rayında örülü kumaşların Rack,m ² gramaj ve örtme faktörü.	49
Çizelge .4.4.Üç yatırım raylı makinalarda eş ve zıt yatırımda meydana gelebilecek ilmek oluşum ihtimalleri.	50
Çizelge 4.5 : Üç raylı makinalarda örülen ilmeklerin Rack , m ² ağırlığı ve örtme faktörü	54
Çizelge 4.6 : Üç raylı makinada örülen ilmeklerin Rack , m ² gramaj ve örtme faktörü	55
Çizelge. 4.7 : Üç raylı makinalarda örülen çeşitli ilmeklerin Rack , m ² gramaj ve örtme faktörü	55
Çizelge .4.8 .Dört yatırım raylı makinalarda eş ve zıt yatırımda ilmek oluşum ihtimalleri.	56
Çizelge .4.9 . Dört yatırım rayında elde edilen ilmeklerin eş ve zıt yatırım ihtimalleri	59
Çizelge .4.10 . Çözgülü örmede ilmek oluşturma ihtimalleri.	61
Çizelge.4.11. Dört yatırım raylı makinada örgülerin Rack,m ² gramaj ve örtme faktörü	63
Çizelge.4.12. Dört yatırım raylı makinada örgülerin Rack,m ² gramaj ve örtme faktörü	63

	<u>Sayfa</u>
Çizelge.4.13. Dört yatırım raylı makinada örgülerin Rack,m ² gramaj ve örtme faktörü	64
Çizelge.5.1. İki yatırım raylı makinalarda örülülmüş kumaşların Rack, ağırlık ve örtme faktörü değerleri.	68
Çizelge.5.2. İki yatırım raylı E32 incelikli makinalarda örülülmüş kumaşların Rack, ağırlık ve örtme faktörü değerleri.	74
Çizelge.5.3. İki yatırım raylı E 40 incelikli makinalarda örülülmüş kumaşların Rack, ağırlık ve örtme faktörü değerleri.	79
Çizelge.5.4. Üç yatırım raylı E 28 incelikli makinalarda örülülmüş kumaşların Rack, ağırlık ve örtme faktörü değerleri.	85
Çizelge.5.5.Farklı yatırım raylarında örülen farklı ilmek tipleri için ilmek boyu oranları ;	87
Çizelge.5.6. Üç yatırım raylı E 32 incelikli makinalarda örülülmüş kumaşların Rack, ağırlık ve örtme faktörü değerleri.	91
Çizelge.5.7. Üç yatırım raylı E 40 incelikli makinalarda örülülmüş kumaşların Rack, ağırlık ve örtme faktörü değerleri.	96
Çizelge.5.8. Dört yatırım raylı makinalarda örülen kumaşların Rack, ağırlık ve örtme faktörü değerleri.	101
Çizelge.5.9. Dört yatırım raylı makinalarda örülen kumaşların Rack, ağırlık ve örtme faktörü değerleri.	106
Çizelge.5.10. Dört yatırım raylı makinalarda örülen kumaşların Rack, ağırlık ve örtme faktörü değerleri.	113
Çizelge . 5.11: İki ve Üç yatırım raylı E28 incelikli makinalarda örülen kumaş özelliklerinin karşılaştırılması.	118
Çizelge . 5.12: İki ve Üç yatırım raylı E32 incelikli makinalarda örülen kumaş özelliklerinin karşılaştırılması.	118
Çizelge . 5.13: İki ve Üç yatırım raylı E40 incelikli makinalarda örülen kumaş özelliklerinin karşılaştırılması.	119
Çizelge . 5.14: İki ve Dört yatırım raylı E28 incelikli makinalarda örülen kumaş özelliklerinin karşılaştırılması.	120
Çizelge . 5.15 İki ve Dört yatırım raylı E32 incelikli makinalarda örülen kumaş özelliklerinin karşılaştırılması.	121
Çizelge . 5.16: İki ve Dört yatırım raylı E40 incelikli makinalarda örülen kumaş özelliklerinin karşılaştırılması.	121
Çizelge . 5.17: Üç ve Dört yatırım raylı E28 incelikli makinalarda örülen kumaş özelliklerinin karşılaştırılması.	123
Çizelge . 5.18: Üç ve Dört yatırım raylı E32 incelikli makinalarda örülen kumaş özelliklerinin karşılaştırılması.	123
Çizelge . 5.19: Üç ve Dört yatırım raylı E40 incelikli makinalarda örülen kumaş özelliklerinin karşılaştırılması.	124
Çizelge 5.20: 2,3,4 yatırım raylı E32 incelikli makinalarda örülülmüş kumaşların rack değerleri.	126
Çizelge 5.21: 2,3,4 yatırım raylı E32 incelikli makinalarda örülülmüş kumaşların ağırlık değerleri.	126
Çizelge 5.22: 2,3,4 yatırım raylı E32 incelikli makinalarda örülülmüş kumaşların örtme faktörü değerleri.	127

SEMBOLLER VE KISALTMALAR

	<u>Birim</u>
RACK : 480 adet çözgülü örme ilmeğinin uzunluğu.	(cm)
E : Makina inceliği. (Bir inç'teki iğne sayısı)	
d,D : İplik çapı	(mm)
n : Altyatırım iğne mesafesi.(1,2,3,4)	
N : İğne kesit çapı	(mm)
C : İlmek sırası yüksekliği . (1/ilmek sıra sıklığı)	(cm)
W : İlmek çubuğu genişliği . (1/ilmek çubuğu sıklığı)	(cm)
L : İlmek uzunluğu	(cm)
A :Açık ilmek	
K :Kapalı ilmek	
Fr : Franse ilmeği	
Tr : Triko ilmeği	
Tu : Tuch ilmeği	
Sn : Satin ilmeği	
St : Samt ilmeği	
Fç : Çözgü salma kuvveti.	(N)
Fçs: Çözgü salma sürtünme kuvveti.	(N)
T :Levent torku.	(Nm)
Fb: Ölçme aparatı kuvveti	(N)
Fsb: Ölçme aparatının leventte oluşturduğu sürtünme kuvveti.	(N)
r1 : Çözgü levendi maximum yarıçapı	(cm)
r2: Çözgü levendi minimum yarıçapı	(cm)
I : Levent atalet momenti.	(Nm)
m : Leventin kütlesi.	(kg)
θ : Çözgü açısı	
μ :Sürtünme katsayısı.	
P : Yay kuvveti.	(N)
E1,E2,E3 : Makinada iplik uzamaları.	(cm)
V1 : Çözgü salma hızı.	(cm/dak , m/sn)
V2 : Kumaş çekme hızı.	(cm/dak , m/sn)

	<u>Birim</u>
F_i : İğneden kumaşa etkiyen kuvvet.	(N)
F_k : Kumaş çekme kuvveti.	(N)
F_p : Platinden kumaşa etkiyen kuvvet.	(N)
$F_{r1,2}$: Birinci ve ikinci yatırıım raylarından kumaşa etk,yen kuvvetler.	(N)
F_{s1} : Platin , iplik sürtünme kuvveti.	(N)
F_{ii} : Delikli iğneden gelen ipliklerin ilmek çekimi esnasında oluşturduğu sürtünme kuvveti.	(N)
$T_{ia1,2}$: Birinci ve ikinci ilmek bacağı kuvveti.	(N)
$T_{ay1,2}$:Birinci ve ikinci alt yatırıım kuvveti.	(N)

1. GİRİŞ .

1.1. Amaç ve Kapsam.

Günümüzde gelişen teknolojiyle birlikte üretim ve kalite isteğinin artması tekstil sanayicisinin üretim öncesi planlama yapmasını zorunu hale getirmiştir. Üretim öncesi planlamadanın en önemli kısmı üretilecek kumaşın teknik özelliklerinin tam olarak belirlenmesi ve bu özelliklere uygun ham madde ile üretim tekniğinin seçilerek uygun üretim şartlarının sağlanmasıdır.

Bu çalışmada , Çö zgülü otomat örme makinalarında üretilecek kumaşın fiziksel, özelliklerinin üretim öncesi belirlenebilmesine yardımcı olabilecek ilmek modelinin geliştirilmesi ve 2,3,4 yatırım raylı makinalarda elde edilen kumaşların fiziksel özelliklerinin karşılaştırması yapılmıştır.

1.2. Çö zgülü Örme ve Çö zgülü Otomat Makinelerinin Gelişimi.

İnsanlığın ilk zamanlarından günümüze , önemini daima koruyan tekstil sektörü insanlık tarihinin geçirdiği aşamalara paralel olarak artan ve çeşitlenen ihtiyaçlarını karşılayabilmek için devamlı olarak gelişme göstermiştir.Yüzylimizin son çeyreğinin yaşadığı günümüzde , tekstil sektörü de artan ihtiyaçlarına paralel olarak çok çeşitli dallara ayrılarak insanlığa en iyi sunma gayreti içine girmiştir.

Bu gün tekstil mamulleri giyim , evtekstilleri ve teknik tekstiller olmak üzere üç ana sınıf altında toplanmış ve Çizelge .1.1 'de görüldüğü gibi bu üç ana sınıf çeşitli dallara ayrılmıştır.

Çizelge.1.1. Tekstil mamullerinin kullanım alanlarına göre sınıflandırılması.*

GIYİM TEKSTILLERİ			EV TEKSTILLERİ	TEKNİK TEKSTILLER
ERKEK	KADIN	ÇOCUK		
Üst Giyim	Üst Giyim	Üst Giyim	Perdeler.	Zrai Tekstiller,
İç Giyim	İç Giyim	İç Giyim	Masa Örtüleri.	Endüstri Tekstilleri.
Spor Giyim	Spor Giyim	Spor Giyim	Döşeme Tekstilleri.	İnşa Amaçlı Tekstiller.
Aksesuar	Aksesuar	Aksesuar	Yatak Örtüleri	GeoTekstiller.
			Süsleme Tekstilleri	Tıbbi Tekstiller.
			Havlu kumaşlar.	İletişim Tekstilleri.
				Spor Tekstilleri.
				Araç (Taşıt) Tekstilleri.
				Ambalaj Tekstilleri.
				Güvenlik,Koruma Tekstilleri.
				Deniz Tekstilleri.
				Filtreler.

Çizelge 1.1 'den de görüldüğü gibi , çeşitli ait kollara ayrılmış olan tekstil mamullerinin üretimi , genellikle Üç ana üretim şekli olan Dokuma , Örme ve Dokusuz yüzey oluşturma teknolojileriyle karşılanmaktadır.Bu noktada esas problem , her mamul sınıfından istenilen kullanım özelliklerinin çok çeşitli ve birbirinden çok farklı özellikler olabilmesi , dolayısıyla Üç ana üretim tekniğinin her mamul için uygun olmamasıdır.

Örnek olarak ; İç giyim sektöründe istenilen bir özellik olan esneklik Özelliği , Üst giyim , Teknik tekstiller ve Ev tekstillerinin bir çoğunda istenilen bir özellik değildir.Ayrıca , üretimde göz önüne alınması gereken önemli bir husus da moda ve zevk faktörüdür.

Yukarıdaki hususlar göz önüne alındığında dokusuz yüzey teknolojisi bu ihtiyaçların pek çoğuna yeteri kadar cevap veremediğinden tekstil mamulu üretiminin esas yükünü dokuma ve örme teknolojileri çekmek durumundadır.

Örme sektörünün bir kolu olan çözgülü örne , son yıllarda gelişen elektronik ve bilgisayar teknolojilerinin uygulanmasıyla desenlendirme imkanları çok gelişmiş , günümüzde iç giyimden üst giyime ; havlu , peluş , perde , masa örtüsü ,çarşaf , süsleme tekstillerine ve endüstriyel tekstillerin büyük bölümüne kadar geniş uygulama alanlarına girmiştir.Ayrıca kısmi ve tam atkı yatırıminın geliştirilmesiyle multiaxial kumaşların yapılabilmesi endüstriyel tekstillerin yapımında çözgülü örmeye avantaj sağlamıştır.Daha basit desenlendirme imkanına sahip olan çözgülü otomat makinaları , son yıllarda yatırım rayı sayılarının 12 'ye kadar yükseltilmesiyle çok değişik alanlara hitap etmeye başlamıştır.

Çizelge 1.2.Cözgülü otomat örne makinaları kullanım alanları.*

GİYM	EV TEKSTILLERİ	TEKNİK TEKSTILLER
Üst giyim	Perdeler	Zirai Tekstiller.
İç giyim	Havlu ve peluş kumaşlar	Araba imalatı
Spor giyim	Döşemelek kumaşlar	Taşıma kumaşları
Ayakkabı kumaşları	Süslemelek kumaşlar	Plaster yapımı
spor ve taşıma çantaları	Masa örtüleri.	Bandaj yapımı
	Çarşaflık kumaşlar	Suni kırış yapımı
		Dalgıç elbiseleri
		Kamuflaj ağıları
		Stürsinek ağıları
		Yapışkan şeritler
		Araç döşemelekleri
		Anten ağıları
		Hoparlör kumaşları
		Reklam eşyaları.

Çizelge .1.2'den görülebileceği gibi Çö zgü otomat örme makinalarında üretilen bu kumaşların tümü , kullanım alanları itibarıyle farklı fiziksel ve geometrik özelliklere sahip olan kumaşlardır.

1.3. Çö zgülü Örmenin Ekonomik Yapısı :

Ülkemizde özellikle 1980 'den sonra tekstil sektörümüzün dışa açılmaya başlaması ile birlikte , diğer tekstil dalları yanında büyük miktarlarda örme makinaları ithalatı da yapılmıştır. Örme makinaları ithalatı 1988 yılına kadar çok büyük artışlar göstermiştir. 1988 yılından sonra ülke ekonomisini olumsuz etkileyen krizler vb. dolayısıyla ithalatta düşüş yaşanmıştır.Çizelge .1.3'de 1989 - 1993 yılları arasında Ülkemizin çözgülü örme makinası ithalatı adet ve Amerikan Doları cinsinden gösterilmiştir.

Çizelge .1.3. Türkiye'de 1989 -1993 yılları arasında çözgülü örme makinası ithalatı.**

	1989	1990	1991	1992	1993
ADET	381	402	455	776	1281
FİYAT (US\$)	14.301.819	11.868.993	8.505.891	14.384.407	7.465.135

Ülkemizin 1982-1993 yılları itibarıyle örme tekstilleri ithalat ve ihracatı Çizelge .1.4'de gösterilmiştir.

Çizelge.1.4. Türkiye'de 1982-1993 yılları itibarıyle örme tekstillerin ithalat ve ihracatı.**

Yıl	İhracat		İthalat	
	US\$ Değeri	T&K daki payı	US\$ Değeri	T&K daki payı
1982	31.221.507	2.17	70.363	0.037
1983	66.353.895	4.14	66.204	0.027
1984	176.013.503	8.11	185.380	0.073
1985	312.157.016	14.95	1.699.679	0.566
1986	404.285.185	19.14	1.748.679	0.496
1987	776.095.660	27.12	3.170.274	0.557
1988	1.016.352.400	29.36	2.645.536	0.483
1989	45.559.154	1.2	3.497.268	0.554
1990	49.584.370	1.14	6.829.878	0.640
1991	66.022.440	1.43	19.316.070	1.570
1992	69.301.496	1.29	19.662.573	1.940
1993	50.061.667	1.07	23.893.940	1.560

Ülkemizde bılıhassa Teknik tekstiller alanında , çözgülü örme tekniliğinin yeni kullanılmaya başlaması dolayısıyla bu rakamların önumüzdeki yıllarda daha büyük

değerler alması beklenmektedir.

Bu durum ve Dünyada genel olarak kaliteye olan eğilimin artması nedeniyle diğer tekstil dallarında olduğu gibi Çözgülü Örme sanayicisinin de , Üreteceği mamulden istenilen fiziksel özellikleri çok iyi etüd ederek Üretimini bu doğrultuda gerçekleştirmesi zorunlu hale gelmiştir.

Bu çalışmada , 2,3,4 yatırım rayına sahip çözgülü otomat örme makinalarında temel örgülerle örülken kumaşların Üretim öncesi tasarım aşamasına katkıda bulunabilecek Üç boyutlu ilmek modeli geliştirilerek ; yatırım rayı , makina inceliği gibi Üretim parametrelerinin kumaş özelliklerini nasıl etkiledikleri araştırılmıştır.

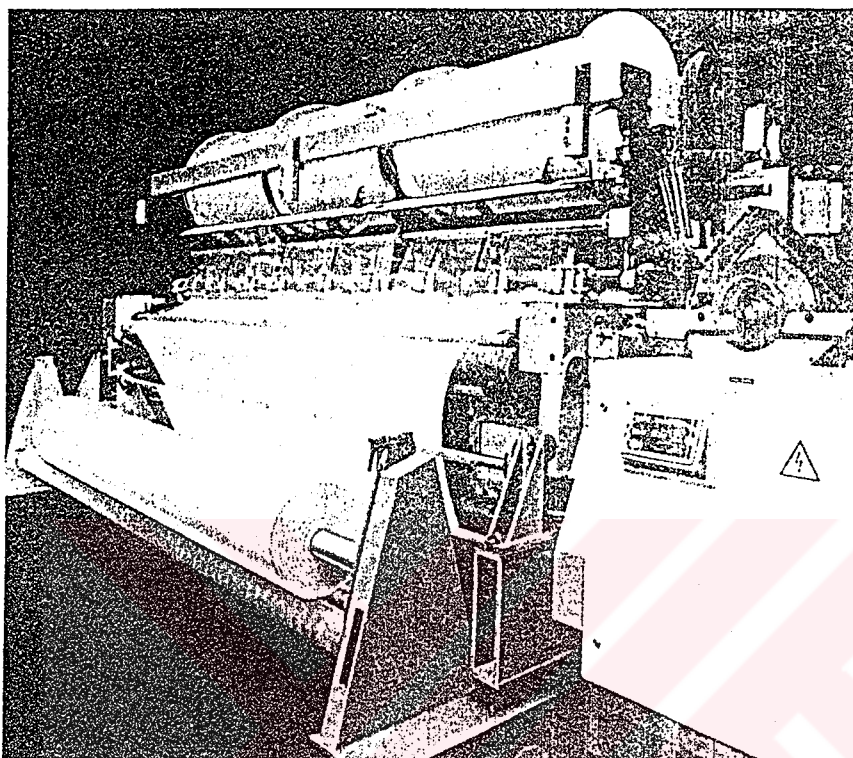
*Kettenwick-Praxis , 2497 , Oberhausen,Germany

**Türkiye'de Tekstil Sektörünün durumu , Alpay,H.R - Ulcay , Y

2.KAYNAK ARAŞTIRMASI.

2.1. Çözgülü Otomat makinaları :

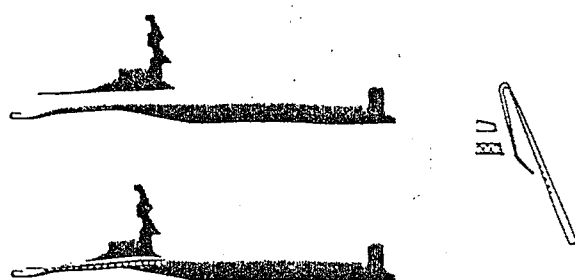
Çözgülü otomat makinaları , genel olarak 2,3,4,8,12 yarım rayı ile çalışan sınırlı desenlendirme imkanına sahip çözgülü örme makinalarıdır.



Şekil 2.1. Çözgülü otomat örme makinası genel görünüşü.

2.1.1. Örme elemanları :

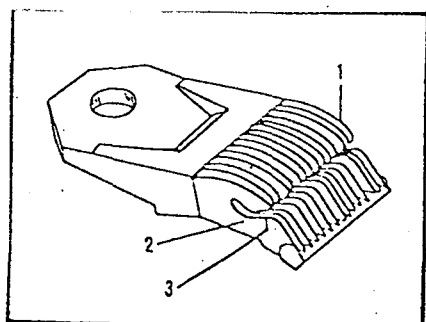
2.1.1.1. İğneler: Çözgülü otomat örme makinaları ilk olarak esnek uçlu iğnelerle üretilmişlerdir.Fakat günümüzde sürgülü iğnelerle de çalışmaktadır.Sürgülü iğneler iki ana parçadan oluşmaktadır.Bu parçalardan birisi iğnenin gövde , ayak ve kanca kısmından oluşurken , diğer parça kapatma elemanı olan sürgüden oluşmaktadır.Iğnenin ana elemanı iğne rayı üzerinde bulunurken , kapatma elemanı ayrı bir ray üzerine monte edilmiştir.



Şekil 2.2. Sürgülü ve esnek uçlu iğneler.

2.1.1.2. Platinler :Konum olarak komşu iki İgne arasında bulunan platinler özel profilli metal levhalardır.Genellikle 1 inç genişliğinde bloklar halinde üretilerek platin rayı Üzerine monte edilirler.Platinlerin örme işlemi esnasındaki başlıca görevleri ;

- İlmek flyonlarının oluşumunu sağlamak .
- İgnelerin hareketi esnasında dokunun igneler tarafından sürükleşmesini önlemek.
- İlmek düşürme esnasında ve dokuyu tutmak.



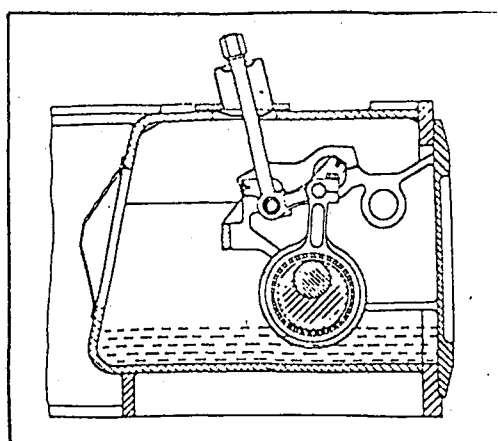
Şekil 2.3. Çözgülü otomat örme makinası platinı ve platin bloğu.

2.1.1.3. Delikli İgneler ve delikli İgne rayları :Çözgülü levendinden gelen İplikler delikli ignelerin gözlerinden geçirilerek örme bölgelere gelirler.Delikli igneler 1 inç uzunlukta bloklar halinde imal edilerek yatırım raylarına monte edilirler.Yatırım raylarının sayısı çözgülü otomat makinasının desenlendirme kapasitesini belirler.Genellikle 1,2,3,4,8,12 yatırım raylı makinalar kullanılmaktadır.

2.1.2. Tahrık mekanizmaları :

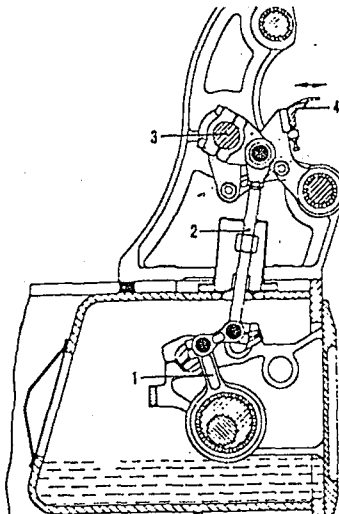
2.1.2.1. İgne tahrık mekanizması :Çözgülü otomat makinalarında igneler düşey doğrultuda aşağı - yukarı yönde yaklaşık olarak doğrusal hareket ederler.Üzerinde ignelerin bulunduğu İgne rayının hareketi eksantrik veya kam mekanizmaları vasıtasiyla verilir.Modern yüksek hızlı makinalarda eksantrik mekanizmaları kullanılır.

Eksantrik mekanizmaları basit harmonik hareket ürettiklerinden igne rayı ile eksantrik mekanizması krank vasıtasiyla birleştirilerek istenilen tip hareketin elde edilmesi sağlanır.Sürgülü ignelerle çalışıldığında kapatma elemanlarına hareket veren ray da eksantrik mekanizması ile tahrık edilir.



Şekil 2.4. Çözgülü Otomat Örme makinası igne rayı tahrık mekanizması.

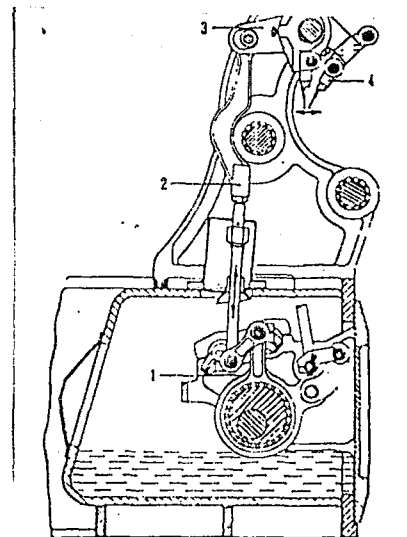
2.1.2.2. Platin tıhrik mekanizması : Platin yatay doğrusal hareket yaptığından krank - eksantrik mekanizması ile tıhrik edilir. Eksantrik kolunun düşey hareketi (1) , baskı kolu vasıtasiyla (3) numarali mle , bu milden de çubuk mekanizmaları vasıtasiyla (4) numarali platin rayına yatay doğrusal hareket verilir.



Şekil 2.5. Çözgülü otomat örme makinası platin rayı tıhrik mekanizması.

2.1.2.3. Yatırım raylarının tıhrik mekanizması. Klavuz rayı , İpliğiñ lgnelerin etrafına sarılması ve bir lgneden diğerine alt yatırım hareketi yapılmasını sağlamak zorundadır.Bu iki hareket farklı zamanlarda ve farklı yönlerde yapılmak zorunda olduğundan bu iki hareket iki farklı kaynaktan verilmek zorundadır.Bu hareketler ;
1- lgne düzlemyile 90° açı altında yapılan , yatırım rayının lgneler arasında yaptığı salınım hareketidir. Salınım hareketi şekilde görülen tipte mekanizmalarla sağlanır.Şekilde , (1) numarali eksantrikten sağlanan düşey yöndeki hareket , (2) numarali baskı kolu vasıtasiyla düşey hareketi , yatırım rayının yatay hareketine çeviren (3) numarali manivelaya iletilir.

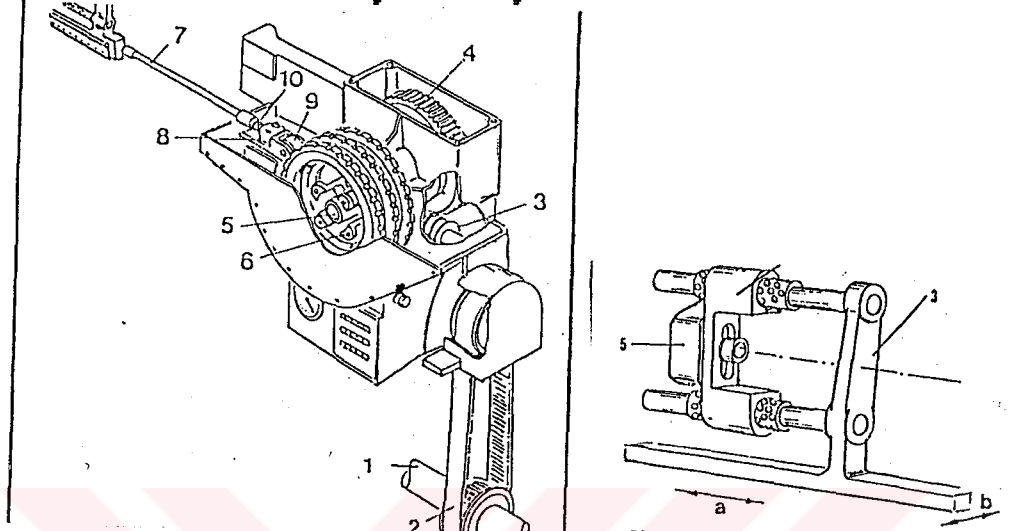
2- Yatırım raylarının lgne düzlemyile paralel düzlemede yaptığı yatırım hareketinin sağlanması için rıltı olarak birleştirilmemiştir.Bu hareket desenlendirme Üntesi tarafından verilir ve üretillecek örgüye göre alt yatırım hareketlerinin elde edilmesi sağlanır.



Şekil 2.6. Çözgülü otomat örme makinası yatırım rayı tıhrik mekanizması.

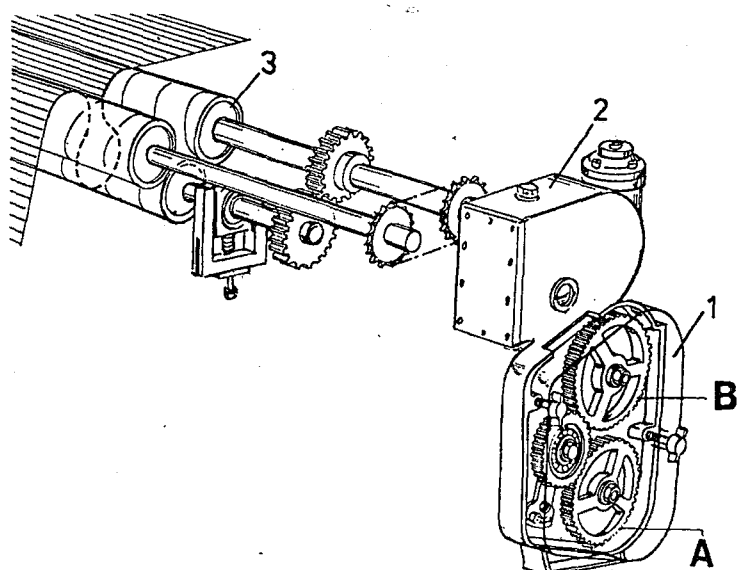
2.1.3. Desenlendirme Ünitesi :Yatırım raylarının alt ve üst yatırım hareketini yapmasını sağlayan makinanın yan tarafına yerleştirilmiş mekanızmadır.

Mekanizma , ana milden aldığı (1) hareketli dişli kayış (2) vasıtasiyla vüda dişliye (3) , buradan da worm dişliye (4) iletilir.(5) numaralı mili üzerinde bulunan desen tamburu , ana millin devrine göre belli bir devirde döner.Tambur Üzerine elde edilecek desene göre farklı yüksekliklerde taşlanmış desen baklaları takılmıştır.Tambur Üzerindeki her bakla dizisi bir yatırım rayına kumanda eder.



Sekil 2.7. Cözgù otomat örme makinası desenlendirme sistemi.

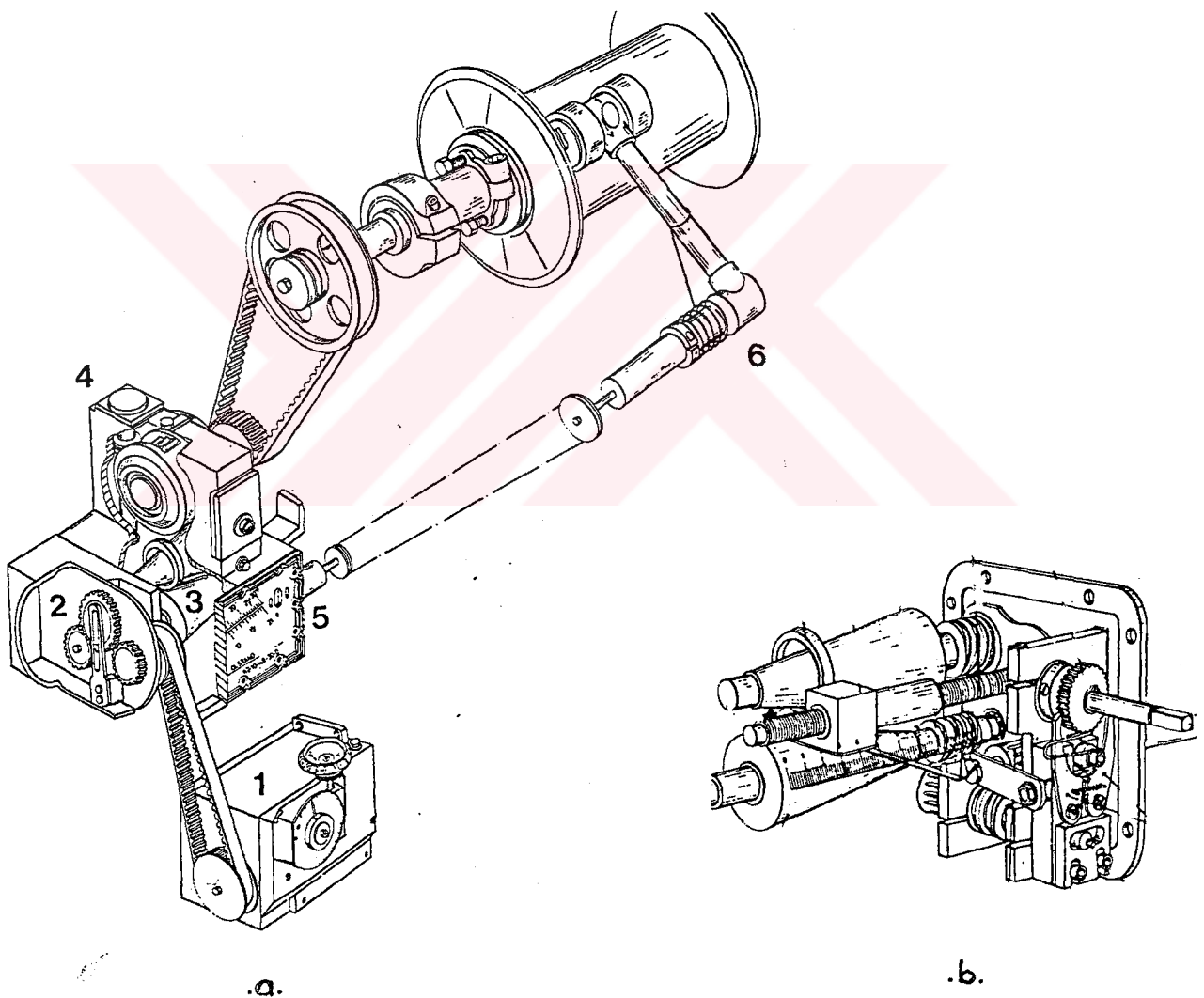
2.1.4. Kumaş çekme sistemi : Ana milden alınan dönme hareketi şekildeki değiştirme dişilleri (1) ve worm dişiller (2) vasıtasyyla kumaş çekme silindirlerine iletilir. Silindir yüzeyleri kumaşın kaymasını önlemek için yüksek sürtünme katsayısına sahip materyal ile kaplıdır. Oretilecek kumaş sıklığı , değiştirme dişillerinin A/B oranına bağlıdır. Daha büyük A/B oranı daha gevşek kumaş olmasını sağlar. Makinanın çözgü salma sistemi pozitif ise iki mekanizmanın çok lyl kombin edilmesi gereklidir. Aksi durumda kumaş üzerinde hasara neden olur.



Şekil 2.8 Gözümüz otomat ömrne makinesi kumas rekme sistemi

2.1.5. Çözgү salma mekanizması : Çözgү salma sisteminin tаhrik edilmesi ana mіll өzerinden merkez dişliye (1) ve bu dişliden de değiştirme dişliſine (2) aktarılan hаrеkеtlin (3) numaralı konik dişliye aktarılması ve buradanda (4) numaralı dişliye aktarılması ile sağlanır. Hаrеkеt (4) numaralı dişliden çözgү levendine iletılır. Aynı zamanda ölçme sistemi levent өzerinden sağlanıp iplik uzunluğunu ölçmektedir. Ölçülen değerle, kontrol ünitesi tarafından kabul edilen değer konik kasnaklar arasındaki sùrtünme bileziğin pozisyonunun belirlenmesini sağlar. Bileziğin pozisyonu, ana mіll devr sayısı ile çözgү levendi devr sayısı arasındaki oranı temsil eder.

Levent өzerindeki yoklama silindirinin devri ile kabul edilen değer karşılaştırılır. Eğer bu iki devr arasında fark varsa kontrol mandalları vasıtasyyla sùrtünme bileziğin kumanda eden vıldа dişliye hаrеkеt verilerek bileziğin pozisyonu değiştirilir. Böylece çözgү levendi daha hızlı veya daha yavaş döner.

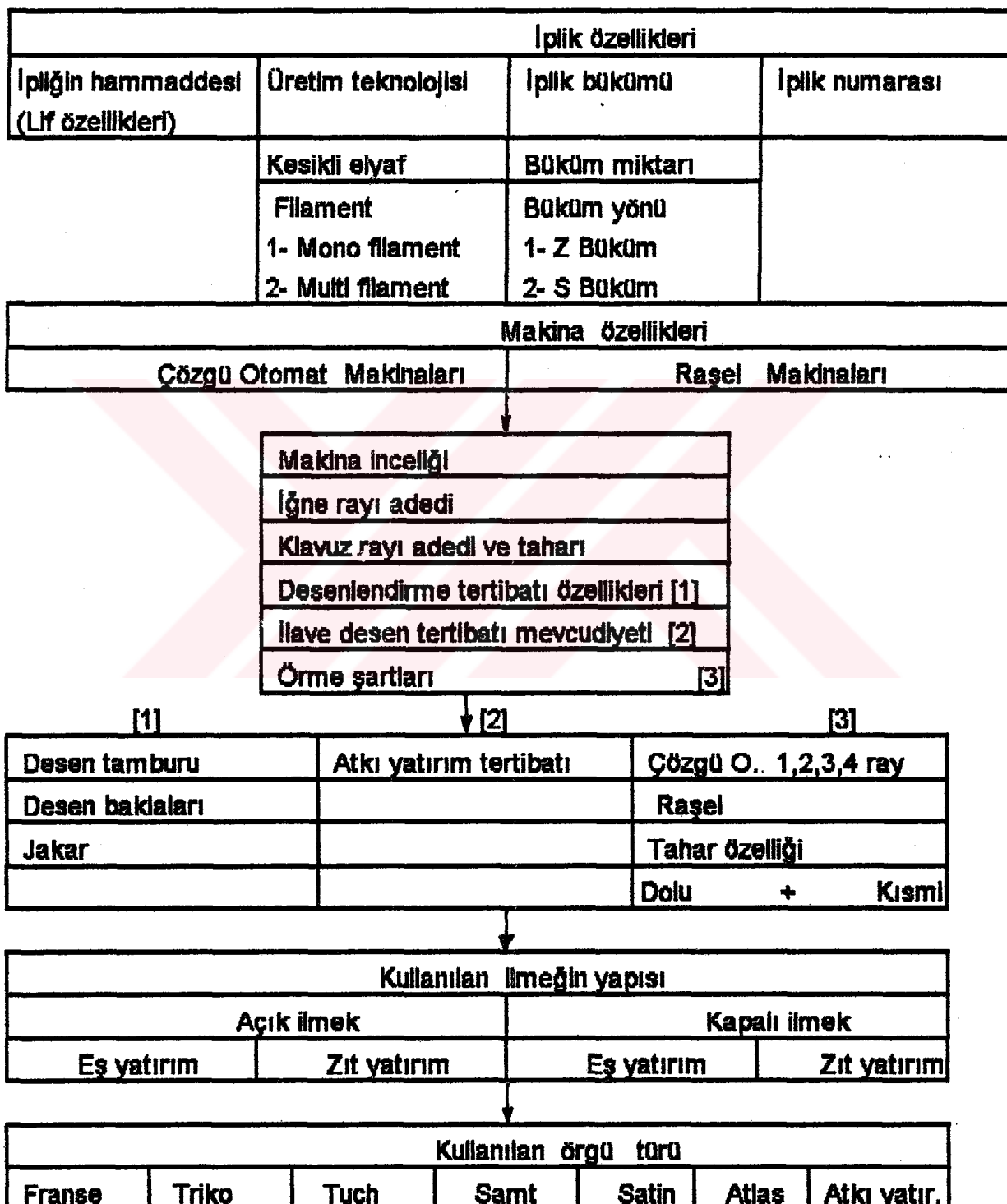


Şekil 2.9. Çözgү otomat örmе makinası çözgү salma sistemi ve regulatör ünitesi. (a ve b)

2.2. Çözgülü örme kumaşların geometrik ve fiziksel özelliklerine etki eden faktörler.

Çözgülü örme kumaşların özelliklerine etki eden faktörler başlıca dört ana gurup altında toplanabilirler. Bu özellikler Çizelge 2.1'de gösterilmiştir.

Çizelge 2.1. Çözgülü örme kumaş özelliklerine etki eden faktörler



2.2.1. İpliğin hammaddesi :

Bütün tekstil mamulleri (Dokuma , Örme , Dokusuz yüzeyler v.b) Üretildikleri hammaddenin fiziksel ve kimyasal özelliklerine bağlı olarak özellikler gösterirler. Çeşitli liflerin özellikleri Çizelge 2.2.'de gösterilmiştir.

Çizelge . 2.2 . Çeşitli liflerin özellikleri

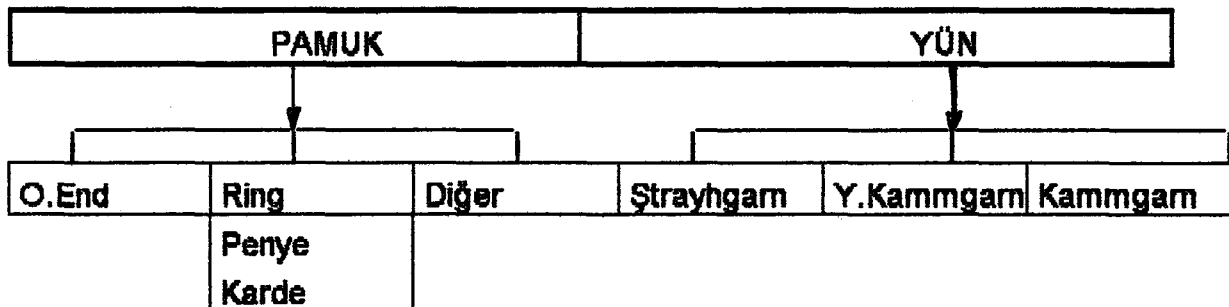
	Özgül ağırlık (G/cm³)	Nem alma (%)	Mukavemet (G/den)	Elastikiyet (%)	Termal Özellikleri
Yün	1.32	13 - 16	1-1.7 (k) 0.8-1.6 (y)	Çok lyl	Alevde yanar. Uzaklaşınca söner.
Pamuk	1.54	Ticari 8.5 %95RN 15 %100RN25	3-5	3-7	Erimez. 149 °C den sonra bozunmaya başlar
Rayon	1.46 1.54	11.5-16 %95RN 25	2.4-3.2 (k) 1.2-1.9 (y)	15-20 (k) 17-30 (y)	Pamuğa benzer .85-100 °C arasında ötülenebilir.
Asetat	1.32	6.5	1.2-1.5 (k) 0.9 (y)	23-45 (k) 35-45 (y)	Termoplastik bir liftr. 177 °C de erir.
Pollester	1.38	0.4 - 0.8	2.8-5.2 (k) 2.8-5.2 (y)	19 - 30 (k) 19 - 30 (y)	Termoplastik liftr. Tipine göre 238-290 °C de erir.
Poliamid	1.14	4.2 - 4.5	4.6-5.8 (k) 4-5.1 (y)	26-32 (k) 30-37 (y)	Termoplastik liftr. 210 250 °C de erir.
Polipropilen	0.9 0.96	0 - 0.1	1.5-3 (k-y) 4 - 7 (k-y)	20-80	105-125 °C de erir. 75 °C de büzülür. 60°C civarında ötülenmelidir.
Akrilik	1.16 1.18	1.5	2.2- 2.6 (k) 1.8- 2.1 (y)	20 - 28 (k) 26 - 34 (y)	İş dayanımları çok lylidir. 232-250 °C de erir.

Yukarıdaki Çizelgeden görülebileceği gibi , İplik numarası , sıklığı , makina inceliği , ray sayısı değiştirilmemek şartıyla farklı hammaddeden yapılmış İpliklerle örülümuş kumaşların flexibilitesi , gramajları , yırtılma ve patlama mukavemetleri , tutumları farklılıklar gösterecektir.

2.2.2. İpliğin üretim teknolojisi :

İpliğin hammaddesine ve elde edilmek istenen İplik özelliklerine göre seçilen İplik teknolojisi kumaş özelliklerine etki eder.

Çizelge .2.3. Pamuk ve yün ipliklerinin elde edilme yöntemleri.



Çizelge.2.3'de görüldüğü gibi; pamuk iplikçiliğinde en kaliteli ve en düzgün iplik penye ipliğiidir. En ince iplikte penye iplik teknolojisiyle elde edilir. Karde iplikçiliğinde ise daha kısa pamuk elyafi veya penye iplik döküntüleri kullanıldığından elde edilen iplığın mukavemeti , parlaklığı ve tutumu penye iplığıne göre daha düşük olacaktır. Bunun sonucunda , karde iplığının elde edilen kumaş ; kumaş inceliği, mukavemeti, tutum , parlaklık açısından penye iplığının elde edilen kumaşa göre daha düşük olacaktır.

Open End iplikçiliği işlem basamakları karde ipliği işlem basamaklarına benzemekle beraber , Open End ipliği ile Ring ipliği arasındaki en önemli teknik özellik ; Open End iplığında büküm verme işlemi ve bükümün oluşma tarzının Ring iplığıne göre farklı oluşudur. Bu farklılık dolayısıyla Open End iplikleri Ring ipliklerine göre daha hacimli ve elastik bir yapı oluştururlar.

Pamuk iplikçiliğindeki karde iplik ile penye iplik arasındaki kullanılan elyaf, ekipman ve işlem basamağı arasındaki fark yün iplikçiliğinde de strayhgarn iplik ile kammgarn iplik arasında da benzer olarak vardır. Bu farklılığın tabi sonucu olarak kammgarn iplikler incelik , mukavemet , düzgünlük ve parlaklık açısından en üstün ipliklerdir.

Pamuk iplikçiliğinde penye iplikleri , yün iplikçiliğinde ise kammgarn ipliklerinden elde edilen iplikler , diğerlerine göre daha iyi tutuma sahip , daha mukavemetli ve daha ince kumaşlardır.

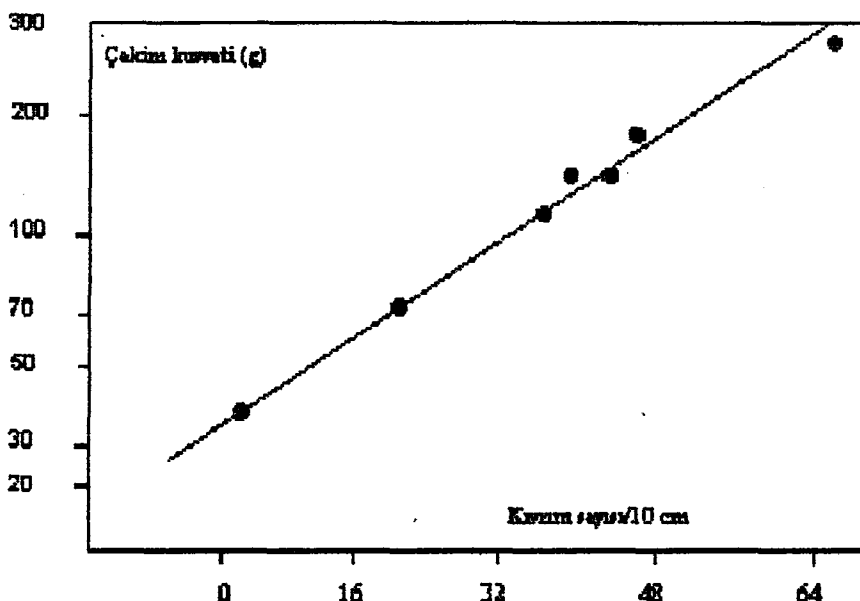
Yapay liflerde , doğal liflerden farklı olarak üreticinin isteği göre lifin bazı Özelliklerini kontrol etme şansı vardır. Bu özellikler Çizelge .2.4'de gösterilmiştir.

Çizelge 2.4. Örme kumaşa etki eden lif özellikleri.

Lif numarası ve iplik kesitindeki lif adedi		
Lif kesiti => Daire, Trilobal, Yıldız, Fasulye		
Lif boyu		
Filament	Kesikli lif	
Mono filament	Flok işleminde kullanılan lif linteri (mm) 1.2-1.7 dtex	0.3-10
Multi filament	Pamuk ve pamuk lifi tipi (3.3) Yün ve yün lifi tipi(ştrayhgarn teknolojisi için) 40-60 (110) 3.3-13 Yün lifi tipi (kammgarn teknolojisi için) (60) 100-120 3.3-6.7 Halı ipliği tipi 120-150 (200)	1.2-2.2
		6.7-20
Lif kıvrımı		
a) Bikomponent lif oluşturma		
b) Lif kanalında farklı (asimetrik) soğutarak kıvırcıklaşdırma		
c) Dış mekaniksel etkiler vasıtasiyla kıvırcıklaşdırma		
Lif çekim hızı		
POY (Kısmen yönlendirilmiş iplikler)		
MOY (Orta seviyede yönlendirilmiş iplikler)		
FOY (Tamamen yönlendirilmiş iplikler)		
Tekstüre İşlemi		

Çizelge 2.4 de belirtilen üreticinin kontrol edebildiği yapay lif-iplik özelliklerinden lif numarası ve iplik kesitindeki lif sayısı direk olarak iplik numarasını ve kalınlığını belirlediğinden üretilen kumaşın kalınlığında , flexibilitesinde ve mukavemetinde rol oynar.(İplik kesitindeki lif sayısı filament iplikler için geçerlidir.)

Lif boyunun kontrol edilmesi sayesinde yapay liflerden , doğal liflere benzeyen iplikler yapılması mümkün olmaktadır. Boyu kısa olan (Stapel) liflerden yapılan iplikler isteğe göre kıvırcıklaştırılarak daha hacimli , daha iyi örtme yeteneğine sahip , daha kibrar görünümü , ısı tutumu ve nem alma oranı daha iyi iplikler ve kumaşlar yapılabilir. Ayrıca kıvırcıklaştırma işlemi yapılmış liflerden elde edilen ipliklerin mukavemetleri de düz liflerden elde edilen ipliklerden daha yüksek olduğundan elde edilen kumaşların yırtılma ve patlama mukavemetleri daha yüksek olacaktır.



Şekil . 2.10.Polyester fitillerin kopma dayanımlarının liflerin kıvırcıklik derecesine bağlı değişimi.

Lif çekim hızının kontrol edilmesi vasıtasiyla lif molekül zincirlerinin mümkün olduğunda lif eksenine paralel bir konum alması sağlanmaktadır. Lifin oriyantasyonu arttıkça kopma mukavemeti artmaka fakat kopma uzaması azalmaktadır.

Tekstüre işlemi yapay liflerin hacim , ısı tutumu , nem alma özelliklerini artırdığı için kumaş özelliklerine etki edecektir.

2.2.3. İplikin büküm miktarı ve yönü:

İplik bükümü stapel liflerden imal edilmiş ipliklerde filament ipliklere göre daha önemlidir. Büküm yönünün kumaş üzerindeki etkisi kullanıcı tarafından direkt olarak gözle algılanan bir özelliktedir.

Büküm miktarının değişmesi (Bükümün artması veya azalması) ise belirli bir sınıra kadar iplik mukavemetini artırır , kopma uzamasını düşürür. Aynı zamanda büküm miktarı arttıkça liflerin arasındaki sürtünme kuvvetleri artar ve lifler arasındaki hava boşuklarının miktarı azalacağından iplik daha dırı ve sert bir tutum kazanacaktır.

Iplik uniform kesitli bir kırış gibi kabul edilirse , kendi ağırlığı altında kazanacağı sehim :

$$f = m \cdot g \cdot l^2 / (8 \cdot E) \dots \dots \dots \text{(Bağ. 2.1)}$$

Uygulanan herhangi bir ağırlık altındaki sehim :

$$f = F \cdot l^2 / (3 \cdot E \cdot I) \dots \dots \dots \text{(Bağ. 2.2)}$$

f = Sehim

L = Kırış uzunluğu

E = Young modülü

I = Enine kesit atalet momenti

F = Uygulanan yük

g = yer çekimi ivmesi

m = Birim materyal uzunluğu kütlesi.

Lif kesiti elips ve eğilmenin küçük eksen doğrultusunda olduğu kabul edilerek ;
 Elipsin atalet momenti = $\rho a^3.b / 64$
 Yassılma oranı : $R = b/a$
 $W = (a . b)^2/4$ Elipsin alanı : $\rho.a.b/4$ Ise

$$f/F = 64.P / (3.\rho E.a^2.b) = 64.P.R / (3.\rho E.W^2.W) \dots \dots \dots \text{(Bağ .2.3)}$$

Denklem (3)' den görülebileceği gibi , materyalin alacağı sehim ; lifin yada iplığın desteklenmemiş , serbest uzunluğunun 3. kuvveti ile artar.Lif ya da iplığın tekstil mamulu içindeki yaptığı bağlantılar arasındaki mesafe arttıkça mamulün yumuşaklığını artacaktır.

Iplik bükümünün artışı iplik içerisindeki serbest lif uzunluğunu azaltacağından mamulün tutumunu sertleştirir.

Lifin flexibilitesi lif çapının 4. kuvveti ile ters orantılıdır.Lifin yassılma oranı ise lifin flexibilitesi ile doğru orantılı , elastisite modülü ise ters orantılıdır.

D filament denyesi olmak üzere :

$$D = W^2 . s / (141,5)$$

$$(f / F) = 0,339 . 10^{-3} . P . R . s / (E . D^2) \dots \dots \dots \text{(Bağ.2.4)}$$

(4) denkleminden de görülebileceği gibi filament flexibilitesi filament yoğunluğu ile doğru orantılı , filament çapının karesi ile ters orantılıdır.

Sonuç olarak lif eğilmesi en fazla filament kalınlığı ve filament malzemesine bağlıdır.

2.2.4. Makina Özellikleri

2.2.4.1. Makina tipi :

Çözgülü örme kumaşlar Çözgülü otomat , Raşel veya Hakel Galon çözgülü örme makinalarında örülürler.Bu çalışmada Çözgülü otomat makinalarında örülən kumaşların özellikleri incelenmiştir.

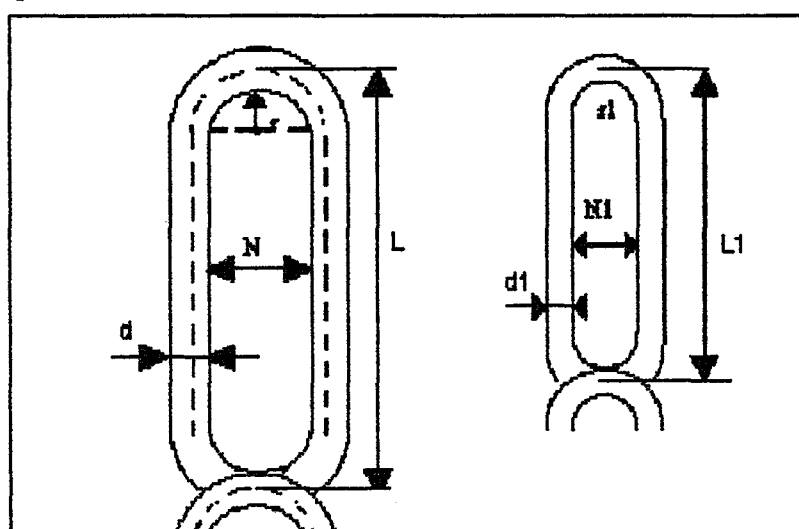
2.2.4.2. Makina İnceliği :

Çözgülü örme işleminde kullanılabilcek iplik kalınlığı direkt olarak İgne kancasının boyutlarına ve İgne ile platın arasındaki mesafeye bağlıdır.Makina İnceliği bir İnçtek İgne sayısını belirttiğinden ($E = \text{İgne/ İnç}$) kullanılacak iplığın kalınlığı makina İnceliğine bağlıdır.Çözgülü otomat örme makinalarında makina İnceliğine göre kullanılabilcek maksimum iplik numaraları Çizelge .2.5' de belirtilmiştir.

Çizelge .2.5 . Çözgù otomat makinalarında makina inceliğine göre kullanılabilen maksimum iplik numaraları

Makina inceliği	Td	d tex	Tex	Nm	Ne
12	1035	1150	115	9	5
14	833	925	92	11	6
16	684	760	76	13	8
18	563	625	62	16	9
20	468	520	52	19	11
22	400	445	44	22	13
24	324	360	36	28	16
26	261	290	29	34	20
28	225	250	25	40	24
30	189	210	21	48	28
32	144	160	16	63	37
36	90	100	10	100	59
40	50	55	5.5	182	107

Çizelge .2.5 'den görüldüğü gibi makina inceliği arttıkça kullanılabilen maksimum iplik numaraları (iplik kalınlığı) düşmektedir.Düşük makina inceliklerinde kullanılan iplik çaplarının daha büyük olması nedeniyle ilmek sırası sıklığının belirlenmesinde sınırlayıcı faktör olarak rol oynar.Düşük incelikli makinalarda kullanılan ilmek sırası sıklığı , yüksek incelikli makinalarda kullanılan ilmek çubuğu sıklığından daha düşük olacaktır.



Şekil .2.11 : Farklı inceliklerde kullanılan iğnelere göre minimum ilmek sırası sıklıkları

Şekilde farklı inceliklerine sahip iki makinanın ilmek düşürme pozisyonunda ipiğin iğne kancasına göre aldığı şekli görülmektedir. İplik ve flyonk tüm örme devri boyunca örücü elemanlardan kaynaklanan değişken germe kuvvetlerinin etkisine maruz kalmaktadır. Germe kuvvetlerinin etkisi, iplik örme bölgesini terk edinceye kadar devam ettilir. Örme bölgesindeki çikan iplik (ilmek) kumaş çekme donatımının etki ettiirdiği germe kuvvetinin etkisindedir. Bu ana kadar etki eden bütün dış kuvvetler germe kuvvetleri olduğundan bu bölgedeki ilmekte çekme meydana gelmeyecektir. İşlemin aksamadan devam edebilmesi için, iğne üzerinde düşürme pozisyonundaki ilmeğin uzunluğunun en az iğne başının çevresine eşit olması gereklidir.

Bu düşünüceden hareketle, her iki iğne için düşürme pozisyonundaki iplik uzunluğu hesap edilirse :

$$1. \text{Iğne: } \text{iğne başı yüksekliği} = L - d$$

$$\text{Flyonk İçin harcanan iplik} = 2 \cdot [L + r \cdot (-2 + \pi)] \dots \dots \text{(Bağ. 2.5)}$$

$$2. \text{Iğne: } \text{iğne başı yüksekliği} = L_1 - d_1$$

$$\text{Flyonk İçin harcanan iplik} = 2 \cdot [L_1 + r_1 \cdot (-2 + \pi)] \dots \dots \text{(Bağ. 2.6)}$$

Her iki iğnede örülən ilmek için sıklık tarifinden, bir ilmeğin boyu :

$$1. \text{İmek boyu : } L = 1 / n$$

$$2. \text{İmek boyu} = L_1 = 1 / n_1 \text{ bulunur.}$$

Düşük incelikteki iğne için L değeri yüksek incelikteki L_1 değerinden daha büyük olduğundan $n < n_1$ olması gereklidir. n ve n_1 değerleri 1 cm'deki ilmek sırası sayıları olduğundan yüksek incelikteki makinalarda daha sık kumaslar örüləbilir.

Makina inceliginin kumaş özellikleri üzerindeki ikinci önemli etkisi de kumaştaki birim uzunluğtaki ilmek çubuğu sayısını belirleyici rol oynamasıdır. Örme bölgesinde bir inceteki ilmek sıklığı makina inceliginde eşittir. Örme işlemi esnasında germe kuvvetlerinin etkisindeki iplik - ilmek örme bölgesinde çıkışta, kumaş çekme mekanizmasının, ilmek çubuğu boyunca etki ettiirdiği germe kuvvetinin etkisi altında kalır, iğne, yatırım rayı gibi örücü elemanların ve yardımcı elemanların etkisi ortadan kalkar.

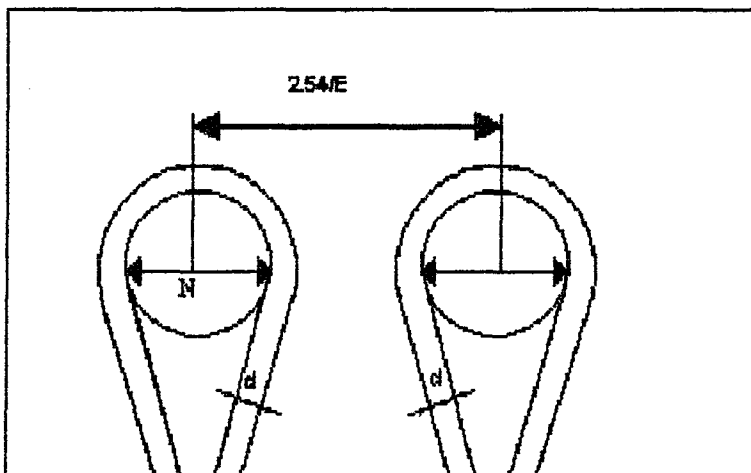
Yatırım rayının yatay yönündeki etki ettiirdiği germe kuvvetinin ortadan kalkmasıyla, kumaş eninde çekme meydana gelir. Kumasın enden çekme miktarı ; iplik numarası, ipiğin young modülü, kaç iğne üzerinde yatırım yapıldığı ve ilmek çubuğu sıklığına bağlı olarak değişik değerler olacaktır.

Örme bölgesinde sıklığı makina inceliginde eşit olan kumasın, örme bölgesi ve makinadan çıktıktan sonra yaklaşık olarak maksimum enden çekmeyi bellileyebilmek için oluşturulan modelde :

1. Makina üzerindeki ipiğin kesiti daireseldir ve iplik kesitinde değişim meydana gelmemektedir.

2. Makinadan çikan kumasın maksimum enden çekmesi, iki komşu ilmeğin birbirlerine teması ile sağlanır.

3. Örme bölgesindeki ilmek başı çapı ile makinadan çıkan kumaştaki ilmek başı çapı yaklaşık olarak eşittir.



Şekil .2.12. Kumaşın maksimum əndən çekme miktarının təminlenmesi üçün ilmek modeli

Şekil .2.12 'deki modelə görə;

İki iğne merkezi arası mesafe : $2.54 / E$ (cm)

İki iğne arasındaki boşluk miktarı : $(2.54/E) - (N+2.d)$ (cm)

**Maksimum çekme miktarı : $100.E.(N + 2.d)/2.54$ (%).....
(Bağ.2.6)**

Yukarıdaki modelə görə ; iplik numaraları Nm 5 - 90 ve makina incelikleri E (12,14,16,18,20,22,24,26,28,30,32) değerlerine göre maksimum çekme değerlerini bularak grafiklerini çizdirən bilgisayar programı yazılmıştır.

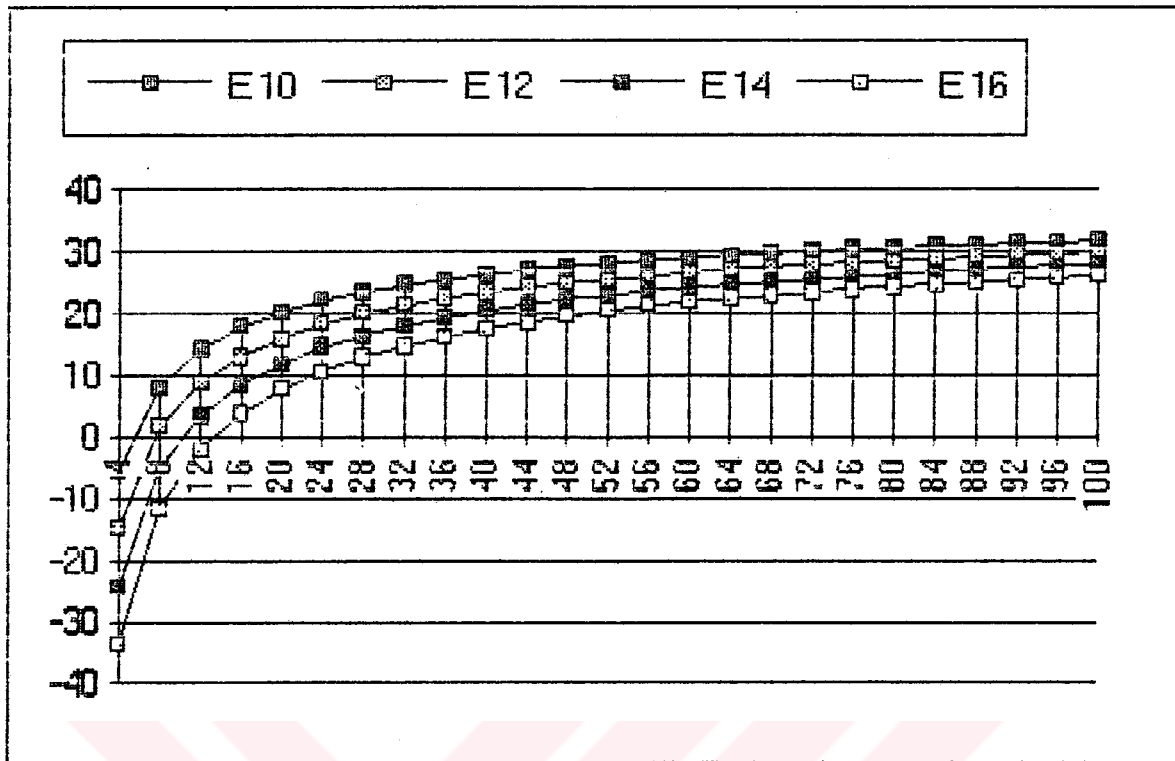
Şekil .2.13 'de elde edilen grafikler görülmektedir.Grafiklerden görüldüğü gibi negatif çıkan çekme değerleri , kullanılan makina inceliğine görə , çekme değeri negatif çıkan iplik numarasının uygun olmadığını belitmektedir.Ayrıca çekme değerinin sıfırdan büyük olduğu ilk iplik numaraları ise Çizelge .2.1 'de verilen maksimum iplik değerleri ile aynıdır.

2.2.4.3. İğne rayı adedi :

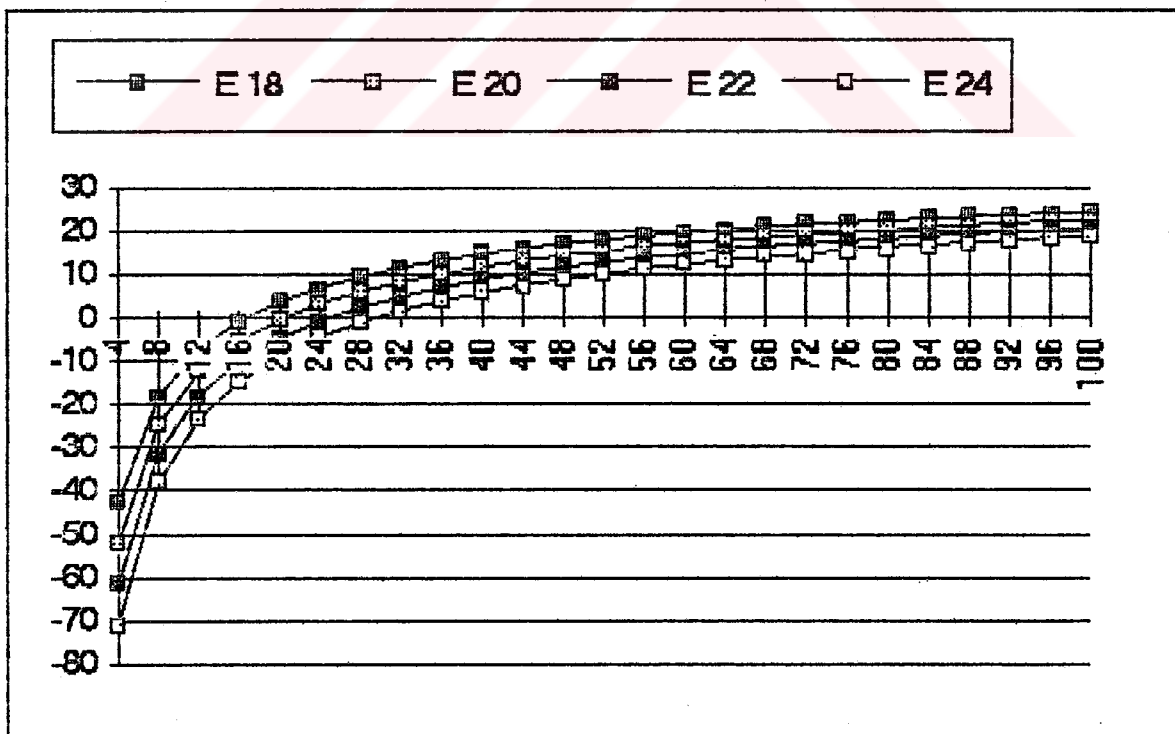
Çö zgüllü örme makinaları bir veya iki iğne raylı olabilirler.İki iğne raylı makinalarda bir yatırım rayının her iki iğne rayına da yatırım yapabilmesi nedeniyle tek iğne raylı makinalara görə daha farklı kumaşlar elde edilebilir. Üç boyutlu çözgülü örme kumaşlar iki iğne raylı makinalarda yapılabilirler. Bu çalışmada tek iğne raylı makinalarda Üretilen kumaş özellikleri incelenecektir.

2.2.4.4. Yatırım rayı adedi :

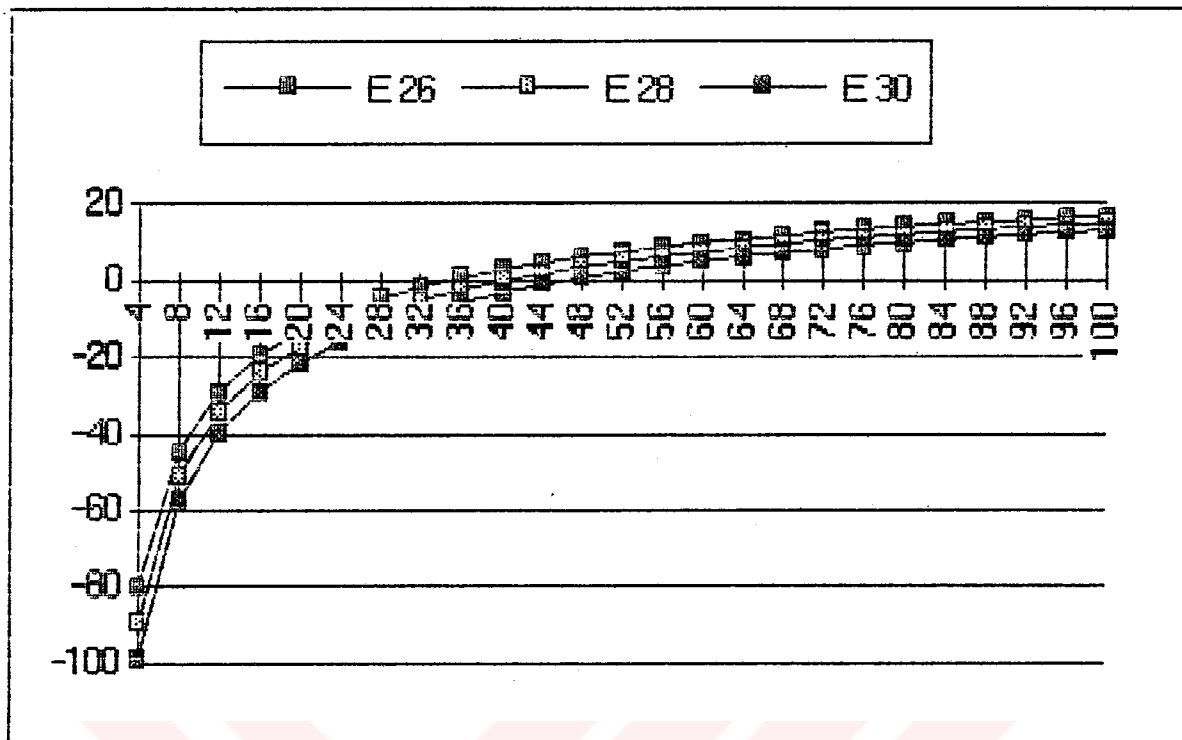
Çö zgü otomat örme makinaları 1,2,3,4 raylı olabilirler.Birden fazla raya sahip makinalarda istenilen örgüye görə rayların tamamı veya bir kısmı çalıştırılabilir.Yatırım raylarının sayısı kumaşın ;



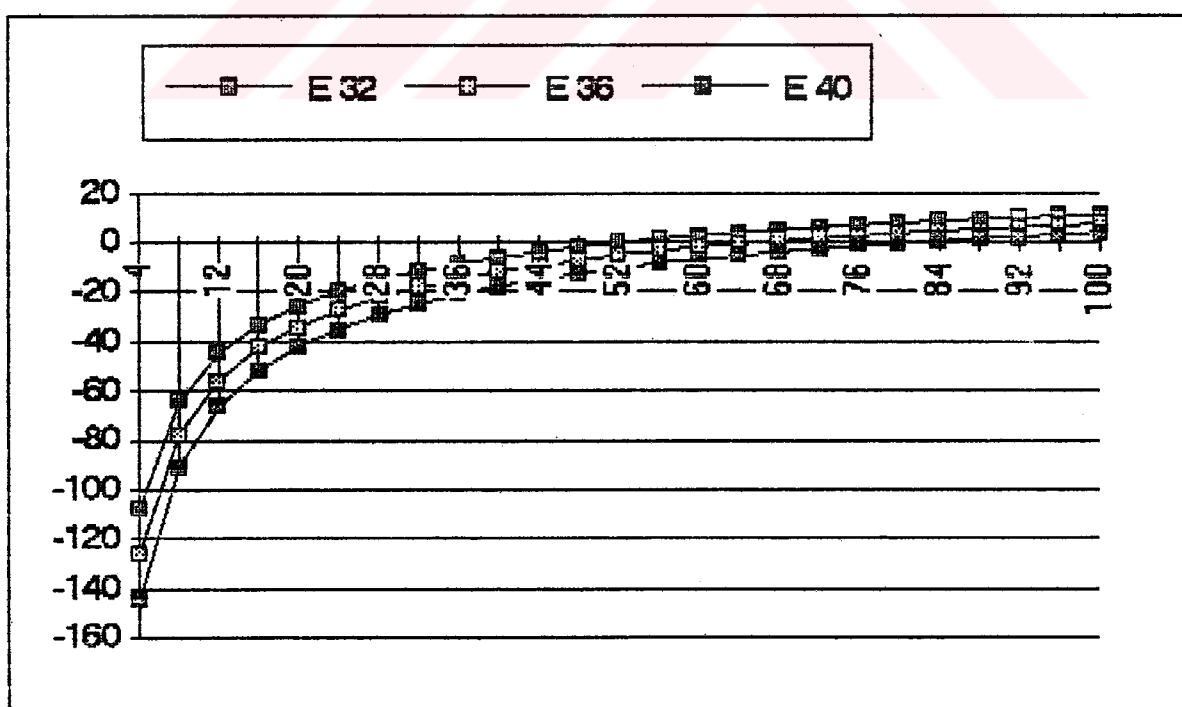
Şekil.2.13. a



Şekil.2.13.b



Şekil.2.13.c



Şekil.2.13 a,b,c,d :Nm 5 -90 arasındaki ipliklerin çalışabilecekleri makina incelikleri.

1.. Görünüm (Desen) :

- a) Farklı raylardaki İpliklerin numara , büküm ve - veya renkleri değiştirilerek.
- b) Her rayda farklı tahar durumları uygulanarak.
- c) Aynı örgü için , her rayda farklı veya aynı yatırıım uygulanarak. (Eş , zıt)
- d) Her rayda farklı örgü uygulanarak.

2.. Gramaj :Birden fazla yatırıım rayı ile çalışılan örgülerde , elde edilen kumaşın gramajı , tahar , İplik özellikleri ve örgü aynı kalmak şartıyla tek yatırıım rayı ile elde edilen kumaş gramajının kullanılan yatırıım rayı ile çarpılmasından daha büyük değerler olacaktır.

3.. Tutum (Tuşe) :Diğer örme şartları ve malzeme aynı kalmak şartıyla , ray sayısı arttıkça kumaşın tutumu daha dolgun ve daha hacimli olacak ve kumaş kalınlığı artacaktır.

4.. Mukavemet (yırtılma , patlama) :Ray sayısı arttıkça , kumaşın birim alanındaki İplik miktarı ray sayısı ve rayların taharı ile doğru orantılı olarak artacağından kumaş mukavemet değerleri daha yüksek olacaktır.

5.. Esneklik :

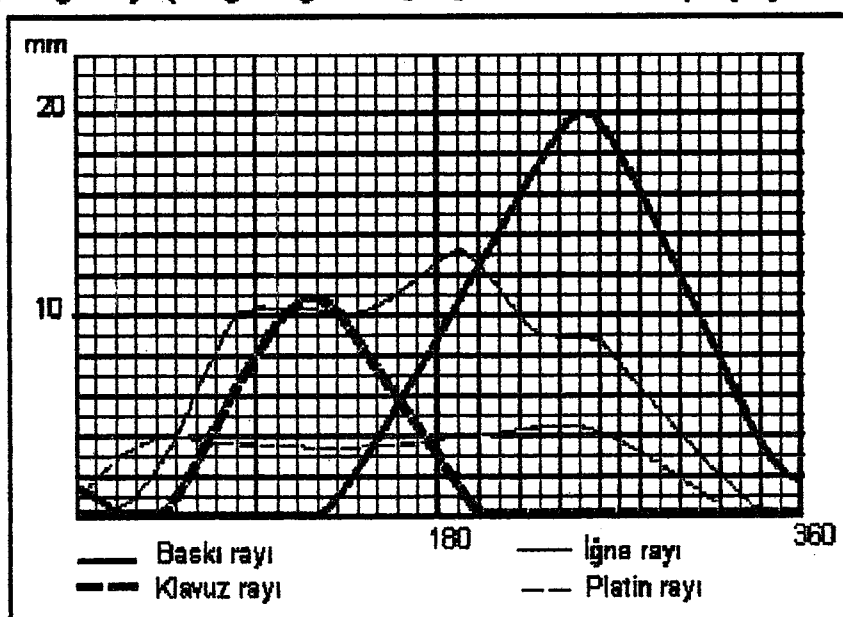
6.. Örtme

özelliklerine etki eder.

2.2.5. Kullanılan ilmeğin yapısı ve özellikleri.

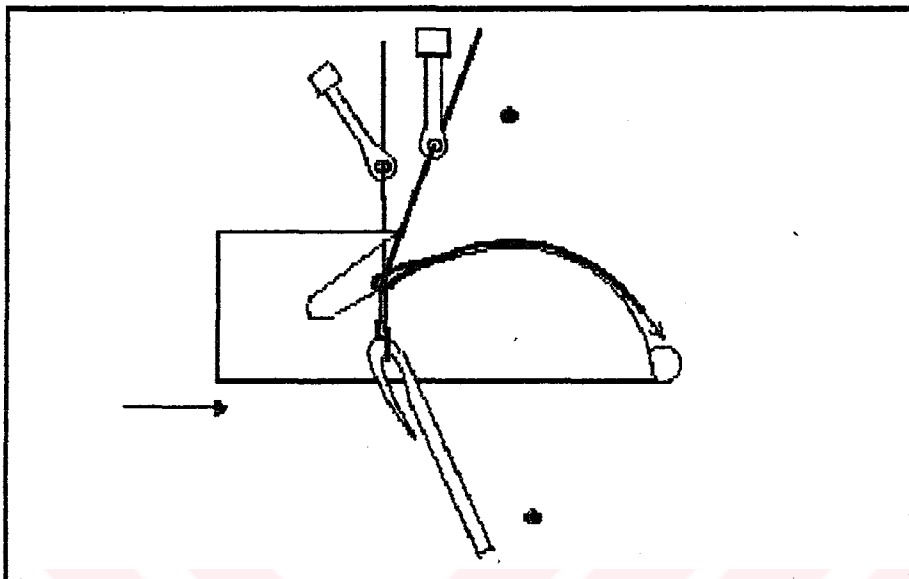
2.2.5.1. Çözgülü Otomat örme makinalarında ilmek oluşumu

Çözgülü otomat örme makinalarında ilmek oluşum aşamaları makinanın ana miliinin açısal değerine bağlı olarak ifade edilebilirler.Zamanlama diyagramlarında İgne rayı , yatırıım rayları , platin rayı , baskı rayı (esnek uçlu İgne ile çalışan makinalarda) , sürgü rayı (Sürgülü İgne ile çalışan makinalarda) diyagramları gösterilir.



Şekil .2.14: Çözgülü otomat makinası zamanlama diyagramı

1. Örme devrinin başlangıcı (0°) : İğneler önceki kursun ilmek düşürme işlemini henüz tamamlamıştır. Platin rayı alt yatırımlı ipliklerini tutmak için ileriye doğru hareket halindedir. Yatırımlı rayları alt yatırımlı hareketi yapar ve pozisyonları İğnelerin öndedir. (Şekil .2.15)



Şekil .2.15: Örtücü elemanlarının ana milin 0° deki pozisyonları

2. 45° pozisyonu : Platinler ileriye doğru hareketini tamamlar ve platin boynu kumaşı tutar. İğneler ilmeklerin arasından yükselir ve kancaları açılır. Klavuz rayları alt yatırımin yana salınım hareketini yapar.

3. Ana milin 90° pozisyonu : İğne rayı açık pozisyonuna gelmektedir. Klavuz rayları iğneler arasından iğne kancasının bulunduğu tarafa salınım yapar. Platin rayı , bir önceki kursta şekillenmiş ilmeği boşaltmak için yavaşça geriye doğru hareket eder.

4. Ana milin 125° pozisyonu : İğne rayı açma pozisyonunda dururken klavuz rayları iğnelerin kanca tarafına doğru örgüye bağlı olarak (1,2,3,4) iğne mesafesi salınım yaparak üst yatırımı tamamlarlar. Klavuzlar komşu iğnenin arasından geriye salınım yapmaya başlarlar. Bu esnada iplikler soldaki iğnenin kancası üzerine sarılırlar.

5. Ana milin 195° pozisyonu : İğneler ikinci defa yükselmeye başlarlar. Böylece iğne kancasında bulunan sarılmış bulunan ilmekler iğne gövdesine kayarlar.

6. Ana milin 225° pozisyonu : İğneler ikinci alçalma hareketine başlarlar. Platin rayı önceki (iğne gövdesindeki) ilmeklerin iğne kancasının dışında kalmalarını sağlamak üzere ileriye doğru hareket ederler.

7. Ana milin 250° pozisyonu : İğne rayı alçalma hareketinin ortasında beklemeye yapmaktadır. Kancanın ucu platin yüzeyinin altındadır. Böylece yeni sarılan iplikler kancanın içinde kapatılmıştır. Baskı rayı ileriye doğru hareket ederek iğne kancalarını iğne gövdesine bastırır. Platin rayı geriye doğru harekete başlar.

8. Ana miliin 290° pozisyonu : İgne rayı beklemeye yaparken platin rayı geriye doğru harekete başlar. Platin boynu , kumaşın yukarıya doğru yükselmesini sağlar. Önceki ilmekler kancanın Üzerine gelir. Baskı platinileri geriye çekilir.

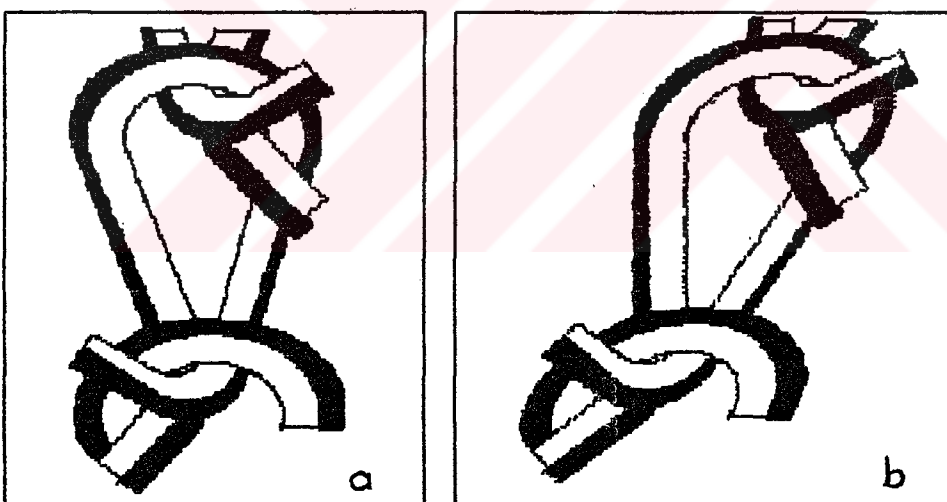
9. Ana miliin 330° pozisyonu : Baskı rayı geriye doğru hareket eder. Igne rayı aşağıya doğru hareket ederek yeni ilmekleri eskilerininarasından çeker. Aynı zamanda yatırırm rayları ignelerin önden salının hareketine (Alt yatırım başlangıcı) başlarlar. platinler ileriye doğru harekete başlarlar.

10 Ana miliin 360° pozisyonu : Igne rayı en aşağıdakı dönüş noktalarına ulaşıcaya kadar hareket eder. Eski ilmekler Igne kancası Üzerinden kayarak düşer. Yeni yatırılan iplik ise eski ilmeklerin arasından çeklerek yeni bir ilmek sırası oluşturulur. Düşürülen ilmekdere iplik gerillimi ve kumaş çekme kuvveti vasıtasiyla bitiş boyutları verilir. Platin rayı ise ileriye doğru hareketine devam etmektedir.

2.2.5.2. Eş yatırım.

2.2.5.2.1. Kapalı ilmek.

Cözgülü otomat makinalarında eş yatırımı oluşturulan kapalı ilmeklerin bacakları aynı yönde olduklarıdan her yatırım rayı ilmeğinin bacağı birbir Üzerine binecektir. Bu durumda oluşan ilmek uzunluğu arka raylara doğru artacaktır.

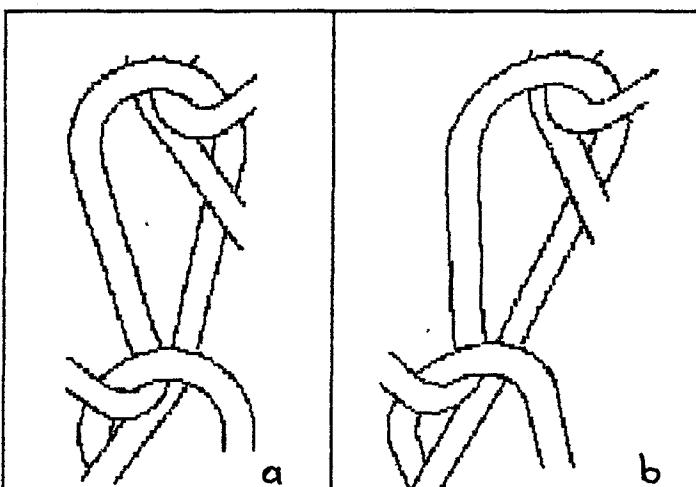


Şekil 2.16. : Eş yatırımı kapalı ilmeklerde örme anındaki ve kumaş Üzerindeki görünümü. (a ve b)

Doku oluşumu esnasında oluşan gerilm kuvvetlerinin etkisi altında kalan ilmekler , ilmek bacakları aynı yönde olduğundan makinedan çıkış serbest hale geçtikten sonra oluşan iç gerilmelerin oluşturacağı kuvvet çiftinin etkisi altında kalacağından döndürme momentini iplikler arasındaki sürütme kuvvetlerini dengeleyinceye kadar dönecektir. Bunun sonucu olarak kumaşın örülme yönünde zıpkıcalar oluşturacaklardır. Oluşan zıpkıcların yatayla yaptığı açının ölçüsü ; yatırım rayının kaç igne mesafesi yatırım yaptığına bağlı olarak değişecek ve yatırım

uzadıkça ilmeğin yatayla yaptığı açı küçülecektir. ilmeğin yatayla yaptığı açıya bağlı olarak kumaşın enine uzaması azalırken Ters orantılı olarak kumaşın boyuna uzaması artacaktır.

2.2.5.2.2. Açık İlmek.

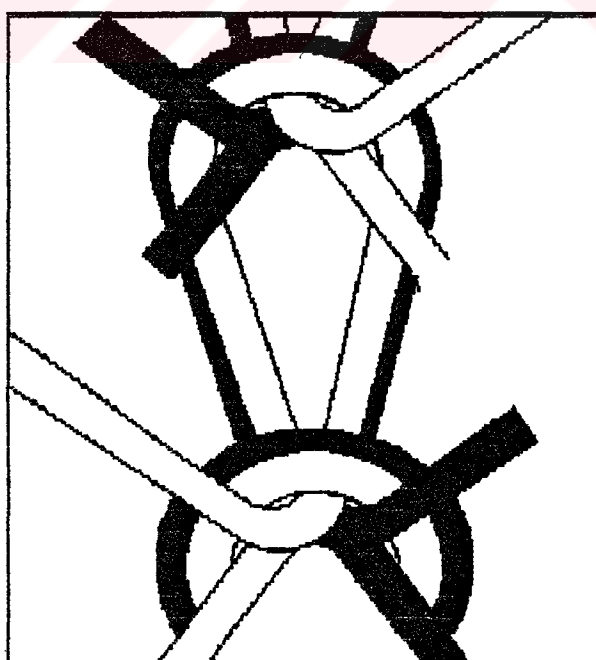


Şekil 2.17. : Eş yarımılı açık ilmeklerde örme anındaki ve kumaş üzerindeki görünümleri. (a ve b)

Açık ilmeklerin eş yarımında her yarımın rayında oluşan ilmek ayakları aynı yönlü olduklarıdan, kumaş boyunca bakıldığından birbirlerine göre belirli açılarda pozisyon almış ilmekler görülecektir.

2.2.5.3. Zıt yarım.

2.2.5.3.1. Kapalı İlmek.



Şekil 2.18. : Zıt yarımılı kapalı ilmeklerin kumaş üzerindeki görünümü.

Yarım raylarında zıt yarımılı kapalı ilmek oluşturulması durumunda, eş

yatırımdan farklı olarak farklı raylardaki ilmek ayakları birbirleri üzerinden geçmeyeceğinden ilmeklere harcanan iplik uzunlukları farklı olacaktır. Ayrıca oluşan ilmeklerin geometrisi dolayısıyla ilmeğe etkilen gerilm kuvvetleri birbirlerini dengeleyeceklерinden ötürümüş kumaşlardaki ilmekler yaklaşık olarak yatayla 90° açı oluşturarak düzgün ilmek çubukları şeklinde görülürler. Ilmeğe etki eden gerilm kuvvetlerinin birbirini dengelemesi sonucu kumaş enince ve boyunca etkilen dış gerilmilere karşı daha dengeli bir yapı oluştururlar.

2.2.5.3.2. Açık ilmek.

Eş yatırımda olduğu gibi bir önceki ilmeğe bağlanan ilmek ayağı serbest konumda değildir. Eş yatırıma göre daha dengeli ilmek yapısı oluştururlar.

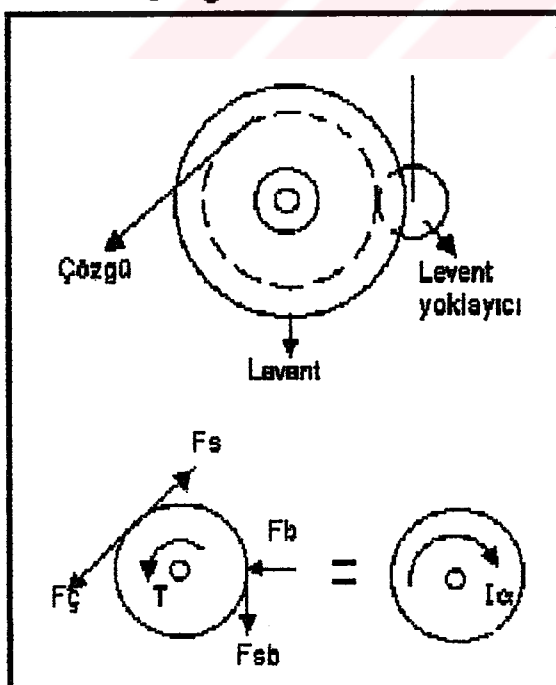
2.2.6. Örme işlemi esnasında oluşan kuvvetlerin analizi.

2.2.6.1. Çözgү gerilimi :

Çözgү salma işlemi , makina üzerindeki ilk işlem olduğundan diğer sistemleri etkiler. Çözgүün örүсү ünitelere sevkı her levent devri için aynı olmak zorundadır. Eşit olmayan çözgү gerilimleri yatırım raylarını ve lgneleri zorlayacaktır. Ayrıca kumaşın sıkılığında ve esnekliğindede değişimlere neden olarak uniform bir kumaş oluşmasını engelleyecektir.

Bu tür hataların giderilmesi için çözgү ipliğinin daima aynı gerilimde sevk edilmesi gereklidir. Aynı gerilimin sağlanabilmesi için , çözgү ipliğinin aynı sevk hızında beslenmesi sağlanmalıdır.

2.2.6.1.1. Çözgү salma sisteminin kuvvet analizi :



- $F_{\text{ç}}$ = Çözgү salma kuveti
- $F_{\text{çs}}$ = Çözgү salma sürünenme kuveti
- T = Leventin torku
- F_b = Ölçme aparatı baskı kuveti
- F_{sb} = Ölçme aparatının leventte oluşturduğu sürünenme kuveti
- r_1 = Leventin maksimum yarıçapı
- r_2 = Leventin minimum yarıçapı
- I = Leventin atalet momenti
- α = Leventin açısal ivmesi
- m = Levent kütlesi
- θ = Çözgү açısı
- μ = Sürünenme katsayıısı.

Şekil .2.19. Çözgү otomat makinalarında çözgү salma sistemi kuvvet analizi

Şekil .2.19 'dan leventin ağırlık merkezine göre moment alınarak :

$$\sum M_g = I \cdot a$$

$$F_c \cdot r^2 = -T + m \cdot F_b \cdot r^2 + F_{cs} \cdot r^2 - \frac{1}{2} \cdot (m \cdot r^2 \cdot a) \quad (1)$$

$$\sum F_x = 0 \quad F_b = F_c \cdot \cos(\varphi) \quad (2)$$

$$\sum F_y = 0 \quad F_{sb} = F_c \cdot \sin(\varphi) \quad (3)$$

2 ve 3 ifadeleri 1 denkleminde yerine konularak ;

$$F_c = -(T/r^2) + F_{cs} + m \cdot F_s \cdot \cot(\varphi) - \frac{1}{2} \cdot (m \cdot r^2 \cdot a) \quad (\text{Bağ.2.7})$$

değerl elde edilir.

2.2.6.1.2. İplik yolundaki gerdirme sistemlerinin analizi :

Çözgülü levendli ile örme bögesi arasındaki iplik üç bölümde ayrılmıştır. Gerdirme çubuğu ile örme bögesi arasındaki iplik uzunluğu L_1 , tarak ile gerdirme çubuğu arasındaki uzunluk L_3 'dür. Bu bölümlerdeki iplik gerilmeleri sırasıyla F_1 , F_2 ve F_3 'dür. α ve β , F_1 ve F_2 kuvvetlerinin doğrultuları ile gerdirme çubuğunun hareket yönü arasındaki açılardır. Gerdirme çubuğunun doğrusal ve açısal konumları sırasıyla x ve θ ile gösterilmiştir.

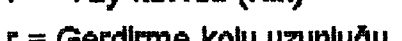
Dinamik şartlarda gerdirme sistemi üzerinde etki yapan kuvet momentleri eşitlenliğinde :

$$I \cdot \dot{\theta} + C \cdot \dot{\theta} + P \cdot r = F \cdot r \quad \text{bulunur. Bu ifadede}$$

I = Gerdirme sisteminin atalet momenti.
 P = Katsayı.
 r = Gerdirme kolu uzunluğu.

C = Sürünmeye ait sönüm

$F = F_1 + F_2$ kuvvetlerinin bileskesi.



Şekil .2.20. İplik yolu ve ipliğe etkileyen kuvvetler.

$I. \frac{x}{r^2} + C \cdot \frac{x}{r^2} + K.x = F_1 \cdot \cos(a) + F_2 \cdot \cos(b)$ (Kuvvet denklemi) (Bağ.2.8)
 şeklini alır. İplik ihtiyacı için :

$$L = E + t.(V_1 - V_2) + x.(\cos(a) + \cos(b)) \quad (\text{İplik ihtiyacı}) \quad (\text{Bağ.2.9})$$

yazılabilir. Bu denklemde :

E = Üç bölümdeki İpligin toplam uzaması.

V_1 = Çözgү salma hızı. V_2 = Kumaş çekme hızı.

t = zaman

Eğer her üç bölümdeki İplik uzamları E_1, E_2, E_3 ise ve k İpliklerin başlangıçtaki young modülünün tersi ise :

$$E = L_1 \cdot E_1 + L_2 \cdot E_2 + L_3 \cdot E_3 = k.(L_1 \cdot F_1 + L_2 \cdot F_2 + L_3 \cdot F_3) \quad (\text{Bağ.2.10})$$

Bağıntı 2.10'dan;

$$L = k.(L_1 \cdot F_1 + L_2 \cdot F_2 + L_3 \cdot F_3) + t.(V_1 - V_2) + x.(\cos(a) + \cos(b)) \quad (\text{İplik ihtiyacı}) \quad (\text{Bağ.2.11})$$

İplik leventten sürekli olarak beslendiği için, örne bögesindeki herhangi bir gerilim düşmesi sonucu İpligin akış yönünün tersine hareketinin olmadığı kabul edilmiştir. Bu yüzden :

(m.q2)

$$F_2 = F_3 \cdot e \quad (\text{Bağ.2.12})$$

Gerdürme çubuğu yukarıya doğru hareket ettiğinde (gerilim düştüğü zaman) :

(mq1)

$$F_1 = F_2 \cdot e \quad (\text{Bağ.2.13})$$

- (mq1+mq2)

$$F_3 = F_1 \cdot e \quad (\text{Gerilim düşerken}) \quad (\text{Bağ.2.14})$$

Gerilim yükseldiğinde, İplikler gerdürme çubuğu üzerinde kaymamışlardır. Bu durum ya $F_1 = F_2$ olduğunu, yada F_2 ve F_1 arasındaki farkın İpliklerle gerdürme çubuğu arasındaki sürtünme kuvvetinden daha küçük olduğu anlamını taşır. Basitleştirme açısından $F_1 = F_2$ alınarak :

-(mq2)

$$F_3 = F_1 \cdot e \quad (\text{Gerilim yüksellsen}) \quad (\text{Bağ.2.15})$$

elde edilir. Yukarıdaki denklemlerden :

Gerilim yüksellsen :

$$I. \left(\frac{x}{r^2} + C \cdot \frac{x}{r^2} + k \cdot x \right) + F_1 \cdot (\cos(a) + \cos(b)) = F_1 \cdot e \quad (\text{Kuvvet denklemi}) \quad (\text{Bağ.2.16})$$

(- mq2)

$$L = k \cdot F_1 \cdot (L_1 + L_2 + L_3 \cdot e) + t \cdot (v_2 - v_1) + x \cdot (\cos(a) + \cos(b)) \quad (\text{İplik ihtiyacı}) \quad (\text{Bağ.2.17})$$

Gerilim düşerken :

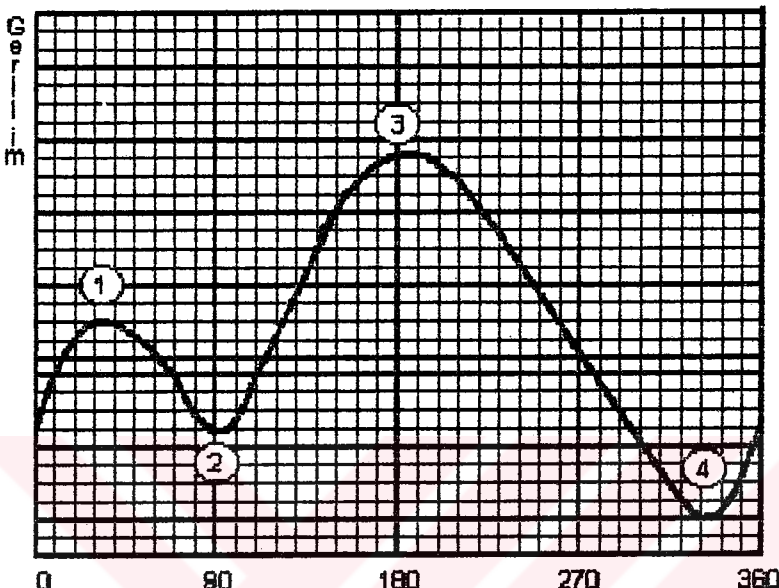
$$(- m\ddot{q}_1)$$

$$I. \left(x / r^2 \right) + C.x/r^2 + k.x = F_1.(Cos(a) + Cos(b)e) \quad (\text{kuvvet denklemi}) \quad (\text{Bağ.2.18})$$

$$(-m\ddot{q}_1) \quad -(m\ddot{q}_2 + m\ddot{q}_1)$$

$$L = k.F_1.(L_1+L_2.e + L_3.e) + t.(v_1-v_2) + x.(Cos(a) + Cos(b)) \quad (\text{iplik iht.}) \quad (\text{Bağ.2.19})$$

Denklemeler elde edilir.



Şekil . 2.21. Makina dönüş açısına göre iplikteki gerilim değişimleri.

Yapılan deneyler sonucunda iplik salma ve kumaş çekme miktarında örükü elemanlarının değişik pozisyonlarının sonucu olarak çözgülü gerilimlerinde büyükdeğişikliklerin olduğu görülmüştür. Bir örme periyodu içinde çözgülü ipliği üzerindeki gerilim miktarı ölçülmüş ve iplik geriliminin bir çok kez değişme gösterdiği görülmüştür. Bu durum şekil .2.21' de gösterilmiştir. Şekilde belirtilen noktalar şu şekilde açıklanabilir.

- (1) - Bu noktadaki gerilim artışı, örükü iğne üzerindeki eski ilmeğin aşırılaşmasından kaynaklanmaktadır. İplik iğne tarafından çekilince ve buna bağlı olarak iplik üzerindeki gerilim artmaktadır.
- (2) - Bu noktadaki gerilim düşüşü, iğnenin ilmek aşırıma pozisyonundan sonra yükselmesinden kaynaklanmaktadır. Eski ilmek çözgülü iplığının geçebileceği bir açıklığı tadır. İğne yükselir yükselmez, ilmek içindeki iplik dışarıya doğru hareket edecek ve iplikte bollaşma meydana geleceğinden gerilim düşecektir.
- (3) - Yatırım raylarının içeriye salınım hareketinden gerilim artışı meydana gelecektir. İçeriye salınım hareketi esnasında büyük iplik ihtiyacı olacağından gerilim artar.

(4) - Bu noktadaki gerilim düşüşü , oluşan ilmeğin , aşırtma platini tarafından aşırıtılmadan meydana gelmektedir.Aşırtma platini geriye doğru hareket ederken örgüyü Igne üzerinden itecektir.Örme elemanları arasındaki mesafeyi kısaltır ve İplik takviye ederek İplikte bollaşma meydana getirir. Gerilim düşer.

Çö zgülü örme ilmeğin son formunu , örgüye dahil edilmeden önce Inş pozisyonunda almaktadır.Bu pozisyonda , ilmek Igne kancasının etrafına yayılmıştır.Yayılma esnasında örgünün yukarıya doğru çekilmesi ve İpliği bollaşması nedeniyle düşük İplik gerilimi meydana gelmektedir.

2.2.6.2. Kumaş çekme sistemi kuvvet analizi :

(1,2,3) numaralı silindirler için ayrı ayrı silindirlerin ağırlık merkezlerine göre moment alınarak ;

$$S Mg = Ia \quad (1)$$

$$Fs2 = m.N2 . \cos(b1) \quad (2) \quad I = \frac{1}{2} (m . r^2 . a) \quad (3)$$

$$F3 = m.N3 . \cos(b1) \quad (4)$$

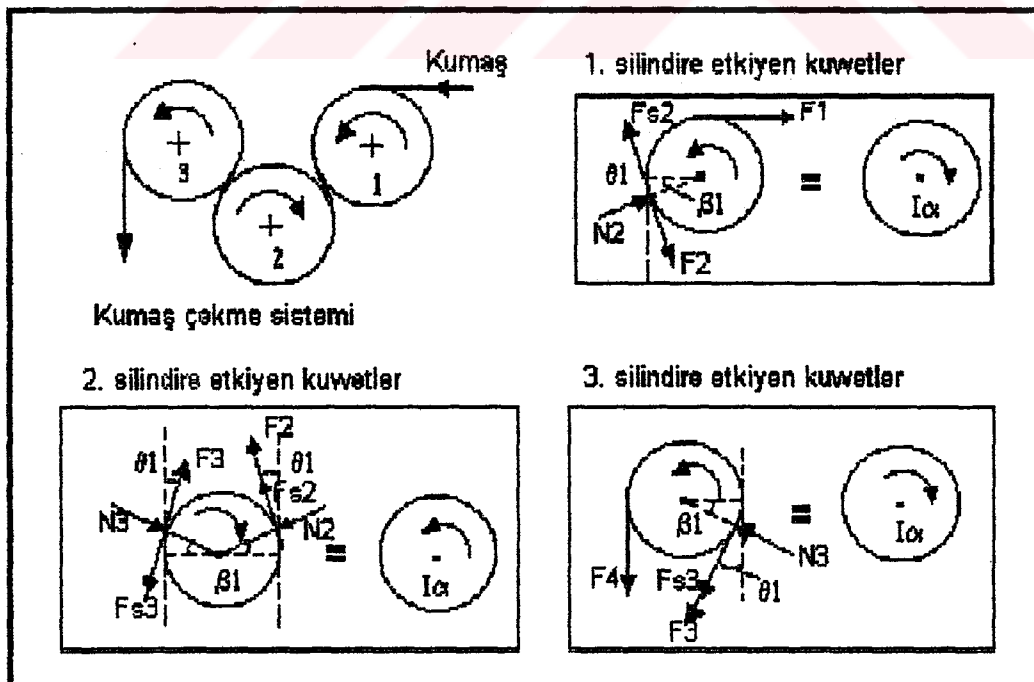
(2) , (3) ve (4) ifadeleri (1) ifadesinde yerine konularak ;

$$F2 = (1 / \cos q1) . (-F1 - m.N2.\cos(b1).\cos(q1)) + \frac{1}{2} (m.r . a) \quad (1. \text{ silindir}) \quad (\text{Bağ.2.20})$$

$$F3 = F2 + m.N2.\cos(b1) + m.N3.\cos(b1) - (1/2.\cos q1)m.r.a \quad (2. \text{ silindir}) \quad (\text{Bağ.2.21})$$

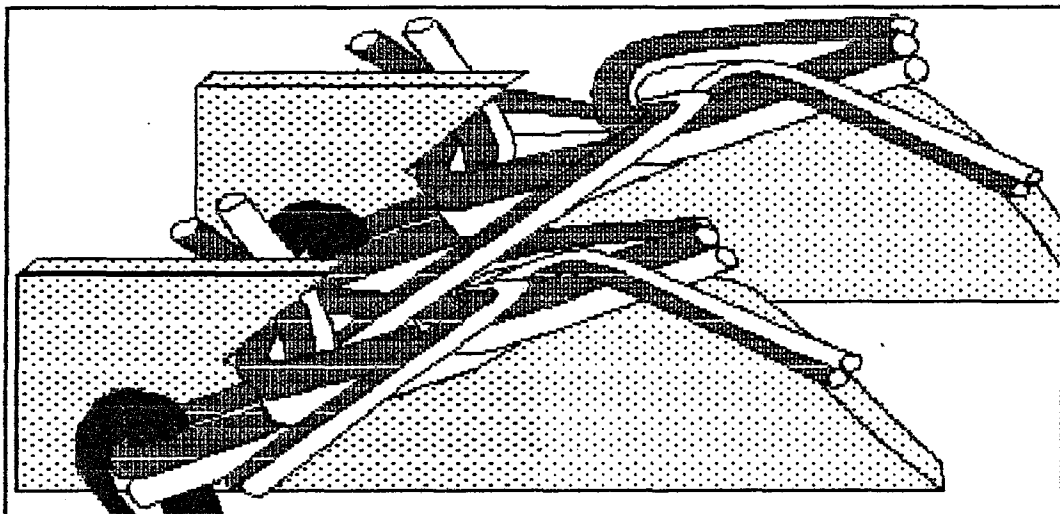
$$F4 = F3.\cos(q1) + m.N3 . \cos(b1)\cos(q1) - (1 / 2.)m.r.a \quad (3. \text{ silindir}) \quad (\text{Bağ.2.22})$$

İşlemler sonucu bulunan $F4$ kuvveti kumaşa uygulanan toplam çekim kuvvetini göstermektedir.



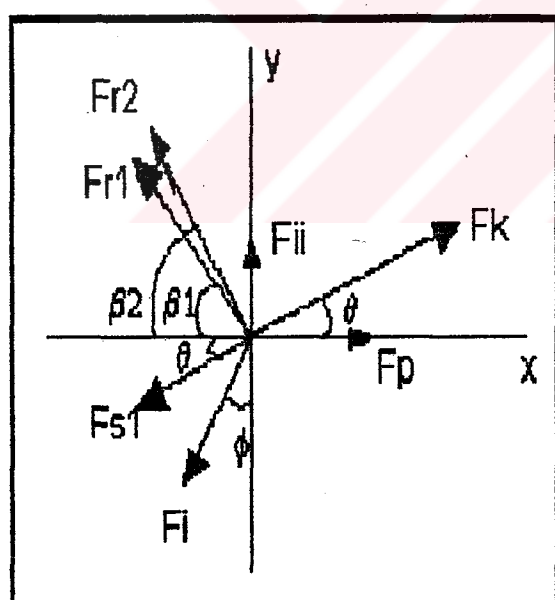
Şekil . 2.22. Çö zgü otomat makinalarının kumaş çekme sistemi ve etkiyen kuvvetler

2.2.6.3. Oluşan kuvvetlerin makinada gösterilmesi :



Şekil . 2.23. Çözgülü otomat örme makinasında ilmek düşürme pozisyonu.

Şekilde iki raylı bir çözgülü otomat örme makinasında her iki yatırıım rayının eş yatırıımı kapalı triko örgü oluştururken ilmek düşürme pozisyonu gösterilmiştir.Bu esnada oluşan kuvvetler ise şekil . 2.24 'de gösterilmiştir.



- F_i = İğneden kumaşa etkiyen kuvvet
- F_k = Kumaş çekme kuvveti.
- F_p = Platinden kumaşa etkiyen kuvvet
- F_{r1} = Birinci yatırıım rayından kumaşa etkiyen kuvvet.
- F_{r2} = İkinci yatırıım rayından kumaşa etkiyen kuvvet.
- F_{s1} = Platin , iplik arası sürtünme kuvveti
- F_{ii} = Yatırıım rayı gözünden gelen iplikle- rin ilmek çekimi esnasında oluştur- duğu sürtünme kuvveti.
- θ = Platin boyunun eğim açısı.
- ϕ = Platin boğazındaki eski ilmekle iğne başındaki yeni oluşan ilmeğin döşeyle yaptığı açı.
- β_1 = Birinci yatırıım rayı ipliği ile platinin sirti arasındaki açı.
- β_2 = İkinci yatırıım rayı ipliği ile platin sirti arasındaki açı.

Şekil . 2.24 . İmek düşürme esnasında etkiyen kuvvetler.

Şekildeki (F_k) kuvvetli (3.2.2) ' de bulunan (F_4) kuvvetine eşittir. (F_{r1}) ve (F_{r2}) kuvvetleri ise (3.2.1.2) ' de bulunan (1) veya (2) numaralı kuvvet denklemlerinden birine eşit olacaktır. İmek düşürme pozisyonunda yeni ilmek çekimi esnasında gerilim artacağından (F_{r1}) ve (F_{r2}) kuvvetleri (1) denklemine eşit olacaklardır. (F_{s1}) kuvveti ,

doku çekimi esnasında İplik - İplik ve platin - İplik arasındaki sürtünme kuvvetini göstermektedir.(FII) kuvveti ilmek çekimine zıt yönde oluşan yatırın rayı İplikleri ile yeni oluşturulan ilmek başı arasındaki sürtünme kuvvetidir.

Şekil .2.24 'deki kuvvetlere göre :

$$Fx=0: Fr2.\cos(b2)+Fr1.\cos(b1)+Fs1.\cos(q)+Fl.\sin(f) = P+Fk.\cos(q) \quad (\text{Bağ.2.23})$$

$$\sum Fy = 0 : Fr2.\sin(b2)+Fr1.\sin(b1) + Fl + Fk.\sin(q) = Fs1.\sin(q) + Fl.\cos(f) \quad (\text{Bağ.2.24})$$

Denklemeleri elde edilir. Şekil .2.23 'den sisteme etkiyen kuvvetlerin ilmek ayaklarına ve ilmeğin alt yatırımlarına germe kuvvetleri olarak etki etiği düşünülerek ;

$$R = \sqrt{(Fl)^2 + (Fk)^2 + (Fr1)^2 + (Fr2)^2} \quad (\text{Bağ.2.25})$$

$$R = Tla1 + Tla2 + Tay1 + Tay2 \quad (\text{Bağ.2.26})$$

Tla1 = Birinci ilmek bacağı

Tay1 = Birinci alt yatırım

Tla2 = İkinci ilmek bacağı

Tay2 = İkinci alt yatırım

Şekilden görüldüğü gibi , çözgү otomat örme makinalarında ilmek oluşumuna ve kumaş özelliklerine makinadan kaynaklanan ve İplikten kaynaklanan çeşitli kuvvetler etki etmektedir. Makinadan etki eden doku çekim kuvveti , İplik gerilim kuvvetleri , İğneler , platinler ve kılavuz rayları ile İplik arasındaki kuvvetler ve sürtünme kuvvetleri , kumaşın sıkılık değerlerine , çekme miktarına etki ederek kumaş ağırlığı , örtme faktörü özelliklerinin belli lenmesinde önemli rol oynamaktadır.

3. MATERİYAL VE METOD

3.1. Materyal.

3.1.1. İlmek modelinde kullanılan iplik özellikleri.

İlmek modellerinin oluşturulması esnasında kullanılan iplikler 50 denye 17 filamentli polyester iplikleri esas alınarak hesaplamalar yapılmıştır. Hesaplamalar esnasında ipliklerin dairesel kesitlere sahip oldukları ve ipliklerdeki kesit değişikliğinin, filamentlerin birbirlerine göre aldığı pozisyon değişimleri olduğu, ayrıca iplığın örme işlemi esnasında maruz kaldığı kuvvetlerden dolayı kesitinde meydana gelen değişikliğin sadece çap küçülmesi olduğu kabul edilmiştir.

3.1.2. Uygulamada esas alınan makina özellikleri.

Firma	:LIBA
Tip	:Copcentra 3 Pol
Iplik sevkı	: Pozitif
İgne tipi	: SÜRGÜLU İgne
Levent tipi	: Kısmi levent
Makina inceliği	:E 28
Çalışma eni	:110 cm
Çalışma şartları	:%55 ±2 nem ve 20 ± 2 °C

3.2. Metod.

3.2.1. Model oluşturmada gözönüne alınan ilmek modelleri.

3.2.1.1. Allison ilmek modeli.

Şekil .3.1 'de G. L. Allison tarafından geliştirilen ilmek modelinde , ilmeğin dört farklı kısımdanoluştugu kabul edilmiştir. İlmek başı ; 2.d yarıçapında bir yarımdaireden oluşur. İlmek kollarının ve altyatırıminin düz birer hat olduğu kabul edilmiştir.

İlmek başına harcanan iplik uzunluğu : $\pi \cdot 2.d$ (Bağ.3.1)

İlmek kollarına harcanan iplik uzunluğu : $2\sqrt{(4.d^2 + c^2)}$

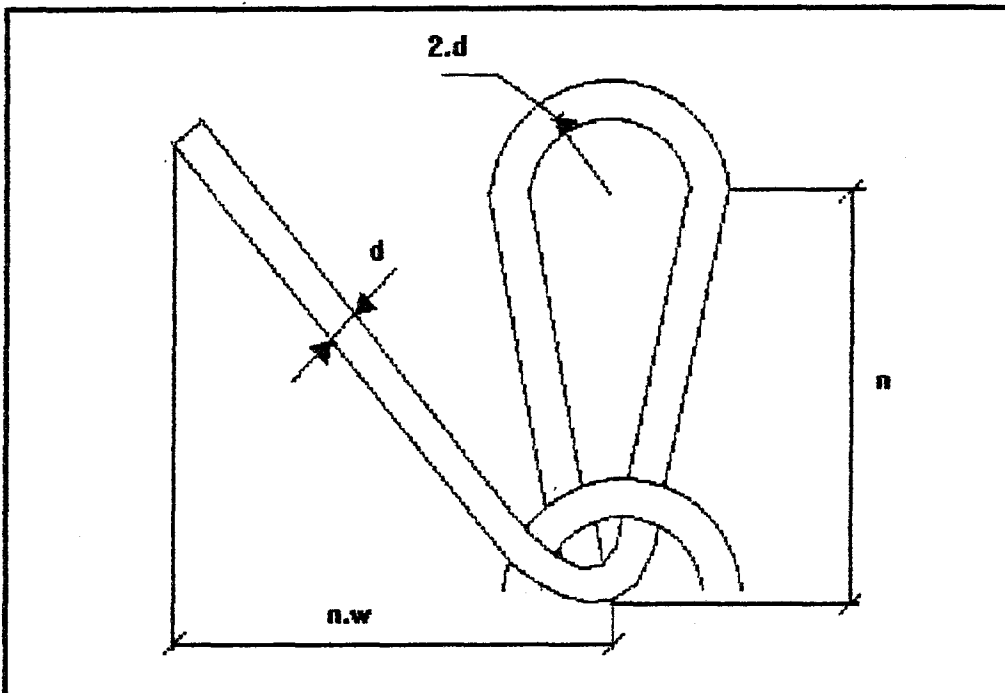
(Bağ.3.2)

Alt yatırıma harcanan iplik uzunluğu : $\sqrt{(c^2 + n^2w^2)}$ (Bağ.3.3)

İlmek uzunluğu üç ifadenin toplamına bağlı noktalarında harcanan iplik için "2.d" ilave edilerek bulunur. İlmek uzunluğu L ise ;

$L = 2.d.(1 + \pi) + 2\sqrt{(4.d^2 + c^2)} + \sqrt{(c^2 + n^2w^2)}$ (Bağ.3.4)

olarak bulunur. Bu modelde ilmeğin üç boyutlu hali gözönüne alınmamıştır. Birden fazla yatırım rayı ile çalışma durumunda her ray için harcanan iplikler aynı olarak kabul edilmiştir. Dolayısıyla fiziki ilmek yapısına basit bir geometrik yaklaşım sağlamıştır.



Şekil . 3.1. Allison ilmek modeli.

3.2.1.2 . Grosberg ilmek modelli :

Grosberg ilmek modelinde ilmek , bir elastik kısımdan ve altyatırımdan oluşmaktadır.Bu modelde eğme kuvvetlerinin , ilmeğin bağlantı noktasından etki ettiği kabul edilmektedir." Elastika " olarak isimlendirilen elastik kısmın yüksekliği , eni ve ilmek başının çevresi arasında sabit bir oran vardır.

Elastikanın uzunluğu , yüksekliğinin 2.543 katıdır.Altyatırım uzunluğu ise , altyatırım ipliği düz bir hat kabul edilerek hesaplanır.Bulunan ifadeye arka ve ön yatırım rayları için farklı düzeltme faktörleri ilave edilir.

Şekil .3.2 'de Grosberg ilmek modelinin final formu gösterilmiştir.Bu model için hesaplanan ilmek uzunlukları :

$$\text{Ön yatırım rayı ilmek uzunluğu : } \sqrt{(c^2 + w^2 \cdot (nf)^2)} + 2.543.c + 7.12 \cdot d \quad (\text{Bağ.3.5})$$

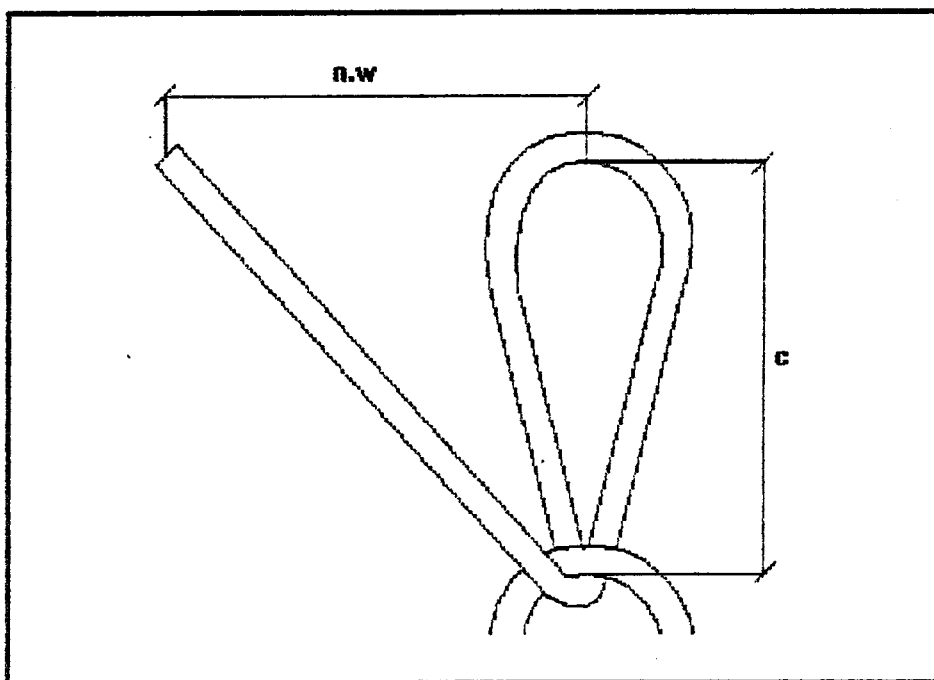
$$\text{Arka yatırım rayı ilmek uzunluğu : } \sqrt{(c^2 + w^2 \cdot (nb)^2)} + 2.543.c + 4.69 \cdot d \quad (\text{Bağ.3.6})$$

C = 1 / ilmek sırası sıklığı

nf = Ön yatırım rayının yatırım mesafesi

nb = Arka yatırım rayının yatırım mesafesi

w = 1 / ilmek çubuğu sıklığı



Şekil .3.2 . Grosberg ilmek modelli

3.2.1.3. Makina durumu modeli :

Bu ilmek modeli , kumaş ölçülerİ ile makinadaki İplik tüketiminin arasındaki bağıntıyı sağlamak için geliştirilmiştir. Modelde ilmek başı , Bağlantı noktasındaki İplik uzunlukları , ilmek ayakları ve alt yatırıım uzunuğu ayrı ayrı hesaplanarak bulunan değerler toplanmış ve ilmek uzunuğu elde edilmiştir. Modelde ;

$$c = 1 / \text{İmek sırası sıklığı}$$

$$n = \text{Yatırıım rayının yatırıım mesafesi}$$

$$w = 1 / \text{İmek çubuğu sıklığı}$$

$$d = \text{İplik çapı}$$

olarak alınmıştır.

Şekil .3.3 ve 3.4 'de makina durumu ilmek modellinin yapısı ve bağlantı noktalarının (İmek ayakları) uzunlukları gösterilmiştir.İmek İçin harcanan İplik uzunuğunun bulunması için her kısmın uzunuğu ayrı ayrı hesaplanmıştır.

İmek başı İplik uzunuğu : $3.d + p.d$

$$\text{İmek koluna harcanan İplik uzunuğu} : \sqrt{(c - 2.d)^2 + d^2} \quad (\text{Bağ.3.7})$$

$$\text{Diğer kola harcanan İplik uzunuğu} : \sqrt{(c - 2.d)^2 + (2.d)^2} \quad (\text{Bağ.3.8})$$

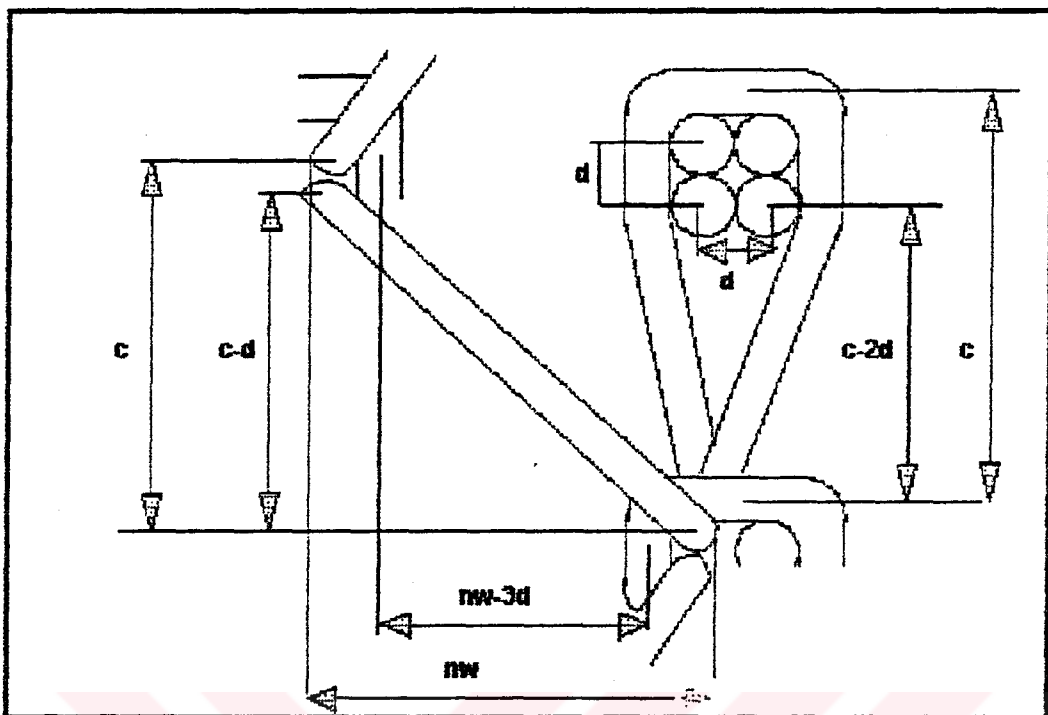
$$\text{Birinci ilmek ayağına harcanan İplik miktari} : 2.(2.p.d/4) + d \quad (\text{Bağ.3.9})$$

$$\text{Ikinci ilmek ayağına harcanan İplik miktari} : 2.(2.p.d/4) + 2.d \quad (\text{Bağ.3.10})$$

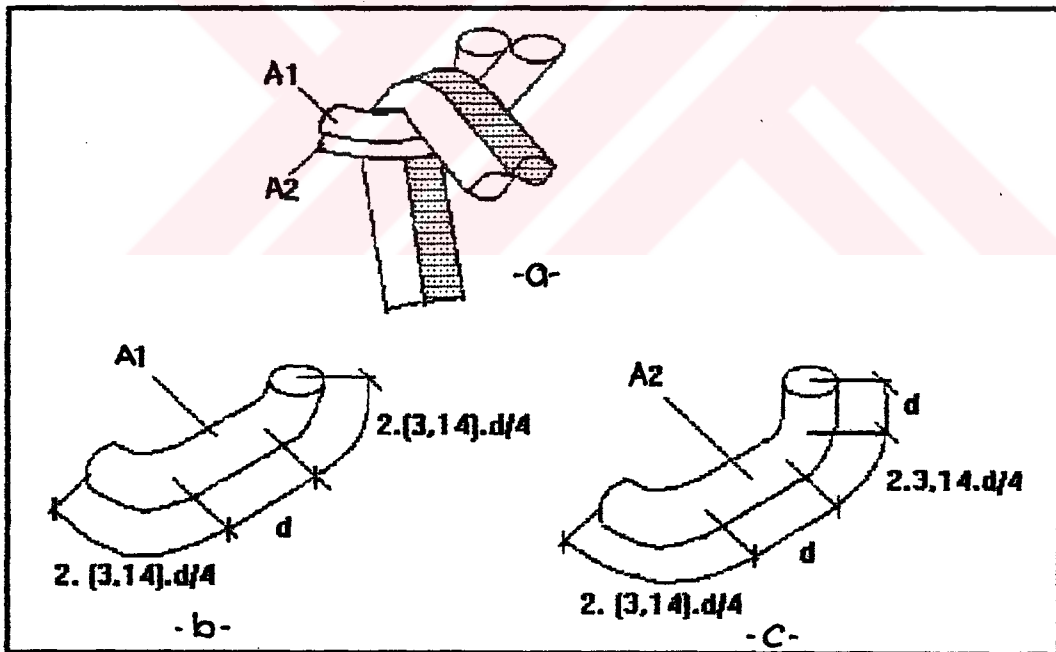
$$\text{Alt yatırıma harcanan İplik miktari} : \sqrt{(c - d)^2 + (n.w - 3.d)^2} \quad (\text{Bağ.3.11})$$

İmek için harcanan toplam İplik miktari :

$$\sqrt{(c - d)^2 + (n.w - 3.d)^2} + \sqrt{(c - 2d)^2 + d^2} + \sqrt{(c - 2.d)^2 + 4.d^2} + 15,4.d \quad (\text{Bağ.3.12})$$



Şekil . 3.3 . Makina durumu ilmek modeli



Şekil . .3.4. Makina durumu ilmek modelinde bağlantı noktaları uzunlukları.(Tek yatırıım rayında a ,b,c)

Kullanılan ilmek franse ilmeği ise normal ilmeğe göre farklılığı alt yatırım uzunluğundan kaynaklanacağı için franse ilmeğinin uzunluğu

$$\sqrt{d^2 + (c - d)^2} + \sqrt{(c - 2d)^2 + d^2} + \sqrt{(c - 2.d)^2 + 4.d^2} + 15.4.d \quad (\text{Bağ.3.13})$$

Olarak bulunur.

Bu çalışmada ilmek modelinin elde edilmesinde makina durumu modeli esas alınmıştır.

3.3. Kumaşların fiziksel ve geometrik özelliklerinin karşılaştırılmasında model alınan hesaplama yöntemleri.

3.3.1. Kumaş ağırlığının hesaplanması.

Kumaşın m^2 gramajının hesaplanması esnasında kullanılan kumaş ve makina parametreleri aşağıdaki şekilde çıkarılmıştır.

1. Makina inceliği. ($E = \text{iğne/inç}$)
2. Makinanın yatırım rayı sayısı. (2,3,4)
3. Her yatırım rayında kullanılan iplik numaraları.(Denye)
4. Her yatırım rayının örme işlemi esnasında oluşturduğu alt yatırım uzunluğu.
5. Yatırım raylarında ilmek oluşturulma anında uygulanan yatırım türü.(Eş,Zıt)
6. Oluşturulan ilmeğin yapısı. (Açık, Kapalı)
7. Örülən kumaşın ilmek sırası sıklığı. (Sıra/cm)
8. Kullanılan makinanın inceliğine, iplik numarasına ,sıra sıklığına ve örme esnasında kumaşa ve ipliğe uygulanan kuvvetlere bağlı olarak meydana gelen kumaşın enden çekme miktarı .(%)

Yukarıdaki parametrelerden 1-7 arasındaki parametreler ilmeğin oluşturulması esnasında ve ilmek uzunluğunun bulunmasına doğrudan etki ederler. Son parametre ise oluşturulan kumaşın alanının değişmesine neden olduğundan kumaşın m^2 gramajının hesaplanması esnasında kullanılması gereken önemli bir parametredir.

Kumaşın m^2 gramajının hesaplanması esas olarak alınan yöntem , kullanılan makinanın yatırım rayı sayısına , ilmek tipine , alt yatırım mesafesine ve kullanılan yatırım türüne göre her yatırım rayında ilmek uzunlıklarının ve her yatırım rayında harcanan ipliğin ağırlığının bulunmasıdır. Sonra kumaşın çekme miktarı kisim (2.1.1) 'de açıklanan yöntemle bulunarak kumaşın m^2 gramajı hesaplanır.

$$\text{İmek çubuğu sayısı} = 100.(1+C/100).E/2.54$$

$$1 \text{ m kumaştaki ilmek sırası sayısı} = S.100 \text{ (Sıra/m)}$$

$$1 \text{ } m^2 \text{ kumaştaki ilmek sayısı} = \text{İmek sırası sayısı} \times \text{İmek çubuğu sayısı} \text{ (Adet)}$$

1. Yatırım rayında harcanan iplik uzunluğu

$$L1= 39,37 . (1+C/100) . E. \text{ Bir ilmeğe harcanan iplik boyu (m)}$$

2. Yatırım rayında harcanan iplik uzunluğu

$$L2= 39,37 . (1+C/100) . E. \text{ Bir ilmeğe harcanan iplik boyu (m)}$$

3. Yatırım rayında harcanan iplik uzunluğu

$$L3= 39,37 . (1+C/100) . E. \text{ Bir ilmeğe harcanan iplik boyu (m)}$$

4. Yatırım rayında harcanan iplik uzunluğu

$$L4= 39,37 . (1+C/100) . E. \text{ Bir ilmeğe harcanan iplik boyu (m)}$$

Kumaşın m^2 gramajı :

$$Gr/m^2 = (L1 . Den1 + L2 . Den2 + L3 . Den3 + L4.Den4)/ 9000 \quad (\text{Bağ.3.14})$$

3.3.2. Kumaş (mm) kalınlığının hesaplanması :

Kumaş kalınlığının hesaplanmasıında gözönüne alınan makina ve kumaş parametreleri ;

1. Makinadaki yatırım rayı sayısı.
2. Yatırımraylarında kullanılan iplik numaraları.
3. Her yatırım rayının tahrar durumu.
4. Örme esnasında ipliklere etki eden gerilme kuvvetleri.
5. Oluşturulan ilmeğin yapısı ve yatırım durumu.
6. Makina inceliği.
7. Kullanılan ipliklerin eğilme nijitikleri.
8. İlmek sırası sıklığı.

Yukarıdaki parametreler, örülen kumaşın kalınlığına direkt olarak etki eden parametrelerdir. Bu parametrelerden ipliklerin eğilme nijitliği (7) ölçülmesi zor bir değer olduğundan bu çalışmada ihmali edilecektir. Örülen kumaşların tümü için kullanılan yatırım rayı tahrarı dolu tahrar kabul edilmiştir. Örme işlemi esnasında ipliğe etki eden gerilme kuvvetlerinin miktarından daha çok, iplik kesitinde oluşturabileceği değişiklik dikkate alınmış ve bu değişikliğin iplik çapının küçülmesine neden olduğu kabul edilerek, iplik kesitindeki değişiklikler hesaplama işlemlerinde (%) değerler olarak etki ettirilmiş ve %0 - 10 arasındaki kesit değişimi durumlarında kumaş kalınlığının değişimini grafik değer olarak gösteren bilgisayar programı yapılmıştır.

3.3.2.1. İki yatırım raylı makinada örülen kumaşların kalınlık değerleri.

İki yatırım raylı çözgülü örme makinasında çalışılması durumunda Şek. 14 - 15 deki ilmek başındaki bağlantı noktalarının pozisyonları dikkate alınarak hesaplama yapılmıştır.

Şekil . 3.5 'den kumaş kalınlığı için :

Her iki rayda kullanılan iplik numarası eşit ise : $4xD1$ (cm) (Bağ.3.15)

İlk rayda kullanılan iplik numarası daha büyükse : $3xD1+D2$ (cm) (Bağ.3.16)

İkinci rayda kullanılan iplik numarası daha büyükse : $3xD2+D1$ (cm) (Bağ.3.17)

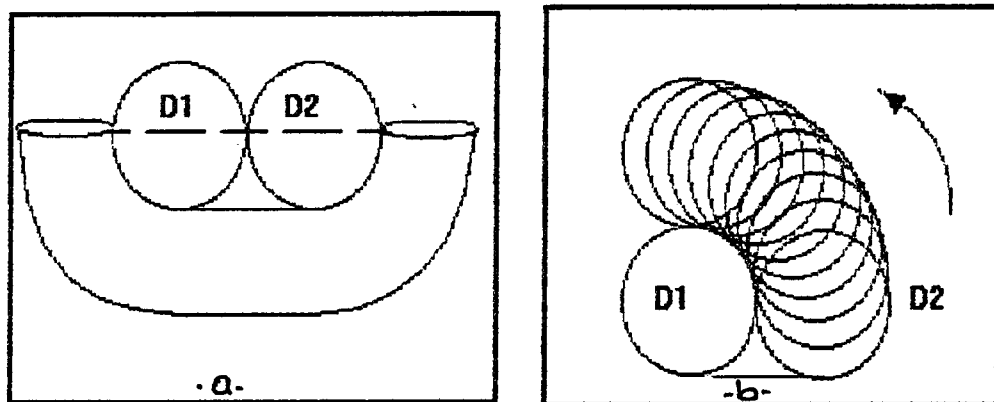
Olarak hesaplanabilir. Bu noktada dikkate alınması gereken bir diğer husus ise ilmek başlarını oluşturan ipliklerin, oluşan gerilimler dolayısıyla birbirlerine göre alabilecekleri pozisyonun belirlenmesidir. Kumaş örülp makinadan çıktıktan sonra meydana gelen iç gerilimler nedeniyle bükülürken bir önceki ilmek ayaklarının, bir sonraki ilmek başındaki ipliklerin yatay konumdan, birbirleri ile belirli açı yapacak şekilde yerdeğiştirmeye zorlaması durumunda ilmek başındaki ipliklerin ($D1+D2$) kalınlığı değişecektir. Bu durum şekil .3.5' de görüldüğü gibi, ilmek başındaki ipliklerden birisi, diğeri etrafında 0° ile 90° arasında döndüğü kabul edilerek kumaş

kalınlığında oluşan değişiklikler grafik olarak gösterilmiştir.

Eş yatırım kapalı ilmek modelinde kumaş kalınlığı = $3x(D_1+D_2)$ mm (Bağ.3.18)

Zıt yatırım kapalı ilmek modelinde kumaş kalınlığı = $(3xD_1+2xD_2)$ (mm) (Bağ: 3.19)

Eş, zıt yatırım açık ilmek modellerinde kumaş kalınlığı = $2x(D_1+D_2)$ (mm) (Bağ:3.20)



Şekil .3.5 . İki raylı makinada ilmek başı ipliklerinin alabileceği pozisyonlar. (a ve b)

Bu kumaşlarda kabul maksimum kumaş kalınlığı değeri için , ipliklerin hiçbir yassılma veya boyut değişimine uğramadığı ve kumaşın sıkılığından dolayı ilmeğin bağlantı noktalarındaki ipliklerin birbirleri üzerine bindiği özel durum kabul edilebilir. Bulunacak bu değer çok sınır bir değer olup gerçekleşme ihtimali çok düşük olacaktır.Bu sınır durumda kumaş kalınlığı için $3x(D_1+D_2)$ ifadesi yazılabilir.

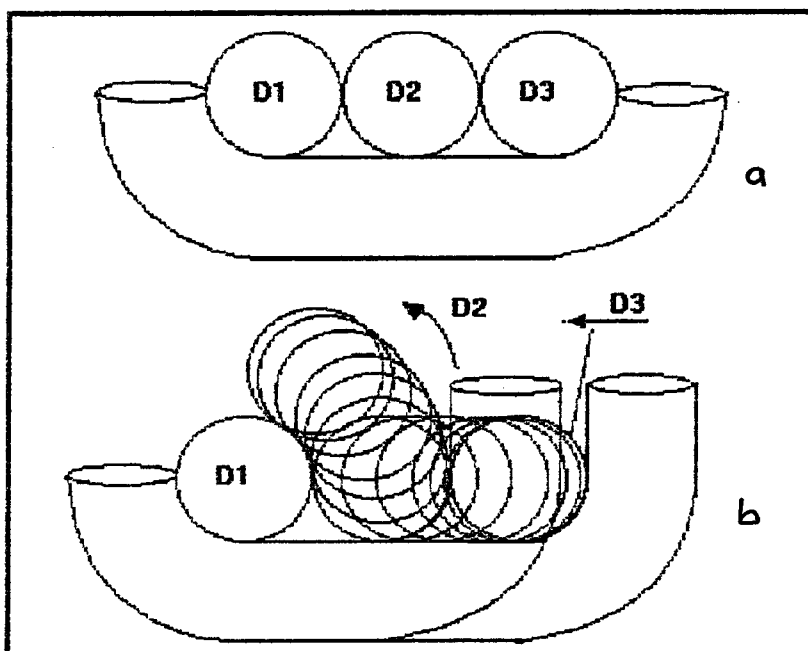
3.3.2.2. Üç yatırım raylı makinalarda örülən kumaşların kalınlığı.

Üç yatırım raylı makinalarda örülən kumaş kalınlıklarının hesaplanmasında da , kumaş kalınlığına etki eden makina , kumaş ve iplik parametreleri , iki yatırım rayında örülülmüş kumaşlarla aynıdır.

Hesaplama esnasında , Şekil . 3.29 ve 3.30' daki Üç yatırım raylı makinalarda örülən ilmeklerin bağlantı noktalarındaki ipliklerin pozisyonları esas olarak alınmıştır.İki yatırım raylı makinalarda örülən kumaşlarda olduğu gibi , buradada ipliklerin şekil değiştirmeleri , her iplığın kesiti (çap) cinsinden (%) olarak ifade edilmiştir.

İlmek bağlantı noktalarındaki ipliklerin birbirlerine göre olan konumlarının da değişim能力和 kabul edilmiş ve bu değişim en alt sınırı olarak ilmek başlarını oluşturan Üç iplığın yatay vaziyette yan yana durdukları , üst sınırı olarakta ipliklerden bir tanesinin (2. raydaki iplik) oluşan gerilim kuvvetleri dolayısıyla , 1. ve 3. ray ipliklerinin birbirlerine temas ettikleri , 2. ray iplığının ise bu iki ipliğe Üstten temas ettiği Üçgen pozisyonu olabileceği kabul edilmiştir.

Alt sınırdan Üst sınıra gelinceye kadar ipliklerin çeşitli açıları oluşturduğu Üçgenlere göre kumaş kalınlığının değişimi hesaplanarak grafik halinde gösteren bilgisayar programı yazılmıştır.(Şekil . 3.6)



Şekil.3.6 .Üç yatırım raylı makinada örülülmüş kumaşlarda ilmek başı ipliklerinin yerleşimi (a ve b)

Üç yatırım rayında örülülmüş kumaşlarda maksimum kumaş kalınlığı değeri bağlantı noktasındaki bütün ipliklerin arka arkaya dizildiği durumda elde edilebilir. Bu durum gerçekleşmesi çok zor bir ihtimaldir. Bağlantı noktasında bulunan 9 adet iplığın birbirleriyle arka arkaya dizilmesi durumunda ve ipliklerde hiçbir şekil değişikliğinin olmadığı durumda kumaş kalınlığı değeri $3x(D1+D2+D3)$ değerine eşit olacaktır.

Meydana gelme ihtimali olmayan bu değer yerine ilmek başı ipliklerinin ve kumaşın her iki yüzündeki ilmek ayaklarının Şekil .3.6 'ye benzer olarak üçgen yapı oluşturdukları kabul edilerek hesaplama yapılmıştır.

$$\text{Eş yarımılı kapalı ilmek kumaş kalınlığı} = (D1+D2+D3)+4x(D1+D2) \text{ (mm)} \\ (\text{Bağ.3.21})$$

$$\text{Eş yarımılı açık ilmek kumaş kalınlığı} = (D1+D2+D3)+2x(D1+D2) \text{ (mm)} \\ (\text{Bağ.3.22})$$

$$\text{Zıt yarımılı kapalı ilmek kumaş kalınlığı} = (D1+D2+D3)+2x(D1+D2) \text{ (mm)} \\ (\text{Bağ.3.23})$$

(İplik çapları için $4x(D1+D2)$ ifadesinde kalın ipliklerin çapları alınmalıdır)

3.3.2.3. Dört yatırım raylı makinalarda örülen kumaşların kalınlığı.

Dört yatırım raylı makinalarda örülen kumaşların kalınlığının hesaplanmasıında da makina , kumaş ve iplik parametreleri 2 ve 3 yatırım raylı makinalara aynı olarak kabul edilmiştir.

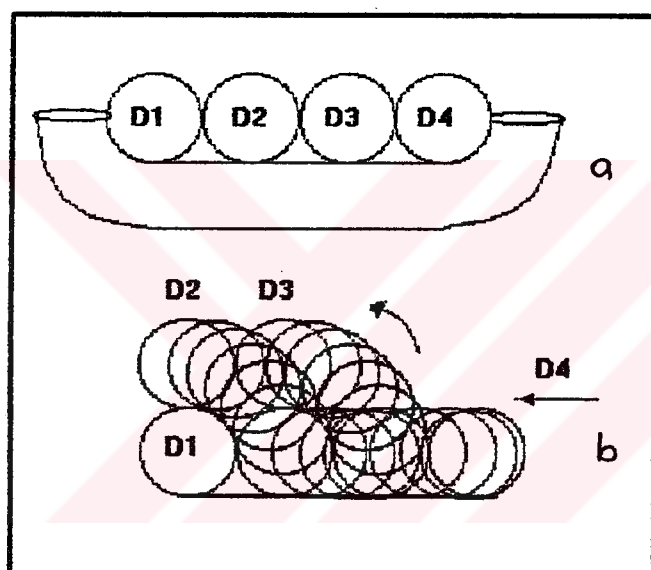
Dört yatırım raylı makinalarda kumaş kalınlığı hesaplanması esnasında Şekil.3.34'de gösterilen ilmek başı yerleşim pozisyonlarına göre kumaş kalınlığının değişimi incelenmiştir. Bu makinalarda da kalınlığın alabileceğ en yüksek değer olarak bağlantı noktasındaki bütün ipliklerin birbirleri ile arka arkaya dizildikleri kabul edildiğinde kumaş kalınlığı değeri için $4x(D1+D2+D3+D4)$ değerini yazılabilir.

Hesaplanan kalınlığın, gerçek kumaş kalınlığına daha yakın olabilmesi için bağlantı bölgesindeki ilmek başını oluşturan ipliklerin yatay pozisyonдан, ortadaki iki ray ipliğinin, oluşan gerilimler dolayısıyla yer değiştirerek iki uçtaki 1. ve 4. ray ipliklerinin üzerine binerek oluşturdukları dörtgen formuna ulaşınca kadarki kalınlık değişimleri incelenmiştir. Kumaşın her iki yüzündeki ilmek ayakları ve alt yatırımlı ipliklerinin de birbirleri ile dörtgen formu oluşturdukları kabul edilmiştir.

Eş yatırımlı kapalı ilmek kumaş kalınlığı : $(D_1+D_2+D_3+D_4)+4 \times (D_1+D_2)$ (mm) (Bağ.3.24)

Zıt yatırımlı kapalı ilmek kumaş kalınlığı : $(D_1+D_2+D_3+D_4)+2 \times (D_1+D_2)$ (mm) (Bağ.3.25)

Eş ve zıt yatırımlı açık ilmek kumaş kalınlığı: $(D_1+D_2+D_3+D_4)+3 \times (D_1+D_2)$ (Bağ.3.26)



Şekil.3.7.Dört yatırım raylı makinalarda örülülmüş kumaşlarda ilmek başı ipliklerinin yerleşimi .(a ve b)

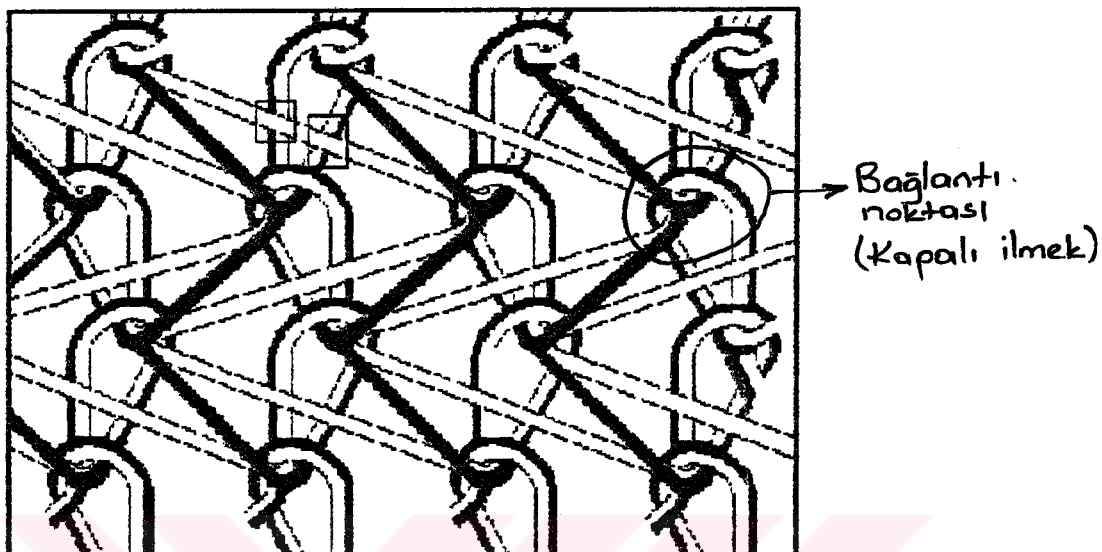
3.3.3. Kumaş yoğunluklarının hesaplanması.

İki, Üç ve dört yatırım raylı makinalarda örülen kumaşların bulunan kalınlık değerlerine bağlı olarak, 1 m^2 kumaşın hacmi cm^3 cinsinden hesaplanmış ve hesaplanan kumaş ağırlığı hacim değerine bölünerek gr/cm^3 cinsinden kumaş yoğunluğu değeri bulunmuştur. Kumaşın kalınlığında meydana gelebilecek değişimlere doğrudan bağlı olan bir değer bulunmuştur.

3.3.4. Kumaş örtme faktörlerinin hesaplanması.

İki, Üç ve dört yatırım raylı makinalarda kumaş örtme faktörlerinin bulunması için esas olarak alınan yöntem ; kumaşın birim alanı (1 m^2) içerisindeki harcanan ipliklerin toplam alanlarının, birim kumaş alanında örtükleri alanın bulunarak her ray için ayrı ayrı hesaplanması ve sonuçta toplam örtülen alanın bulunmasıdır.

Bu noktadan hareketle birim kumaş alındıktan toplam iplik alanının bulunabilmesi için 1 m^2 kumaş için her rayda harcanan iplik uzunlukları bulunarak iplik çapları ile çarpılmıştır. Bulunan alanların toplamı 1 m^2 'den büyük bir değer çıkmaktadır.



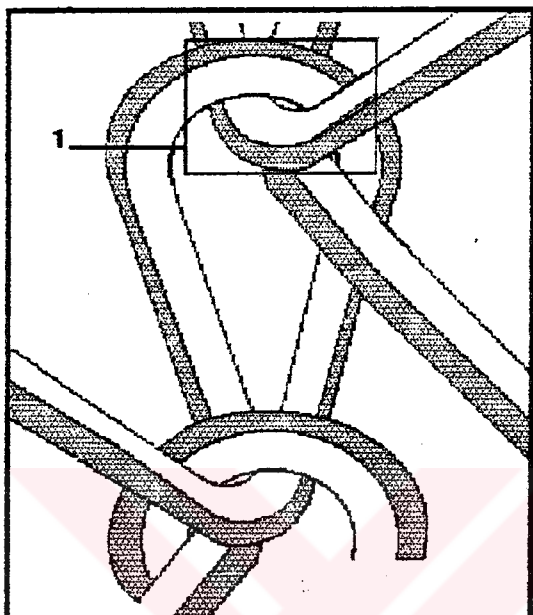
Şekil . 3.8 . İki raylı bir kumaşta bağlantı noktaları.

Şekil . 3.8.'den de görülebileceği gibi kumaştaki iplikler bilhassa bağlantı noktalarında birbirleri ile kesişmekteyler. Bu durumda kumaşın örtme faktörünün doğru olarak hesaplanabilmesi için ilmek üzerindeki kesişen kısımların alanları toplam iplik alanından çıkarılarak iplığın gerçek örtme alanı bulunmalıdır. Gerçek örtme alanının bulunabilmesi için şekil .3.8 ve 3.9' dan :

1. İlmeğin bağlantı bölgesindeki ilmek bacakları , kumaşın bir yüzünden bakıldığındaya yatay düzleme dik doğrultuda bulunacaklardır. Bu durumda ilmek ayaklarının birim kumaş alanında örtükleri alan ilmek ayağı sayısının , iplığın kesit alanı ile çarpımından bulunacaktır. Bu durumda , her ilmeğin ayak uzunluğunun iplik çapı ile çarpılması ile bulunan alan , birim alandaki ilmek sayısı ile çarpılarak ipliklerin toplam alanından çıkarılmalıdır. Sonuçta çıkan değere 1m^2 deki ilmek ayağı sayısı hesaplanarak her iplığın kesit alanı , 1m^2 deki sayısı ile çarpılarak toplam iplik alanına eklenmelidir.

2 - Şekil . 3.8'den görülebileceği gibi , bir yatırım rayının yaptığı alt yatırım hareketinin mesafesi büyütükçe , alt yatırım iplığının ilmeklerle kesişme miktarı artacaktır. Bu durumda alt yatırım ipliklerinin kesiştiği bölgelerin alanları toplanarak , toplam iplik alanından çıkarılmalıdır. Bu çalışmada alt yatırım ipliklerinin bir noktadaki kesiştiği bölgenin alanı , kenarları iplik çapına eşit olan kare şeklinde kabul edilerek hesaplama yapılmıştır.

3- Şekil .3.9 ' dan görüleceği gibi 1. ve 2. yatırım rayının ipliklerinin çok büyük bölgeleri (ilmek başları ve ilmek bacakları) birbirleri ile üstüste bindiklerinden kalan bölgelerin kapladığı alanın yaklaşık olarak ray sayısına bölünmesi ile kumaş örtme faktörü bulunabilir.



Şekil .3.9 . İki rayda örülülmüş ilmeklerde kesişme bölgeleri.

3.3.5. İki , üç , dört yatırım raylı makinalarda elde edilen yeni ilmek modellerine göre karşılaştırma faktörlerinin hesaplanması.

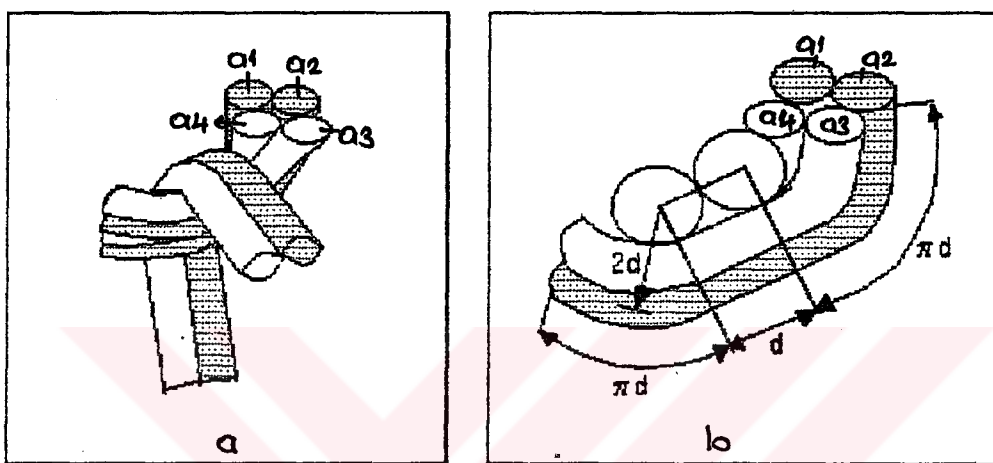
Karşılaştırma değerlerinin elde edilmesi ve elde edilen sonuçların karşılaştırılabilmesinin sağlanması için kumaş değerleri Excell programı ile hesaplanmıştır.

4 .İKİ, ÜÇ , DÖRT YATIRIM RAYLI ÇÖZGÜ OTOMAT ÖRME MAKİNALARINDA ÖRÜLEN KUMAŞLARIN FİZİKSEL VE GEOMETRİK ÖZELLİKLERİNE ETKİ EDEN İLMEK MODELLERİNİN İNCELEME BULGULARI.

4.1. İki yatırıım raylı makinalarda ilmek modelleri.

4.1.1. Eş yatırım :

4.1.1.1. Ön ve arka raylarda kapalı ilmek modeli:



Şekil .4.1. İki yatırıım raylı makinada ön ve arka raylarda eş yatırım rayı ile örülülmüş ilmek bağlantısı (a ve b)

İki raylı çalışmada , ön yatırıım rayının harcadığı iplik yukarıdaki modelde hesaplanan miktarla aynı olmasına rağmen , arka rayın harcadığı iplik miktarının bulunması için ilmeğin üç boyutlu yapısının dikkate alınması gerekmektedir.

İki yatırıım rayında harcanan iplik miktarının farklı olmasının nedeni , arka yatırıım rayının oluşturduğu ilmeğin , ilmek başı uzunluğu ön ilmekle aynı olmakla birlikte , ilmek ayaklarının ön yatırıım rayı ilmeğinin ayakları üzerinde bağlantı yapması dolayısıyla daha uzun olmasındandır.

Şekil 4.1.b ' de görüldüğü gibi , arka yatırıım rayının oluşturduğu ilmek ayaklarının hesaplanmasında , bağlantı noktasının oluşturduğu çeyrek dairenin yarıçapının yaklaşık olarak iplik çapı kadar arttığı kabul edilmiştir.Bu yaklaşım , iplik çapının değişmediği ve hemen hemen aynı kaldığı varsayılarak yapılmasına rağmen , uygulamada ipligin bükümü , örme esnasında uygulanan gerilim vb. nedenlerden dolayı tam doğru olamaz.Bu sakıncayı ortadan kaldırabilmek için yerleşim esnasında iplik kesitlerinin merkezlerinin bir eşkenar üçgen oluşturduğu ve arka yatırıım rayı ilmeğin bağlantı noktasında meydana gelen uzunluk artışının eşkenar üçgenin kenarortayının uzunluğuna eşit olduğu kabul edilmiştir.Bu durumda ;

Ön yatırıım rayı ilmek uzunluğu:

$$\sqrt{[(c-d)^2 + (n.w - 3.d)^2]} + \sqrt{[(c-2.d)^2 + d^2]} + \sqrt{[(c-2.d)^2 + 4.d^2]} + 15,4.d \quad (\text{Bağ. 4.1})$$

Arka yatırım rayının ilmek uzunluğu

$$3.d + \pi d + \sqrt{[(c-d)^2 + (n.w - 3.d)^2]} + \sqrt{[(c-2d)^2 + d^2]} + \sqrt{[(c-2.d)^2 + 4.d^2]} + [2.(2+(\sqrt{3})/2)]\pi d/4 + d + [2.(2+(\sqrt{3})/2)]\pi d/4 + 2d$$

bulunur. Bu ifade düzenlenerek ;

$$\sqrt{[(c-d)^2 + (n.w - 3.d)^2]} + \sqrt{[(c-2d)^2 + d^2]} + \sqrt{[(c-2.d)^2 + 4.d^2]} + 18,14 . d \quad (\text{Bağ. 4.2})$$

İfadesi elde edilir. Ön ve arka yatırım raylarında aynı numara iplik kullanıldığı durumlarda denklem;

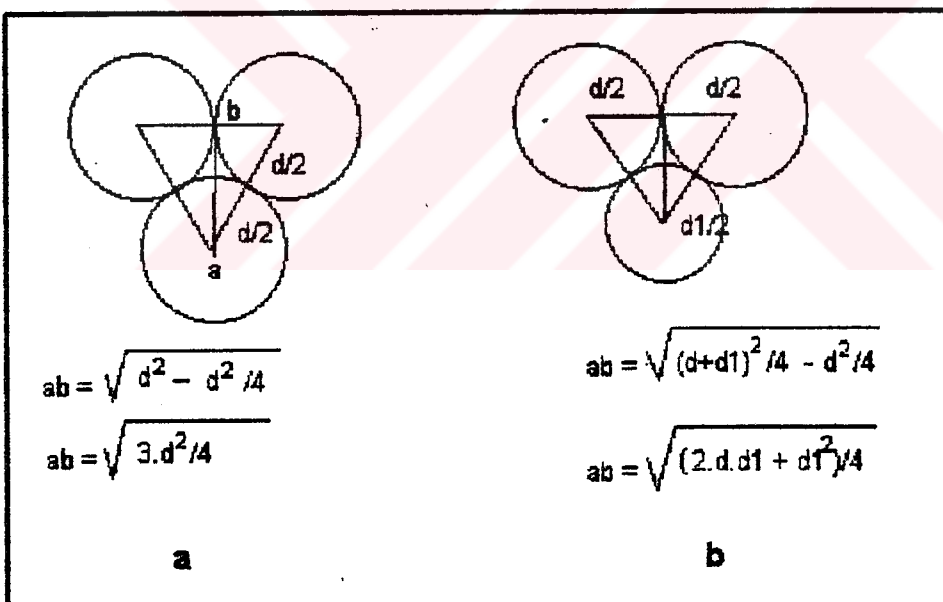
$$2\sqrt{[(c-d)^2 + (n.w - 3.d)^2]} + 2\sqrt{[(c-2d)^2 + d^2]} + 2\sqrt{[(c-2.d)^2 + 4.d^2]} + 33,54.d \quad (\text{Bağ. 4.3})$$

elde edilir. Ön yatırım rayında franse ilmeği, arka yatırım rayında normal ilmek kullanılması durumunda arka yatırım rayı ilmeği uzunluğu aynı kalırken ön yatırım rayı ilmeği uzunluğu için :

$$\sqrt{[(c-2.d)^2 + d^2]} + \sqrt{[(c-2d)^2 + d^2]} + \sqrt{[(c-2.d)^2 + 4.d^2]} + 15,4.d \quad (\text{Bağ. 4.4})$$

İfadesi elde edilir.

Ön ve arka yatırım rayında farklı numaralarda iplikler kullanılması durumunda arka yatırım rayı ilmeğinin ayağındaki çap artışının bulunması için şekil .14 'deki gibidir



Şekil .4.2. Farklı iplik çaplarında arka yatırım rayı ilmeği bağlantı noktalarının çap artışı

Ön yatırım rayı ilmek uzunluğu:

$$\sqrt{[(c-d)^2 + (n.w - 3.d)^2]} + \sqrt{[(c-d)^2 + 2d^2]} + \sqrt{[(c-2.d)^2 + 4.d^2]} + 15,4.d \quad (\text{Bağ. 4.5})$$

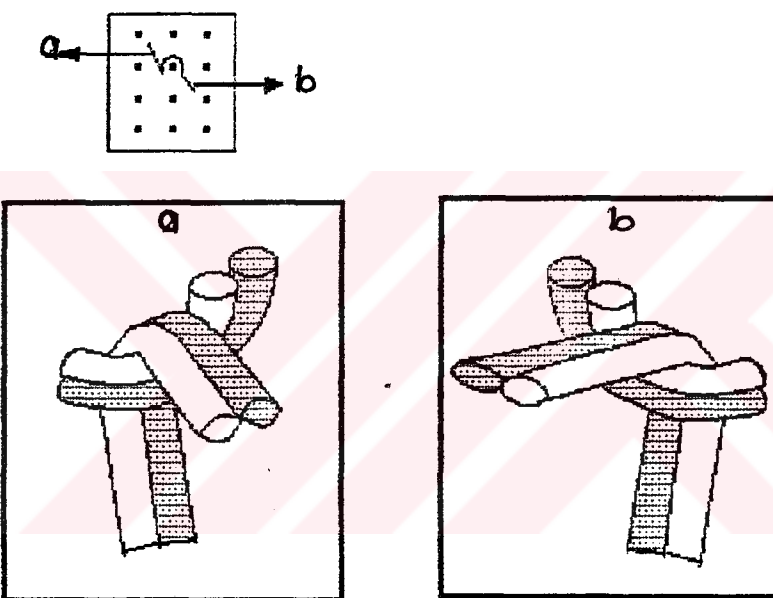
Arka yatırım rayının ilmek uzunluğu

$$\sqrt{[(c-(d+d1)/2)^2 + (n.w - 3.(d+d1)/2)^2]} + \sqrt{[(c-(d+d1)/2)^2 + ((d+d1)/2)^2]} + \sqrt{[(c-(d+d1))^2 + (d+d1)^2]} + 12,42.d + \pi.\sqrt{(2.d.d1 + d1^2)} + 4,64.d1 \quad (\text{Bağ. 4.6})$$

4.1.1.2. Ön ve arka raylarda açık ilmek modell:

Ön ve arka yatırım raylarındaki iplikler (1 0 / 1. 2) şeklinde açık ilmek oluşturduklarında harcanan iplik uzunluğu açısından şekil .14 ' deki kapalı ilmek bağlantı modeline göre sadece bir önceki ilmekten gelen alt yatırım ile bir sonraki ilmeğe giden alt yatırımların bağlantı noktasındaki uzunlukları yer değiştirir , fakat ilmek ayaklarının uzunlukları kapalı ilmek ile hemen hemen aynıdır.

Şekil .4.3 'de ön ve arka yatırım raylarında (12/23) şeklinde bağlantı yapan ipliklerin oluşturduğu ilmek modell gösterilmiştir.Bu ilmekler için harcanan iplik uzunlukları :



Şekil .4.3 .Ön ve arka yatırım raylarındaki ipliklerin eş yatırımıla oluşturduğu açık ilmek ayak bağlantıları. (a ve b)

Bu durumda her yatırım rayında oluşan ilmeklerin ayak bağlantılarının uzunlukları birbirlerine eşittir.

Ön yatırım rayında oluşan ilmeğin uzunluğu :

$$\sqrt{[(c - d)^2 + (n.w - 3.d)^2]} + \sqrt{[(c - d)^2 + d^2]} + \sqrt{[(c - d)^2 + d^2]} + 3.d + \pi d + \pi d + 2d$$

$$\sqrt{[(c - d)^2 + (n.w - 3.d)^2]} + 2.\sqrt{[(c - 2d)^2 + d^2]} + 11,28.d \quad (\text{Bağ. 4.7})$$

Arka yatırım rayında oluşan ilmek uzunluğu :

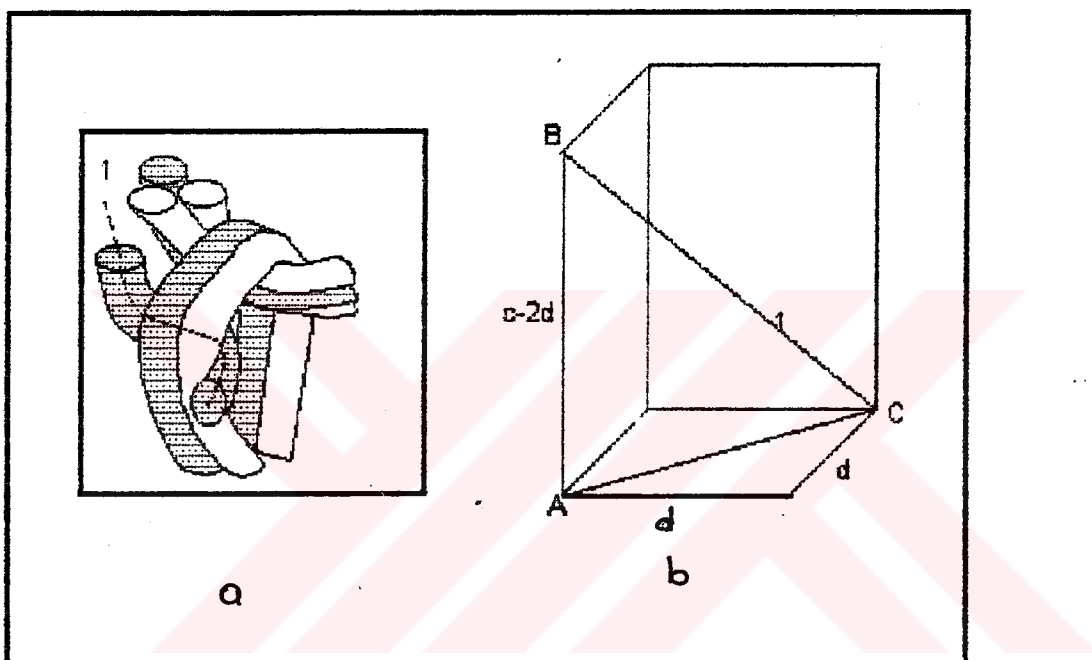
$$\sqrt{[(c - d)^2 + (n.w - 3.d)^2]} + 2\sqrt{[(c - 2d)^2 + d^2]} + 14,42.d \quad (\text{Bağ. 4.8})$$

Her iki yatırım rayında aynı numarada iplik kullanıldığı taktirde harcanan toplam iplik uzunluğu :

$$\sqrt{2.[(c - d)^2 + (n.w - 3.d)^2]} + 4.\sqrt{[(c - 2d)^2 + d^2]} + 25,7.d \quad (\text{Bağ. 4.9})$$

4.1.1.3. Ön yatırım rayı kapalı , arka yatırım rayı açık ilmek modell:

Bu durumda ön yatırım rayı (1-2 / 1-0) kapalı ilmek yatırımı yaparken , arka yatırım rayında (1-2 / 2-3) şeklinde açık ilmek yatırımı yapılmıştır. Arka yatırım rayı ilmeğinin hesaplanması esnasında , ilmeğin bir önceki ilmekle bağlantı sağlayan ayağı uzunluğu hesabında şekil .4.4 .b ' de görüldüğü gibi $|BC|$ kenar uzunluğu kullanılmıştır.



Şekil . 4.4 . Ön yatırım rayı kapalı , arka yatırım rayı açık ilmek (a ve b)

Ön yatırım rayı ilmek uzunluğu:

$$\sqrt{[(c-d)^2 + (n.w - 3.d)^2]} + \sqrt{[(c-2d)^2 + d^2]} + \sqrt{[(c-2d)^2 + 4d^2]} + 15,4.d \quad (\text{Bağ. 4.10})$$

Arka yatırım rayının ilmek uzunluğu

$$\sqrt{[(c-d)^2 + (n.w - 3.d)^2]} + 2.\sqrt{[(c-d)^2 + 2.d^2]} + 13,85.d \quad (\text{Bağ. 4.11})$$

Her iki yatırım rayında da aynı numara iplik kullanılması durumunda harcanan toplam iplik uzunluğu :

$$2.\sqrt{[(c-d)^2 + (n.w - 3.d)^2]} + \sqrt{[(c-d)^2 + d^2]} + 3.\sqrt{[(c-2.d)^2 + 4.d^2]} + 29,25.d \quad (\text{Bağ. 4.12})$$

bulunur.

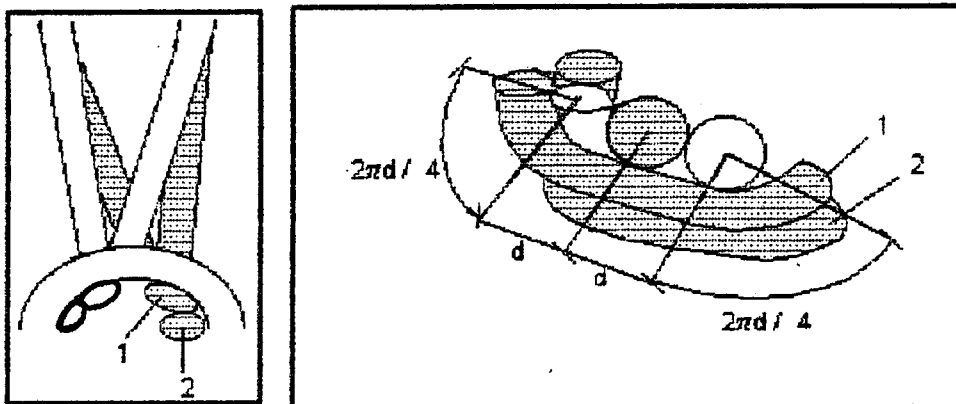
4.1.2. Zıt yatırım.

4.1.2.1. Ön ve arka raylarda kapalı ilmek modell:

Zıt yatırım durumunda ön ve arka yatırım rayları ile eide edilen ilmeklerin ayakları yön olarak birbirlerine tamamen terstirler. Ön yatırım rayında oluşan ilmek makina durumu modelinde verilen ilmek uzunluğu ile aynı olacaktır.

Arka yatırım rayında oluşan ilmek uzunluğunun bulunması için , arka ilmekle , bir önceki ilmeğin arasında kalan önyatırım rayı ipliği çapının da hesaba katılması gerekmektedir. Ön yatırım rayı ipliği çapı , şekil .4.5 'de gösterilen (1) numaralı ilmek ayağının uzunluğunun hesaplanmasında dikkate alınmıştır.

Şekilde (2) numaralı ilmek ayağına bağlı olan ilmek bacağı uzunluğu şekil 4.1.b 'deki IBCI doğru parçası uzunluğuna eşittir.



Şekil .4.5 . Zıt yatırım , arka ve ön yatırım rayı kapalı ilmek modelinde arka ilmek ayak bağlantısı

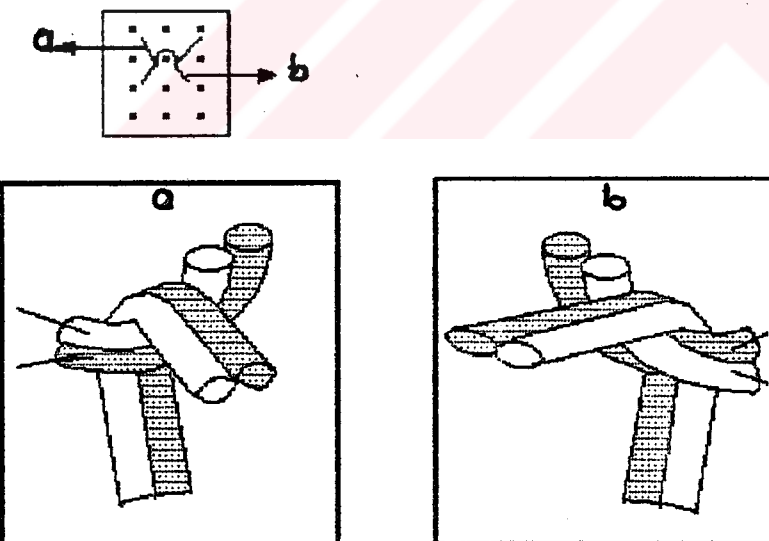
Ön yatırım rayı ilmek uzunluğu :

$$\sqrt{[(c-d)^2 + (n.w - 3.d)^2]} + \sqrt{[(c-2d)^2 + d^2]} + \sqrt{[(c-2.d)^2 + 4.d^2]} + 15,4.d \quad (\text{Bağ. 4.13})$$

Arka yatırım rayı ilmek uzunluğu :

$$\sqrt{[(c-d)^2 + (n.w - 3.d)^2]} + \sqrt{[(c-2d)^2 + 4.d^2]} + \sqrt{[(c-2.d)^2 + 2.d^2]} + 16,42.d \quad (\text{Bağ. 4.14})$$

4.1.2.2. Ön ve arka raylarda açık ilmek modelli:



Şekil .4.6 . Arka ve ön yatırım raylarının açık ilmek yapması halinde ilmek ayaklarının bağlantısı. (a ve b)

Ön ve arka yatırım raylarında zıt yatırımlı açık ilmek yapılması durumunda ,eş yatırımda yapılandan farklı olarak , şekil .4.6 .b ' deki ayak bağlantılarının pozisyonu değişir.Değişimin nedeni ise arka yatırım rayı ilmeğinin , ilmek başına uyguladığı kuvvetin düşey bileşenlerinin aynı yönü olması nedeniyle , ön yatırım rayı ilmeğine göre daha gergin olmasıdır.

Bu durumda ilmek uzunluğu hesabı eş yatırımda (4.1.1.2) hesaplanan ilmek uzunluğu ile aynıdır.

4.1.2.3. Ön yatırım rayı kapalı , arka yatırım rayı açık İlmek modell:

Ön yatırım rayında (1 0 / 1 2) , arka yatırım rayında (2 1 / 1 0) şeklinde yatırım yapan ilmek modelindeki durum 4.1.1.3 ' teki ilmek modelinde harcanan iplikle aynı uzunlukta iplik gerektirir. İki durum arasındaki fark , modelin geometrisinden meydana gelmektedir.

Ön yatırım rayında (1 0 / 1 2) , arka yatırım rayında (1 2 / 1 0) yatırımı yapılan modelde harcanan iplik uzunluğu 4.1.2.1' deki modelde harcanan iplik uzunluğu ile aynıdır.

Çizelge .4.1:İki yatırım rayında örülülmüş kumaşların Rack,m² gramaj ve örtme faktörü.

E28		Rack	Gr / m ²	Ört. Fak.	Rack	Gr/ m ²	Ört. Fak.
Fr +Tr E	K	102,9268	29,1874	5,348	149,59	42,42	7,7728
Fr +Tr E	A	79,15889	22,4474	4,113	127,80	36,24	6,6403
Fr +Tr Z	K	102,9268	29,1874	5,348	142,37	40,37	7,3974
Fr +Tr Z	A	79,15889	22,4474	4,113	127,80	36,24	6,6403
Tr+Tu E	K	136,0647	38,5844	7,07	202,98	57,55	10,546
Tr+Tu E	A	112,2968	31,8444	5,835	181,17	51,37	9,4132
Tr+Tu Z	K	136,0647	38,5844	7,07	195,74	55,51	10,17
Tr+Tu Z	A	112,2968	31,8444	5,835	181,17	51,37	9,4132
Tu+Sn E	K	189,4337	53,7185	9,843	256,37	72,7	13,32
Tu+Sn E	A	165,6658	46,9785	8,608	234,57	66,52	12,188
Tu + Sn Z	K	189,4337	53,7185	9,843	249,14	70,65	12,945
Tu + Sn Z	A	165,6658	46,9785	8,608	234,57	66,52	12,188
Sn + St E	K	242,8382	68,8626	12,62	309,78	87,84	16,096
Sn + St E	A	219,0703	62,1226	11,38	287,98	81,66	14,963
Sn+ St Z	K	242,8382	68,8626	12,62	302,58	85,8	15,72
Sn+ St Z	A	219,0703	62,1226	11,38	287,98	81,66	14,963
St + Fr E	K	296,2496	84,0087	15,39	116,45	33,02	6,0508
St + Fr E	A	272,4817	77,2687	14,16	94,66	26,84	4,9185
St + Fr Z	K	296,2496	84,0087	15,39	109,23	30,98	5,6756
St + Fr Z	A	272,4817	77,2687	14,16	94,66	26,84	4,9185

Çizelge 4.2.: İki yatırım rayında örülülmüş kumaşların Rack,m² ağırlığı ve örtme faktörü

E 32		Rack	Gr/m ²	Ört. Fak.	Rack	Gr/m ²	Ört. Fak.
Fr + Tr E	K	102,9268	33,0166	6,037	144,16	46,24	8,4551
Fr + Tr E	A	79,15889	25,3924	4,643	122,37	39,25	7,177
Fr + Tr Z	K	102,9268	33,0166	6,037	136,94	43,93	8,0316
Fr + Tr Z	A	79,15889	25,3924	4,643	122,37	39,25	7,177
Tr+Tu E	K	130,6354	41,9049	7,662	192,08	61,62	11,265
Tr+Tu E	A	106,8675	34,2807	6,268	170,29	54,62	9,9873
Tr+Tu Z	K	130,6354	41,9049	7,662	184,86	59,3	10,842
Tr+Tu Z	A	106,8675	34,2807	6,268	170,29	54,62	9,9873
Tu+Sn E	K	178,5527	57,2757	10,47	240,04	77	14,078
Tu+Sn E	A	154,7848	49,6515	9,078	218,25	70,01	12,8
Tu + Sn Z	K	178,5527	57,2757	10,47	232,82	74,68	13,655
Tu + Sn Z	A	154,7848	49,6515	9,078	218,25	70,01	12,8
Sn + St E	K	226,5124	72,6601	13,28	288,01	92,39	16,892
Sn + St E	A	202,7445	65,0359	11,89	266,22	85,4	15,613
Sn+ St Z	K	226,5124	72,6601	13,28	280,79	90,07	16,468
Sn+ St Z	A	202,7445	65,0359	11,89	266,22	85,4	15,613
St + Fr E	K	274,4801	88,0471	16,1	116,45	37,36	6,83
St + Fr E	A	250,7122	80,4229	14,7	94,66	30,37	5,5519
St + Fr Z	K	274,4801	88,0471	16,1	109,23	35,04	6,4065
St + Fr Z	A	250,7122	80,4229	14,7	94,66	30,37	5,5519

Çizelge 4.3.: İki yatırım rayında örülülmüş kumaşların Rack,m² gramaj ve örtme faktörü.

E 40		Rack	Gr / m ²	Ört. Fak.	Rack	Gr/m ²	Ört. Fak.
Fr + Tr E	K	102,9268	40,6751	7,418	136,57	53,97	9,8427
Fr + Tr E	A	79,15889	31,2824	5,705	114,78	45,36	8,2721
Fr + Tr Z	K	102,9268	40,6751	7,418	129,35	51,12	9,3222
Fr + Tr Z	A	79,15889	31,2824	5,705	114,78	45,36	8,2721
Tr+Tu E	K	123,0442	48,6252	8,868	176,85	69,89	12,745
Tr+Tu E	A	99,27633	39,2325	7,155	155,06	61,28	11,175
Tr+Tu Z	K	123,0442	48,6252	8,868	169,63	67,03	12,225
Tr+Tu Z	A	99,27633	39,2325	7,155	155,06	61,28	11,175
Tu+Sn E	K	163,3218	64,5424	11,77	217,19	85,83	15,652
Tu+Sn E	A	139,5539	55,1496	10,06	195,39	77,22	14,082
Tu + Sn Z	K	163,3218	64,5424	11,77	209,96	82,97	15,132
Tu + Sn Z	A	139,5539	55,1496	10,06	195,39	77,22	14,082
Sn + St E	K	203,6578	80,4825	14,68	257,53	101,8	18,56
Sn + St E	A	179,8899	71,0898	12,96	235,74	93,16	16,99
Sn+ St Z	K	203,6578	80,4825	14,68	250,31	98,92	18,04
Sn+ St Z	A	179,8899	71,0898	12,96	235,74	93,16	16,99
St + Fr E	K	244,0039	96,4267	17,59	116,45	46,02	8,3928
St + Fr E	A	220,236	87,034	15,87	94,66	37,41	6,8222
St + Fr Z	K	244,0039	96,4267	17,59	109,23	43,17	7,8724
St + Fr Z	A	220,236	87,034	15,87	94,66	37,41	6,8222

4.2. Üç yatırım raylı makinalarda ilmek modelleri.

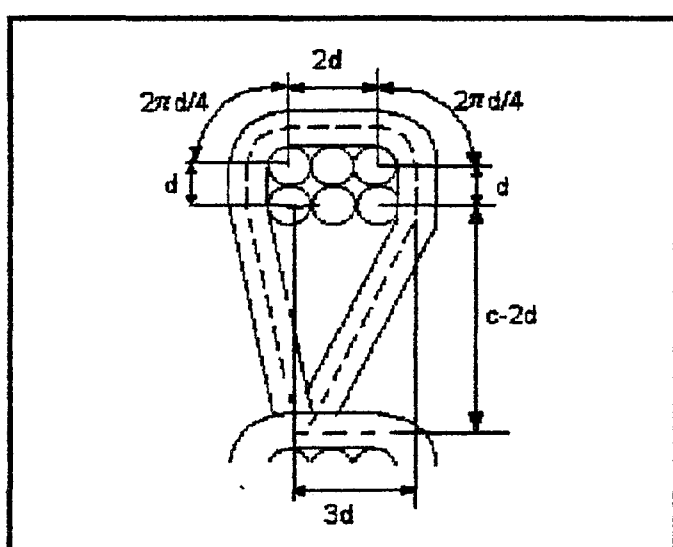
Üç yatırım raylı makinalarda , eş yatırım ve zıt yatırım durumları için geçerli olmak üzere her üç yatırım rayında elde edilen ilmeklerin kapalı veya açık olmasına göre sekiz farklı durum söz konusudur.

Çizelge .4.4.Üç yatırım raylı makinalarda eş ve zıt yatırımda meydana gelebilecek ilmek oluşum ihtimalleri.

1. yatırım rayı	2. yatırım rayı	3. yatırım rayı
Kapalı	Kapalı	Kapalı
Kapalı	Kapalı	Açık
Kapalı	Açık	Kapalı
Kapalı	Açık	Açık
Açık	Kapalı	Kapalı
Açık	Kapalı	Açık
Açık	Açık	Kapalı
Açık	Açık	Açık

Üç yatırım rayında , elde edilen ilmekler için harcanan iplik miktarlarının hesaplanmasında göz önüne alınacak faktörler ;

- 1) Aynı yatırım rayında olmak kaydıyla (1 -2 / 1- 0) kapalı ilmeğiyle , (2 -1 / 0-1) açık ilmeği için harcanan iplik miktarı aynıdır.
- 2) Aynı yatırım rayında olmak kaydıyla (1-2/1-0) kapalı ilmeğiyle , (1-2 / 2-3) açık ilmeği için harcanan iplik uzunlukları farklıdır.
- 3) Aynı yatırıma sahip ilmeklerin uzunlukları eş yatırım ve zıt yatırım durumlarında farklıdır.



Şekil.4.7: Üç yatırım raylı makinada ilmek oluşum modeli.

Şekildeki modele göre ilmek başı uzunluğu : $4.d + \pi.d$

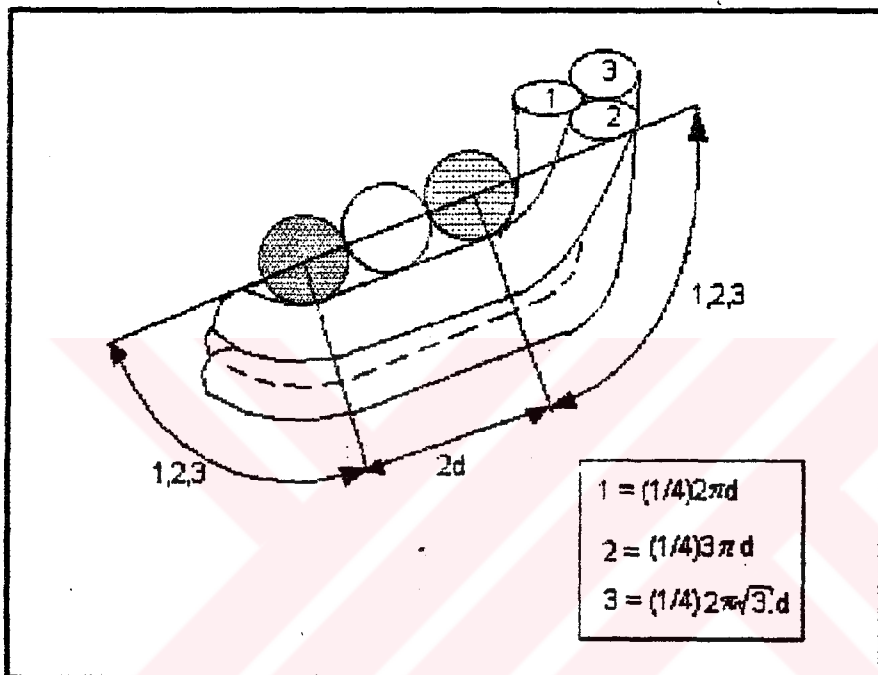
Alt yatırıım uzunluğu : $\sqrt{[(c - d)^2 + (n.w - 3.d)^2]}$

İlmek bacağı uzunluğu : $\sqrt{(c-2d)^2 + 9.d^2}$

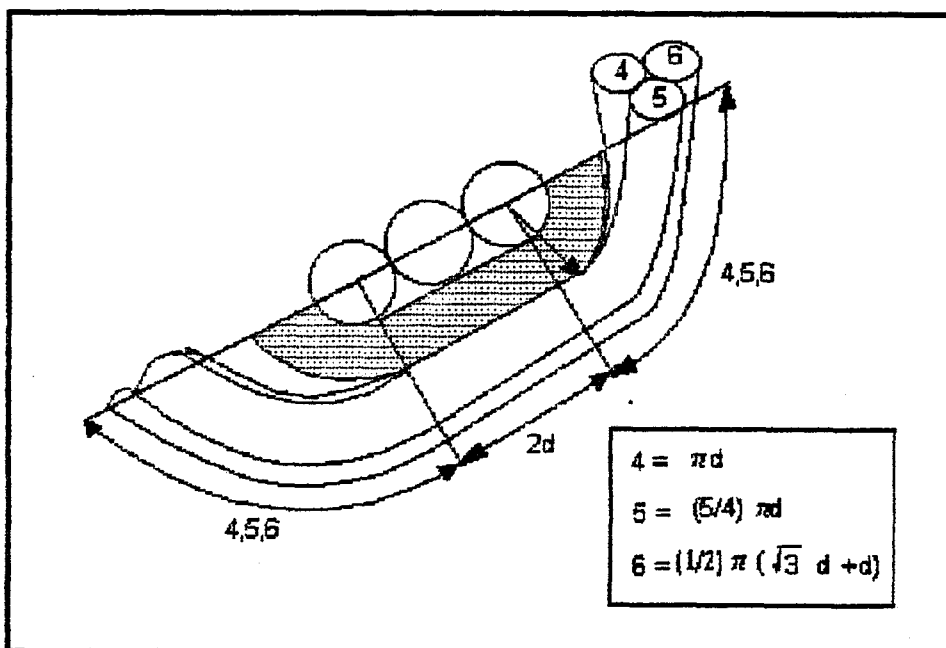
Diğer ilmek bacağı uzunluğu : $\sqrt{(c-2d)^2 + d^2}$

4.2.1. Eş yatırım :

4.2.1.1. Üç yatırım rayında kapalı ilmek modelli :



Şekil .4.8 . Üç yatırım rayında oluşturulan eş yatırımlı kapalı ilmeklerin ayak uzunlukları



Şekil .4.9. Üç yatırım rayında eş yatırımla oluşturulan ilmeklerin ayak bağlantıları.(Bir önceki sıradaki ilmekten gelen ilmek ayakları)

Şekil .4.7 - 4.8 - 4.9 'dan , her Üç yatırım rayında oluşturulan ilmek uzunlukları ;

1. Yatırım rayında oluşturulan ilmek uzunluğu :

$$4.d + \pi.d + \sqrt{((c-2d)^2 + 9.d^2)} + \sqrt{((c-2d)^2 + d^2)} + \pi.d + 2d + 2d + 2.\pi.d + \sqrt{((c-d)^2 + (nw-3d)^2)} \\ \sqrt{((c-2d)^2 + 9.d^2)} + \sqrt{((c-2d)^2 + d^2)} + \sqrt{((c-d)^2 + (nw-3d)^2)} + 20,56.d \quad (\text{Bağ. 4.15})$$

İkinci yatırım rayında oluşturulan ilmek uzunluğu :

$$\sqrt{((c-2d)^2 + 9.d^2)} + \sqrt{((c-2d)^2 + d^2)} + \sqrt{((c-d)^2 + (nw-3d)^2)} + 23,7.d \quad (\text{Bağ. 4.16})$$

Üçüncü yatırım rayında oluşturulan ilmek uzunluğu :

$$\sqrt{((c-2d)^2 + 9.d^2)} + \sqrt{((c-2d)^2 + d^2)} + \sqrt{((c-d)^2 + (nw-3d)^2)} + 25,157.d \quad (\text{Bağ. 4.17})$$

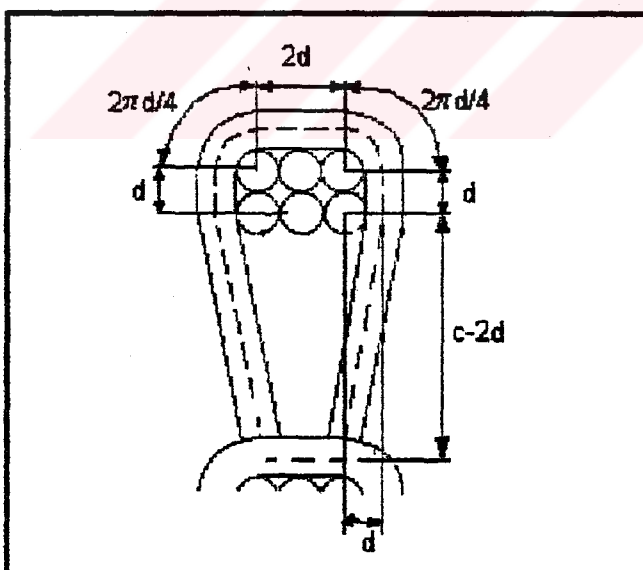
Her Üç yatırım rayında da aynı numarada iplik kullanılması halinde bir ilmek için harcanan toplam iplik uzunluğu :

$$3.\sqrt{((c-2d)^2 + 9.d^2)} + 3.\sqrt{((c-2d)^2 + d^2)} + 3.\sqrt{((c-d)^2 + (nw-3d)^2)} + 69,42.d \quad (\text{Bağ. 4.18})$$

elde edilir.

4.2.1.2. Üç yatırım rayında açık ilmek modell :

Elde edilecek açık ilmekler , (2-1 / 1-0) formunda açık ilmekler ise harcanan iplik uzunluğu , kapalı ilmeklerle aynı olacaktır. Elde edilecek ilmekler (2-1-1 / 1-0-0) formunda ise ilmeğin yapısı şekil .4.10 ' daki ilmek modelinde olduğu gibi , ayak bağlantıları şekil .4.8 ' de gösterildiği gibi olacaktır.



Şekil .4.10 . Eş yatırımlı açık ilmek modell.

Şekildeki ilmek modelinde harcanan iplik uzunluğu ,

İmek başı uzunluğu : $4.d + \pi.d$

İmek bacağı uzunluğu : $2.\sqrt{((c-2d)^2 + d^2)}$ olarak bulunur.

Alt yatırım uzunluğu : $\sqrt{((c-d)^2 + (nw-3d)^2)}$

İlk rayda oluşturulan ilmek uzunluğu :

$$4.d + \pi.d + 2.\sqrt{((c-2d)^2 + d^2)} + 2.\pi.d + 4.d + \sqrt{((c-d)^2 + (nw-3d)^2)}$$

$$2.\sqrt{((c-2d)^2 + d^2)} + \sqrt{((c-d)^2 + (nw-3d)^2)} + 17,42.d \quad (\text{Bağ. 4.19})$$

Her Üç yatırım rayında da aynı numara iplik kullanılması halinde harcanan toplam iplik uzunluğu :

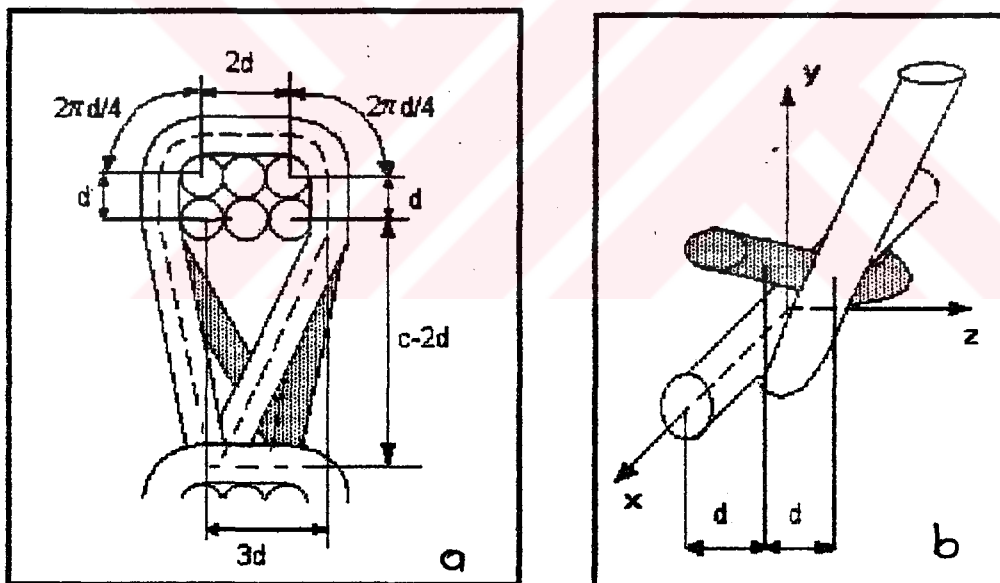
$$6 \cdot \sqrt{(c-2d)^2 + d^2} + 3 \cdot \sqrt{(c-d)^2 + (nw-3d)^2} + 59,98 \cdot d \quad (\text{Bağ. 4.22})$$

4.2.1.3. Yatırım raylarında açık ve kapalı ilmek modelli kombinasyonları :

Kumaştan istenen özelliklere göre yatırım raylarında açık ve kapalı ilmekler oluşturulabilir. Bu durumda harcanan iplik miktarlarının hesaplanması işlemi ilmek tipi (açık, kapalı) ve ilmeğin oluşturulduğu ray göz önüne alınarak (4.2.1.1) ve (4.2.1.2) 'de verilen denklemliere göre hesaplanabilir. Bu durumda ilmeğin üç boyutlu yapısından gelen ilave hesaplamalar , ilmek uzunluğuna etkileri küçük olduğu için ihmal edilmiştir.

4.2.2. Zıt yatırım :

Zıt yatırım durumunda , harcanan iplik miktarına , zıtının yapıldığı yatırım rayı etki eder. İlmeklerin üç boyutlu yapıları göz önüne alındığında zıt yatırım 1 . yatırım rayında yapılmışsa 2. ve 3. yatırım raylarında oluşan ilmekler, z - ekseni yönünde iplik çapı kadar farklı pozisyon alacaklardır.(Şekil .4.11)



Şekil . 4.11 . Üç yatırım rayında örülülmüş ilmeklerde zıt yatırım modeli. (a ve b)

4.2.2.1. Üç yatırım rayında kapalı ilmek modeli:

4.2.2.1.1. İlk yatırım rayı zıt , 2. ve 3. yatırım rayları eş yatırım :

Ön yatırım rayı ilmek uzunluğu:

$$\sqrt{(c-2d)^2 + 9 \cdot d^2} + \sqrt{(c-2d)^2 + d^2} + \sqrt{(c-d)^2 + (nw-3d)^2} + 18,42 \cdot d \quad (\text{Bağ. 4.23})$$

2. yatırım rayı ilmek uzunluğu :

$$\sqrt{(4/9)(c-2d)^2 + 4 \cdot d^2} + \sqrt((1/9)(c-2d)^2 + 2d^2) + \sqrt((c-2d)^2 + 2d^2) + \sqrt((c-d)^2 + (nw-3d)^2} + 18,42 \cdot d \quad (\text{Bağ. 4.24})$$

3. yatırım rayı ilmek uzunluğu :

$$\sqrt((4/9)(c-2d)^2 + 4 \cdot d^2) + \sqrt((1/9)(c-2d)^2 + 2d^2) + \sqrt((c-2d)^2 + 2d^2) + \sqrt((c-d)^2 + (nw-3d)^2} + 23,7d \quad (\text{Bağ. 4.25})$$

4.2.2.1.2. İkinci yatırım rayı zıt , 1. ve 3. yatırım rayları eş yatırım :

Bu ilmek modeli (4.2.2.1.1) ilmek modeli ile aynı değerlere sahiptir.

4.2.2.1.3. Üçüncü yatırım rayı zıt , 1. ve 2. yatırım rayları eş yatırım :

Ön yatırım rayı ilmek uzunluğu:

$$\sqrt{((c-2d)^2 + 9.d^2)} + \sqrt{((c-2d)^2 + d^2)} + \sqrt{((c-d)^2 + (nw - 3d)^2)} + 18,42.d \quad (\text{Bağ. 4.26})$$

2. yatırım rayı ilmek uzunluğu :

$$\sqrt{((c-2d)^2 + 9.d^2)} + \sqrt{((c-2d)^2 + d^2)} + \sqrt{((c-d)^2 + (nw - 3d)^2)} + 23,7.d \quad (\text{Bağ. 4.27})$$

3. yatırım rayı ilmek uzunluğu :

$$\sqrt{(0,44.(c-2d)^2 + 4.d^2)} + \sqrt{(0,11.(c-2d)^2 + 2d^2)} + \sqrt{((c-2d)^2 + 2d^2)} + \sqrt{((c-d)^2 + (nw-3d)^2)} + 18,42.d$$

(Bağ. 4.28)

4.2.2.2. Üç yatırım rayında açık ilmek modelli:

Üç yatırım rayında zıt yatırımı açık ilmek oluşturulması durumunda , sadece alt yatırımların yönleri değişeceğinden , ilmek uzunlukları (4.2.1.2) ' deki ilmek uzunlukları ile aynı olacaktır.

4.2.2.3. Açık ve kapalı ilmek modeli kombinasyonları :

Yatırım raylarında , açık ve kapalı ilmeklerin oluşturulması durumunda ilmeklerin açık , kapalı oluşu ve yatırım durumlarına göre (4.2.2) ' de verilen ilmek uzunlık hesaplamaları kullanılır.

Çizelge 4.5 : Üç raylı makinalarda örülen ilmeklerin Rack , m² ağırlığı ve örtme faktörü

E 28	RACK	m ² Gramaj	Örtme F.	RACK	m ² Gramaj	Örtme F.	RACK	m ² Gramaj	Örtme F.
Fr+Tr+Tu E K	132,60	35,63224	6,61607	153,5086	41,24788	7,658764	185,9541	49,96601	9,277515
Fr+Tr+Tu E A	109,47	29,41562	5,461791	130,3728	35,03127	6,504485	162,7343	43,72684	8,119049
Fr+Tr+Tu Z K	132,61	35,63224	6,61607	130,2941	35,01013	6,50056	179,7007	48,28572	8,965525
Fr+Tr+Tu Z A	109,47	29,41562	5,461791	130,3728	35,03127	6,504485	162,7343	43,72684	8,119049
Tr+Tu+Sn E K	138,01	37,08223	6,885301	178,7605	48,03309	8,918619	211,3783	56,79751	10,54597
Tr+Tu+Sn E A	114,87	30,86562	5,731021	155,6247	41,81648	7,764339	188,1585	50,55835	9,387499
Tr+Tu+Sn Z K	138,01	37,08223	6,885301	155,7551	41,85151	7,770844	205,1617	55,1271	10,23581
Tr+Tu+Sn Z A	114,87	30,86562	5,731021	155,6247	41,81648	7,764339	188,1585	50,55835	9,387499
Tu+Sn+St E K	163,2576	43,86744	8,145155	204,1847	54,8646	10,18707	236,824	63,63479	11,81549
Tu+Sn+St E A	140,1218	37,65083	6,990876	181,0489	48,64798	9,032789	213,6042	57,39562	10,65702
Tu+Sn+St Z K	163,2576	43,86744	8,145155	181,2161	48,6929	9,041129	230,6226	61,96849	11,50609
Tu+Sn+St Z A	140,1218	37,65083	6,990876	181,0489	48,64798	9,032789	213,6042	57,39562	10,65702
Sn+St+Fr E K	188,6818	50,69895	9,413605	229,6304	61,70188	11,45659	155,3058	41,7308	7,748431
Sn+St+Fr E A	165,546	44,48234	8,259326	206,4946	55,48526	10,30231	132,0861	35,49163	6,589964
Sn+St+Fr Z K	188,6818	50,69895	9,413605	206,677	55,53428	10,31141	148,5277	39,90951	7,410259
Sn+St+Fr Z A	165,546	44,48234	8,259326	206,4946	55,48526	10,30231	132,0861	35,49163	6,589964
St+Fr+Tr E K	214,1275	57,53623	10,68313	148,1123	39,79789	7,389534	160,7022	43,1808	8,017661
St+Fr+Tr E A	190,9917	51,31961	9,528848	124,9765	33,58127	6,235254	137,4824	36,94163	6,859194
St+Fr+Tr Z K	214,1275	57,53623	10,68313	124,5821	33,4753	6,215579	154,2397	41,44433	7,69524
St+Fr+Tr Z A	190,9917	51,31961	9,528848	124,9765	33,58127	6,235254	137,4824	36,94163	6,859194

Çizelge 4.6 : Üç raylı makinada ürülən ilmeklerin Rack , m² gramaj ve örtme faktörü

E 32	RACK	m ² Gram	Örtme F.	RACK	m ² Gramaj	Örtme F.	RACK	m ² Gramaj	Örtme F.
Fr+Tr+Tu E K	132,6094	40,72256	7,55218	152,9799	46,97808	8,712295	184,8683	56,77057	10,52836
Fr+Tr+Tu E A	109,4735	33,61786	6,234582	129,8441	39,87338	7,394696	161,6485	49,64009	9,205977
Fr+Tr+Tu Z K	132,6094	40,72256	7,55218	129,7498	39,84443	7,389328	178,6121	54,84939	10,17206
Fr+Tr+Tu Z A	109,4735	33,61786	6,234582	129,8441	39,87338	7,394696	161,6485	49,64009	9,205977
Tr+Tu+Sn E K	137,477	42,21734	7,829394	177,6747	54,56153	10,11868	209,7468	64,41045	11,94521
Tr+Tu+Sn E A	114,3411	35,11264	6,511795	154,5389	47,45682	8,80108	186,5271	57,27997	10,62283
Tr+Tu+Sn Z K	137,477	42,21734	7,829394	154,6665	47,49602	8,808348	203,5288	62,50097	11,59108
Tr+Tu+Sn Z A	114,3411	35,11264	6,511795	154,5389	47,45682	8,80108	186,5271	57,27997	10,62283
Tu+Sn+St E K	162,1718	49,80078	9,235778	202,5533	62,20141	11,53553	234,6478	72,0572	13,36333
Tu+Sn+St E A	139,036	42,69608	7,918179	179,4175	55,0967	10,21793	211,428	64,92672	12,04095
Tu+Sn+St Z K	162,1718	49,80078	9,235778	179,5832	55,1476	10,22737	228,4455	70,15256	13,01011
Tu+Sn+St Z A	139,036	42,69608	7,918179	179,4175	55,0967	10,21793	211,428	64,92672	12,04095
Sn+St+Fr E K	187,0504	57,44066	10,65263	227,4542	69,84815	12,95365	155,3058	47,69234	8,944758
Sn+St+Fr E A	163,9145	50,33596	9,335029	204,3184	62,74345	11,63605	132,0861	40,56187	7,522379
Sn+St+Fr Z K	187,0504	57,44066	10,65263	204,4999	62,79918	11,64639	148,5277	45,61086	8,458739
Sn+St+Fr Z A	163,9145	50,33596	9,335029	204,3184	62,74345	11,63605	132,0861	40,56187	7,522379
St+Fr+Tr E K	211,9513	65,08741	12,07075	148,1123	45,4833	8,435081	160,1735	49,18712	9,121972
St+Fr+Tr E A	188,8155	57,98271	10,75315	124,9765	38,3786	7,117482	136,9537	42,05665	7,799593
St+Fr+Tr Z K	211,9513	65,08741	12,07075	124,5821	38,25749	7,095022	153,6954	47,19781	8,753044
St+Fr+Tr Z A	188,8155	57,98271	10,75315	124,9765	38,3786	7,117482	136,9537	42,05665	7,799593

Çizeleğe. 4.7 : Üç raylı makinalarda ürülən çeşitli ilmeklerin Rack , m² gramaj ve örtme faktörü

E 40	Rack	m ² ağırlığı	Örtme F.	Rack	m ² ağırlığı	Örtme F.	Rack	m ² ağırlığı	Örtme F.
Fr+Tr+Tu E K	132,6094	50,9032	9,424445	152,2426	58,43959	10,81977	183,3484	70,37981	13,03043
Fr+Tr+Tu E A	109,4735	42,02232	7,7802	129,1068	49,55871	9,175521	160,1287	61,46672	11,38022
Fr+Tr+Tu Z K	132,6094	50,9032	9,424445	128,9878	49,51304	9,167065	177,0881	67,97674	12,58552
Fr+Tr+Tu Z A	109,4735	42,02232	7,7802	129,1068	49,55871	9,175521	160,1287	61,46672	11,38022
Tr+Tu+Sn E K	136,7397	52,48866	9,717985	176,1549	67,61851	12,51919	207,463	79,63638	14,74423
Tr+Tu+Sn E A	113,6039	43,60778	8,07374	153,0191	58,73763	10,87495	184,2432	70,72328	13,09402
Tr+Tu+Sn Z K	136,7397	52,48866	9,717985	153,1425	58,78502	10,88372	201,2428	77,24872	14,30217
Tr+Tu+Sn Z A	113,6039	43,60778	8,07374	153,0191	58,73763	10,87495	184,2432	70,72328	13,09402
Tu+Sn+St E K	160,6519	61,66758	11,41741	200,2694	76,87507	14,23299	231,6012	88,90204	16,45972
Tu+Sn+St E A	137,5161	52,7867	9,773165	177,1336	67,9942	12,58875	208,3814	79,98894	14,80951
Tu+Sn+St Z K	160,6519	61,66758	11,41741	177,2972	68,057	12,60038	225,3975	86,5207	16,01883
Tu+Sn+St Z A	137,5161	52,7867	9,773165	177,1336	67,9942	12,58875	208,3814	79,98894	14,80951
Sn+St+Fr E K	184,7665	70,92415	13,13121	224,4076	86,14073	15,94848	155,3058	59,61543	11,03747
Sn+St+Fr E A	161,6307	62,04327	11,48697	201,2718	77,25985	14,30423	132,0861	50,70233	9,387256
Sn+St+Fr Z K	184,7665	70,92415	13,13121	201,4519	77,32898	14,31703	148,5277	57,01358	10,55575
Sn+St+Fr Z A	161,6307	62,04327	11,48697	201,2718	77,25985	14,30423	132,0861	50,70233	9,387256
St+Fr+Tr E K	208,9047	80,1898	14,8467	148,1123	56,85412	10,52623	159,4362	61,20089	11,33101
St+Fr+Tr E A	185,7689	71,30893	13,20245	124,9765	47,97325	8,881981	136,2164	52,2878	9,680796
St+Fr+Tr Z K	208,9047	80,1898	14,8467	124,5821	47,82186	8,853953	152,9334	58,70476	10,88886
St+Fr+Tr Z A	185,7689	71,30893	13,20245	124,9765	47,97325	8,881981	136,2164	52,2878	9,680796

4.3. Dört yatırım raylı makinalarda ilmek modelleri.

Dört yatırım raylı makinalarda eş ve zıt yatırım halinde her rayda örülebilecek açık ve kapalı ilmek oluşturma ihtimalleri Çizelge .4.8. ' de verilmiştir.

Çizelge .4.8 .Dört yatırım raylı makinalarda eş ve zıt yatırımında ilmek oluşum ihtimalleri.

1. yatırım rayı	2. yatırım rayı	3. yatırım rayı	4. yatırım rayı
Kapalı	Kapalı	Kapalı	Kapalı
Kapalı	Kapalı	Kapalı	Açık
Kapalı	Kapalı	Açık	Kapalı
Kapalı	Kapalı	Açık	Açık
Kapalı	Açık	Kapalı	Kapalı
Kapalı	Açık	Kapalı	Açık
Kapalı	Açık	Açık	Açık
Açık	Kapalı	Kapalı	Kapalı
Açık	Kapalı	Kapalı	Açık
Açık	Kapalı	Açık	Kapalı
Açık	Açık	Kapalı	Kapalı
Açık	Açık	Kapalı	Açık
Açık	Açık	Açık	Kapalı
Açık	Açık	Açık	Açık

Dört yatırım raylı makinada örülen ilmek modeli şekil .4.12 ' de gösterilmiştir.Bu ilmek modelinde Üç yatırım raylı makinadaki ilmek modelindeki kabuller geçerlidir.

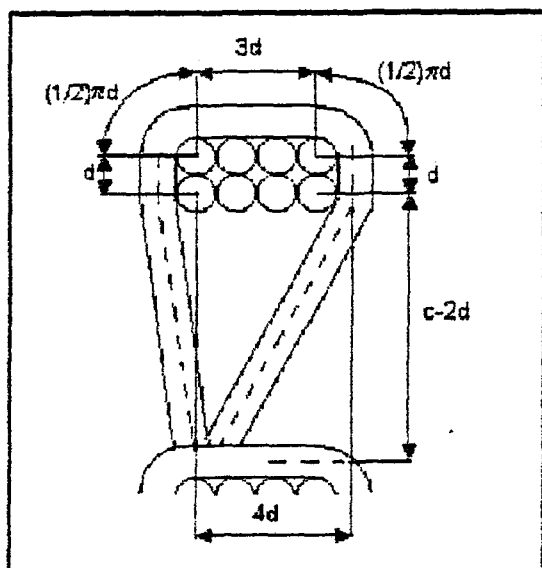
Örülen ilmeklerde , uygulanan yatırıma göre ilmek ayaklarının şekilleneceği kabul edilerek farklı ilmek ayağı pozisyonları gösterilecektir.

$$\text{Şekilden ; ilmek başı uzunluğu : } \pi \cdot d + 5.d \quad (\text{Bağ.4.29.1})$$

$$\text{İmek bacağı uzunluğu : } \sqrt{(c-2d)^2 + d^2} \quad (\text{Bağ.4.29.2})$$

$$\text{Diğer ilmek bacağı uzunluğu : } \sqrt{(c-2d)^2 + 16 \cdot d^2} \quad (\text{Bağ.4.29.3})$$

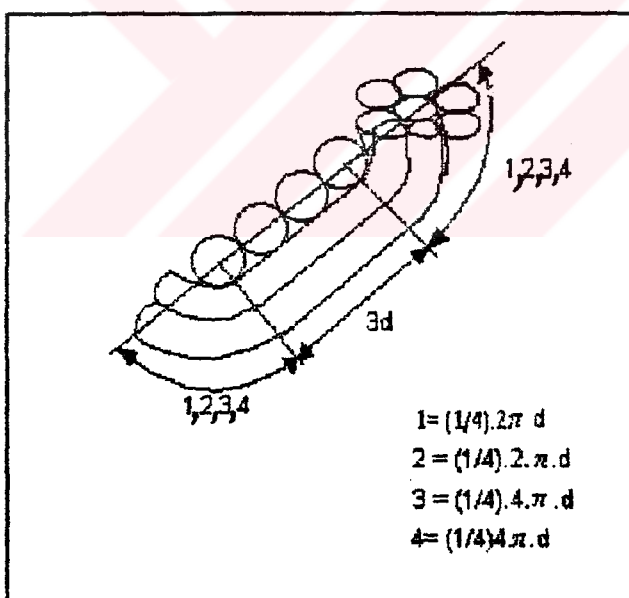
$$\text{Alt yatırım uzunluğu : } \sqrt{(c-d)^2 + (nw - 3d)^2} \quad (\text{Bağ.4.29.4})$$



Şekil .4.12. Dört yatırım raylı makinada örülən ilmek modell

4.3.1. Eş yatırım :

4.3.1.1. Dört yatırım rayında kapalı ilmek modell :



Şekil.4.13.Eş yatırım yapan dört yatırım rayında oluşan ilmek ayak bağlantıları.

İlk yatırım rayının ilmek ayağı uzunluğu : $2.\pi.d + 7.d$ (Bağ.4.30.1)

İkinci yatırım rayı ilmek ayağı uzunluğu : $3.\pi.d + 8.d$ (Bağ.4.30.2)

Üçüncü yatırım rayı ilmek ayağı uzunluğu : $5.\pi.d + 7.d$ (Bağ.4.30.3)

Dördüncü yatırım rayı ilmek ayağı uzunluğu : $5.\pi.d + 8.d$ (Bağ.4.30.4)

Bağıntı 4.29 ve 4.30'dan , ilk yatırım rayı ilmek uzunluğu :

$$\sqrt{((c-2d)^2+d^2)}+\sqrt{((c-2d)^2+16.d^2)}+\sqrt{((c-d)^2+(nw-3d)^2)}+21,42.d \quad (\text{Bağ.4.31})$$

İkinci yatırım rayı ilmek uzunluğu :

$$\sqrt{((c-2d)^2+d^2)}+\sqrt{((c-2d)^2+16.d^2)}+\sqrt{((c-d)^2+(nw-3d)^2)}+25,56.d \quad (\text{Bağ.4.32})$$

Üçüncü yatırım rayı ilmek uzunluğu :

$$\sqrt{((c-2d)^2+d^2)} + \sqrt{((c-2d)^2+16.d^2)} + \sqrt{((c-d)^2+(nw-3d)^2)} + 30,84.d \quad (\text{Bağ.4.33})$$

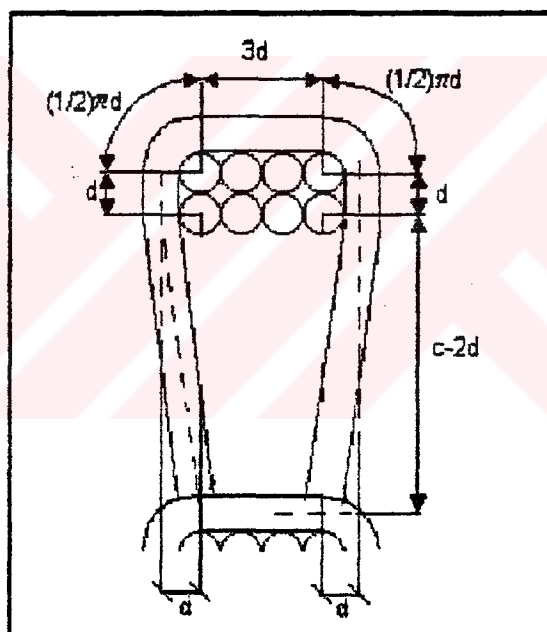
Dördüncü yatırım rayı ilmek uzunluğu :

$$\sqrt{((c-2d)^2+d^2)} + \sqrt{((c-2d)^2+16.d^2)} + \sqrt{((c-d)^2+(nw-3d)^2)} + 31,84.d \quad (\text{Bağ.4.34})$$

4.3.1.2. Dört yatırım rayında açık ilmek modeli:

Dört yatırım rayında açık ilmek oluşturulduğunda , oluşturulan ilmeklerin hepsi (1-2/1-0) veya zıt yatırımlı ise , ilmekler için harcanan iplik uzunlukları kapalı ilmek için harcanan iplik uzunlukları ile aynıdır.

Oluşturulan ilmekler , (2-1/1-0) formunda ilmekler ise ilmek bacakları ve ilmek ayakları için harcanan iplik uzunlukları değişik olacaktır.Bu durumda ilmek modeli (Şekil .4.14) de verilmiştir.



Şekil .4.14. Dört yatırım rayında açık ilmek

İmek başı uzunluğu : $\pi. d + 5.d$ (Bağ.4.35.1)

İmek bacağı uzunluğu : $\sqrt{((c-2d)^2 + d^2)}$ (Bağ.4.35.2)

Diğer ilmek bacağı uzunluğu : $\sqrt{((c-2d)^2 + d^2)}$ (Bağ.4.35.3)

Alt yatırım uzunluğu : $\sqrt{((c-d)^2 + (nw - 3d)^2)}$ (Bağ.4.35.4)

Bağıntı 4.35'den , ilk yatırım rayı ilmek uzunluğu :

$$2.\sqrt{((c-2d)^2 + d^2)} + \sqrt{((c-d)^2 + (nw - 3d)^2)} + 20,42.d \quad (\text{Bağ.4.36})$$

İkinci yatırım rayı ilmek uzunluğu :

$$2.\sqrt{((c-2d)^2 + d^2)} + \sqrt{((c-d)^2 + (nw - 3d)^2)} + 21,42.d \quad (\text{Bağ.4.37})$$

Üçüncü yatırım rayı ilmek uzunluğu :

$$2.\sqrt{((c-2d)^2 + d^2)} + \sqrt{((c-d)^2 + (nw - 3d)^2)} + 39,26.d \quad (\text{Bağ.4.38})$$

Dördüncü yatırım rayı ilmek uzunluğu :

$$2\sqrt{(c-2d)^2+d^2} + \sqrt{(c-d)^2+(nw - 3d)^2} + 40,26.d \quad (\text{Bağ.4.39})$$

4.3.1.3. Yatırım raylarında kapalı ve açık ilmek modelli kombinasyonları :

Yatırım raylarında kapalı ve açık ilmeklerin birlikte elde edilmesi durumunda , ilmek tipi (kapalı , açık) ve hangi rayda oluşturulduğuna bağlı olarak (4.3.1.1) , (4.3.1.2) deki ilmek uzunluğu formülleri kullanılarak hesaplanılır.

4.3.2. Zıt yatırım :

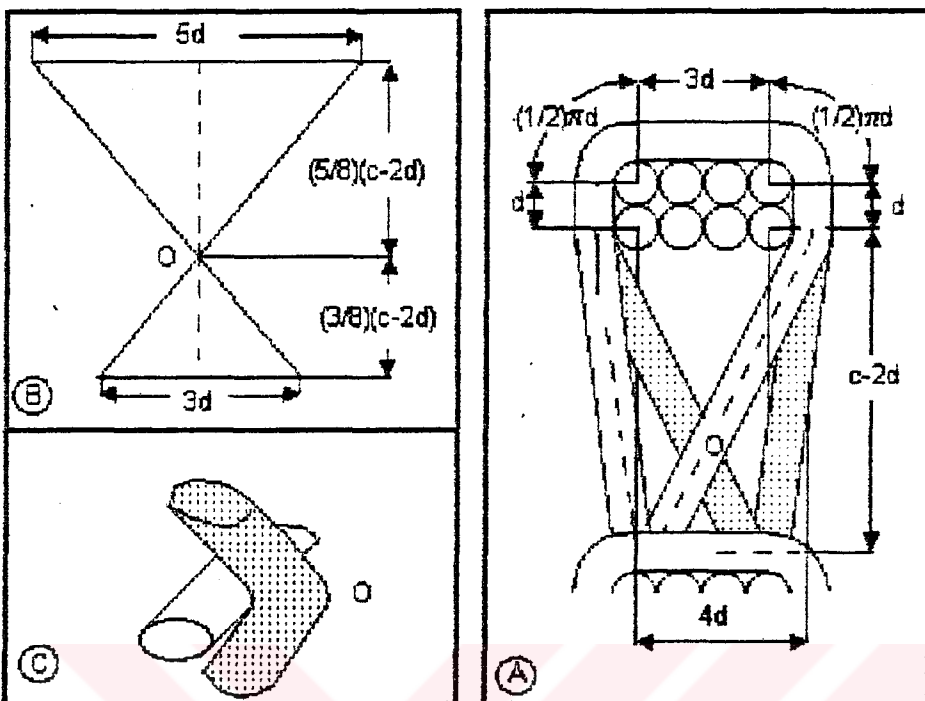
4.3.2.1. Dört yatırım rayında kapalı ilmek modelli:

Dört yatırım rayında zıt yatırımlı kapalı ilmek oluşturulması durumunda her ilmeğe uygulanacak eş veya zıt yatırım durumuna göre 14 farklı durum meydana gelecektir.Bu durum Çizelge .3.3 ' de gösterilmiştir.

Çizelge .4.9 : Dört yatırım rayında elde edilen ilmeklerin eş ve zıt yatırım ihtimalleri

	1. yatırım rayı	2.yatırım rayı	3. yatırım rayı	4. yatırım rayı	Sonuç
1	Eş	Eş	Eş	Eş	Uygulanamaz
2	Eş	Eş	Eş	Zıt	Uygulanır
3	Eş	Eş	Zıt	Eş	"
4	Eş	Eş	Zıt	Zıt	"
5	Eş	Zıt	Eş	Eş	"
6	Eş	Zıt	Eş	Zıt	"
7	Eş	Zıt	Zıt	Eş	"
8	Eş	Zıt	Zıt	Zıt	"
9	Zıt	Eş	Eş	Eş	"
10	Zıt	Eş	Eş	Zıt	"
11	Zıt	Eş	Zıt	Eş	"
12	Zıt	Eş	Zıt	Zıt	"
13	Zıt	Zıt	Eş	Eş	"
14	Zıt	Zıt	Eş	Zıt	"
15	Zıt	Zıt	Zıt	Eş	"
16	Zıt	Zıt	Zıt	Zıt	Uygulanamaz

Çizelgede görüldüğü gibi , dört rayda elde edilen ilmeklerde , sadece ilk yatırım rayı ilmeği için harcanan iplik uzunluğu yatırım durumuna bağlı olarak değişmez.Dilger yatırım raylarının ilmeklerinde , zıt yatırımın yapıldığı raydaki ilmeğin ayaklarına harcanan iplik miktarı azalırken , ilmeğin aç boyutlu yapısından dolayı , ilmek bacaklarına harcanan iplik uzunluğu artar.



Şekil .4.15 . Dört yatırım raylı makinalarda zıt yatırım ilmek modeli

İlk yatırım rayı ilmek uzunluğu :

$$\sqrt{((c-2d)^2+d^2)} + \sqrt{((c-2d)^2+16.d^2)} + \sqrt{((c-d)^2+(nw-3d)^2)} + 21,42.d \quad (\text{Bağ.4.40})$$

Diğer yatırım rayları için (Çizelge 4.9) da verilen şartlara göre :

İkinci yatırım rayı ilmek uzunluğu :

$$2,3,4,13,14,15 \quad \sqrt{((c-2d)^2+d^2)} + \sqrt{((c-2d)^2+16.d^2)} + \sqrt{((c-d)^2+(nw-3d)^2)} + 25,56.d \quad (\text{Bağ.4.41})$$

$$5.....12 \quad \sqrt{((c-2d)^2+2d^2)} + \sqrt{0,39.(c-2d)^2+5,25d^2} + \sqrt{0,14.(c-d)^2+3,25d^2} + \sqrt{(cd)^2+(nwd)^2} + 21,42.d$$

Üçüncü yatırım rayı ilmek uzunluğu :

$$2,15 \quad \sqrt{((c-2d)^2+d^2)} + \sqrt{((c-2d)^2+16.d^2)} + \sqrt{((c-d)^2+(nw-3d)^2)} + 30,84.d \quad (\text{Bağ.4.43})$$

$$3,4,13,14 \quad \sqrt{((c-2d)^2+5d^2)} + \sqrt{0,39.(c-2d)^2+5,25d^2} + \sqrt{0,14.(c-2d)^2+6,25d^2} + \sqrt{((c-d)^2+(nw-3d)^2)} + 18,28.d \quad (\text{Bağ.4.44})$$

$$5,6,7,8,9,10, \quad \sqrt{((c-2d)^2+2d^2)} + \sqrt{(25/64)(c-2d)^2+5,25d^2} + \sqrt{(9/64)(c-2d)^2+3,25d^2} + \sqrt{((c-d)^2+(nw-3d)^2)} + 21,42.d \quad (\text{Bağ.4.45})$$

Dördüncü yatırım rayı ilmek uzunluğu;

$$\sqrt{((c-2d)^2+d^2)} + \sqrt{((c-2d)^2+16.d^2)} + \sqrt{((c-d)^2+(n.w-3.d)^2)} + 31,58.d \quad (\text{Bağ.4.46})$$

4.3.2.2. Dört yatırım rayında açık ilmek modelli:

Dört yatırım rayı ile oluşturulan ilmeklerde zıt ve eş yatırıma göre ilmek oluşturulma ihtimalini gösteren Çizelge .3.3. açık ilmekler içinde geçerlidir. Elde edilmek istenen açık ilmekler (1-2/1-0) formunda açık ilmekler ise , daha önceden de belirtildiği gibi , harcanan iplik uzunlukları (4.3.2.1) deki formüllerle hesaplanacaktır.

Elde edilecek ilmekler (2-1/1-0) formunda iseler ; eş veya zıt yatırım işlemleri bu ilmeklerin sadece ait yatırımlarının yönünün değişmesine neden olacaktır.İmek bacaklarının uzunluklarında herhangi bir değişime neden olmayacağından emin olmayıpaktır. Bu nedenle zıt yatırımında (2-1/1-0) formundaki ilmeklere harcanan iplik uzunlukları bulunurken (4.3.1.2) de gösterilen ilmek uzunluğu formülleri kullanılır.

4.3.2.3. Dört yatırım rayında açık ve kapalı ilmek modeli kombinasyonları :

Dört yatırım raylı makinalarda , ilmek oluşturulurken çözgülü örme sisteminin bir ilmek oluşturulma esnasında kullanıcıya sunduğu seçenekler Çizelge .3.4 ' de gösterilmiştir.

Çizelge .4.10 . Çözgülü örmede ilmek oluşturulma ihtimalleri.

Açık ilmek				Kapalı ilmek	
(1-2/1-0) formu		(2-1/1-0) formu		Eş yatırım	Zıt yatırım
Eş yatırım	Zıt yatırım	Eş yatırım	Zıt yatırım		
1. yatırım rayı		2. yatırım rayı		3. yatırım rayı	4. yatırım rayı
Bir iğne mes.		İki iğne mes.		Üç iğne mes.	Dört iğne mes.
Beş iğne mes.					

İmek yapısından kaynaklanan ve Çizelge .4.10 ' da gösterilen ihtimallerin çözgülü örme makinasının dört yatırım rayında ayrı ayrı uygulanabileceği göz önüne alınırsa ; uygulanabilecek ihtimal sayısı ;

Tek yatırım raylı makinada : 6

İki yatırım raylı makinada : $6 \cdot 6 = 36$

Üç yatırım raylı makinada : $6 \cdot 6 \cdot 6 = 216$

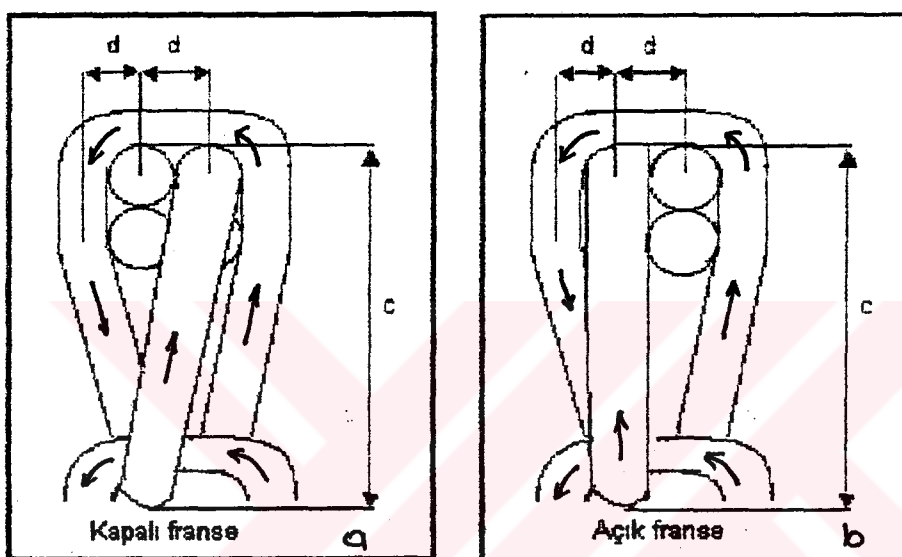
Dört yatırım raylı makinada : $6 \cdot 6 \cdot 6 \cdot 6 = 1296$ bulunur.

Her yatırım rayının desene göre (1-5) iğne mesafesi yatırım hareketi yapabileceği göz önüne alındığında ilmek oluşturulma ihtimalleri sırasıyla ;30 - 180 - 1080 -6480 değerlerini verir.

İmek türlerinin kombine edildiği kumaşlar için her yatırım rayında ilmek için harcanan iplik uzunluğunun bulunması esnasında (4.3.2.1) ve (4.3.2.2) deki formüllerden faydalанılmalıdır.

4.4. İki, üç, dört raylı makinalarda franse ilmeği kullanılması durumunda ilmek modelli .

Elde edilecek olan örgüde franse ilmeği kullanılması durumunda birim ilmek başına harcanan iplik uzunlukları , normal ilmeğe göre daha farklı olacaktır.Franse ilmeğinin yapısı dolayısıyla , normal ilmek oluşumu esnasında komşu iğnelere yapılan alt yatırım hareketi franse ilmeğinde aynı iğneye yapıldığından , franse ilmeğinin alt投資ını normal ilmeklerde oluşan alt yatırımından daha kısa olacaktır.



Şekil 4.16. Kapalı ve açık franse ilmeği makina durum modeli. (a ve b)

Şekilden kapalı franse ilmeği için alt yatırım uzunluğu değeri ile açık franse ilmeği alt yatırım uzunluğu değeri ilmek yapısından dolayı farklılık gösterecektir.Alt yatırım dışındaki ilmek parçalarının uzunlukları normal ilmek ile aynı olacaktır.

Kapalı franse ilmeği alt yatırım uzunluğu : $\sqrt{(c-2 \cdot d)^2 + d^2}$

Açık franse ilmeği alt yatırım uzunluğu : $c-2 \cdot d$ olarak alınabilir.

Örgüde kullanılan franse ilmeğinin uzunluğunun hesaplanması esnasında normal ilmeğin alt yatırım uzunluğu olan $\sqrt{(c-2 \cdot d)^2 + (n \cdot w - 3 \cdot d)^2}$ ifadesi yerine franse ilmeğinin alt yatırım uzunluğu alınmalıdır.

Çizelge.4.11. Dört yatırım raylı makinada örgülerin Rack,m² gramaj ve örtme faktörü

E28	Rack	m ² gr	Ört.Fak	Rack	m ² gr	Ört.Fak	Rack	m ² gr	Ört.F.	Rack	m ² gr	Ört.F.
Fr+Tr+Tu+Sn Eş K	141,4	56,11	10,47	184,12	73,07	13,64	252,7	100,3	18,71	300,1	119,1	22,23
Fr+Tr+Tu+Sn Eş A	124,3	49,32	9,204	151,52	60,13	11,22	232,7	92,35	17,23	280,2	111,2	20,75
Fr+Tr+Tu+Sn Z K	141,4	56,11	10,47	180,65	71,69	13,38	252,7	100,3	18,71	298,7	118,6	22,12
Fr+Tr+Tu+Sn Z A	133,8	53,08	9,906	151,52	60,13	11,22	232,7	92,35	17,23	280,2	111,2	20,75
Tr+Tu+Sn+St E K	163,7	64,96	12,12	226,6	89,92	16,78	295,2	117,1	21,86	342,7	136	25,38
Tr+Tu+Sn+St E A	146,6	58,17	10,86	194	76,99	14,37	275,2	109,2	20,38	322,7	128,1	23,9
Tr+Tu+Sn+St Z K	178,5	70,82	13,22	223,13	88,55	16,52	295,2	117,1	21,86	341,3	135,4	25,27
Tr+Tu+Sn+St Z A	146,6	58,17	10,86	194	76,99	14,37	275,2	109,2	20,38	322,7	128,1	23,9
Tu+Sn+St+Fr E K	206,2	81,81	15,27	269,12	106,8	19,93	337,7	134	25,01	192,8	76,52	14,28
Tu+Sn+St+Fr E A	189,1	75,03	14	236,53	93,87	17,52	317,8	126,1	23,53	172,9	68,6	12,8
Tu+Sn+St+Fr Z K	221	87,69	16,36	265,66	105,4	19,67	337,7	134	25,01	191,4	75,97	14,18
Tu+Sn+St+Fr Z A	189,1	75,03	14	236,53	93,87	17,52	317,8	126,1	23,53	172,9	68,6	12,8
Sn+St+Fr+Tr E K	248,7	98,69	18,42	311,66	123,7	23,08	187,9	74,56	13,91	215,1	85,37	15,93
Sn+St+Fr+Tr E A	231,6	91,91	17,15	279,06	110,7	20,67	167,9	66,64	12,44	195,2	77,45	14,45
Sn+St+Fr+Tr Z K	263,5	104,6	19,51	308,19	122,3	22,82	187,9	74,56	13,91	213,7	84,82	15,83
Sn+St+Fr+Tr Z A	231,6	91,91	17,15	279,06	110,7	20,67	167,9	66,64	12,44	195,2	77,45	14,45
St+Fr+Tr+Tu E K	291,2	115,6	21,57	161,82	64,22	11,98	210,2	83,41	15,57	257,6	102,2	19,08
St+Fr+Tr+Tu E A	274,1	108,8	20,3	129,22	51,28	9,57	190,2	75,49	14,09	237,6	94,31	17,6
St+Fr+Tr+Tu Z K	306	121,4	22,66	158,35	62,84	11,73	210,2	83,41	15,57	256,2	101,7	18,97
St+Fr+Tr+Tu Z A	274,1	108,8	20,3	129,22	51,28	9,57	190,2	75,49	14,09	237,6	94,31	17,6

Çizelge.4.12. Dört yatırım raylı makinada örgülerin Rack,m² gramaj ve örtme faktörü

E32	Rack	m ² gr	Ört.Fak	Rack	m ² gr	Ört.Fak	Rack	m ² gr	Ört.F.	Rack	m ² gr	Ört.Fa
Fr+Tr+Tu+Sn Eş K	141,4	44,95	8,391	184,88	58,78	10,97	254,2	80,82	15,09	302,4	96,15	17,95
Fr+Tr+Tu+Sn Eş A	124,3	39,52	7,376	152,28	48,42	9,038	234,2	74,47	13,9	282,5	89,8	16,76
Fr+Tr+Tu+Sn Z K	141,4	44,95	8,391	181,41	57,68	10,77	254,2	80,82	15,09	301	95,71	17,87
Fr+Tr+Tu+Sn Z A	133,8	42,53	7,939	152,28	48,42	9,038	234,2	74,47	13,9	282,5	89,8	16,76
Tr+Tu+Sn+St E K	164,4	52,28	9,759	228,12	72,53	13,54	297,5	94,58	17,66	345,7	109,9	20,52
Tr+Tu+Sn+St E A	147,3	46,85	8,745	195,52	62,16	11,6	277,5	88,24	16,47	325,8	103,6	19,33
Tr+Tu+Sn+St Z K	179,2	56,98	10,64	224,65	71,43	13,33	297,5	94,58	17,66	344,3	109,5	20,44
Tr+Tu+Sn+St Z A	147,3	46,85	8,745	195,52	62,16	11,6	277,5	88,24	16,47	325,8	103,6	19,33
Tu+Sn+St+Fr E K	207,7	66,03	12,33	271,41	86,29	16,11	340,8	108,3	20,22	192,8	61,31	11,44
Tu+Sn+St+Fr E A	190,6	60,59	11,31	238,81	75,93	14,17	320,8	102	19,04	172,9	54,96	10,26
Tu+Sn+St+Fr Z K	222,5	70,74	13,2	267,94	85,19	15,9	340,8	108,3	20,22	191,4	60,87	11,36
Tu+Sn+St+Fr Z A	190,6	60,59	11,31	238,81	75,93	14,17	320,8	102	19,04	172,9	54,96	10,26
Sn+St+Fr+Tr E K	251	79,79	14,89	314,71	100,1	18,68	187,9	59,74	11,15	215,9	68,64	12,81
Sn+St+Fr+Tr E A	233,9	74,36	13,88	282,11	89,7	16,74	167,9	53,39	9,967	195,9	62,29	11,63
Sn+St+Fr+Tr Z K	265,8	84,5	15,77	311,24	98,96	18,47	187,9	59,74	11,15	214,5	68,2	12,73
Sn+St+Fr+Tr Z A	233,9	74,36	13,88	282,11	89,7	16,74	167,9	53,39	9,967	195,9	62,29	11,63
St+Fr+Tr+Tu E K	294,3	93,56	17,46	161,82	51,45	9,604	210,9	67,07	12,52	259,1	82,39	15,38
St+Fr+Tr+Tu E A	277,2	88,13	16,45	129,22	41,09	7,669	191	60,72	11,33	239,2	76,04	14,19
St+Fr+Tr+Tu Z K	309,1	98,27	18,34	158,35	50,35	9,398	210,9	67,07	12,52	257,7	81,95	15,3
St+Fr+Tr+Tu Z A	277,2	88,13	16,45	129,22	41,09	7,669	191	60,72	11,33	239,2	76,04	14,19

Çizelge 4.13. Dört yatırım raylı makinada örgülerin Rack,m² gramaj ve örtme faktörü

E 40	Rack	m ² gr	Ört.Fak	Rack	m ² gr	Ört.F.	Rack	m ² gr	Ört.Fak	Rack	m ² gr	Ört.F.
Fr+Tr+Tu+Sn Eş K	141,4	56,11	10,47	184,12	73,07	13,64	252,7	100,3	18,71	300,1	119,1	22,23
Fr+Tr+Tu+Sn Eş A	124,3	49,32	9,204	151,52	60,13	11,22	232,7	92,35	17,23	280,2	111,2	20,75
Fr+Tr+Tu+Sn Z K	141,4	56,11	10,47	180,65	71,69	13,38	252,7	100,3	18,71	298,7	118,6	22,12
Fr+Tr+Tu+Sn Z A	133,8	53,08	9,906	151,52	60,13	11,22	232,7	92,35	17,23	280,2	111,2	20,75
Tr+Tu+Sn+St E K	163,7	64,96	12,12	226,6	89,92	16,78	295,2	117,1	21,86	342,7	136	25,38
Tr+Tu+Sn+St E A	146,6	58,17	10,86	194	76,99	14,37	275,2	109,2	20,38	322,7	128,1	23,9
Tr+Tu+Sn+St Z K	178,5	70,82	13,22	223,13	88,55	16,52	295,2	117,1	21,86	341,3	135,4	25,27
Tr+Tu+Sn+St Z A	146,6	58,17	10,86	194	76,99	14,37	275,2	109,2	20,38	322,7	128,1	23,9
Tu+Sn+St+Fr E K	206,2	81,81	15,27	269,12	106,8	19,93	337,7	134	25,01	192,8	76,52	14,28
Tu+Sn+St+Fr E A	189,1	75,03	14	236,53	93,87	17,52	317,8	126,1	23,53	172,9	68,6	12,8
Tu+Sn+St+Fr Z K	221	87,69	16,36	265,66	105,4	19,67	337,7	134	25,01	191,4	75,97	14,18
Tu+Sn+St+Fr Z A	189,1	75,03	14	236,53	93,87	17,52	317,8	126,1	23,53	172,9	68,6	12,8
Sn+St+Fr+Tr E K	248,7	98,69	18,42	311,66	123,7	23,08	187,9	74,56	13,91	215,1	85,37	15,93
Sn+St+Fr+Tr E A	231,6	91,91	17,15	279,06	110,7	20,67	167,9	66,64	12,44	195,2	77,45	14,45
Sn+St+Fr+Tr Z K	263,5	104,6	19,51	308,19	122,3	22,82	187,9	74,56	13,91	213,7	84,82	15,83
Sn+St+Fr+Tr Z A	231,6	91,91	17,15	279,06	110,7	20,67	167,9	66,64	12,44	195,2	77,45	14,45
St+Fr+Tr+Tu E K	291,2	115,6	21,57	161,82	64,22	11,98	210,2	83,41	15,57	257,6	102,2	19,08
St+Fr+Tr+Tu E A	274,1	108,8	20,3	129,22	51,28	9,57	190,2	75,49	14,09	237,6	94,31	17,6
St+Fr+Tr+Tu Z K	306	121,4	22,66	158,35	62,84	11,73	210,2	83,41	15,57	256,2	101,7	18,97
St+Fr+Tr+Tu Z A	274,1	108,8	20,3	129,22	51,28	9,57	190,2	75,49	14,09	237,6	94,31	17,6

4.5. İlmek modeline göre sabit tutulan parametrelerin değiştirilmesi durumunda kumaş özelliklerine etkileri.

İki yatırım raylı makinalarda örülülmüş kumaşların özelliklerine etki eden faktörler şu şekilde sıralanabilir.

- 1 - Her yatırım rayındaki iplik numarası ve çapı.
- 2 - Makina inceliği.
- 3 - Üretilen kumaşın sıra sıklığı.
- 4 - Kumaşın desenlendirilmesi esnasında oluşturulan ilmeğin eş, zıt yatırım durumu.
- 5 - Kapalı , açık ilmek kullanılması durumu.
- 6 - Yatırım raylarının tahrarı.
- 7 - Kullanılan ipliklerin renk , büküm vb. özellikleri.

4.5.1. Makina inceliği :

Çözgү otomat makinalarında incelik , bir içteki iğne sayısıyla belirtilir.Örülülen kumaşın sıra sıklığı , yatırım raylarındaki iplik numaraları sabit kabul edilerek makina inceliği değerleri değiştirilerek Ek -Şekil.6.5 , 6.33 ve ' deki grafik elde edilmiştir.

Grafikte makina incelikleri E 10 - 40 arasında değiştirilmiştir.İncelik arttıkça her yatırım rayında örülülen ilmeklerin "Rack" değerlerinin azaldığı görülmektedir.ilmeklerin rack değerlerindeki bu değişimin esas nedeni iki komşu iğne arasındaki mesafenin değişmesi dolayısıyla örgünün alt yarımının uzunluğunun değişmesidir.

İki iğne arasındaki mesafe t_m , örülülen ilmek uzunluğu C olduğuna göre ilmeğin alt yarımının uzunluğu yaklaşık olarak $U = \sqrt{(t_m^2)+(C^2)}$ olacaktır.Bu ifade kökü bir fonksiyon olduğundan makina inceliği doğrusal olarak değişmesine rağmen alt yatırım uzunluğu , dolayısıyla da ilmeklerin "Rack" değerlerinin değişimi incelik arttıkça azalan bir eğrisel yörunge oluşturacaktır.

Makina inceliğinin değişmesi kumaşın ağırlığının değişimine neden olur.Makina inceliği arttıkça kumaşın birim alanındaki ilmek sayısı arttığı için , ilmek boyunda azalmamasına rağmen kumaşın ağırlığı artmaktadır.

Makina inceliğinin değişmesinin etkilediği değerlerden birisi de kumaşın örtme faktörüdür.İncelik arttıkça , sabit sıra sıklığı için ilmek başına düşen birim alan azaldığından örtme faktörü artmaktadır.

Makina inceliğinin kumaş kalınlığına etkisi incelendiğinde ise incelikle birlikte iplik numarasının önemli ve sınırlayıcı bir etken olduğu görülmektedir.Yüksek incelikli makinalar ince ipliklerle çalışabildiklerinden dolayı bu makinalarda üretilen kumaşlar , daha kaba makinalara göre daha ince kumaşlardır.

4.5.2. Sıra sıklığı :

Kumaşın sıra sıklığı değiştiği zaman , ilmeklerin rack değerlerine etkisi yaklaşık olarak 1/ (sıra sıklığı) kadardır.Bunun sonucu olarak Ek-Şekil.6.2 , 6.21 6.26 ,6.30 , 6.39 , 6.43' de görüldüğü gibi sıklık azaldıkça ilmek boyu artmaktadır.Bu değişim ilmek bacaklarında sıklık değişiminden dolayı meydana gelen uzunluk değişimini ile ilmeğin alt yatırımda meydana gelen değişime bağlıdır.

Sıra sıklığı değişimi , kumaş ağırlığı ve kumaşın örtme faktörü değişimi ile doğru orantılıdır.Sıklık azaldıkça ağırlık ve örtme faktörü değerleri düşmektedir.

4.5.3. İplik numaraları:

İplik numarası ve hangi yatırım rayında hangi numarada ipliklerle çalışıldığı üretilen kumaşın özelliklerinin tespitinde önemlidir.Iki ve daha fazla yatırım raylı makinalarda , değişik numaralı iplikle çalışan yatırım rayları daha sonraki yatırım raylarında üretilen ilmeklerin uzunluklarını etkilemektedir.Bu değişiklik iplik numarasının ve çapının farklılığından kaynaklanmaktadır.

İplik numarası değişimi kumaş ağırlığına , kumaşın örtme faktörüne ve kumaşın kalınlığına doğru orantılı olarak etki eder.(Ek - Şekil. 6.3.,4,9,10,17 ,18,19,23,27,2829,32,41)

4.5.4. Yatırım (Eş,zıt) :

Üretilen kumaşta kullanılan örgünün eş veya zıt yatırıma göre üretilmesinin ilk yatırım rayından sonraki yatırım raylarında oluşan ilmeklerin ilmek boylerinde farklılıklar oluşturmaktadır.Aynı örgünün farklı yatırım durumunda farklı rack değerlerini vermesinin nedeni , yatırım durumuna göre ilmek ayaklarının farklı geometrilerinden dolayıdır.

Eş yatırım ilmeklerinde alt yatırımlar aynı yönlü olduklarından ayaklar birbirleri üzerinden dolanacaklarından ilk yatırım rayından sonraki rayların rack değerleri daha büyük olacaktır.Zıt yatırımda ise ilmek alt yatırımları farklı yönlü olduklarından ilmek ayakları mümkün olduğunca yanyana dizileceklerinden iki ray arasındaki rack değeri farkı daha az olmaktadır.Bundan dolayı zıt yatırımlı kumaşlar eş yatırımlı kumaşlara göre aynı şartarda daha düşük grammajlı ve daha düşük örtme faktörüne sahip kumaşlardır.

Zıt yatırımla örülülmüş kumaşlar , eş yatırımlı kumaşlara göre daha ince ve daha düzgün yüzeyli kumaşlardır.Eş yatırımda ilmek bağlantı noktalarında iplikler birbirleri üzerine bindiklerinden özellikle bu noktalarda kumaş kalınlığı arttığı gibi kumaş yüzeyi düzgünlüğü azalacaktır.

4.5.5. İlmek tipi (Açık - Kapalı):

Örgüde kullanılan ilmeklerin kapalı veya açık olması kumaş özelliklerine etki etmektedir. Örgüde kapalı ilmek kullanılması durumunda ilmek boyları , açık ilmek boylarına göre daha büyük değerler vermektedirler. Bunun sonucu olarak ; aynı şartlar altında örülen kapalı ilmekli kumaşlar açık ilmekli kumaşlara göre daha ağır , örtme faktörleri daha yüksek kumaşlardır.

4.5.6. Yatırım rayı tahrı:

Yatırım raylarına uygulanan tahrı , kumaş özelliklerini doğrudan etkiler. Tahara göre en yüksek kumaş ağırlığı ve örtme faktörü değerleri tam (dolu) tahrılı kumaşlarda elde edilirler. Her yönden uygulanan germe kuvvetlerine karşı da en yüksek direnci dolu tahrılı kumaşlar sağlar.

5. TARTIŞMA VE SONUÇ

5.1. Tartışma

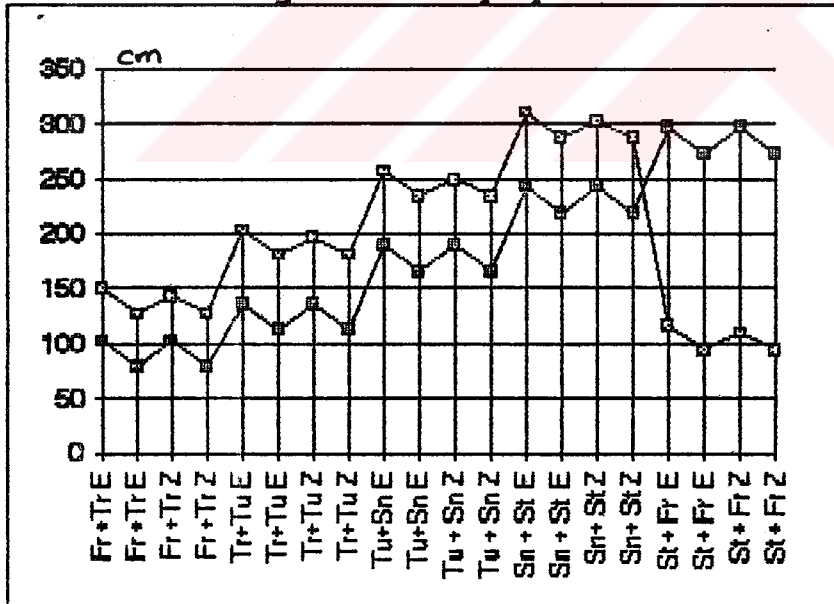
5.1.1. İki yatırım raylı makinalarda örülülmüş kumaşların karşılaştırılması.

5.1.1.1. E 28 Incelikli makinalarda örülen kumaşların karşılaştırılması.

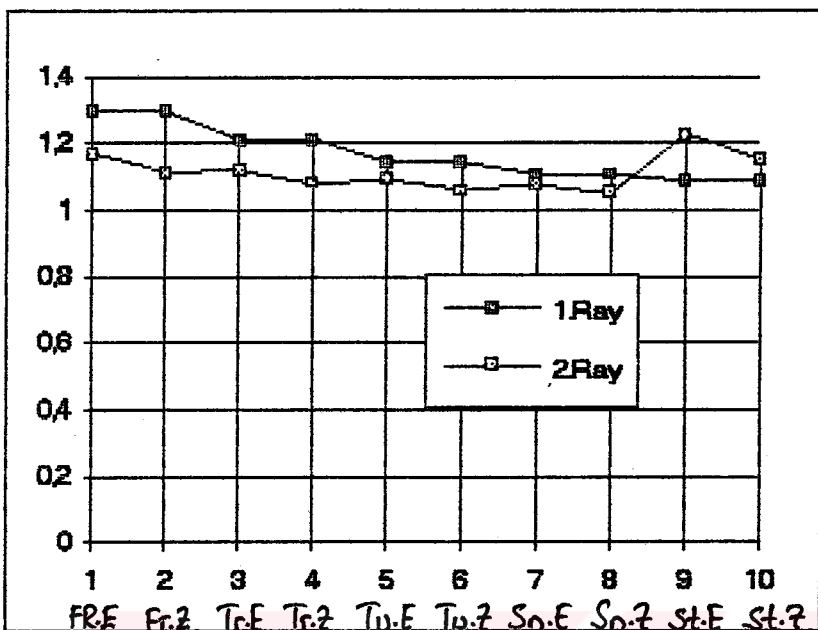
Çözüme 5.1. İki yatırım raylı makinalarda örülülmüş kumaşların Rack, ağırlık ve örtme faktörü değerleri.

E 28		Rack	(Gr/m ²)	Ört. Fak	Rack	(Gr/m ²)	Ört. Fak
1	Fr+Tr E	K	102,9268	29,1974	5,348	149,59	42,42
2	Fr+Tr E	A	79,15660	22,4474	4,113	127,80	36,24
3	Fr+Tr Z	K	102,9268	29,1974	5,348	142,37	40,37
4	Fr+Tr Z	A	79,15660	22,4474	4,113	127,80	36,24
5	Tr+Tu E	K	136,0647	39,5844	7,07	202,98	57,55
6	Tr+Tu E	A	112,2988	31,8444	5,835	181,17	51,37
7	Tr+Tu Z	K	136,0647	39,5844	7,07	195,74	55,51
8	Tr+Tu Z	A	112,2988	31,8444	5,835	181,17	51,37
9	Tu+Sn E	K	169,4337	53,7195	9,843	256,37	72,7
10	Tu+Sn E	A	185,8858	46,0795	9,808	234,57	66,52
11	Tu+Sn Z	K	169,4337	53,7195	9,843	249,14	70,86
12	Tu+Sn Z	A	165,8858	46,0795	9,808	234,57	66,52
13	Sn+St E	K	242,6362	69,9828	12,82	308,78	87,94
14	Sn+St E	A	219,0703	62,1226	11,39	287,98	81,00
15	Sn+St Z	K	242,6362	69,9828	12,82	302,58	85,9
16	Sn+St Z	A	219,0703	62,1226	11,39	287,98	81,00
17	St+Fr E	K	296,2496	84,0087	15,39	116,45	33,02
18	St+Fr E	A	272,4917	77,2897	14,18	94,08	28,84
19	St+Fr Z	K	296,2496	84,0087	15,39	109,23	30,88
20	St+Fr Z	A	272,4917	77,2897	14,18	94,08	28,84

5.1.1.1.1. Rack değerlerinin karşılaştırılması :



büyük değerlere sahiptir.Şekildeki çift numaralı değerler açık ilmek değerleridir.Açık ilmekler her iki yatırım rayında da , kapalı ilmeklerden daha küçük rakam değerlerine sahiptir.



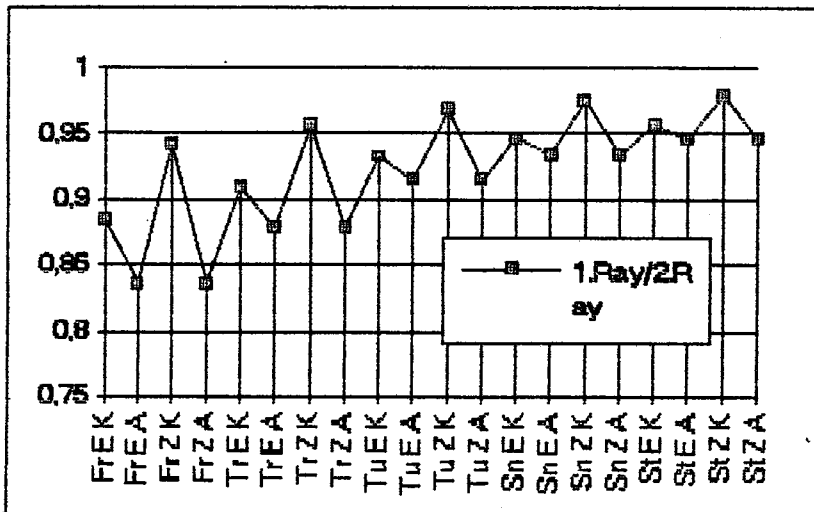
Şekil .5.2. Aynı yatırım rayında örülen aynı tip ilmeklerin kapalı / açık oranları.

Şekil .5.2'de aynı yatırım rayında örülen , aynı ilmeklerin kapalı ilmek tipi ile açık ilmek tipi oranları görülmektedir. İlk yatırım rayında , kapalı ilmekler , açık ilmeklerin 1,1 - 1,3 katı uzunluktur.Kapalı ilmek / açık ilmek oranının en yüksek olduğu ilmek türü franse ilmeğidir.Bu oran samt ilmeğine doğru düşüş göstermektedir.En küçük oranı ise samt ilmeğidir.İkinci yatırım rayında kapalı ilmek/ açık ilmek oranları , ilk yatırım rayına göre daha düşük değerler vermektedirler.

Samt ilmeği , dört iğne mesafesi yatırım hareketine sahiptir. Ilmeğin kapalı veya açık olması bu iğne mesafesine etki etmemektedir.Dolayısıyla iki ilmek tipi arasındaki uzunluk farkı , ilmeğin geometrisinden dolayı sadece ilmek bağlantı noktalarında oluşan farklılıklardan kaynaklanmaktadır.İki ilmek tipi arasındaki uzunluk farkı , ilmek boyunu oluşturan ilmek başı , ilmek bacakları ve komşu iğnelere yapılan yatırım hareketlerine göre çok küçük bir değerdir.

Oluşturulan ilmek tipine göre komşu iğnelere yapılan yatırım hareketi büyündükçe kapalı ilmek / açık ilmek oranı düşmekte ve en küçük değerini samt ilmeğinde , en büyük değerini ise franse ilmeğinde almaktadır.İkinci yatırım rayında , birinci yatırım rayına göre daha düşük ilmek boyu oranlarının elde edilmesinin nedeni ; kapalı ve açık ilmek tipinde farklılığı sağlayan bağlantı noktalarının , ilmek uzunluklarına göre çok küçük değer olmasındandır.

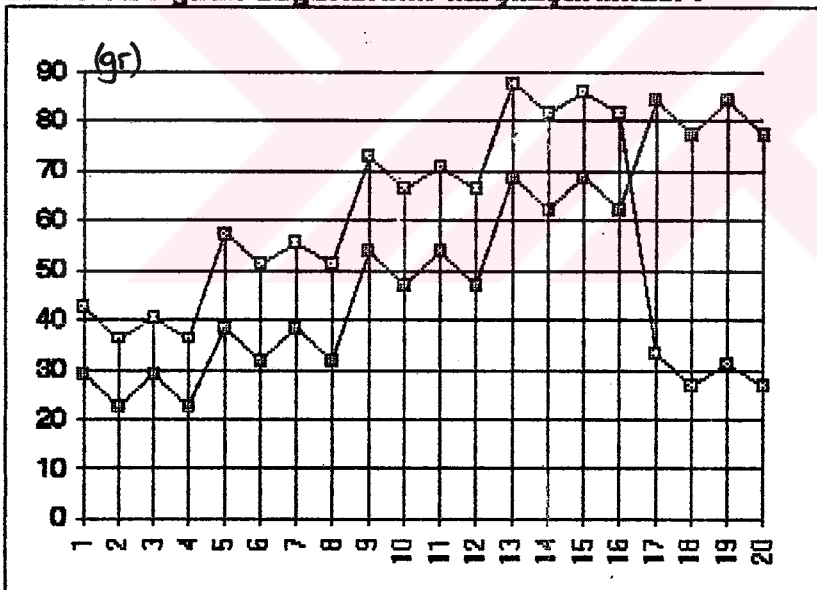
Şekil.5.3'de farklı yatırım rayında örülen aynı tip ilmeklerin birbirlerine oranları görülmektedir.Şekilde en küçük rakam oranlarını açık ilmekler vermektedir.Kapalı ilmekler ise açık ilmeklerden daha yüksek oranlara sahiptirler.En düşük oran %84 ile eş ve zit açık franse ilmeği oranıdır.En yüksek oran %97 ile zit yatırımı kapalı franse ilmeğidir.



Şekil.5.3. Farklı yatırım rayında örülen aynı tip ilmeklerin Rack değerleri oranı.

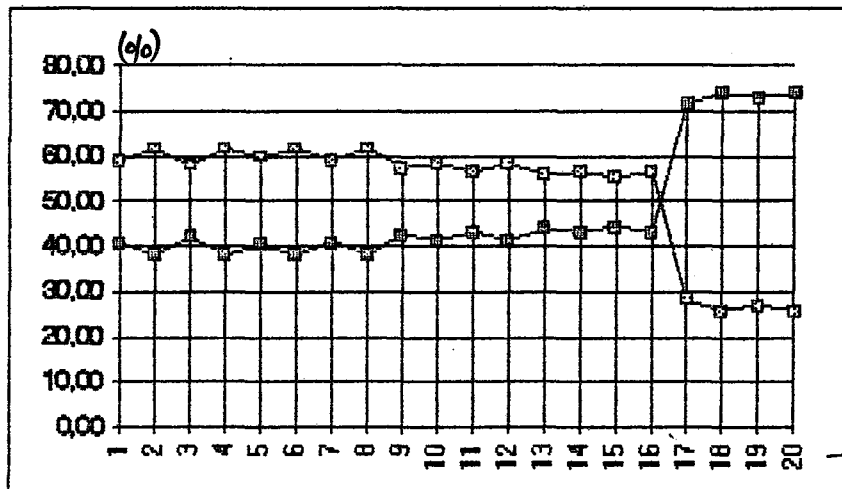
İlk yatırım rayında örülen ilmekler uzunluk açısından arka yatırım rayında örülen ilmeklerden % 3 -16 daha küçük rack değerlerine sahiptirler. Her İki yatırım rayında örülen zit yatırım ilmeklerinin daha yüksek oranlara sahip olmalarının nedeni ilmeklerin geometrisinden kaynaklanmaktadır. 2. yatırım rayı ilmeklerinin bağlantı noktalarında , 1. yatırım rayı iplikleri üzerine binmemelerinden dolayı ilmeklere harcanan iplik uzunlukları arasındaki fark daha düşük olmaktadır.

5.1.1.1.2. Ağırlık değerlerinin karşılaştırılması :



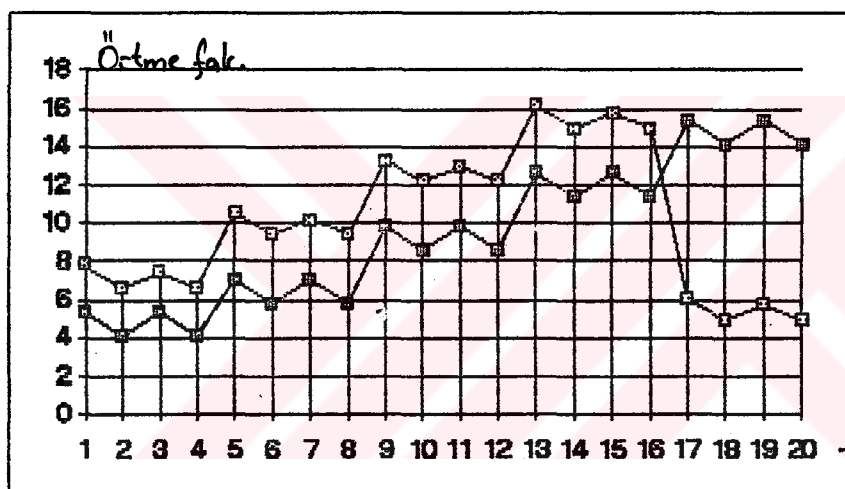
Şekil.5.4: İki yatırım raylı E28 incelıklı makinalarda örülen kumaşların raylara göre ağırlık değerleri.

Şekil.5.4 'de kumaş ağırlığının raylara göre dağılımı verilmiştir.Aynı iplik numaraları için genellikle 1.yatırım rayı, kumaş ağırlığının % 38 - 45 'ini oluştururken 2. yatırım rayı %58-65' ini oluşturmaktadır.2. yatırım rayında daha kısa alt yatırımlı bir ilmek oluşturulması halinde (Şekil.5.5 'de 17-20 arasındaki değerler) verilen % değerleri ters dönerken 1. yatırım rayında kumaş ağırlığının daha fazlası oluşturulabilmektedir. Bu verilen değerler makina inceliği değişse bile hemen hemen sabit kalmaktadır.



Şekil : 5.5. İki yatırım raylı E 28 incilikli makinalarda kumaş ağırlığının yatırım raylarına göre dağılımının % cinsinden dağılımı.

5.1.1.1.3. Örtme faktörü değerlerinin karşılaştırılması :



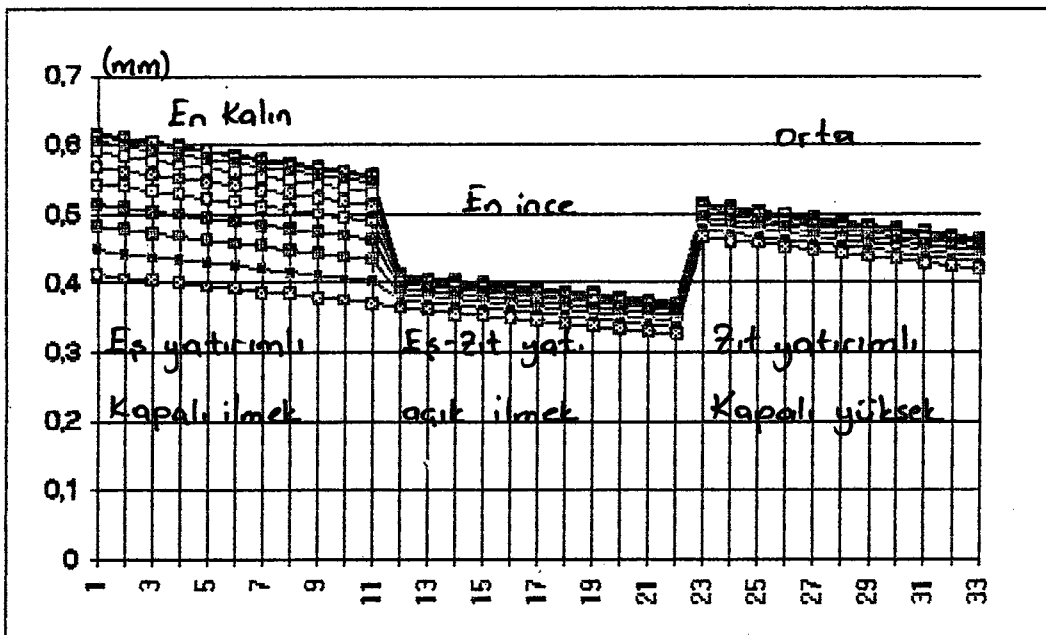
Şekil : 5.6. İki yatırım raylı E 28 incilikli makinalarda kumaş örtme faktörü değerleri.

Kumaş örtme faktörü değerleri ilmek için harcanan İplik boyuna ve bir ilmek alanına bağlı olduğundan , ilmek için harcanan İplik uzunluğu fazla olan ilmeklerde yüksek örtme faktörü değerleri vermektedir.Bu duruma göre örtme faktörü değeri en yüksek ilmek "Samt" ilmeğl , en düşük olan ilmek ise "Franse" ilmeğidir.

Açık ilmeklerin örtme faktörü değerleri kapalı ilmeklerden daha küçüktür.ilmeğe uygulanan yatırım türünün , ilmeğin örtme faktörüne etkisi yoktur.ilmeğin elde edildiği yatırım rayı örtme faktörü değerinin değişmesine neden olmaktadır.İkinci yatırım rayında örülən ilmeklerin örtme faktörü , birinci yatırım rayında örülən ilmeklerin örtme faktöründen yaklaşık iki birim fazladır.

5.1.1.1.4. Kumaş kalınlığı :

Şekil.5.7'de 1-11 numaralı değerler eş yatırımı kapalı ilmekle örülən , 12-22 arasındaki değerler eş veya zit yatırımı açık ilmekli kumaşların , 23 - 33 numaralı değerler ise zit yatırımı kapalı ilmekli kumaş kalınlığı değerlerini göstermektedir.Bu değerler Bağ.(3.18 - 3.19 - 3.20) 'de belirtilen değerler kullanılarak elde edilmişdir.



Şekil.5.7. İki yatırım raylı makinalarda örulen eş yatırımlı kapalı, zıt yatırımlı kapalı ve eş-zıt yatırımlı açık ilmekli kumaş kalınlığı.

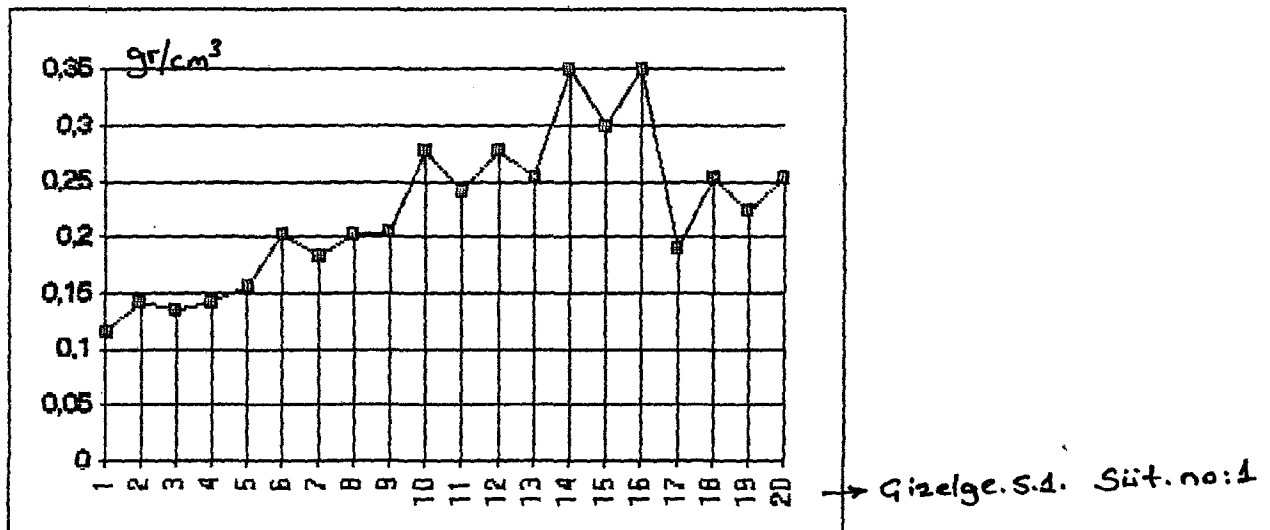
Şekil.4.1 , 4.5 , 4.6 ' da gösterilen ilmek bağlantı noktalarında İpliklerin yerleşiminden dolayı kumaş tiplerine göre kumaş kalınlıkları ve kalınlığa bağlı olarak farklı kumaş yoğunlukları elde edilmiştir.

Şekilden de görülebileceği gibi eş veya zıt yatırımlı açık ilmekli kumaşların kalınlıkları en düşük değerleri vermektedir.Zıt yatırımlı kapalı ilmeklerle örulen kumaşlarda ise bağlantı noktalarındaki ilmek ayaklarının bir tanesi farklı yönde pozisyon aldığından açık ilmeklere göre daha büyük fakat eş yatırımlı kapalı ilmeklere göre daha büyük değer vermektedirler.Eş yatırımlı kapalı ilmeklerde ilmek ayaklarının yönleri aynı olduğundan kumaş içerisinde iplikler birbirleri üzerine bindiklerinden en kalın kumaşlar bu tip ilmeklerle örulen kumaşlardır.

Şekilde gösterilen grafikteki eğriler , İplik kesitindeki değişimlerin normal İplik çapının %10 ' una kadar azalması ve bağlantı noktalarındaki İpliklerin birbirlerine göre aldıkları çeşitli pozisyonlara göre kumaş kalınlığındaki değişiklikler gösterilmiştir.

5.1.1.5. Yoğunluk değerlerinin karşılaştırılması :

Şekil.5.8'de grafikte görüldüğü gibi en düşük özgül ağırlık değerini franse ilmekleri vermektedir.Küçükten büyüğe sırasıyla triko , tuch , satin ve samit ilmeklerinin özgül ağırlık değerleri gelmektedir.Özgül ağırlık değeri , kumaş kalınlığı ve kumaş ağırlığına bağlı bir değer olduğundan açık ilmeklerin özgül ağırlık değerleri , kapalı ilmeklerden daha yüksektir. Bu durum açık ilmekli kumaşların , kapalı ilmekli kumaşlardan daha ince olmasındanandır.



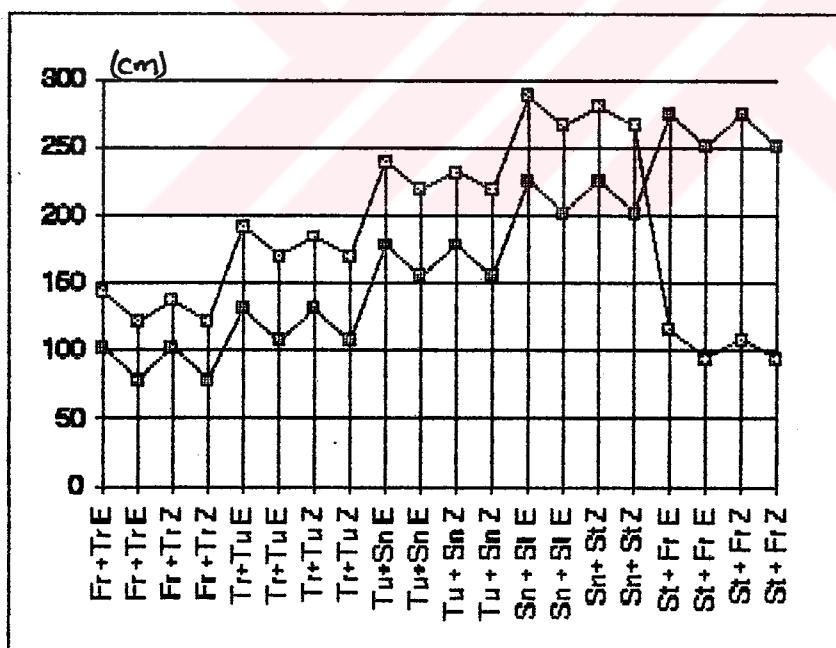
Şekil : 5.8. İki yatırım raylı E 28 incelıklı makinalarda örülen kumaşların yoğunluk değerleri.

5.1.1.2. E 32 Incelikli makinalarda örülen kumaşların karşılaştırılması.

Çizeğe.5.2. İki yatırım raylı E 32 Incelikli makinalarda örülülmüş kumaşların Rack, ağırlık ve örtme faktörü değerleri.

		Rack (cm)	A _f (Gr/m ²)	Ört. Fak.	Rack (cm)	A _f (Gr/m ²)	Ört. fak.
1	Fr+Tr E	K	102,9268	33,0168	6,037	144,16	46,24
2	Fr+Tr E	A	79,15669	25,3924	4,643	122,37	39,25
3	Fr+Tr Z	K	102,9268	33,0168	6,037	136,94	43,93
4	Fr+Tr Z	A	79,15669	25,3924	4,643	122,37	39,25
5	Tr+Tu E	K	130,6354	41,9049	7,662	192,08	61,52
6	Tr+Tu E	A	106,8875	34,2607	6,266	170,29	54,62
7	Tr+Tu Z	K	130,6354	41,9049	7,662	184,86	59,3
8	Tr+Tu Z	A	106,8875	34,2607	6,266	170,29	54,62
9	Tu+SnE	K	178,5527	57,2757	10,47	240,04	77
10	Tu+SnE	A	154,7848	49,8515	9,078	210,25	70,01
11	Tu+SnZ	K	178,5527	57,2757	10,47	232,82	74,68
12	Tu+SnZ	A	154,7848	49,8515	9,078	210,25	70,01
13	Sn+St E	K	226,5124	72,8801	13,28	288,01	92,39
14	Sn+St E	A	202,7445	65,0359	11,89	268,22	65,4
15	Sn+St Z	K	226,5124	72,8801	13,28	280,79	90,07
16	Sn+St Z	A	202,7445	65,0359	11,89	268,22	65,4
17	St+Fr E	K	274,4801	88,0471	18,1	118,45	37,38
18	St+Fr E	A	250,7122	60,4229	14,7	94,66	30,37
19	St+ Fr Z	K	274,4801	88,0471	18,1	108,23	35,04
20	St+ Fr Z	A	250,7122	60,4229	14,7	94,66	30,37

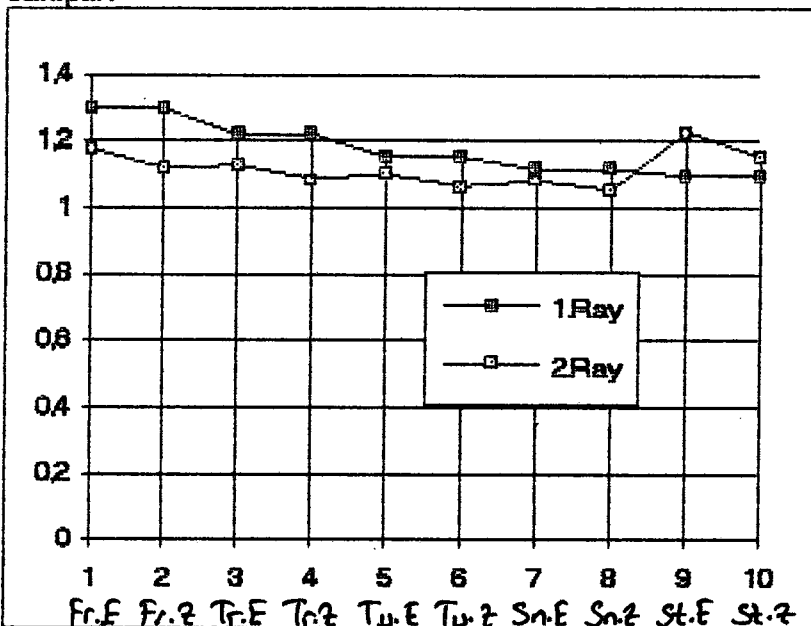
5.1.1.2.1. Rack değerlerinin karşılaştırılması :



Şekil.5.9. İki yatırım raylı makinalarda örülülmüş kumaşların Rack değerleri.

Şekil 5.9'da İki yatırım raylı E32 Incelikli makinalarda elde edilen değişik örgülerin rack değerleri gösterilmiştir.Her İki yatırımrayı İçin İlmeklerin rack değerleri Franse İlmeğinden başlayarak , gittikçe artan değerler vermektedir.Rack değerleri küçükten büyüğe doğru sıralandığında Franse , Triko , Tuch , Satın ve Samt 'tır.Bu sıralama her İki yatırım rayında da geçerlidir.İkinci yatırım rayında elde edilen İlmeklerin rack değerleri birinci yatırım rayında elde edilen rack değerlerinden daha

büyük değerlere sahiptir.Şekildeki çift numaralı değerler açık ilmek değerleridir.Açık ilmekler her iki yatırım rayında da , kapalı ilmeklerden daha küçük rakam değerlerine sahiptir.



Şekil .5.10. Aynı yatırım rayında örülen aynı tip ilmeklerin kapalı / açık oranları.

Şekil .5.10'da aynı yatırım rayında örülen , aynı ilmeklerin kapalı ilmek tipi ile açık ilmek tipi oranları görülmektedir. İlk yatırım rayında , kapalı ilmekler , açık ilmeklerin 1,1 - 1,3 katı uzunluktur.Kapalı ilmek / açık ilmek oranının en yüksek olduğu ilmek türü franse ilmeğidir.Bu oran samt ilmeğine doğru düşüş göstermektedir.En küçük oranı ise samt ilmeği vermektedir.İkinci yatırım rayında kapalı ilmek/ açık ilmek oranları , ilk yatırım rayına göre daha düşük değerler vermektedirler.

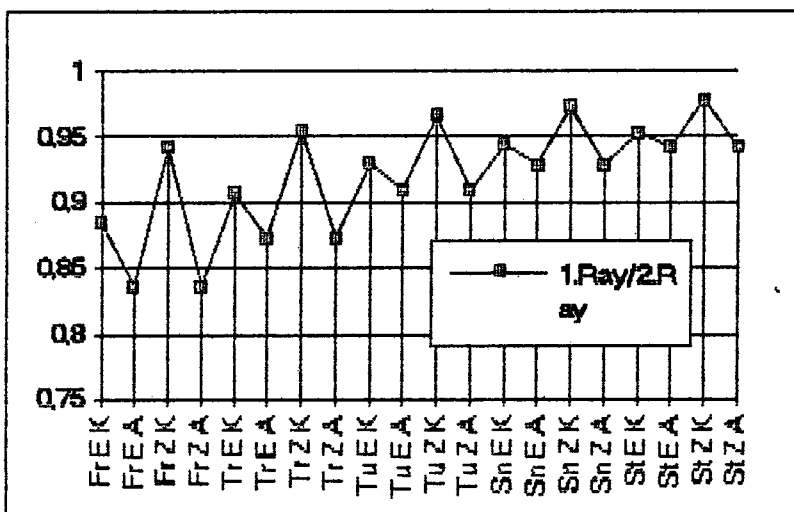
Samt ilmeği , dört iğne mesafesi yatırım hareketine sahiptir. Ilmeğin kapalı veya açık olması bu iğne mesafesine etki etmemektedir.Dolayısıyla iki ilmek tipi arasındaki uzunluk farkı , ilmeğin geometrisinden dolayı sadece ilmek bağlantı noktalarında oluşan farklılıklardan kaynaklanmaktadır.İki ilmek tipi arasındaki uzunluk farkı , ilmek boyunu oluşturan ilmek başı , ilmek bacakları ve komşu iğnelere yapılan yatırım hareketlerine göre çok küçük bir değerdir.

Oluşturulan ilmek tipine göre komşu iğnelere yapılan yatırım hareketi büyülükçe kapalı ilmek / açık ilmek oranı düşmekte ve en küçük değerini samt ilmeğinde , en büyük değerini ise franse ilmeğinde almaktadır.İkinci yatırım rayında , birinci yatırım rayına göre daha düşük ilmek boyu oranlarının elde edilmesinin nedeni ; kapalı ve açık ilmek tipinde farklılığı sağlayan bağlantı noktalarının , ilmek uzunlıklarına göre çok küçük değer olmasındandır.

Şekil.5.11'de farklı yatırım rayında örülen aynı tip ilmeklerin birbirlerine oranları görülmektedir.Şekilde en küçük rakam oranlarını açık ilmekler vermektedir.Kapalı ilmekler ise açık ilmeklerden daha yüksek oranlara sahiptirler.En düşük oran %84 ile eş ve zit açık franse ilmeği oranıdır.En yüksek oran %97 ile zit yatırımlı kapalı franse ilmeğidir.

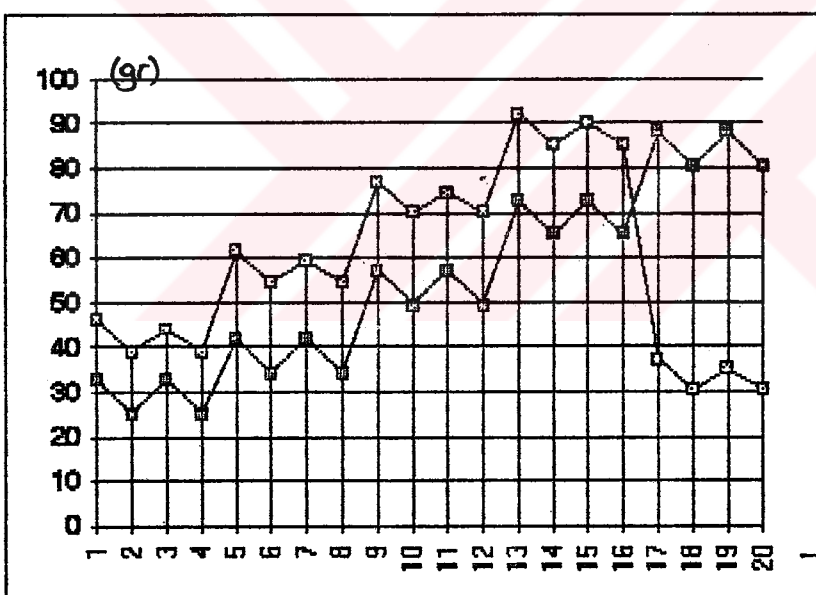
İlk yatırım rayında örülen ilmekler uzunluk açısından arka yatırım rayında örülen ilmeklerden % 3 -16 daha küçük rakam değerlerine sahiptirler.Her iki yatırım rayında örülen zit yatırım ilmeklerinin daha yüksek oranlara sahip olmalarının nedeni

İlmeklerin geometrisinden kaynaklanmaktadır. 2. yatırım rayı ilmeklerinin bağlantı noktalarında, 1. yatırım rayı ipilkleri üzerine binmemelerinden dolayı ilmeklere harcanan ipilk uzunlukları arasındaki fark daha düşük olmaktadır.



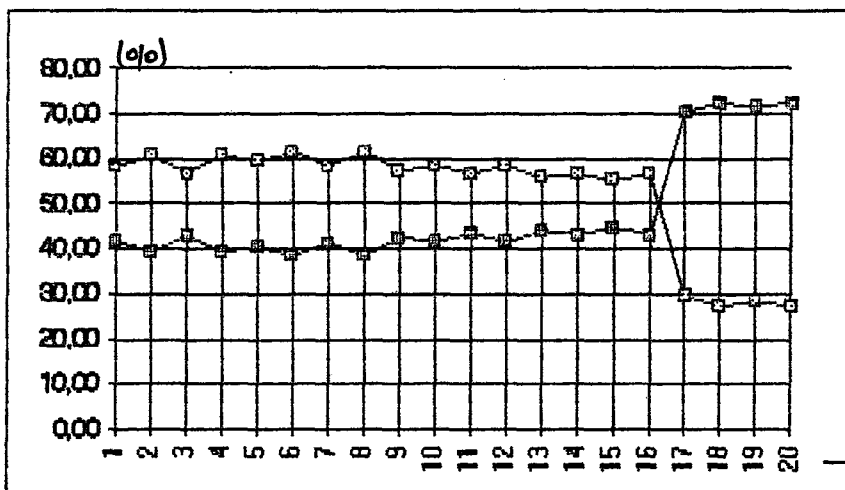
Şekil.5.11. Farklı yatırım rayında örülen aynı tıp ilmeklerin Rack değerleri oranı.

5.1.1.2.2. Ağırlık değerlerinin karşılaştırılması :



Şekil.5.12: İki yatırım raylı E32 incelikli makinalarda örülen kumaşların raylara göre ağırlık değerleri.

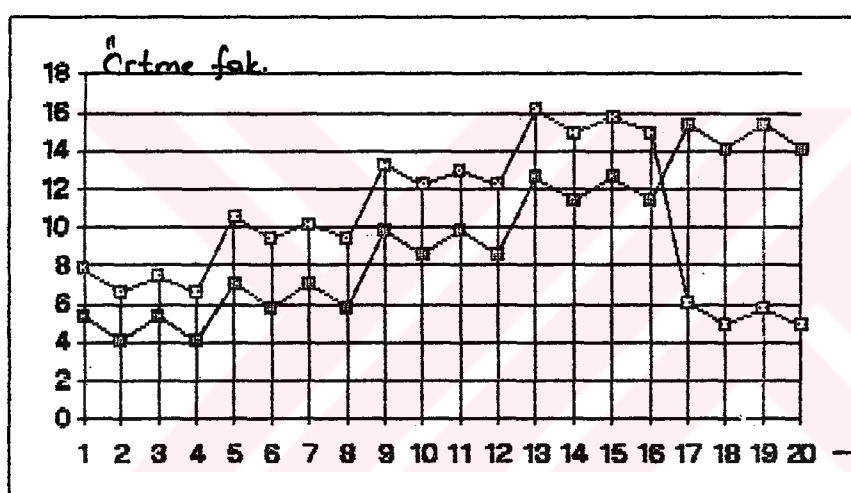
Şekil.5.12 'de kumaş ağırlığının raylara göre dağılımı verilmiştir. Aynı ipilk numaraları için genellikle 1.yatırım rayı, kumaş ağırlığının % 38 - 45 'ini oluştururken 2. yatırım rayı %58-65' ini oluşturmaktadır. 2. yatırım rayında daha kısa alt yatırımlı bir ilmek oluşturulması halinde (Şekil.5.5 'de 17-20 arasındaki değerler) verilen % değerleri ters dönerek 1. yatırım rayında kumaş ağırlığının daha fazlası oluşturulabilmektedir. Bu verilen değerler makina inceliği değişse bile hemen hemen sabit kalmaktadır.



Giz. 5.2. Süt.no: 1

Şekil : 5.13. İki yatırım raylı E 32 incelikli makinalarda kumaş ağırlığının yatırım raylarına göre dağılımının % cinsinden dağılımı.

5.1.1.2.3. Örtme faktörü değerlerinin karşılaştırılması :



Giz. 5.2. Süt.no: 1

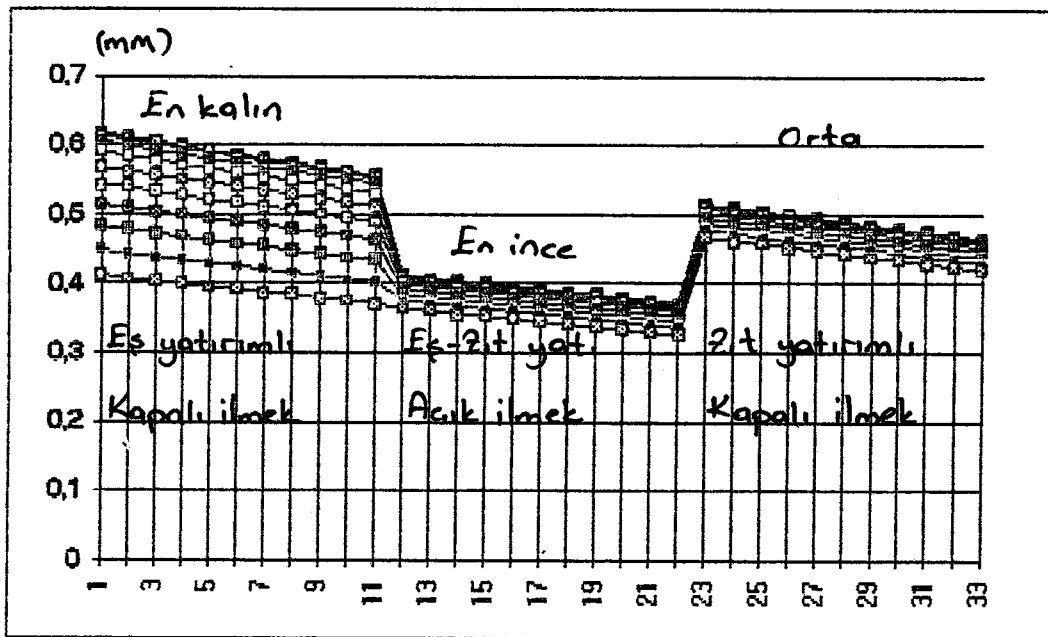
Şekil : 5.14. İki yatırım raylı E 32 incelikli makinalarda kumaş örtme faktörü değerleri.

Kumaş örtme faktörü değerleri ilmek için harcanan iplik boyuna ve bir ilmek alanına bağlı olduğundan , ilmek için harcanan iplik uzunluğu fazla olan ilmeklerde yüksek örtme faktörü değerleri vermektedir.Bu duruma göre örtme faktörü değeri en yüksek ilmek "Samt" ilmeği , en düşük olan ilmek ise "Franse" ilmeğidir.

Açık ilmeklerin örtme faktörü değerleri kapalı ilmeklerden daha küçüktür.ilmeğe uygulanan yatırım törünün , ilmeğin örtme faktörüne etkisi yoktur.ilmeğin elde edildiği yatırım rayı örtme faktörü değerinin değişmesine neden olmaktadır.İkinci yatırım rayında görülen ilmeklerin örtme faktörü , birinci yatırım rayında görülen ilmeklerin örtme faktöründen yaklaşık iki birim fazladır.

5.1.1.2.4. Kumaş kalınlığı :

Şekil.5.15'de 1-11 numaralı değerler eş yatırımlı kapalı ilmekle görülen , 12-22 arasındaki değerler eş veya zıt yatırımlı açık ilmekli kumaşların , 23 - 33 numaralı değerler ise zıt yatırımlı kapalı ilmekli kumaş kalınlığı değerlerini göstermektedir.Bu değerler Bağ.(3.18 - 3.19 - 3.20) 'de belirtilen değerler kullanılarak elde edilmiştir.



Şekil.5.15. İki yatırım raylı makinalarda örülən eş yatırımlı kapalı, zıt yatırımlı kapalı ve eş-zıt yatırımlı açık ilmekli kumaş kalınlığı.

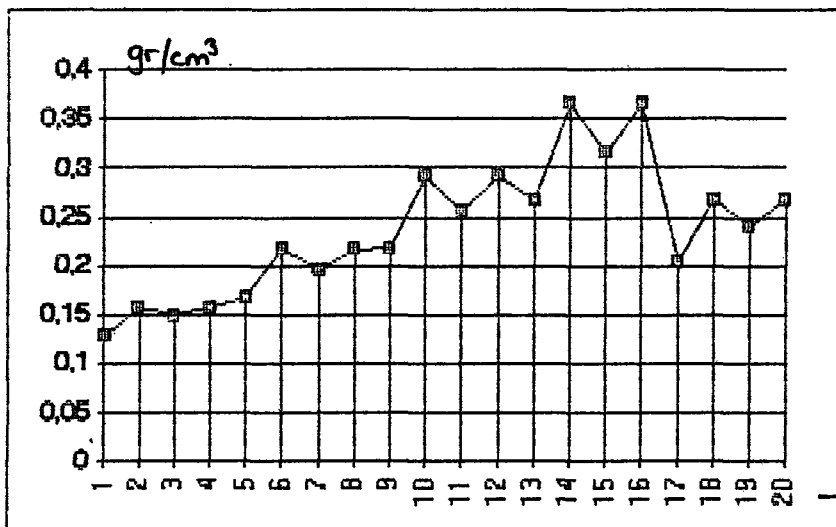
Şekil.4.1 , 4.5 , 4.6 ' da gösterilen ilmek bağlantı noktalarında İpliklerin yerleşiminden dolayı kumaş tiplerine göre kumaş kalınlıkları ve kalınlığa bağlı olarak farklı kumaş yoğunlukları elde edilmiştir.

Şekilden de görülebileceği gibi eş veya zıt yatırımlı açık ilmekli kumaşların kalınlıkları en düşük değerleri vermektedir.Zıt yatırımlı kapalı ilmeklerle örülən kumaşlarda lse bağlantı noktalarındaki ilmek ayaklarının bir taneş fərqli yönə pozisyon alındıqdan açık ilmekdəre görə daha büyük fəkət eş yatırımlı kapalı ilmekləre görə daha büyük deyər vermektedirler.Eş yatırımlı kapalı ilmeklerde ilmek ayaklarının yönəri aynı olduğundan kumaş içərisində iplikler birbirlerini üzərinə bindiklərindən en kalın kumaşlar bu tip ilmeklerle örülən kumaşlardır.

Şekilde gösterilen grafikteki eğriler , İplik kesitindeki değişimlerin normal İplik çapının %10 ' una kadar azalması ve bağlantı noktalarındaki İpliklerin birbirlerine görə alındıqları çeşitli pozisyonlara görə kumaş kalınlığındaki deyışliklər göstərilmişdir.

5.1.1.2.5. Yoğunluk değerlerinin karşılaştırılması :

Şekil.5.16'da grafikte görüldüğü gibi en düşük özgül ağırlık deyərini franse ilmekleri vermektedir.Küçükten büyüğe sırasıyla triko , tuch , satın ve samit ilmeklerinin özgül ağırlık deyərleri gelmekteidir.Özgül ağırlık deyəri , kumaş kalınlığı ve kumaş ağırlığına bağlı bir deyər olduğundan açık ilmeklerin özgül ağırlık deyərleri , kapalı ilmeklerden daha yüksəktidir. Bu durum açık ilmekli kumaşların , kapalı ilmekli kumaşlardan daha ince olmasındandır.



Şekil : 5.16. İki yatırım raylı E 32 İncelikli makinalarda örtülen kumaşların yoğunluk değerleri.

5.1.1.3. E 40 İncelikli makinalarda örtülen kumaşların karşılaştırılması.

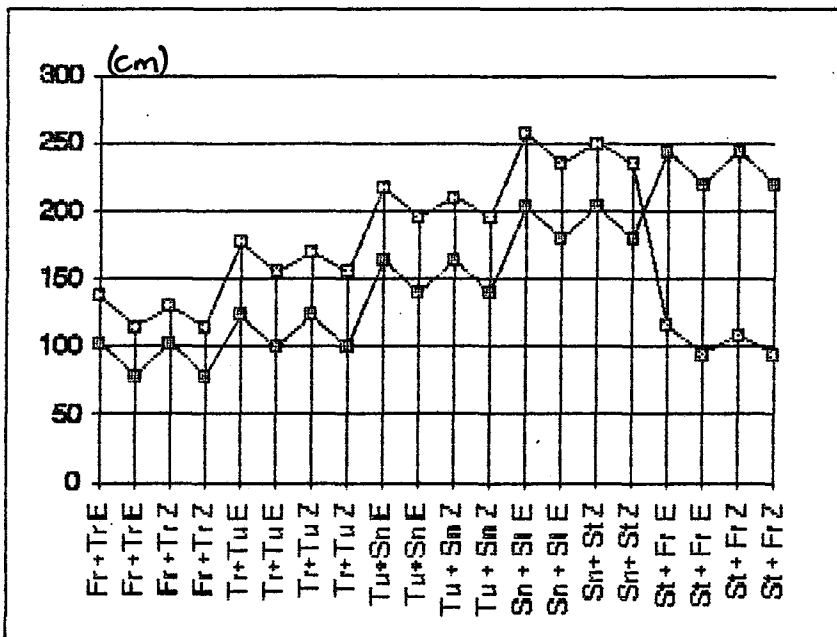
Çizelge 5.3. İki yatırım raylı E 40 İncelikli makinalarda örtülmüş kumaşların Rack, ağırlık ve örtme faktörü değerleri.

		Rack (1.Ray)	Ağırlık	Ört. Fak.	Rack (2.Ray)	Ağırlık	Ört. Fak.
1	Fr+Tr E	K 102,9289	40,8751	7,419	136,57	53,97	9,9427
2	Fr+Tr E	A 79,16888	31,2824	5,705	114,79	45,36	9,2721
3	Fr+Tr Z	K 102,9289	40,8751	7,419	129,35	51,12	9,3222
4	Fr+Tr Z	A 79,16888	31,2824	5,705	114,79	45,36	9,2721
5	Tr+Tu E	K 123,0442	49,6252	9,989	176,85	69,89	12,745
6	Tr+Tu E	A 99,27633	39,2325	7,155	165,06	61,29	11,175
7	Tr+Tu Z	K 123,0442	49,6252	9,989	169,63	67,03	12,225
8	Tr+Tu Z	A 99,27633	39,2325	7,155	155,06	61,29	11,175
9	Tu+Sn E	K 163,3219	64,5424	11,77	217,19	85,83	15,852
10	Tu+Sn E	A 139,5539	55,1496	10,06	195,39	77,22	14,062
11	Tu + Sn Z	K 163,3219	64,5424	11,77	209,98	82,97	15,132
12	Tu + Sn Z	A 139,5539	55,1496	10,06	195,39	77,22	14,062
13	Sn + St E	K 203,8579	80,4825	14,89	257,53	101,8	19,56
14	Sn + St E	A 179,8889	71,0898	12,98	235,74	83,18	16,88
15	Sn+ St Z	K 203,8579	80,4825	14,89	250,31	99,92	18,04
16	Sn+ St Z	A 179,8889	71,0898	12,98	235,74	93,18	16,88
17	St + Fr E	K 244,0039	98,4267	17,59	116,45	48,02	9,3929
18	St + Fr E	A 220,236	87,034	15,87	94,06	37,41	8,8222
19	St + Fr Z	K 244,0039	98,4267	17,59	109,23	43,17	7,9724
20	St + Fr Z	A 220,236	87,034	15,87	94,06	37,41	8,8222

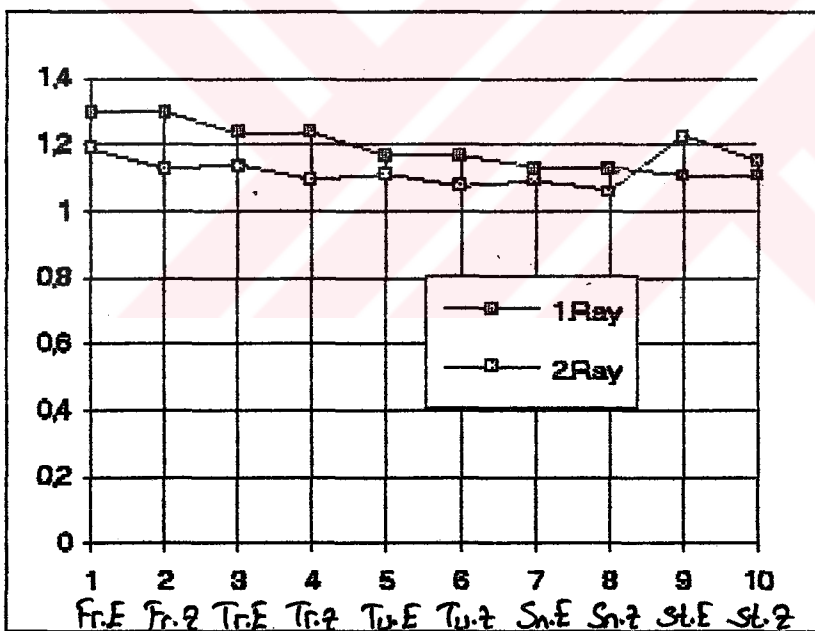
5.1.1.3.1. Rack değerlerinin karşılaştırılması :

Şekil 5.17'de İki yatırım raylı E32 İncelikli makinalarda elde edilen değişik örgülerin rack değerleri gösterilmiştir.Her İki yatırım rayı için ilmeklerin rack değerleri Franse ilmeğinden başlayarak , gittikçe artan değerler vermektedir.Rack değerleri küçükten büyüğe doğru sıralandığında Franse , Triko , Tuch , Satin ve Samt tır.Bu sıralama her İki yatırım rayında da geçerlidir.İkinci yatırım rayında elde edilen ilmeklerin rack değerleri birinci yatırım rayında elde edilen rack değerlerinden daha büyük değerlere sahiptir.Şekildeki çift numaralı değerler açık ilmek değerleridir.Açık

İlmekler her iki yatırım rayında da , kapalı ilmeklerden daha küçük rack değerlerine sahiptir.



Şekil 5.17. İki yatırım raylı makinalarda örtülü kumaşların Rack değerleri.



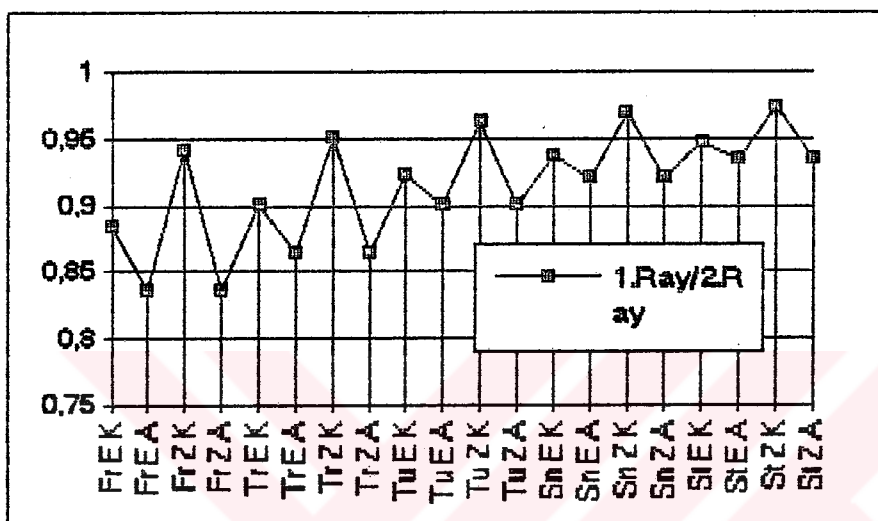
Şekil 5.18. Aynı yatırım rayında örtülen aynı tip ilmeklerin kapalı / açık oranları.

Şekil .5.18'de aynı yatırım rayında örtülen , aynı ilmeklerin kapalı ilmek tipi ile açık ilmek tipi oranları görülmektedir. İlk yatırım rayında , kapalı ilmekler , açık ilmeklerin 1,1 - 1,3 katı uzunluğundadır.Kapalı ilmek / açık ilmek oranının en yüksek olduğu ilmek türü franse ilmeğidir.Bu oran samt ilmeğine doğru düşüş göstermektedir.En küçük oranı ise samt ilmeğine vermektedir.İkinci yatırım rayında kapalı ilmek/ açık ilmek oranları , ilk yatırım rayına göre daha düşük değerler vermektedirler.

Samt ilmeği , dört iğne mesafesi yatırım hareketine sahiptir. İlmeğin kapalı veya açık olması bu iğne mesafesine etki etmemektedir.Dolayısıyla iki ilmek tipi

arasındaki uzunluk farkı , ilmeğin geometrisinden dolayı sadece ilmek bağlantı noktalarında oluşan farklılıklardan kaynaklanmaktadır. İki ilmek tipi arasındaki uzunluk farkı , ilmek boyunu oluşturan ilmek başı , ilmek bacakları ve komşu İğnelere yapılan yatırım hareketlerine göre çok küçük bir değerdir.

Oluşturulan ilmek tipine göre komşu İğnelere yapılan yatırım hareketi büyükçe kapalı ilmek / açık ilmek oranı düşmekte ve en küçük değerini samt ilmeğinde , en büyük değerini ise franse ilmeğinde almaktadır. İlkinci yatırım rayında , birinci yatırım rayına göre daha düşük ilmek boyu oranlarının elde edilmesinin nedeni : kapalı ve açık ilmek tipinde farklılığı sağlayan bağlantı noktalarının , ilmek uzunluklarına göre çok küçük değer olmasındandır.



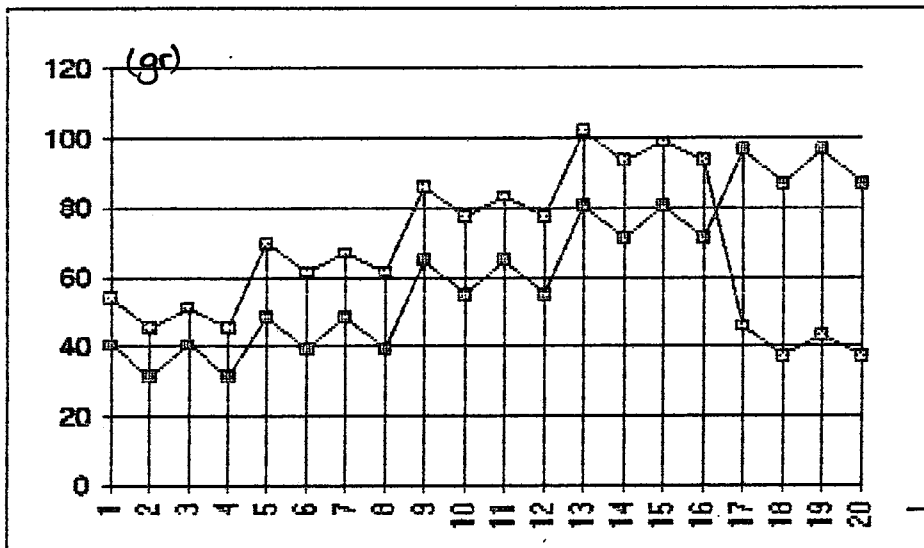
Şekil.5.19. Farklı yatırım rayında örtülen aynı tip ilmeklerin Rack değerleri oranı.

Şekil.5.19'da farklı yatırım rayında örtülen aynı tip ilmeklerin birbirlerine oranları görülmektedir. Şekilde en küçük rack oranlarını açık ilmekler vermektedir. Kapalı ilmekler ise açık ilmeklerden daha yüksek oranlara sahiptirler. En düşük oran %84 ile eş ve zit açık franse ilmeği oranıdır. En yüksek oran %97 ile zit yatırımlı kapalı franse ilmeğidir.

ilk yatırım rayında örtülen ilmekler uzunluk açısından arka yatırım rayında örtülen ilmeklerden % 3 -16 daha küçük rack değerlerine sahiptirler. Her iki yatırım rayında örtülen zit yatırım ilmeklerinin daha yüksek oranlara sahip olmalarının nedeni ilmeklerin geometrisinden kaynaklanmaktadır. 2. yatırım rayı ilmeklerinin bağlantı noktalarında , 1. yatırım rayı ilmek ipikleri üzerine binmemelerinden dolayı ilmeklere harcanan iplik uzunlukları arasındaki fark daha düşük olmaktadır.

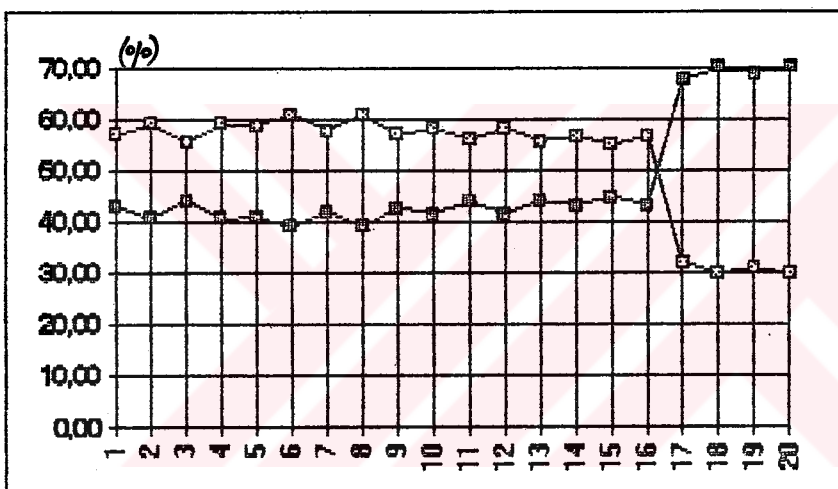
5.1.1.3.2. Ağırlık değerlerinin karşılaştırılması :

Şekil.5.20 'de kumaş ağırlığının raylara göre dağılımı verilmiştir. Aynı iplik numaraları için genellikle 1.yatırım rayı, kumaş ağırlığının % 38 - 45 'ini oluştururken 2. yatırım rayı %58-65' ini oluşturmaktadır. 2. yatırım rayında daha kısa alt yatırımlı bir ilmek oluşturulması halinde (Şekil.5.5 'de 17-20 arasındaki değerler) verilen % değerleri ters dönerken 1. yatırım rayında kumaş ağırlığının daha fazlası oluşturulabilmektedir. Bu verilen değerler makina inceliği değişse bile hemen hemen sabit kalmaktadır.



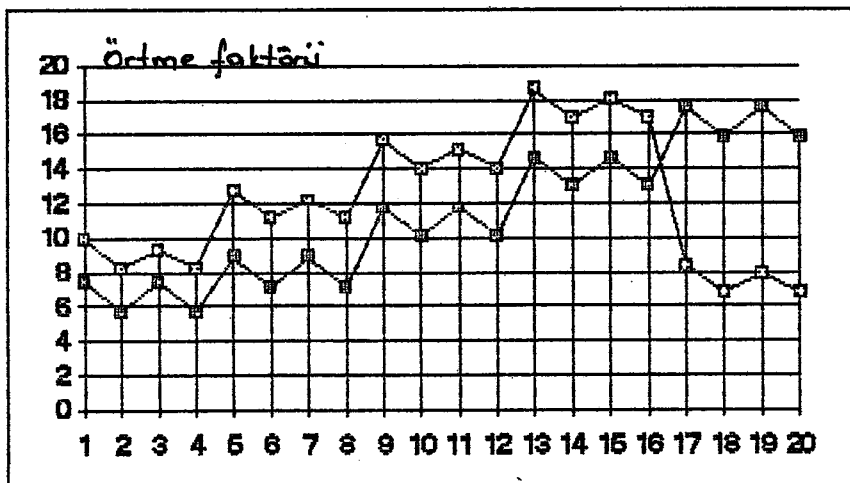
Giz. 5.3. Süt. no:1

Şekil.5.20: İki yatırım raylı E40 incelikli makinalarda örülen kumaşların raylara göre ağırlık değerleri.



Şekil : 5.21. İki yatırım raylı E 40 incelikli makinalarda kumaş ağırlığının yatırım raylarına göre dağılımının % cinsinden dağılımı.

5.1.1.3.3. Örtme faktörü değerlerinin karşılaştırılması :

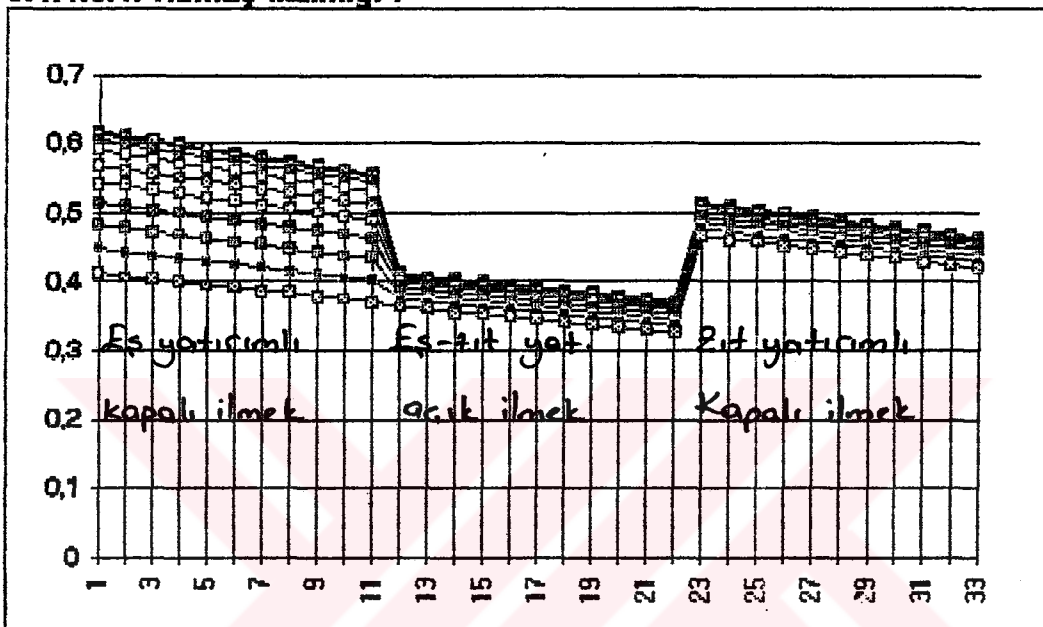


Şekil : 5.22. İki yatırım raylı E 40 incelikli makinalarda kumaş örtme faktörü değerleri.

Kumaş örtme faktörü değerleri ilmek için harcanan iplik boyuna ve bir ilmek alanına bağlı olduğundan , ilmek için harcanan iplik uzunluğu fazla olan ilmeklerde yüksek örtme faktörü değerleri vermektedir.Bu duruma göre örtme faktörü değerleri en yüksek ilmek "Samt" ilmeğli , en düşük olan ilmek ise "Franse" ilmeğidir.

Açık ilmeklerin örtme faktörü değerleri kapalı ilmeklerden daha küçüktür.ilmeğe uygulanan yatırım türünün , ilmeğin örtme faktöründe etkisi yoktur.ilmeğin elde edildiği yatırım rayı örtme faktörü değerinin değişmesine neden olmaktadır.İkinci yatırım rayında örtülen ilmeklerin örtme faktörü , birinci yatırım rayında örtülen ilmeklerin örtme faktöründen yaklaşık iki birim fazladır.

5.1.1.3.4. Kumaş kalınlığı :



Şekil.5.23. İki yatırım raylı makinalarda örtülen eş yatırımlı kapalı, zıt yatırımlı kapalı ve eş-zıt yatırımlı açık ilmekli kumaş kalınlığı.

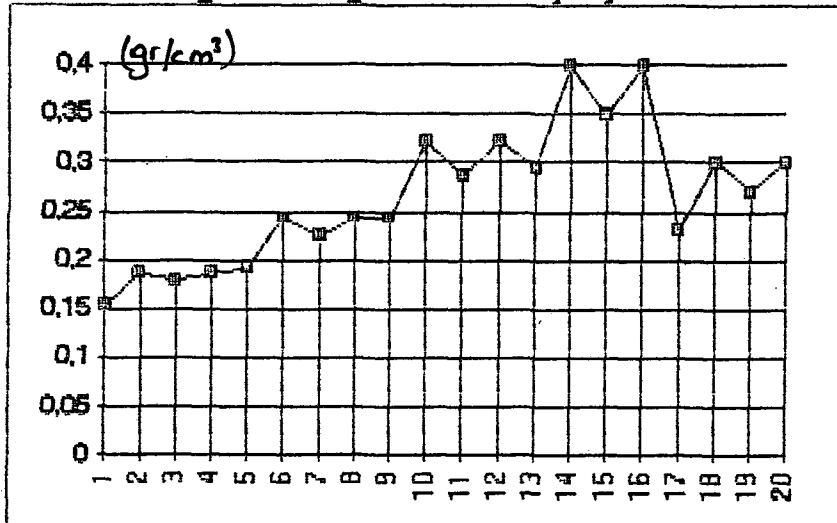
Şekil.5.23'de 1-11 numaralı değerler eş yatırımlı kapalı ilmekde örtülen , 12-22 arasındaki değerler eş veya zıt yatırımlı açık ilmekli kumaşların , 23 - 33 numaralı değerler ise zıt yatırımlı kapalı ilmekli kumaş kalınlığı değerlerini göstermektedir.Bu değerler Bağ.(3.18 - 3.19 - 3.20) 'de belirtilen değerler kullanılarak elde edilmiştir.

Şekil.4.1 , 4.5 , 4.6 ' da gösterilen ilmek bağlantı noktalarında ipliklerin yerleşiminden dolayı kumaş tiplerine göre kumaş kalınlıkları ve kalınlığa bağlı olarak farklı kumaş yoğunlukları elde edilmiştir.

Şekilden de görülebileceği gibi eş veya zıt yatırımlı açık ilmekli kumaşların kalınlıkları en düşük değerleri vermektedir.Zıt yatırımlı kapalı ilmeklerde örtülen kumaşlarda ise bağlantı noktalarındaki ilmek ayaklarının bir tanesi farklı yönde pozisyon aldığından açık ilmeklere göre daha büyük fakat eş yatırımlı kapalı ilmeklere göre daha büyük değer vermektedirler.Eş yatırımlı kapalı ilmeklerde ilmek ayaklarının yönleri aynı olduğundan kumaş içerisinde iplikler birbirleri üzerine bindiklerinden en kalın kumaşlar bu tip ilmeklerde örtülen kumaşlardır.

Şekilde gösterilen grafikteki eğriler, İplik kesitindeki değişimlerin normal İplik çapının %10'una kadar azalması ve bağlantı noktalarındaki İpliklerin birbirlerine göre aldığı çeşitli pozisyonlara göre kumaş kalınlığındaki değişiklikler gösterilmiştir.

5.1.1.3.5. Yoğunluk değerlerinin karşılaştırılması :



Şekil : 5.24. İki yatırım raylı E 40 İncelikli makinalarda örülen kumaşların özgül ağırlıkları..

Şekil.5.24'de grafikte görüldüğü gibi en düşük özgül ağırlık değerini franse ilmekleri vermektedir.Küçükten büyüğe sırasıyla triko , tuch , satin ve samit ilmeklerinin özgül ağırlık değerleri gelmektedir. Özgül ağırlık değeri , kumaş kalınlığı ve kumaş ağırlığına bağlı bir değer olduğundan açık ilmeklerin özgül ağırlık değerleri , kapalı ilmeklerden daha yüksektir. Bu durum açık ilmekli kumaşların , kapalı ilmekli kumaşlardan daha ince olmasındanandır.

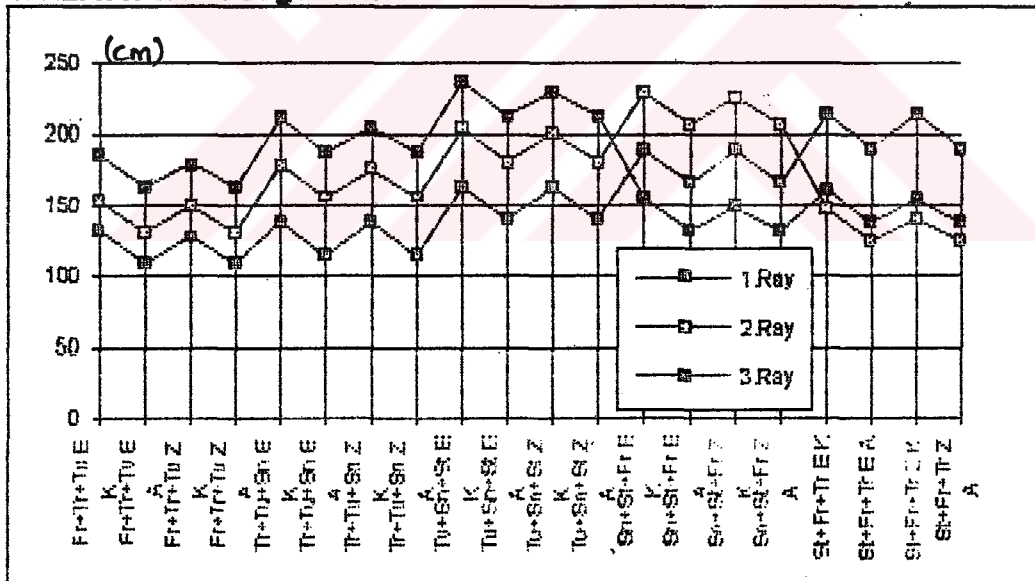
5.1.2. Üç yatırım raylı makinalarda örülülmüş kumaşların karşılaştırılması.

5.1.2.1. E 28 İncelikli makinalarda örülen kumaşların karşılaştırılması.

Çizelge.5.4. Üç yatırım raylı E 28 İncelikli makinalarda örülülmüş kumaşların Rack, ağırlık ve örtme faktörü değerleri.

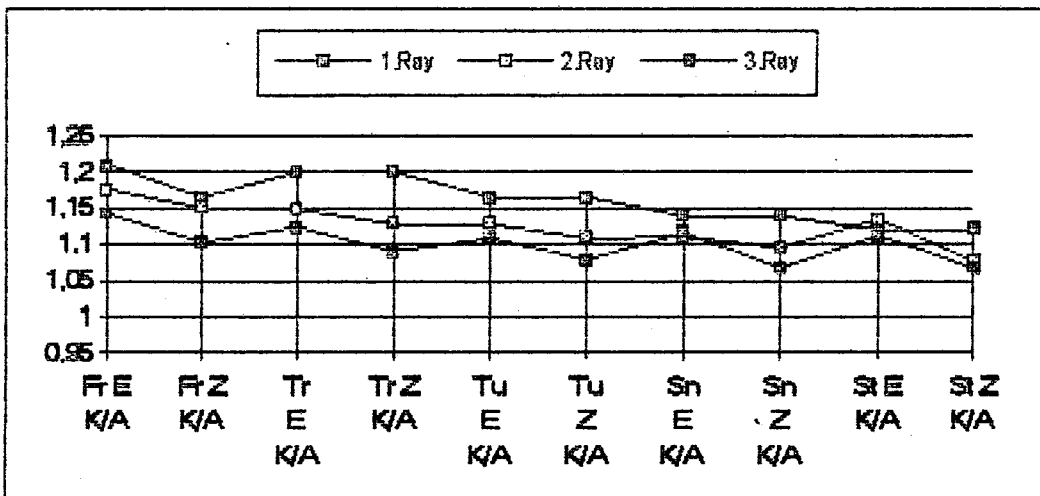
		Rack	Gr/m ²	Ört. Fak.	Rack	Gr/m ²	Ört. Fak.	Rack	Gr/m ²	Ört. Fak.
1	Fr+Tr+Tu E K	132,809	35,8322	8,81607	153,508	41,24788	7,658764	165,9541	49,98601	9,277515
2	Fr+Tr+Tu E A	109,473	28,4158	5,48178	130,372	35,03127	8,504465	162,7343	43,72684	8,118049
3	Fr+Tr+Tu Z K	127,572	34,3058	6,36974	150,043	40,31653	7,465863	179,7007	48,28572	8,885525
4	Fr+Tr+Tu Z A	109,473	28,4158	5,48178	130,372	35,03127	8,504465	162,7343	43,72684	8,118049
5	Tı+Tu+Sn E K	138,005	37,0822	6,88530	176,760	48,03308	8,916619	211,3763	58,79751	10,54597
6	Tı+Tu+Sn E A	114,889	30,8858	5,73102	155,624	41,81848	7,784339	168,1585	50,55835	8,387498
7	Tı+Tu+Sn Z K	138,005	37,0822	6,88530	175,504	47,15807	6,758148	205,1817	55,1271	10,23581
8	Tı+Tu+Sn Z A	114,889	30,8858	5,73102	155,624	41,81848	7,784339	168,1585	50,55835	8,387498
9	Tı+Sn+St E K	163,257	43,8874	8,14515	204,184	54,8845	10,18707	236,624	63,63479	11,81549
10	Tı+Sn+St E A	140,121	37,8508	6,89087	181,048	46,84798	8,032769	213,6042	57,38582	10,65702
11	Tı+Sn+St Z K	163,257	43,8874	8,14515	200,985	53,89945	10,02643	230,6228	61,98849	11,50809
12	Tı+Sn+St Z A	140,121	37,8508	6,89087	181,048	46,84798	8,032769	213,6042	57,38582	10,65702
13	Sn+Si+Fr E K	188,681	50,8989	9,41380	228,630	61,70136	11,45859	155,3058	41,7308	7,748431
14	Sn+Si+Fr E A	185,548	44,4623	8,26032	208,494	55,48526	10,30231	132,0681	35,49163	8,588964
15	Sn+Si+Fr Z K	188,681	50,8989	9,41380	228,426	60,84054	11,28672	148,5277	38,80851	7,410258
16	Sn+Si+Fr Z A	185,548	44,4623	8,26032	208,494	55,48526	10,30231	132,0681	35,49163	8,588964
17	Si+Fr+Tr E K	214,127	57,5362	10,8831	148,112	39,78769	7,389534	160,7022	43,1608	8,017661
18	Si+Fr+Tr E A	180,891	51,3198	9,52884	124,978	33,58127	6,235264	137,4824	38,94163	8,859194
19	Si+Fr+Tr Z K	214,127	57,5362	10,8831	140,085	37,84085	6,888042	154,2397	41,44433	7,89524
20	Si+Fr+Tr Z A	180,891	51,3198	9,52884	124,978	33,58127	6,235264	137,4824	38,94163	8,859194

5.1.2.1.1. Rack değerleri.



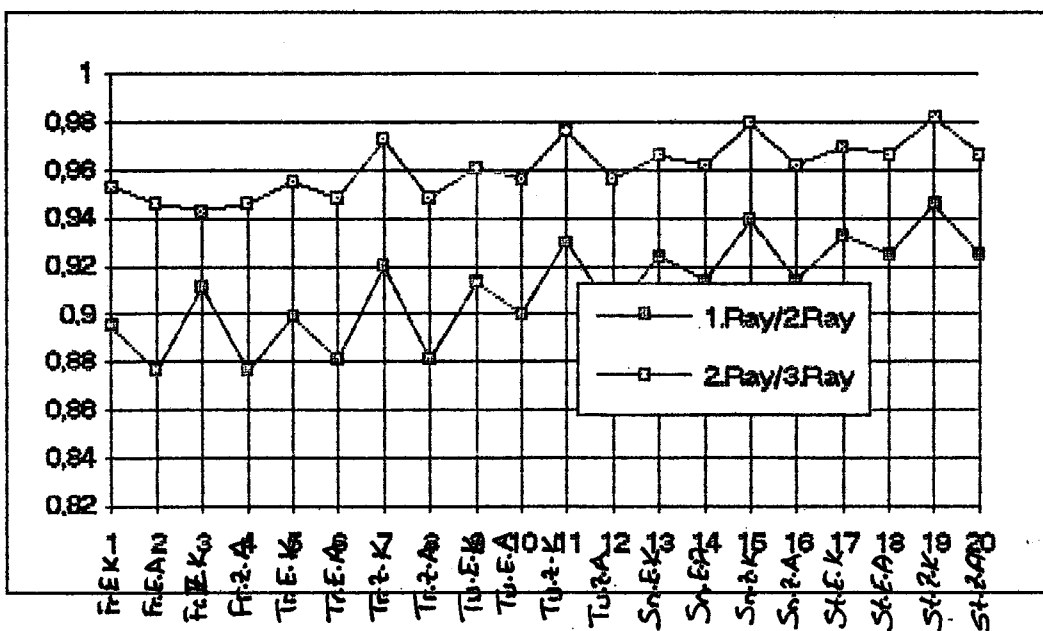
Şekil .5.25. Üç yatırım raylı E28 incelikli makinalarda örülen çeşitli kumaşların Rack değerleri.

Şekil.5.25'de verilen değerlere göre, en düşük rack değerleri Franse ilmeklerine aittir.Her üç raydaki franse ilmeğine ait rack değerleri karşılaştırıldığında , küçükten büyüğe doğru rack değerleri 1.yatırım rayı< 2. yatırım rayı<3.yatırım rayı olarak elde edilmiştir.Franse ilmeği için elde edilen bu sıralama diğer ilmekler içinde geçerlidir.Her üç yatırım rayında da kapalı ilmeklerin rack değerleri , açık ilmeklerin rack değerlerinden fazladır.



Şekil .5.26. Aynı yatırım rayında örülən aynı təp ilmeklərin kapalı / açık oranları.

Şəkilde , aynı yatırım rayında örülmüş , aynı təp ilmeklərin rack değerlerinin birbirlerine oranları göstərilmişdir. Şəkilde kapalı ilmek uzunluğunun açık ilmek uzunluğuna oranı en yüksək olan ilmek franse ilmeğidir. Franse ilmeğinin oluşturulması esnasında komşu lgneler üzərində yatırım hərəketi yapılmadığından ilmeklərin rack değerleri digər ilmeklərə görə daha kiçik olmaktadır. Dolayısıyla kapalı ve açık ilmek uzunlukları oranı digər ilmeklərə görə daha yüksək değerleri verməktedir. Triko , tuch , satın , samt ilmeklərində komşu lgneler üzərində yapılan yatırım hərəketlərin uzunlukları 1 - 4 lgne mesafesi arasında dəyiştiğindən , kapalı ve açık ilmeklərin arasındaki uzunluk farkları franse ilmeklərinə görə daha düşük çıkmaktadır. Şəkilde zit yatırımlı ilmeklərin oranları , eş yatırımlı ilmeklərə görə daha düşük değerler vermektedir. Bu sonuc zit yatırım ilmeklərinin geometrik özelliklərindən kaynaklanmaktadır. Zit yatırım ilmeklərdə iki yatırım rayı aynı yöndə yatırım yaparken digər yatırım rayı zit yöndə yatırım yapacağından ilmeğin ayaqlarına harcanan İplik , digər iki ilmekten daha az olacaktır. Bu sebepten zit yatırımlı ilmeklərdə kapalı ilmek uzunluğu/ açık ilmek uzunluğu değeri daha düşük çıkmaktadır.



Şekil.5.27. Farklı yatırım raylarında örülən aynı təp ilmeklərin Rack değerleri oranı.

Yatırım ve İlmek tipli aynı olan İlmekler farklı yatırım raylarında örüldüğünde İlk yatırım rayındaki İlmek boyunun ikinci yatırım rayındaki İlmek boyuna oranı yaklaşık olarak %90-95 , ikinci yatırım rayının üçüncü yatırım rayına orası %95-98 arasında elde edilmiştir.

Çizelge.5.5.Farklı yatırım raylarında örülen farklı İlmek tipleri için İlmek boyu oranları :

	Fr/Tr KE	Fr/Tr AE	Fr/Tr KZ	Fr/Tr AZ	Tr/Tu KE	Tr/Tu AE	Tr/Tu KZ	Tr/Tu AZ	Tu/Sn KE	Tu/Sn AE	Tu/Sn KZ	Tu/Sn AZ	Sn/St KE	Sn/St AE	Sn/St KZ	Sn/St AZ
1.R/2. R	%88	%83	%85	%83	%78	%75	%80	%75	%80	%78	%80	%78	%83	%80	%90	%80
2.R/3. R	%82	%80	%82	%80	%82	%80	%79	%80	%83	%82	%80	%82	%84	%82	%80	%82

Çizelgeden :

Fr/Tr (1.Ray/.Ray) oranı ortalaması :%87,25 2.Ray/3.Ray ortalaması :%88,5

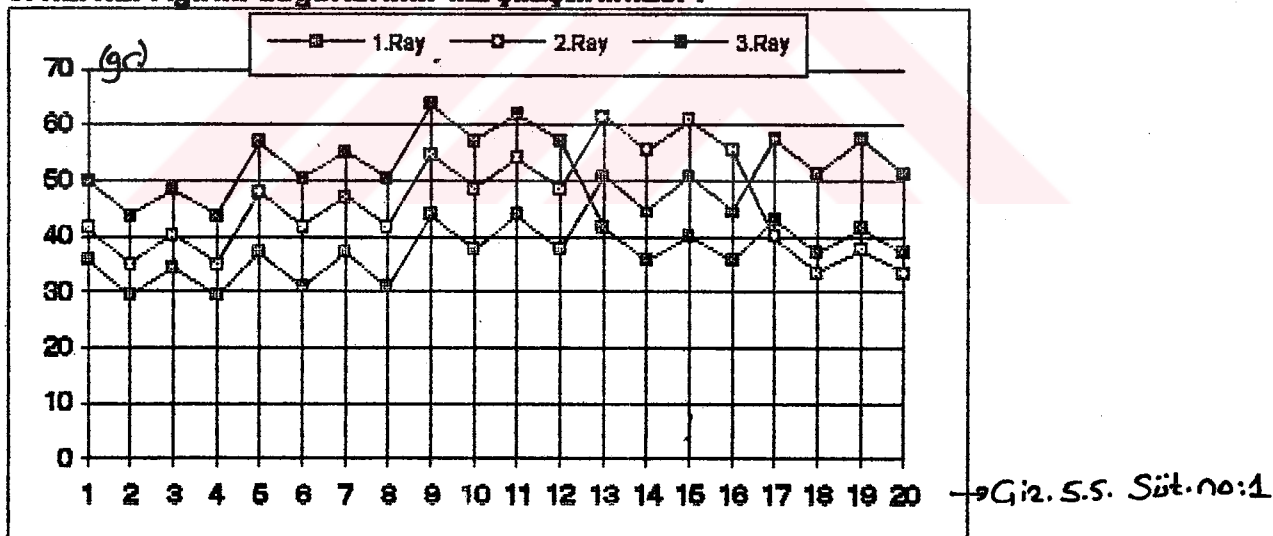
Tr/Tu (1.Ray/.Ray) oranı ortalaması :%79,5 2.Ray/3.Ray ortalaması :%80

Tu/Sn(1.Ray/.Ray) oranı ortalaması :%81,5 2.Ray/3.Ray ortalaması :%81,5

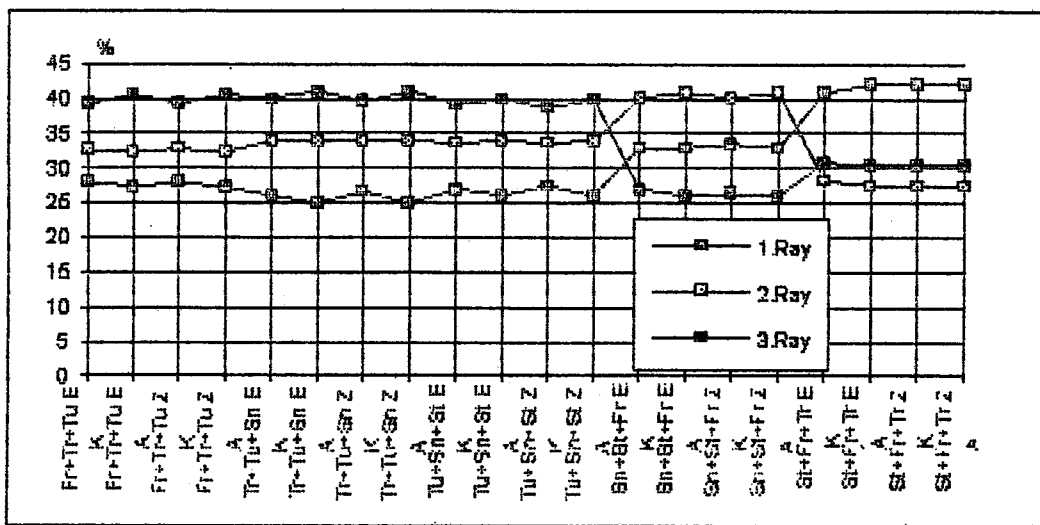
Sn/St (1.Ray/.Ray) oranı ortalaması :%83,25 2.Ray/3.Ray ortalaması :%82

değerleri elde edilmiştir.

5.1.2.1.2. Ağırlık değerlerinin karşılaştırılması :



Şekil.5.28: Üç yatırım raylı E28 incelikli makinalarda örülen kumaşların raylara göre ağırlık değerleri.



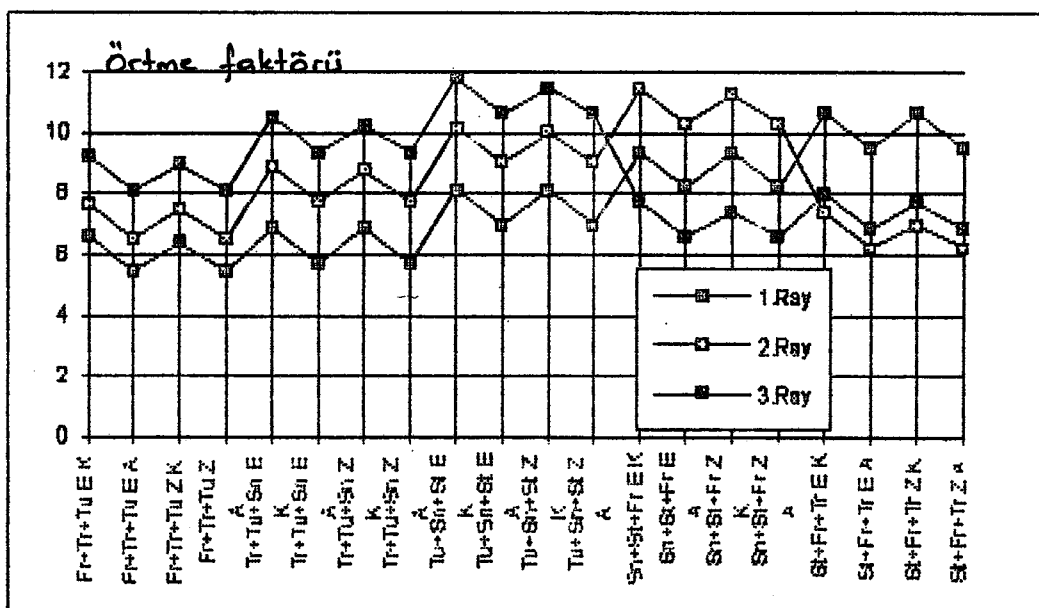
Şekil : 5.29. Üç yatırım raylı E 28 Incellikli makinalarda kumaş ağırlığının yatırım raylarına göre dağılımının % cinsinden dağılımı.

Üç yatırım raylı makinalarda örülən kumaşlarda en həffət kumaşlar Franse ilmekleri ile elde edilen kumaşlardır.İmeklerin Rack değerlerine bağlı olarak franse ilmeklerini Triko, Tuch, Satin , Samt ilmekleri takip etmektedir.Açıq ilmeklerle örülən kumaşlar , kapalı ilmeklerle örülən kumaşlardan daha həffətir.Eş yatırımla örülən kumaşlar , zit yatırımla elde edilen kumaşlardan daha ağırdır.

Birinci yatırım rayında kumaş ağırlığının yaklaşık %25-30'u , ikinci yatırım rayında %32-35' i ve üçüncü yatırım rayında %37- 42 'si elde edilmektedir.

5.1.2.1.3. Örtme faktörü değerlerinin karşılaştırılması :

Üç yatırım raylı E28 Incellikli çözgülü örtme makinalarında örülən kumaşların yatırım raylarında harcanan ipliklere göre örtme faktörü değerleri karşılaştırıldığında en düşük örtme faktörü değerleri ilk yatırım rayında elde edilmektedir.İkinci yatırım rayında elde edilen örtme faktörü değerleri, birinci yatırım rayından daha yüksəktir.En yüksek değerleri ise üçüncü yatırım rayı vermektedir.

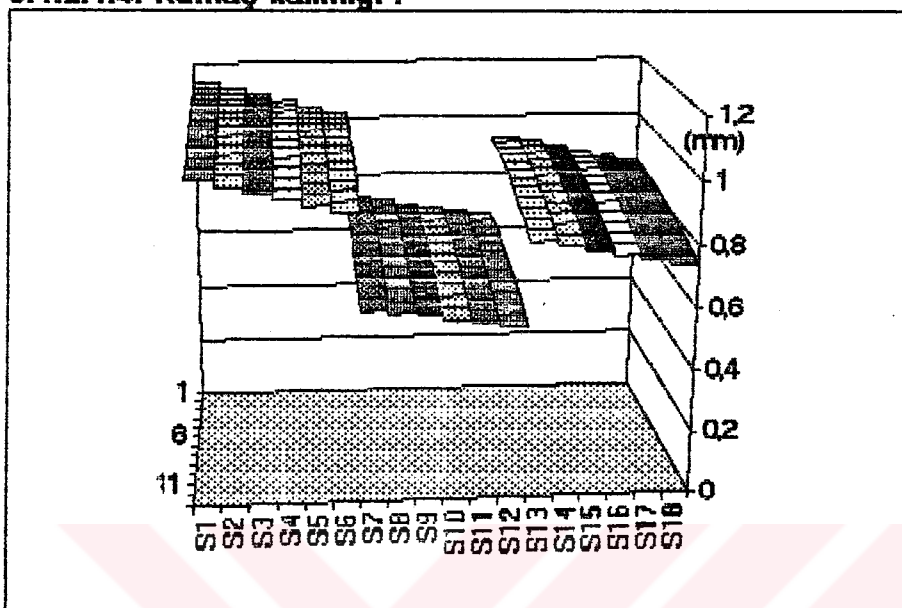


Şekil : 5.30. Üç yatırım raylı E 28 Incellikli makinalarda kumaş örtme faktörü değerleri.

İlmek tipine göre en yüksek örtme faktörü değerlerini Samt ilmeği vermektedir. Azalan sıraya göre Satin, Tuch, Triko ve Franse ilmekleri gelmektedir. Aynı tip ilmekler kullanılması durumunda Üçüncü yatırım rayında elde edilen örtme faktörü en yüksek değeri vermektedir.

Açık, kapalı ilmek durumlarında, bütün örgü türlerinde ve ilmeklerde açık ilmeklerin örtme faktörü değerleri, kapalı ilmeklerden daha düşüktür.

5.1.2.1.4. Kumaş kalınlığı :



Şekil.5.31. Üç yatırım raylı makinalarda örülən eş yatırımı kapalı, zıt yatırımı kapalı ve eş-zıt yatırımı açık ilmekli kumaş kalınlığı.

Şekil.5.32'de S1-S6 numaralı değerler eş yatırımı kapalı ilmekle örülən, S7-S13 arasındaki değerler eş veya zıt yatırımı açık ilmekli kumaşların, S14 - S18 numaralı değerler ise zıt yatırımı kapalı ilmekli kumaş kalınlığı değerlerini göstermektedir. Bu değerler Bağ.(3.18 - 3.19 - 3.20)'de belirtilen değerler kullanılarak elde edilmiştir.

Şekil.4.1 , 4.5 , 4.6 'da gösterilen ilmek bağlantı noktalarında ipliklerin yerleşiminden dolayı kumaş tiplerine göre kumaş kalınlıkları ve kalınlığa bağlı olarak farklı kumaş yoğunlukları elde edilmiştir.

Şekilden de görülebileceği gibi eş veya zıt yatırımı açık ilmekli kumaşların kalınlıkları en düşük değerleri vermektedir. Zıt yatırımı kapalı ilmeklerle örülən kumaşlarda ise bağlantı noktalarındaki ilmek ayaklarının bir tanesi farklı yönde pozisyon aldığından açık ilmeklere göre daha büyük fakat eş yatırımı kapalı ilmeklere göre daha büyük değer vermektedirler. Eş yatırımı kapalı ilmeklerde ilmek ayaklarının yönleri aynı olduğundan kumaş içerisinde iplikler birbirleri üzerine bindiklerinden en kalın kumaşlar bu tip ilmeklerle örülən kumaşlardır.

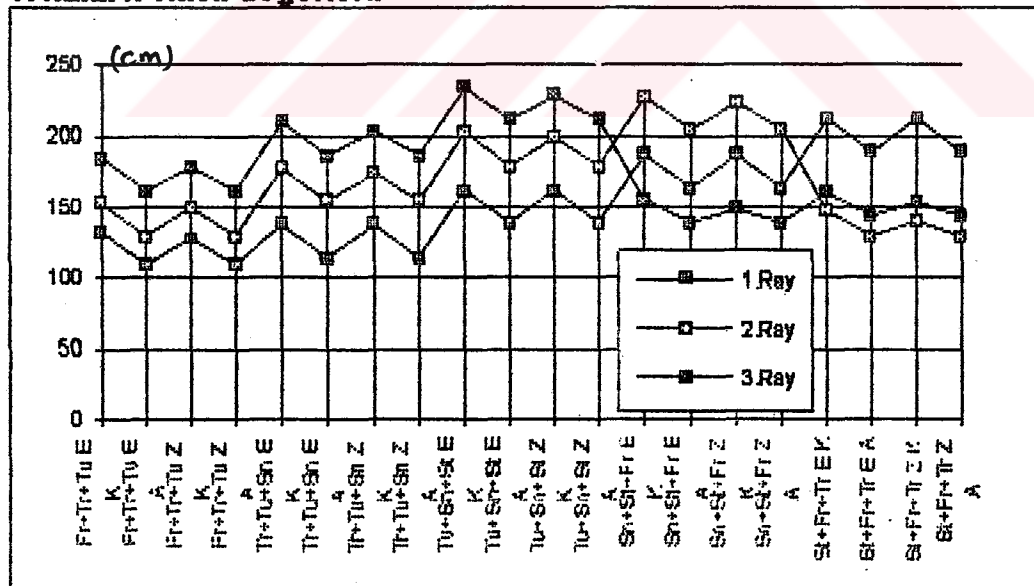
Şekilde gösterilen grafikteki eğriler, iplik kesitindeki değişimlerin normal iplik çapının %10'una kadar azalması ve bağlantı noktalarındaki ipliklerin birbirlerine göre aldığı çeşitli pozisyonlara göre kumaş kalınlığındaki değişiklikler gösterilmiştir.

5.1.2.2. E 32 İncelikli makinalarda örülen kumaşların karşılaştırılması.

Çizelge.5.6. Üç yatırım raylı E 32 incelikli makinalarda örülülmüş kumaşların Rack, ağırlık ve örtme faktörü değerleri.

	Rack	Gr/m ²	Ört.Fak.	Rack	Gr/m ²	Ört.Fak.	Rack	Gr/m ²	Ört.Fak.
Fr+Tr+Tu E K	132,8094	40,72268	7,55219	152,9799	40,97909	9,712205	184,9893	58,77057	10,52936
Fr+Tr+Tu E A	108,4735	33,81788	6,234582	129,8441	39,87338	7,394698	161,8465	49,84009	9,205977
Fr+Tr+Tu Z K	127,8721	39,2084	7,271001	149,4988	45,90907	9,514043	170,8121	54,84939	10,17208
Fr+Tr+Tu Z A	109,4735	33,81788	6,234582	129,8441	39,87338	7,394698	161,8465	49,84009	9,205977
Tr+Tu+Sn E K	137,477	42,21734	7,829394	177,8747	54,56153	10,11868	209,7469	64,41045	11,94621
Tr+Tu+Sn E A	114,3411	35,11284	6,511795	154,5389	47,45682	8,80108	166,5271	57,27997	10,62283
Tr+Tu+Sn Z K	137,477	42,21734	7,829394	174,4155	53,58088	9,933083	203,5208	62,50097	11,59108
Tr+Tu+Sn Z A	114,3411	35,11284	6,511795	154,5389	47,45682	8,80108	166,5271	57,27997	10,62283
Tu+Sn+Sl E K	162,1718	49,80078	9,235779	202,5633	62,20141	11,53553	234,8479	72,0572	13,36333
Tu+Sn+Sl E A	139,036	42,69608	7,918179	179,4175	55,0987	10,21793	211,428	64,92672	12,04095
Tu+Sn+Sl Z K	162,1718	49,80078	9,235779	199,3322	61,21224	11,35208	229,4455	70,15258	13,01011
Tu+Sn+Sl Z A	139,036	42,69608	7,918179	179,4175	55,0987	10,21793	211,428	64,92672	12,04095
Sn+Sl+Fr E K	167,0504	57,44088	10,85263	227,4542	89,84915	12,96385	155,3058	47,89234	8,844758
Sn+Sl+Fr E A	163,9145	50,33598	9,335029	204,3184	62,74345	11,63605	139,097	42,71481	7,921653
Sn+Sl+Fr Z K	167,0504	57,44088	10,85263	224,2468	88,98382	12,7711	140,5277	45,81098	8,458738
Sn+Sl+Fr Z A	163,9145	50,33598	9,335029	204,3184	62,74345	11,63605	139,097	42,71481	7,921653
Sl+Fr+Tr E K	211,9513	85,09741	12,07075	147,4211	45,27104	9,395718	180,1735	49,19712	9,121972
Sl+Fr+Tr E A	168,8155	57,98271	10,75315	129,9137	39,89478	7,398861	143,9848	44,20958	8,188867
Sl+Fr+Tr Z K	211,9513	85,09741	12,07075	140,095	43,01923	7,977923	153,8854	47,19791	9,753044
Sl+Fr+Tr Z A	168,8155	57,98271	10,75315	129,9137	39,89478	7,398861	143,9848	44,20958	8,188867

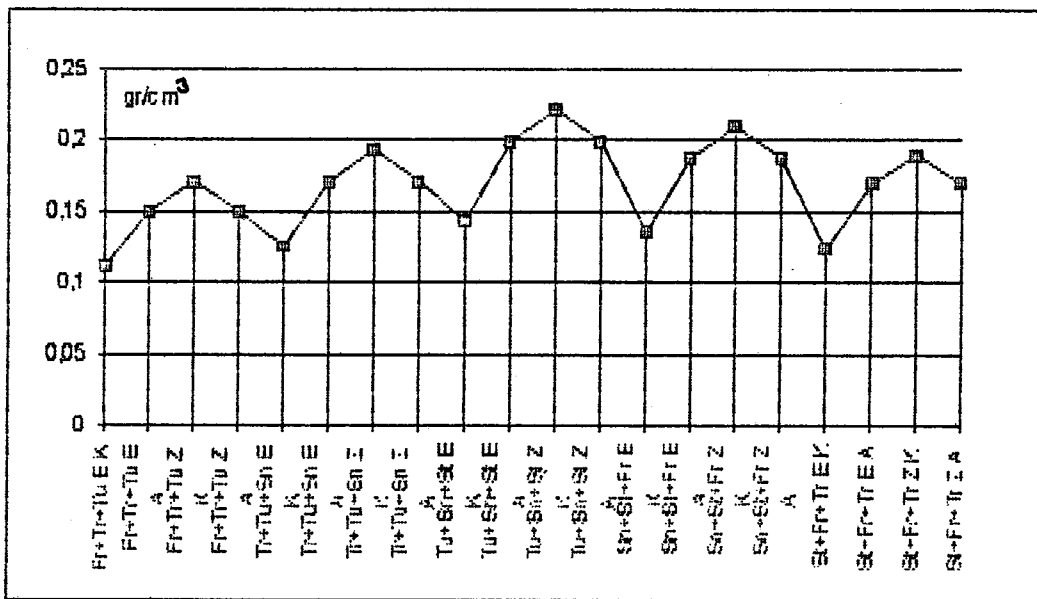
5.1.2.2.1. Rack değerleri.



Şekil .5.33. Üç yatırım raylı E32 incelikli makinalarda Örülen çeşitli kumaşların Rack değerleri.

Şekil.5.33'de verilen değerlere göre, en düşük rack değerleri Franse ilmeklerine aittir.Her üç raydaki franse ilmeğine ait rack değerleri karşılaştırıldığında , küçükten büyüğe doğru rack değerleri 1.yatırım rayı< 2. yatırım rayı<3.yatırım rayı olarak elde

5.1.2.1.5. Yoğunluk değerlerinin karşılaştırılması :

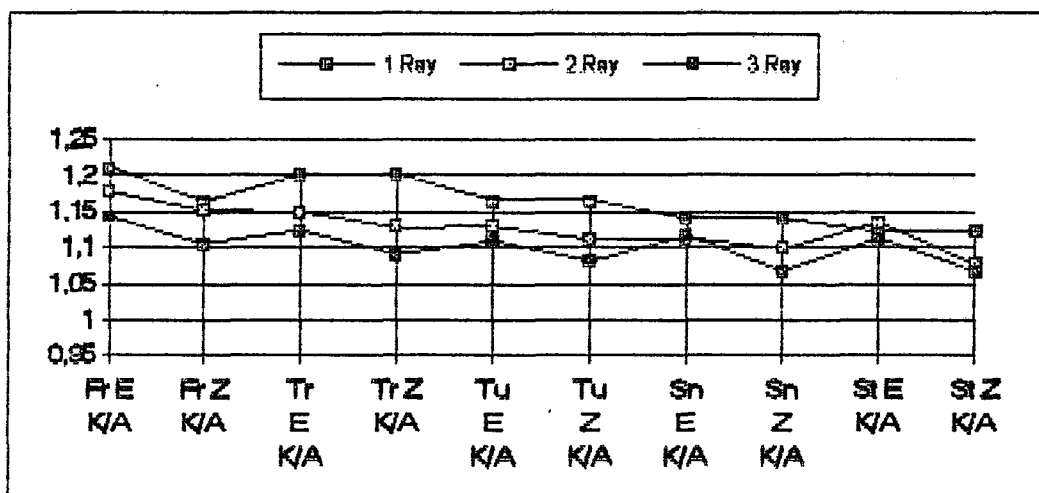


Şekil : 5.32. Üç yatırım raylı E 28 incelikli makinalarda örülən kumaşların yoğunluk değerleri.

Üç yatırım raylı makinalarda örülən kumaşların yoğunluk değerleri 0,11 - 0,23 gr/cm³ arasında değişmektedir. Kullanılan ilmeklerin tipine göre , rack değerleri küçük olan ilmekler düşük kumaş yoğunluğu değerleri vermektedir.Bu durumda en düşükten itibaren Franse , Triko , Tuch , Satin , Samt şeklinde sıralanmaktadır.

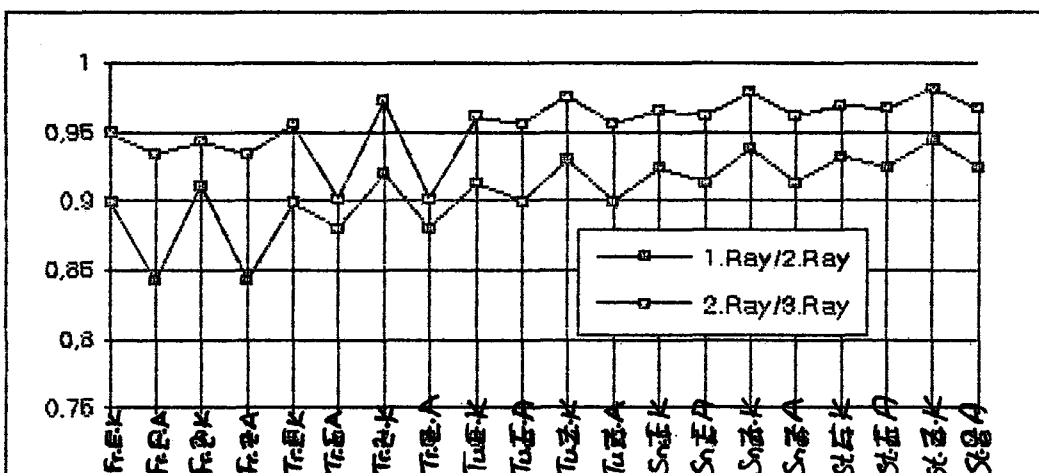
Eş yarımılı kapalı ilmeklerle örülülmüş kumaşlar en düşük kumaş yoğunluğuna sahip kumaşlardır.Eş veya zit yarımılı açık ilmeklerle örülülmüş kumaşlar daha yüksek yoğunluk değerlerine sahiptir.En yüksek kumaş yoğunluğu değerlerine sahip olan kumaşlar ise zit yarımılı , kapalı ilmeklerle örülülmüş kumaşlardır.Eş yarımılı kapalı ilmeklerle elde edilen örgülerde kumaş kalınlığı en yüksek değerleri verdiginden yoğunluk değerleri düşük çıkmaktadır.

edilmiştir. Franse ilmeği için elde edilen bu sıralama diğer ilmekler içinde geçerlidir. Her üç yatırım rayında da kapalı ilmeklerin rack değerleri , açık ilmeklerin rack değerlerinden fazladır.



Sekil .5.34. Aynı yatırım rayında örülen aynı tıp ilmeklerin kapalı / açık oranları.

Şekilde , aynı yatırım rayında örtülülmüş , aynı tip ilmeklerin rack değerlerinin birbirlerine oranları gösterilmiştir.Şekilde kapalı ilmek uzunluğunun açık ilmek uzunluğuna oranı en yüksek olan ilmek franse ilmeğidir.Franse ilmeğinin oluşturulması esnasında komşu İlgneler Üzerine yatırım hareketi yapılmadığından ilmeklerin rack değerleri diğer ilmeklere göre daha küçük olmaktadır.Dolayısıyla kapalı ve açık ilmek uzunlukları oranı diğer ilmeklere göre daha yüksek değerleri vermektedir.Triko , tuch , satin , samit ilmeklerinde komşu İlgneler Üzerine yapılan yatırım hareketinin uzunlukları 1 - 4 iğne mesafesi arasında değiştiğinden , kapalı ve açık ilmeklerin arasındaki uzunluk farkları franse ilmeklerine göre daha düşük çıkmaktadır.Şekilde zıt yatırımlı ilmeklerin oranları , eş yatırımlı ilmeklere göre daha düşük değerler vermektedir.Bu sonuç zıt yatırım ilmeklerinin geometrik özelliklerinden kaynaklanmaktadır.Zıt yatırım ilmeklerinde iki yatırım rayı aynı yönde yatırım yaparken diğer yatırım rayı zıt yönde yatırım yapacağından ilmeğin ayaklarına harcanan iplik , diğer iki ilmekten daha az olacaktır. Bu sebepten zıt yatırımlı ilmeklerde kapalı ilmek uzunluğu/ açık ilmek uzunluğu değeri daha düşük çıkmaktadır.

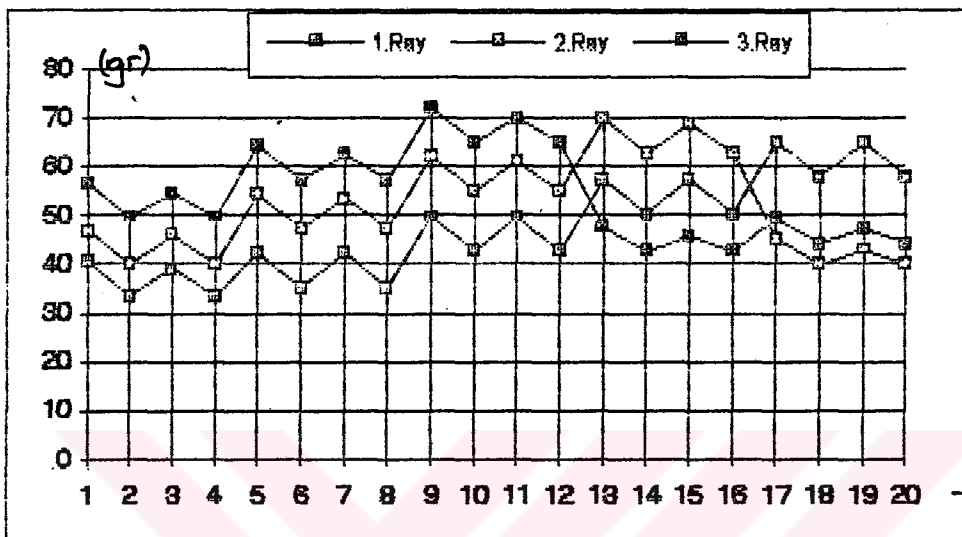


Sekil.5.35. Farklı yatırım raylarında görülen aynı tip ilmeklerin Rack değerleri oranı.

5.1.2.2.2. Ağırlık değerlerinin karşılaştırılması :

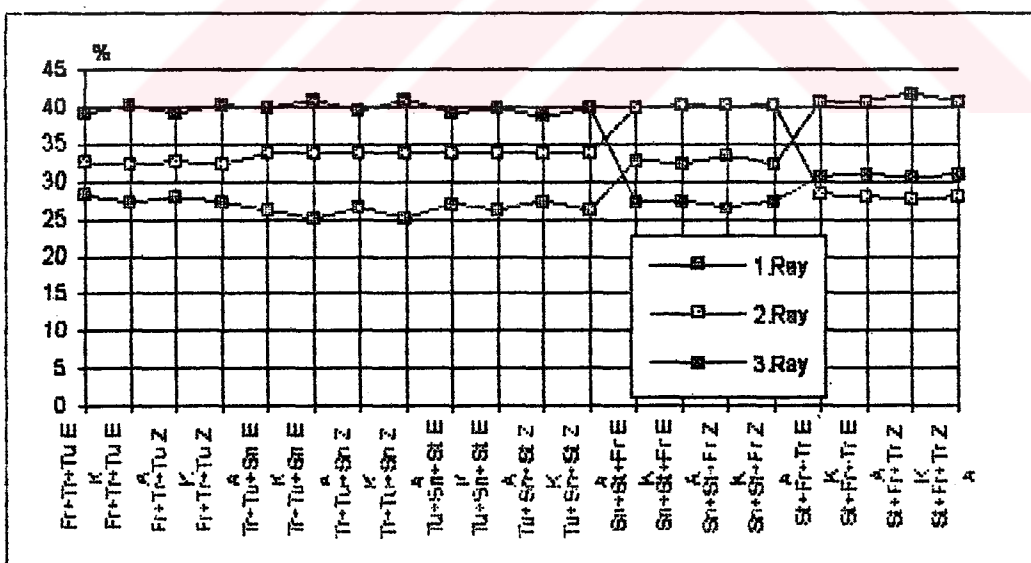
Üç yatırım raylı makinalarda örülən kumaşlarda en hafif kumaşlar Franse ilmekleri ile elde edilen kumaşlardır. Ilmeklerin Rack değerlerine bağlı olarak franse ilmeklerini Triko, Tuch, Satin , Samt ilmekleri takip etmektedir. Açık ilmeklerle örülən kumaşlar , kapalı ilmeklerle örülən kumaşlardan daha hafiftir. Eş yatırımla örülən kumaşlar ; zit yatırımla elde edilen kumaşlardan daha ağırdır.

Birinci yatırım rayında kumaş ağırlığının yaklaşık %25-30'u , ikinci yatırım rayında %32-35' i ve üçüncü yatırım rayında %37- 42 'si elde edilmektedir.



→Giz. S.7. Süt.no:1

Şekil.5.36: Üç yatırım raylı E32 incekkili makinalarda örülən kumaşların raylara göre ağırlık değerleri.



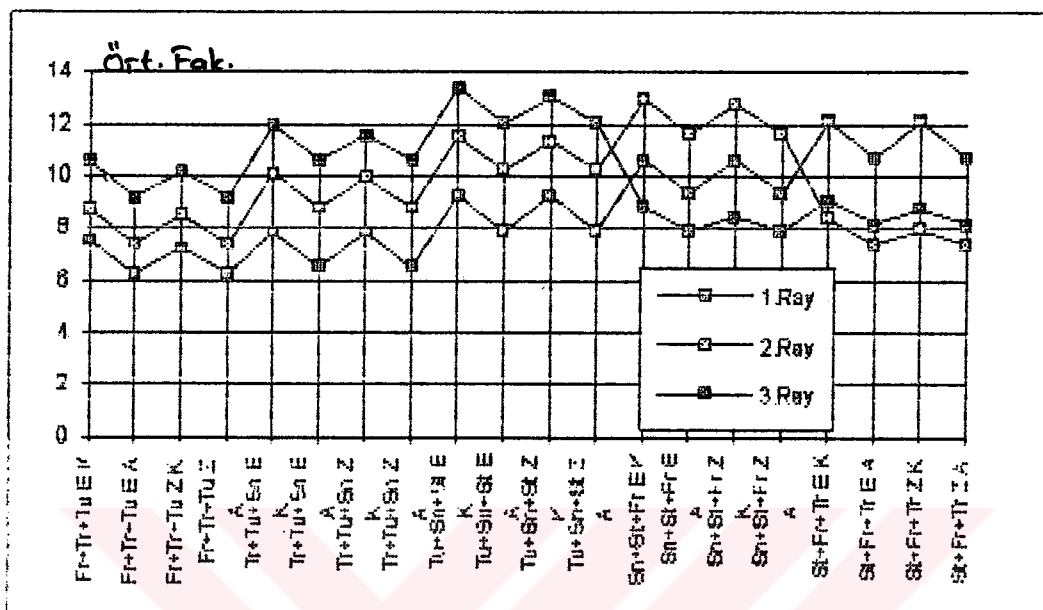
Şekil : 5.37. Üç yatırım raylı E 32 incekkili makinalarda kumaş ağırlığının yatırım raylarına göre dağılımının % cinsinden dağılımı.

5.1.2.2.3. Örtme faktörü değerlerinin karşılaştırılması :

Üç yatırım raylı E32 incekkili çögzülü örtme makinalarında örülən kumaşların yatırım raylarında harcanan İpliklere göre örtme faktörü değerleri karşılaştırıldığında en düşük örtme faktörü değerleri ilk yatırım rayında elde edilmektedir. İkinci yatırım

rayında elde edilen örtme faktörü değerleri, birinci yatırım rayından daha yüksektir. En yüksek değerleri ise üçüncü yatırım rayı vermektedir.

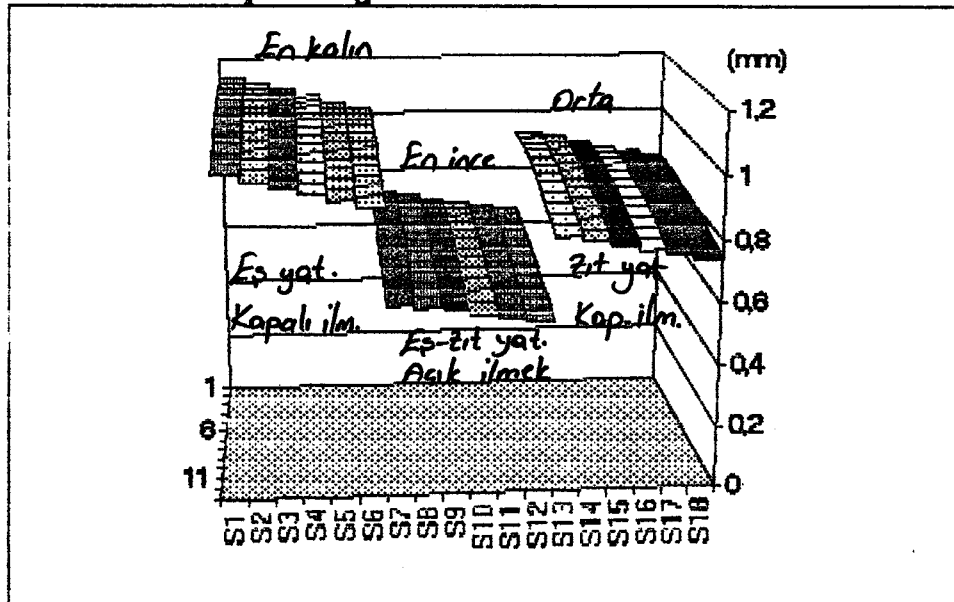
İlmek tipine göre en yüksek örtme faktörü değerlerini Samt ilmeği vermektedir. Azalan sıraya göre Satin, Tuch, Triko ve Franse ilmekleri gelmektedir. Aynı tip ilmekler kullanılması durumunda Üçüncü yatırım rayında elde edilen örtme faktörü en yüksek değeri vermektedir.



Şekil : 5.38. Üç yatırım raylı E 32 incekkili makinalarda kumaş örtme faktörü değerleri.

Açık , kapalı İlmek durumlarında , bütün örgü türlerinde ve İlmeklerde açık İlmeklerin örtme faktörü değerleri , kapalı İlmeklerden daha düşüktür.

5.1.2.2.4. Kumaş kalınlığı :



Şekil.5.39. Üç yatırım raylı makinalarda örülen eş yatırımlı kapalı, zıt yatırımlı kapalı ve eş-zıt yatırımlı açık ilmekli kumaş kalınlığı.

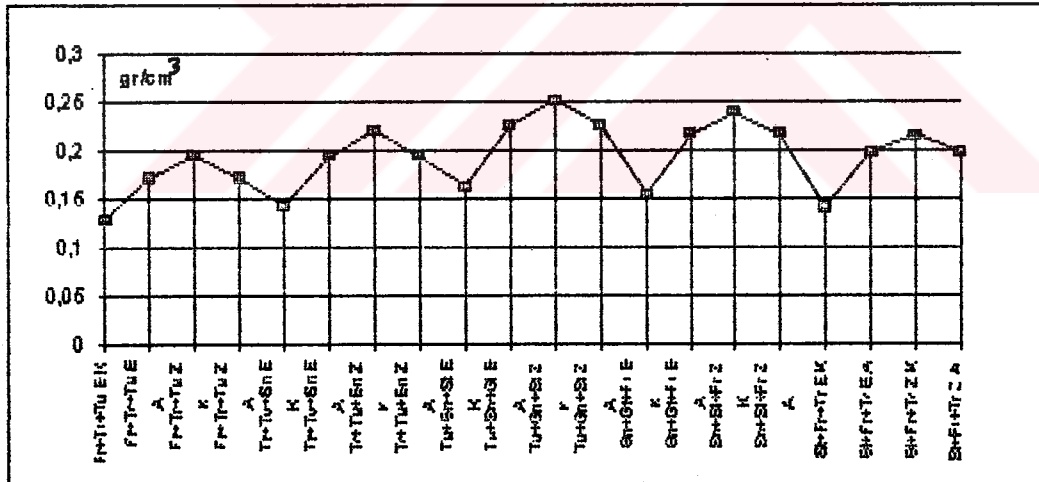
Şekil.5.39'da S1-S6 numaralı değerler eş yatırımlı kapalı ilmekle örülen , S7-S13 arasındaki değerler eş veya zıt yatırımlı açık ilmekli kumaşların , S14 - S18 numaralı değerler ise zıt yatırımlı kapalı ilmekli kumaş kalınlığı değerlerini göstermektedir.Bu değerler Bağ.(3.18 - 3.19 - 3.20) 'de belirtilen değerler kullanılarak elde edilmiştir.

Şekil.4.1 , 4.5 , 4.6 ' da gösterilen ilmek bağlantı noktalarında ipiklerin yerleşiminden dolayı kumaş tiplerine göre kumaş kalınlıkları ve kalınlığa bağlı olarak farklı kumaş yoğunlukları elde edilmiştir.

Şekilden de görülebileceği gibi eş veya zıt yatırımlı açık ilmekli kumaşların kalınlıkları en düşük değerleri vermektedir.Zıt yatırımlı kapalı ilmeklerle örülen kumaşlarda ise bağlantı noktalarındaki ilmek ayaklarının bir tanesi farklı yönde pozisyon aldığından açık ilmeklere göre daha büyük fakat eş yatırımlı kapalı ilmeklere göre daha büyük değer vermektedirler.Eş yatırımlı kapalı ilmeklerde ilmek ayaklarının yönleri aynı olduğundan kumaş içerisinde iplikler birbirleri üzerine bindiklerinden en kalın kumaslar bu tür ilmeklerle örülen kumaslardır.

Şekilde gösterilen grafikteki eğriler, İplik kesitindeki değişimlerin normal İplik çapının %10'una kadar azalması ve bağlantı noktalarındaki İpliklerin birbirlerine göre aldıkları çeşitli pozisyonlara göre kumaş kalınlığındaki değişiklikler gösterilmiştir.

5.1.2.2.5. Yoğunluk değerlerinin karşılaştırılması :



Şekil : 5.40. Üç yatırım raylı E 32 İncilikli makinalarda görülen kumaşların yoğunluk değerleri.

Üç yatırım raylı makinalarda örtülen kumaşların yoğunluk değerleri 0,11 - 0,23 gr/cm² arasında değişmektedir. Kullanılan ilmeklerin tipine göre, rack değerleri küçük olan ilmekler düşük kumaş yoğunluğu değerleri vermektedir. Bu durumda en düşükten itibaren Franse, Triko, Tuch, Satin, Samit şeklinde sıralanmaktadır.

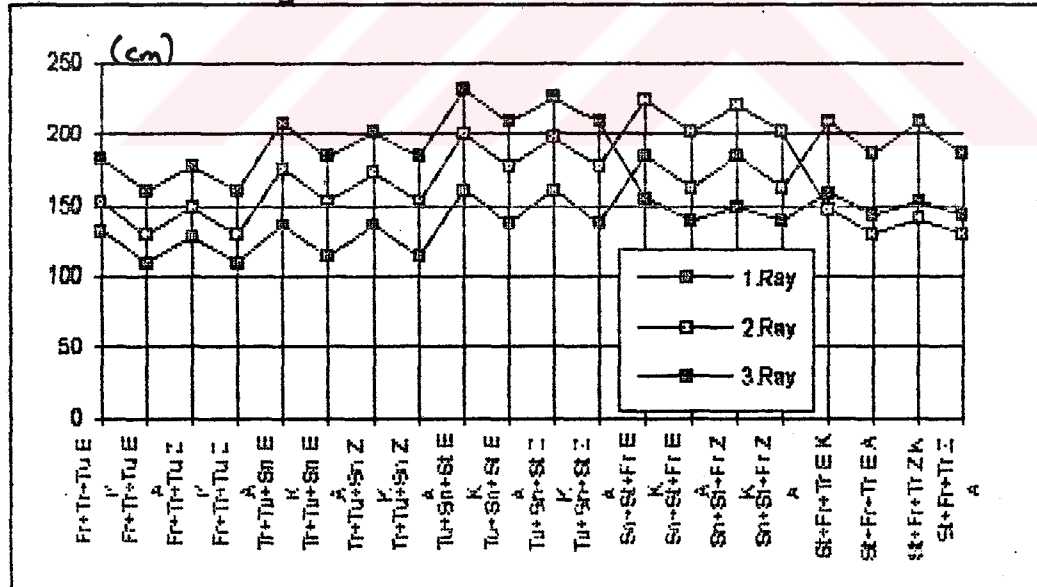
Eş yatırımlı kapalı ilmeklerle örtülmüş kumaşlar en düşük kumaş yoğunluğuna sahip kumaşlardır. Eş veya zıt yatırımlı açık ilmeklerle örtülmüş kumaşlar daha yüksek yoğunluk değerlerine sahiptir. En yüksek kumaş yoğunluğu değerlerine sahip olan kumaşlar ise zıt yatırımlı, kapalı ilmeklerle örtülmüş kumaşlardır. Eş yatırımlı kapalı ilmeklerle elde edilen örgülerde kumaş kalınlığı, en yüksek değerleri verdiğinden yoğunluk değerleri düşük çıkmaktadır.

5.1.2.3. E 40 incelikli makinalarda örülen kumaşların karşılaştırılması.

Çizelge 5.7. Üç yatırım raylı E 40 incelikli makinalarda örtülü kumaşların Rack, ağırlık ve örtme faktörü değerleri.

	Rack	Gr/m ²	Ort. Fak.	Rack	Gr/m ²	Ort. Fak.	Rack	Gr/m ²	Ort. Fak.
Fr+Tr+Tu E K	132,6094	50,9032	9,424445	152,2426	58,43959	10,81977	183,3484	70,37981	13,03043
Fr+Tr+Tu E A	109,4735	42,02232	7,7802	129,1069	49,55671	9,175521	180,1297	61,46672	11,38022
Fr+Tr+Tu Z K	127,5721	49,006	9,073559	148,7368	57,09384	10,57061	177,0881	67,97674	12,58552
Fr+Tr+Tu Z A	109,4735	42,02232	7,7802	129,1069	49,55671	9,175521	180,1297	61,46672	11,38022
Tr+Tu+Sn E K	138,7397	52,46668	9,717985	176,1549	67,81651	12,51919	207,463	79,83638	14,74423
Tr+Tu+Sn E A	113,8039	43,80779	8,07374	153,0181	58,73763	10,87495	184,2432	70,72329	13,09402
Tr+Tu+Sn Z K	138,7397	52,46668	9,717985	172,8915	66,38662	12,28728	201,2428	77,24872	14,30217
Tr+Tu+Sn Z A	113,8039	43,80779	8,07374	153,0181	58,73763	10,87495	184,2432	70,72329	13,09402
Tu+Sn+St E K	180,8519	61,68758	11,41741	200,2894	78,87507	14,23339	231,8012	88,90204	18,45972
Tu+Sn+St E A	137,5161	52,7987	9,773185	177,1338	67,9842	12,58875	208,3814	79,98884	14,90851
Tu+Sn+St Z K	180,8519	61,68758	11,41741	197,0462	75,6378	14,00392	225,3975	88,5207	18,01883
Tu+Sn+St Z A	137,5161	52,7987	9,773185	177,1338	67,9842	12,58875	208,3814	79,98884	14,90851
Sn+St+Fr E K	184,7665	70,92415	13,13121	224,4076	66,14073	15,94848	155,3058	59,61543	11,03747
Sn+St+Fr E A	181,6307	62,04327	11,49697	201,2718	77,25985	14,20423	139,097	53,39052	9,985514
Sn+St+Fr Z K	184,7665	70,92415	13,13121	221,2009	64,90978	15,72057	148,5277	57,01358	10,55575
Sn+St+Fr Z A	181,6307	62,04327	11,49697	201,2718	77,25985	14,20423	139,097	53,39052	9,985514
St+Fr+Tr E K	208,9047	80,1898	14,8467	147,4211	58,58879	10,4771	159,4362	61,20089	11,33101
St+Fr+Tr E A	195,7699	71,30993	13,20245	129,9137	49,98845	9,232988	143,2273	54,97989	10,17905
St+Fr+Tr Z K	208,9047	80,1898	14,8467	140,085	53,77279	9,955734	152,9334	58,70476	10,88888
St+Fr+Tr Z A	195,7699	71,30993	13,20245	129,9137	49,98845	9,232988	143,2273	54,97989	10,17905

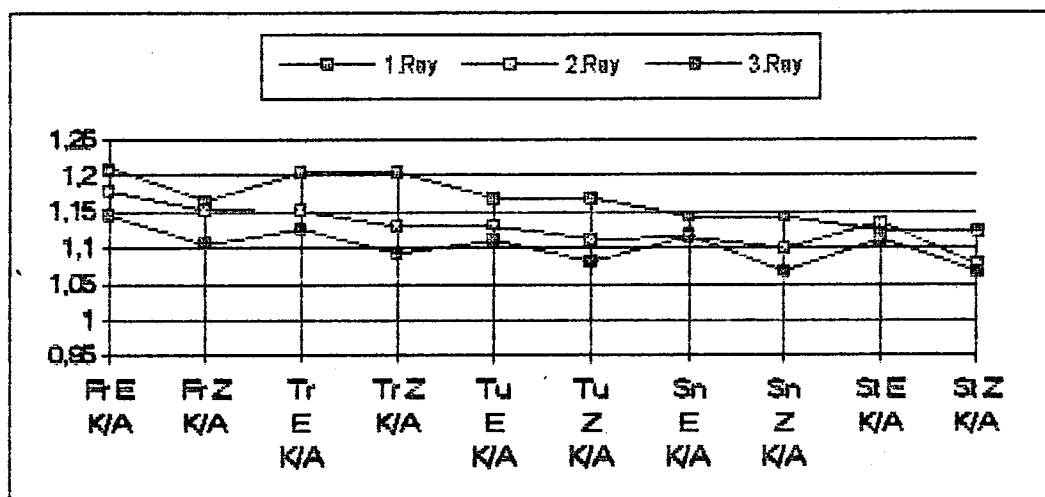
5.1.2.3.1. Rack değerleri.



Şekil 5.41. Üç yatırım raylı E40 incelikli makinalarda örülen çeşitli kumaşların Rack değerleri.

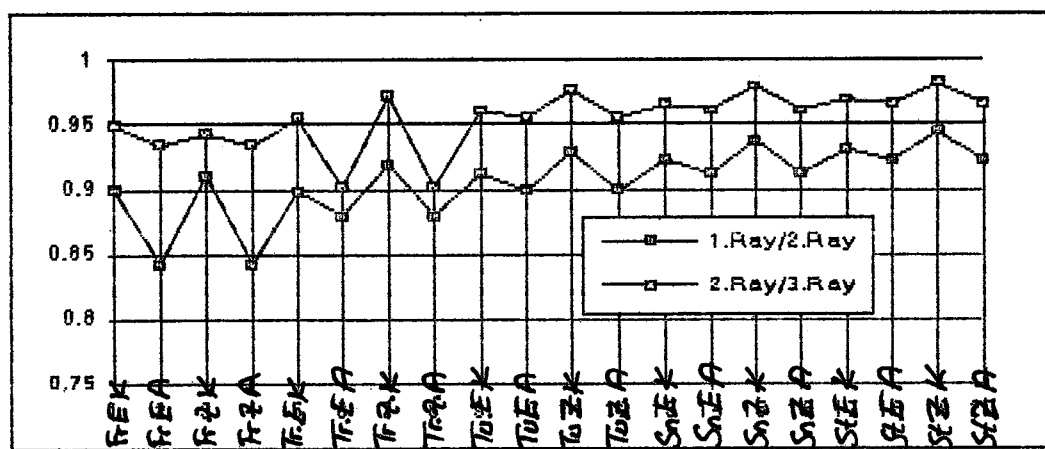
Şekil 5.41'de verilen değerlere göre, en düşük rack değerleri Franse ilmeklerine aittir. Her üç raydaki franse ilmeğine ait rack değerleri karşılaştırıldığında, küçükten büyüğe doğru rack değerleri 1.yatırım rayı < 2. yatırım rayı < 3.yatırım rayı olarak elde

edilmiştir.Franse ilmeği için elde edilen bu sıralama diğer ilmekler içinde geçerlidir.Her üç yatırım rayında da kapalı ilmeklerin rack değerleri , açık ilmeklerin rack değerlerinden fazladır.



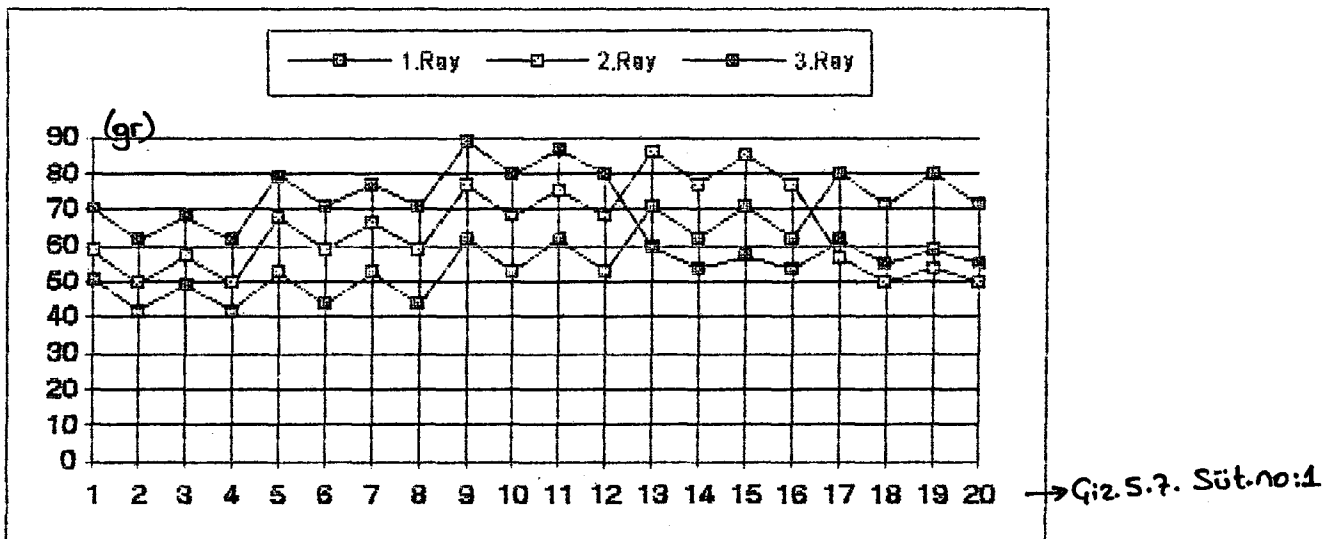
Şekil .5.42. Aynı yatırım rayında örülen aynı tip ilmeklerin kapalı / açık oranları.

Şekilde , aynı yatırım rayında örtülümiş , aynı tip ilmeklerin rack değerlerinin birbirine oranları gösterilmiştir.Şekilde kapalı ilmek uzunluğunun açık ilmek uzunluğuna oranı en yüksek olan ilmek franse ilmeğidir.Franse ilmeğinin oluşturulması esnasında komşu iğneler üzerine yatırım hareketi yapılmadığından ilmeklerin rack değerleri diğer ilmeklere göre daha küçük olmaktadır.Dolayısıyla kapalı ve açık ilmek uzunlukları oranı diğer ilmeklere göre daha yüksek değerleri vermektedir.Triko ,tuch , satin , samit ilmeklerinde komşu iğneler Üzerine yapılan yatırım hareketinin uzunlukları 1 - 4igne mesafesi arasında değiştiğinden , kapalı ve açık ilmeklerin arasındaki uzunluk farkları franse ilmeklerine göre daha düşük çıkmaktadır.Şekilde zıt yatırımlı ilmeklerin oranları , eş yatırımlı ilmeklere göre daha düşük değerler vermektedir.Bu sonuç zıt yatırım ilmeklerinin geometrik özelliklerinden kaynaklanmaktadır.Zıt yatırım ilmeklerinde iki yatırım rayı aynı yönde yatırım yaparken diğer yatırım rayı zıt yönde yatırım yapacağından ilmeğin ayaklarına harcanan iplik , diğer iki ilmekten daha az olacaktır. Bu sebepten zıt yatırımlı ilmeklerde kapalı ilmek uzunluğu/ açık ilmek uzunluğu değeri daha düşük çıkmaktadır.



Şekil.5.43. Farklı yatırım raylarında örülen aynı tip ilmeklerin Rack değerleri oranı.

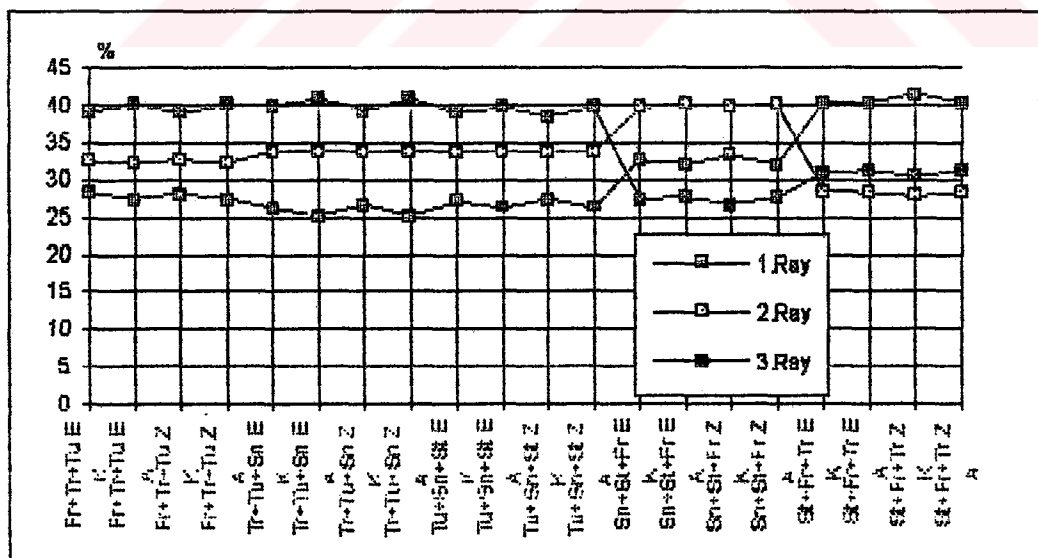
5.1.2.3.2. Ağırlık değerlerinin karşılaştırılması :



Şekil.5.44: Üç yatırım raylı E40 incelikli makinalarda örülen kumaşların raylara göre ağırlık değerleri.

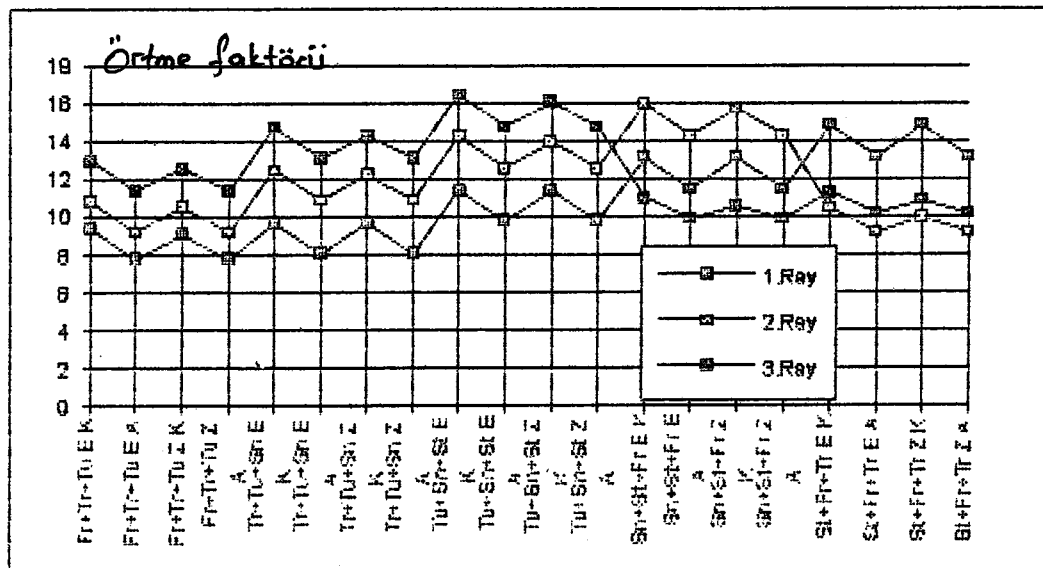
Üç yatırım raylı makinalarda örülen kumaşlarda en hafif kumaşlar Franse ilmekleri ile elde edilen kumaşlardır. Ilmeklerin Rack değerlerine bağlı olarak franse ilmeklerini Triko, Tuch, Satin , Samt ilmekleri takip etmektedir. Açık ilmeklerde örülen kumaşlar , kapalı ilmeklerle örülen kumaşlardan daha hafiftir. Eş yatırımla örülen kumaşlar , zıt yatırımla elde edilen kumaşlardan daha ağırdır.

Birinci yatırım rayında kumaş ağırlığının yaklaşık %25-30'u , ikinci yatırım rayında %32-35' i ve üçüncü yatırım rayında %37- 42 'si elde edilmektedir.



Şekil : 5.45. Üç yatırım raylı E 40 incelikli makinalarda kumaş ağırlığının yatırım raylarına göre dağılımının % cinsinden dağılımı.

5.1.2.3.3. Örtme faktörü değerlerinin karşılaştırılması :



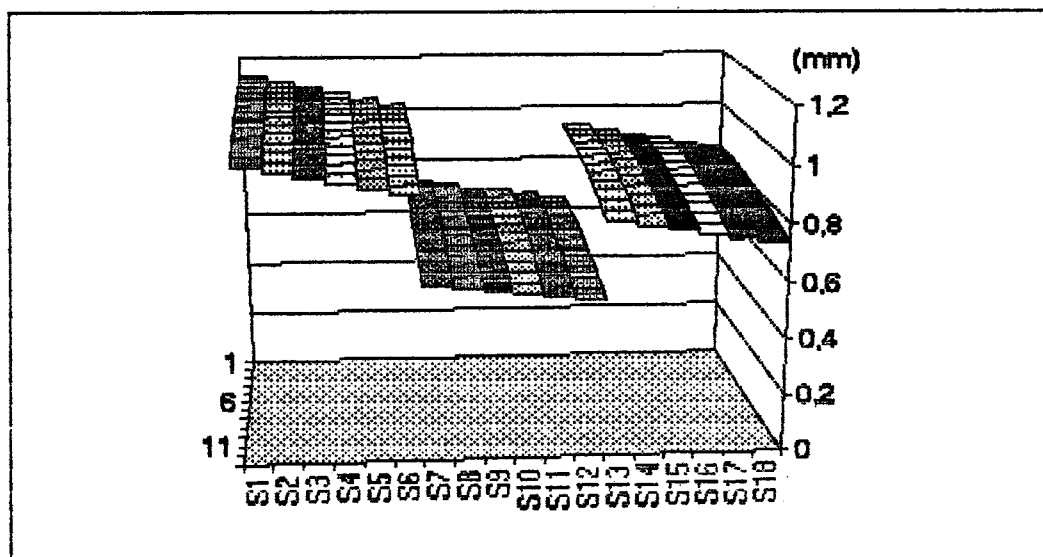
Şekil : 5.46. Üç yatırım raylı E 40 incelikli makinalarda kumaş örtme faktörü değerleri.

Üç yatırım raylı E40 İncelekli çözgülü örme makinalarında örülen kumaşların yatırım raylarında harcanan İlmeklere göre örtme faktörü değerleri karşılaştırıldığında en düşük örtme faktörü değerleri ilk yatırım rayında elde edilmektedir. İlkinci yatırım rayında elde edilen örtme faktörü değerleri, birinci yatırım rayından daha yüksektir. En yüksek değerleri ise Üçüncü yatırım rayı vermektedir.

İlmek tipine göre en yüksek örtme faktörü değerlerini Samt İlmeği vermektedir. Azalan sıraya göre Satin , Tuch , Triko ve Franse ilmekler gelmektedir. Aynı tip ilmekler kullanılması durumunda Üçüncü yatırım rayında elde edilen örtme faktörü en yüksek değeri vermektedir.

Açık , kapalı ilmek durumlarında , bütün örgü türlerinde ve ilmeklerde açık ilmeklerin örtme faktörü değerleri , kapalı ilmeklerden daha düşüktür.

5.1.2.3.4. Kumaş kalınlığı :



Şekil.5.47. Üç yatırım raylı makinalarda örülen eş yatırımlı kapalı, zıt yatırımlı kapalı ve eş-zıt yatırımlı açık ilmekli kumaş kalınlığı.

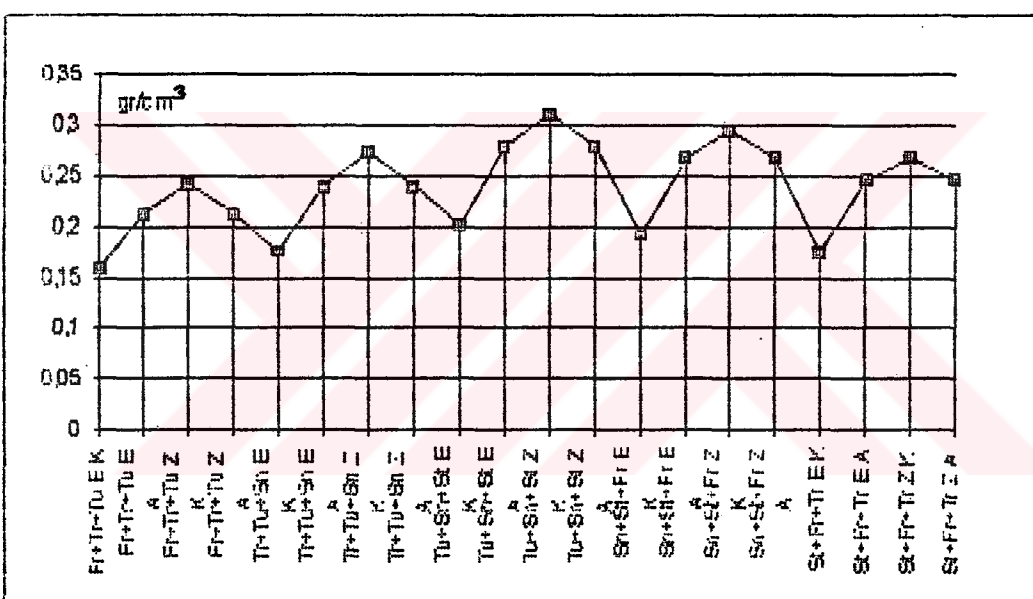
Şekil.5.47'da S1-S6 numaralı değerler eş yatırımlı kapalı ilmekli şeritlen , S7-S13 arasındaki değerler eş veya zıt yatırımlı açık ilmekli kumaşlarını , S14 - S18 numaralı değerler ise zıt yatırımlı kapalı ilmekli kumaş kalınlığı değerlerini göstermektedir.Bu değerler Bağ.(3.18 - 3.19 - 3.20) 'de belirtilen değerler kullanılarak elde edilmiştir.

Şekil.4.1 , 4.5 , 4.6 ' da gösterilen iltmek bağlantı noktalarında ipliklerin yerleşiminden dolayı kumaş tiplerine göre kumaş kalınlıkları ve kalınlığa bağlı olarak farklı kumas yoğunlukları elde edilmiştir.

Şekilden de görüleceği gibi eş veya zıt yatırımlı açık ilmekli kumaşların kalınlıkları en düşük değerleri vermektedir.Zıt yatırımlı kapalı ilmeklerde örülen kumaşlarda ise bağlantı noktalarındaki ilmek ayaklarının bir tanesi farklı yönde pozisyon aldığından açık ilmeklere göre daha büyük fakat eş yatırımlı kapalı ilmeklere göre daha büyük değer vermektedirler.Eş yatırımlı kapalı ilmeklerde ilmek ayaklarının yönleri aynı olduğundan kumaş içerisinde ipikler birbirleri Üzerine bindiklerinden en kalın kumaslar bu tip ilmeklerde örülen kumaslardır.

Şekilde gösterilen grafikteki eğriler, iplik kesitindeki değişimlerin normal iplik çapının %10'una kadar azalması ve bağlantı noktalarındaki ipiklerin birbirlerine göre aldıkları çeşitli pozisyonlara göre kumas kalınlığındaki değişiklikler gösterilmiştir.

5.1.2.3.5. Yoğunluk değerlerinin karşılaştırılması :



Şekil : 5.48. Üç yatırım raylı E 40 incelikli makinalarda örülen kumaşların yoğunluk değerleri.

Üç yatırım raylı makinalarda üretilen kumaşların yoğunluk değerleri 0,11 - 0,23 gr/cm³ arasında değişmektedir. Kullanılan ilmeklerin tipine göre, rack değerleri küçük olan ilmekler düşük kumaş yoğunluğu değerleri vermektedir. Bu durumda en düşükten itibaren Franse, Triko, Tuch, Satin, Samt şeklinde sıralanmaktadır.

Eş yatırımlı kapalı ilmeklerde örülmüş kumaşlar en düşük kumaş yoğunluğuna sahip kumaşlardır. Eş veya zit yatırımlı açık ilmeklerde örülmüş kumaşlar daha yüksek yoğunluk değerlerine sahiptir. En yüksek kumaş yoğunluğu değerlerine sahip olan kumaşlar ise zit yatırımlı , kapalı ilmeklerde örülmüş kumaşlardır. Eş yatırımlı kapalı ilmeklerde elde edilen örgülerde kumaş kalınlığı en yüksek değerleri verdiğinden yoğunluk değerleri düşük çıkmaktadır.

6.1.3. Dört yatırım raylı makinalarda örülümsü kumaşların karşılaştırılması.

5.1.3.1. E 28 incelikli makinalarda örtülen kumaşların karşılaştırılması.

Çizelge 5.3. Dört yatırım raylı makinalarda örtülen kumaşların Rack, ağırlık ve örtme faktörü değerleri.

	1. RAY			2. RAY			3. RAY			4. RAY		
	Rack	m ² gr	Ört.Fak	Rack	m ² gr	Ört.Fak	Rack	m ² gr	Ört.Fak	Rack	m ² gr	Ört.Fak
Fr+Tr+Tu+Sn Eş K	141,38	39,373	7,3511	185,42	51,64	9,841	255,28	71,091	13,273	304,05	84,874	15,81
Fr+Tr+Tu+Sn Eş A	124,29	34,812	6,4822	152,92	42,58	7,946	235,32	65,533	12,235	284,09	79,116	14,77
Fr+Tr+Tu+Sn Z K	141,38	39,373	7,3511	181,85	50,67	8,4607	255,28	71,091	13,273	302,87	84,269	15,74
Fr+Tr+Tu+Sn Z A	133,76	37,251	6,966	152,92	42,58	7,946	235,32	65,533	12,235	284,09	79,116	14,77
Ti+Tu+Sn+St E K	146,94	40,921	7,5401	163,55	45,55	8,5036	299,11	83,299	15,552	347,89	96,884	16,09
Ti+Tu+Sn+St E A	147,88	41,184	7,0893	198,01	54,75	10,223	279,15	77,741	14,515	327,93	91,326	17,05
Ti+Tu+Sn+St Z K	179,78	50,08	9,3484	225,74	82,87	11,737	299,11	83,299	15,552	348,51	98,499	18,02
Ti+Tu+Sn+St Z A	147,99	41,184	7,0893	198,01	54,75	10,223	279,15	77,741	14,515	327,93	91,326	17,05
Tu+Sn+St+Fr E K	208,77	58,139	10,855	273,04	78,04	14,197	342,96	95,509	17,832	192,83	53,7	10,03
Tu+Sn+St+Fr E A	191,87	63,378	9,988	240,44	68,98	12,502	323	69,951	18,794	172,97	49,142	9,988
Tu+Sn+St+Fr Z K	223,57	62,262	11,625	269,57	75,07	14,017	342,96	95,509	17,832	191,44	53,315	9,954
Tu+Sn+St+Fr Z A	191,87	53,379	9,988	240,44	68,98	12,502	323	69,951	18,794	172,97	49,142	9,988
Sn+St+Fr+Tr E K	252,6	70,347	13,134	316,89	68,25	16,477	187,89	52,325	9,7694	216,43	60,272	11,25
Sn+St+Fr+Tr E A	235,51	65,598	12,245	284,28	79,17	14,792	187,93	46,767	9,7316	198,47	54,714	10,22
Sn+St+Fr+Tr Z K	287,41	74,471	13,904	313,42	87,28	16,298	187,89	52,325	9,7694	215,04	59,887	11,18
Sn+St+Fr+Tr Z A	235,51	65,598	12,245	284,28	79,17	14,792	187,93	46,767	9,7316	198,47	54,714	10,22
St+Fr+Tr+Tu E K	238,45	62,557	15,414	181,82	45,07	8,4139	211,49	58,898	10,998	280,21	72,465	13,53
St+Fr+Tr+Tu E A	279,35	77,798	14,525	129,22	35,99	8,719	191,53	53,339	9,9587	240,25	68,909	12,49
St+Fr+Tr+Tu Z K	311,28	86,882	18,184	158,35	44,1	8,2338	211,49	58,888	10,998	258,63	72,081	13,48
St+Fr+Tr+Tu Z A	279,35	77,798	14,525	129,22	35,99	8,719	191,53	53,339	9,9587	240,25	68,909	12,49

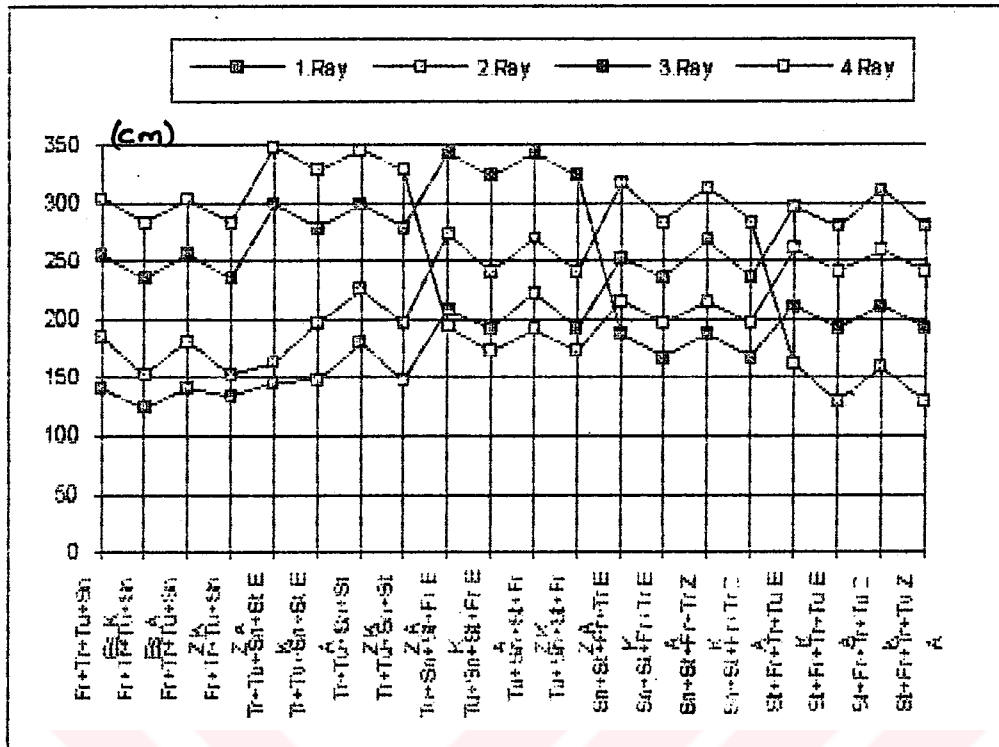
5.1.3.1.1. Rack değerlerinin karşılaştırılması.

Şekil 5.49'da dört yatırım raylı makinalarda örülümsü çesitli kumaşların her yatırım rayındaki rack değerleri gösterilmiştir. Şekildeki duruma göre en düşük rack değeri küçükten büyüğe doğru Fransız , Triko , Tuch , Satin , Samt ilmekleridir. Aynı ilmeklerin değişik yatırım raylarındaki rack değerleri değişiktir. En küçük rack değeri ilk yatırım rayında elde edilmektedir. Sırasıyla küçükten büyüğe doğru 1.Yatırım Rayı< 2.Yatırım Rayı<3.Yatırım Rayı<4.Yatırım Rayı rack değerleri elde edilmektedir.

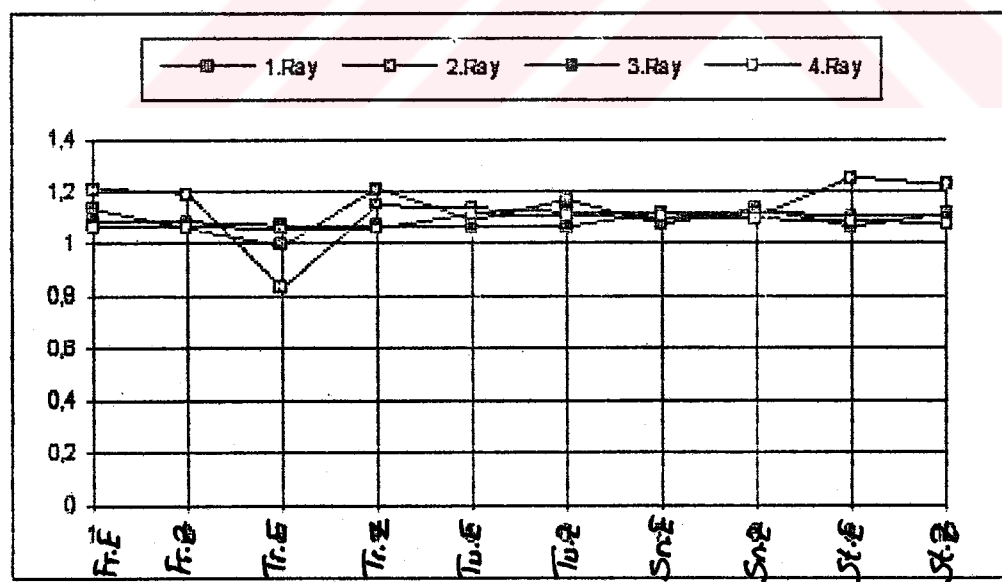
En küçük rack değerini 1. yatırım rayındaki açık Fransız ilmeği verirken , en büyük rack değerini ise 4. yatırım rayındaki Samt ilmeği vermektedir. Her yatırım rayında eş yatırım ilmeklerinin rack değerleri , zıt yatırım ilmeklerinin Rack değerlerinden daha yüksek çıkmaktadır.

Şekil 5.50'de görüldüğü gibi , kapalı ilmeklerin rack değerleri , açık ilmeklerin rack değerlerinden daha yüksektir. Her yatırım rayındaki aynı tür ilmeklerin (kapalı ilmek / açık ilmek) oranları 1- 1,2 arasında değişmektedir. Üçüncü ve dördüncü yatırım raylarının rack değerleri daha yüksek olduğundan kapalı ve açık ilmekler arasındaki uzunluk farkının ilmek boyalarına oranı daha düşük çıkmaktadır.

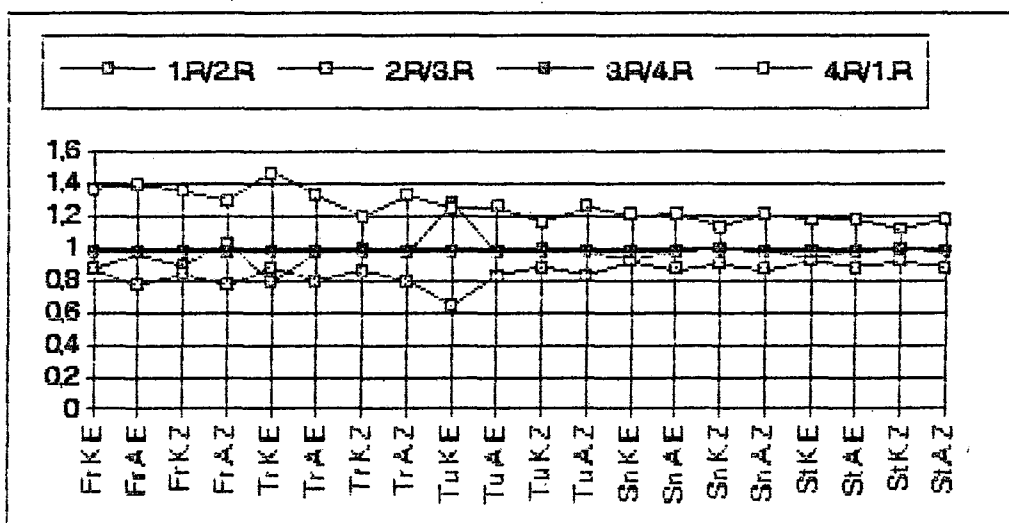
Şekil 5.51'de farklı yatırım raylarında elde edilen aynı tip ilmeklerin uzunlukları oranı gösterilmiştir. Uzunluk oranı değerleri 0,6 - 1 arasında değişmektedir. Bütün oranlar en fazla 0,85 - 0,95 arasında değişmektedir. Genel olarak her yatırım rayı , bir sonraki yatırım rayında örtülen aynı tip ilmek için harcanan ipligin %85-95'i civarında iplik harcamaktadır.



Şekil .5.49. Dört yatırım raylı E28 incelikli makinalarda örülən çeşitli kumaşların Rack değerleri.

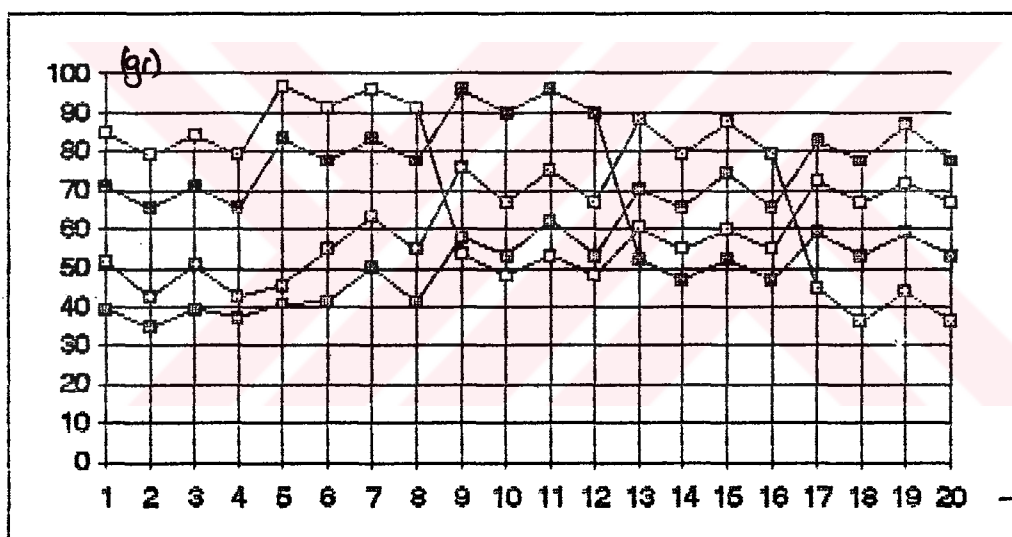


Şekil .5.50. Aynı yatırım rayında örülən aynı tip ilmeklerin kapalı / açık oranları.



Şekil.5.51. Farklı yatırım raylarında örülen aynı tip ilmeklerin Rack değerleri oranı.

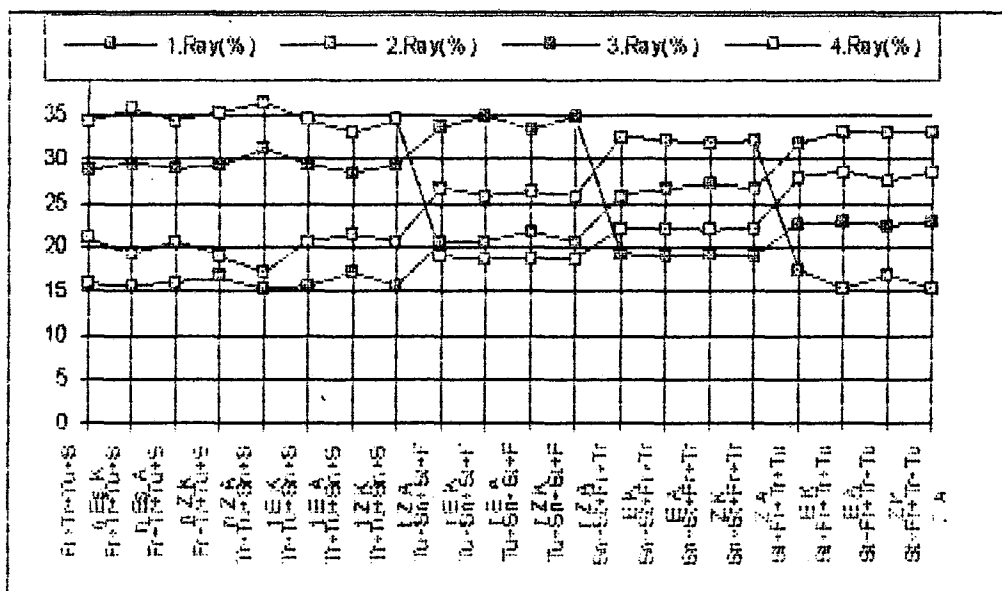
5.1.3.1.2. Ağırlık değerlerinin karşılaştırılması :



Şekil.5.52: Dört yatırım raylı E28 incelikli makinalarda örülen kumaşların raylara göre ağırlık değerleri.

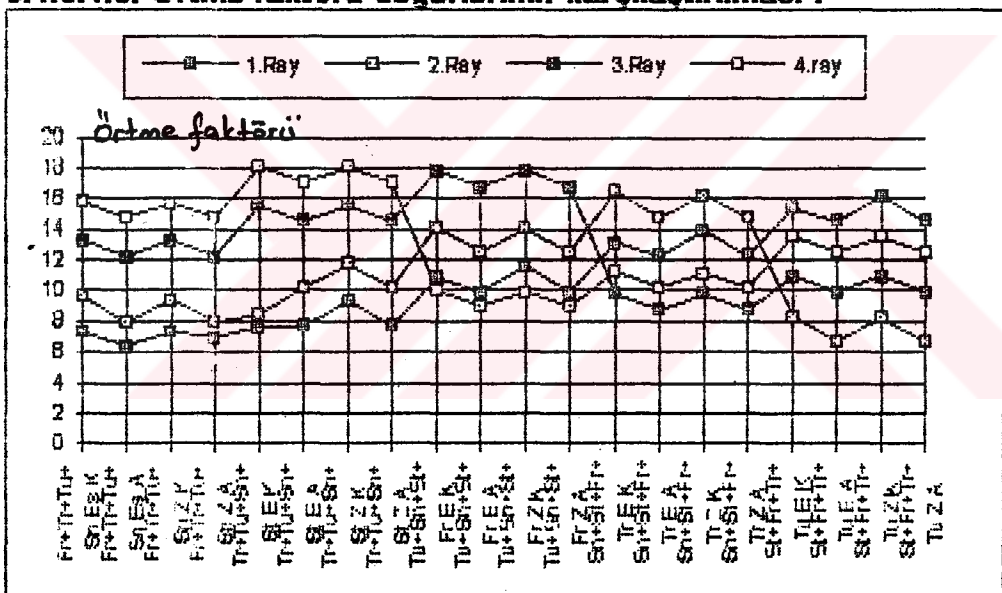
İlmeklerin rack değerlerine bağlı olarak her yatırım rayında farklı miktarlarda iplik harcandığından, her yatırım rayı kumaş ağırlığının belirli bir kısmını oluşturur. Ağırlık olarak en az ipliği ilk yatırım rayı harcarken en fazla iplik ağırlığını dördüncü yatırım rayı harcamaktadır. Birbirini takip eden her iki yatırım rayında örülen aynı tip iki ilmekten, sonraki yatırım rayında örülen ilmekler önceki yatırım rayında örülen ilmeklerden kumaşın bir m²'si başına yaklaşık olarak 7-8 gr daha fazla iplik harcamaktadır.

Şekil 5.53'de kumaş ağırlığının yatırım raylarına dağılımının % değerleri verilmiştir. Verilen değerlerde raylara göre dağılım %15 ile %35 arasında değişmektedir. Bu değerler yatırım raylarında örülen ilmeklerin tipine göre değişmektedir. Franse ilmeği için bu dağılım yatırım rayına göre %16-19, Triko ilmeği için %18 -23, Tuch ilmeği için %23-28, Satin ilmeği için % 27-33 ve Samt ilmeği için % 32-37 arasında değişmektedir. Verilen aralıklardaki alt ve üst değerleri ise ilmeğin öرülü olduğu yatırım rayı, ilmeğin yatırım durumu ve açık, kapalı ilmek olması durumu belirlemektedir.



Şekil : 5.53. Dört yatırım raylı E 28 incelikli makinalarda kumaş ağırlığının yatırım raylarına göre dağılımının % cinsinden dağılımı.

5.1.3.1.3. Örtme faktörü değerlerinin karşılaştırılması :

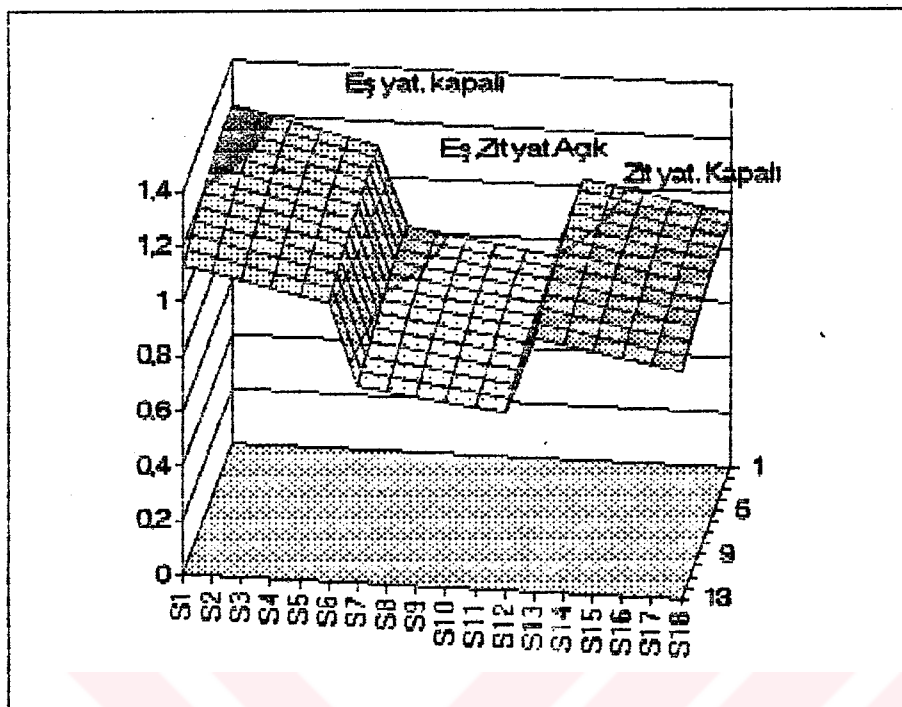


Şekil : 5.54. Dört yatırım raylı E 28 incelikli makinalarda kumaş örtme faktörü değerleri.

Örtme faktörü değerleri , birim ilmek için harcanan iplik uzunluğu , iplik numarası (kalınlığı) , İncelik ve sıra sıklığına bağlı değerdir. Bu çalışmada sırasıklığı ve iplik numarası , kalınlığı sabit tutulduğundan örtme faktörü değerinin değişimi tamamen rack değerine bağlıdır. Dolayısıyla Şekil 5.54 , Şekil 5.49 ve 5.52 ile tamamen aynı olmaktadır.Verilen değerlere göre en yüksek örtme faktörü değerini 4. yatırım rayında örülən eş yatırımlı Samt ilmeği , en düşük örtme faktörünü ise 1. yatırım rayında örülən Franse ilmeği vermektedir.

Eş yatırımlı kapalı ilmeklerle örülən kumaşların örtme faktörleri en yüksek değerleri verirken , en düşük değerler ise açık ilmeklerle örülən kumaşlarda elde edilmektedir.

5.1.3.1.4. Kumaş kalınlığı :

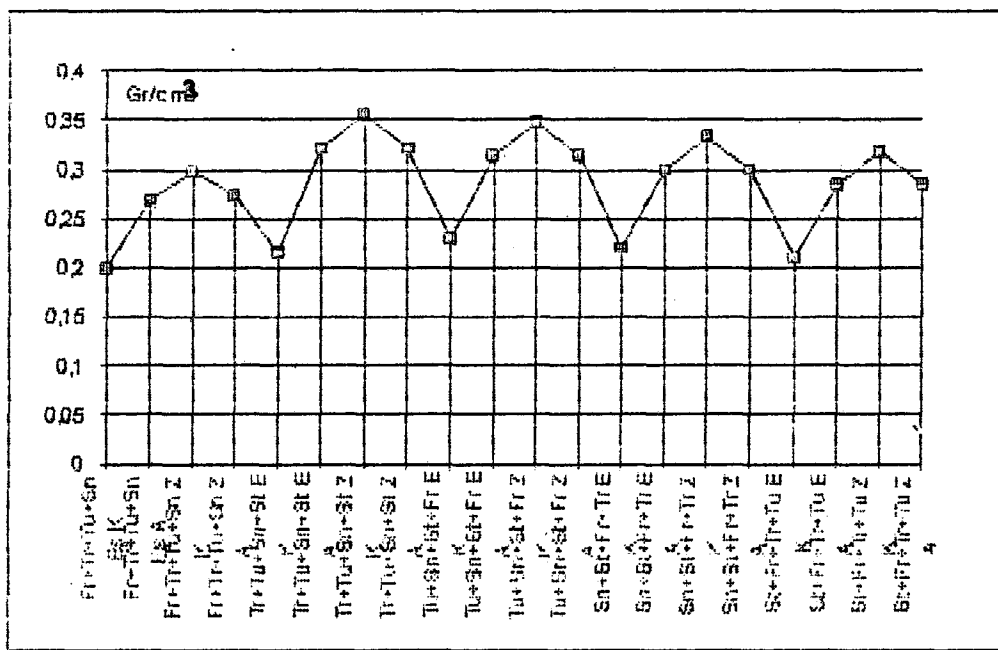


Şekil 5.55. Dört yatırım raylı makinalarda örülen eş yatırımlı kapalı, zıt yatırımlı kapalı ve eş-zıt yatırımlı açık ilmekler kumaş kalınlığı.

Şekil 5.55'de dört yatırım rayında örülen kumaşların kalınlıkları görülmektedir. S1-S6 arasındaki değerler eş yatırımlı kapalı ilmeklerle örülen kumaşların kalınlığının, İplik kesitinde %0 -10 arasında küçülmesine ve bağlantı noktasındaki İpliklerin pozisyonlarının birbirleri ile 0-60° arasında değişimlerine göre kumaş kalınlığının değişimini göstermektedir. S7-S12 arasındaki değerler eş veya zıt yatırımlı açık ilmeklerden oluşmuş kumaş kalınlığının değişimini, S12-S18 arasındaki değerler ise zıt yatırımlı kapalı ilmeklerle örtümüş kumaşların kalınlığının değişimini göstermektedir.

5.1.3.1.5. Yoğunluk değerlerinin karşılaştırılması :

Şekil 5.56'da görülen yoğunluk değerlerine göre eş yatırımlı kapalı ilmekle örülen kumaşların yoğunluk değerleri en düşük değerleri vermektedir. Zıt yatırımlı kapalı ilmeklerle örülen kumaşlar, eş yatırımlı ilmeklerle örülen kumaşlara göre daha yüksek yoğunluk değerleri vermektedir. En yüksek yoğunluk değerlerini ise açık ilmeklerle örülen kumaşlar vermektedir.



Şekil : 5.56. Dört yatırım raylı E 28 incilikli makinalarda örülen kumaşların yoğunluk değerleri.

5.1.3.2. E 32 incelikli makinalarda örülen kumasların karıştırılması.

Çizelge 5.9. Dört yatırım raylı makinalarda örtülen kumaşların Rack, ağırlık ve örtme faktörü değerleri.

	1.Ray	1.Ray	1.Ray	2.Ray	2.Ray	2.Ray	3.Ray	3.Ray	4.Ray	4.Ray	4.Ray	
	Rack	m² gr	Ört.Fak	Rack	m² gr	Ört.Fak	Rack	m² gr	Ört.Fak	Rack	m² gr	Ört.Fak
Fr+Tr+Tu+Sn E § K	141,38	44,851	8,3908	184,68	58,78	10,972	254,19	80,817	15,088	302,42	98,151	17,95
Fr+Tr+Tu+Sn E § A	124,20	39,518	7,3762	162,29	49,42	9,0377	234,23	74,471	13,901	282,46	89,805	16,78
Fr+Tr+Tu+Sn Z K	141,38	44,851	8,3908	181,41	57,88	10,787	254,19	80,817	15,088	301,03	95,711	17,87
Fr+Tr+Tu+Sn Z A	133,78	42,520	7,9398	162,29	49,42	9,0377	234,23	74,471	13,901	282,46	89,805	16,78
Ti+Tu+Sn+St E K	148,94	48,718	8,7207	183,55	62	8,7063	287,48	94,581	17,655	345,72	108,82	20,52
Ti+Tu+Sn+St E A	147,34	48,847	8,7447	185,52	62,16	11,804	277,52	89,235	16,471	325,76	103,57	19,33
Ti+Tu+Sn+St Z K	179,21	58,978	10,638	224,65	71,43	13,333	297,48	94,581	17,655	344,33	109,48	20,44
Ti+Tu+Sn+St Z A	147,34	48,847	8,7447	185,52	62,16	11,804	277,52	89,235	16,471	325,76	103,57	19,33
Tu+Sn+St+Fr E K	207,88	88,03	12,9328	271,41	88,29	16,108	340,76	108,35	20,225	192,83	81,308	11,44
Tu+Sn+St+Fr E A	190,58	80,584	11,311	239,81	75,93	14,173	320,92	102	18,04	172,87	54,982	10,28
Tu+Sn+St+Fr Z K	222,48	70,737	13,204	267,94	65,18	15,802	340,78	108,35	20,225	191,44	80,888	11,38
Tu+Sn+St+Fr Z A	190,58	80,584	11,311	239,81	75,93	14,173	320,92	102	18,04	172,87	54,982	10,28
Sn+St+Fr+Tr E K	250,97	79,784	14,895	314,71	100,1	15,578	187,53	59,738	11,151	215,88	68,639	12,81
Sn+St+Fr+Tr E A	233,87	74,269	13,08	292,11	89,7	16,743	167,93	53,392	9,9805	195,93	82,203	11,83
Sn+St+Fr+Tr Z K	265,78	84,502	15,774	311,24	98,96	18,472	187,89	59,738	11,151	214,5	68,199	12,73
Sn+St+Fr+Tr Z A	233,87	74,269	13,08	292,11	89,7	16,743	167,93	53,392	9,9805	195,93	82,203	11,83
Si+Fr+Ti+Tu E K	294,27	93,561	17,485	161,82	51,45	8,6039	210,95	87,069	12,52	258,12	82,387	15,38
Si+Fr+Ti+Tu E A	277,17	88,128	16,45	129,22	41,09	7,6892	190,99	80,723	11,335	239,17	76,041	14,19
Si+Fr+Ti+Tu Z K	309,06	98,27	18,344	158,35	50,35	9,3981	210,95	87,069	12,52	257,74	81,947	15,3
Si+Fr+Ti+Tu Z A	277,17	88,128	16,45	129,22	41,09	7,6892	190,99	80,723	11,335	239,17	76,041	14,19

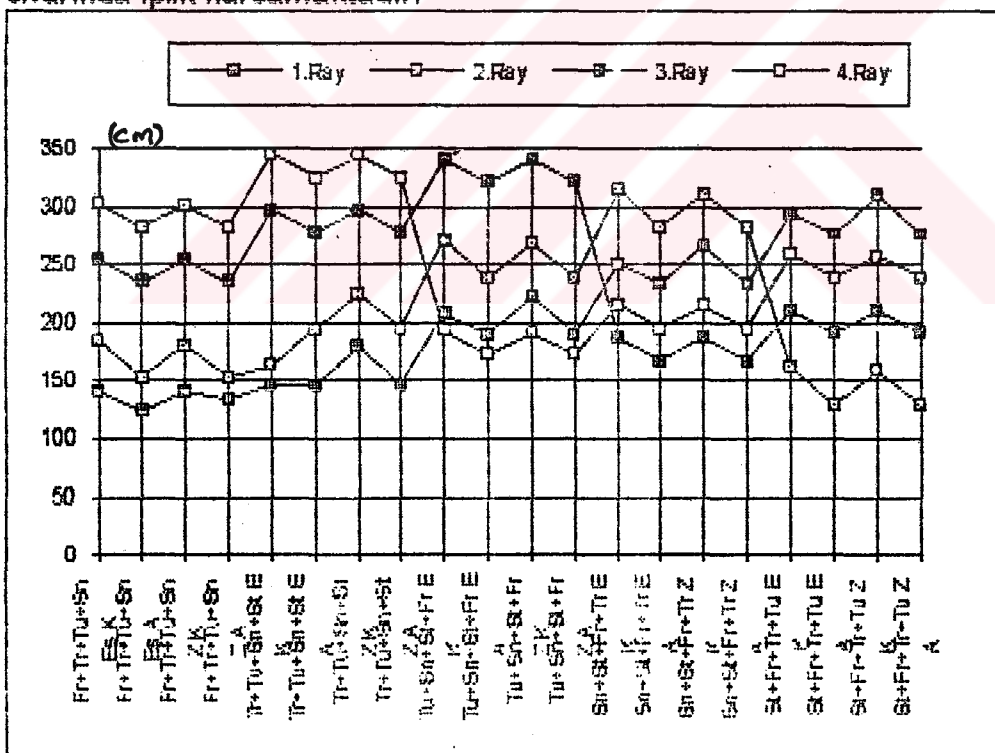
6.1.3.2.1. Rack değerleri.

Şekil 5.57'de dört yatırım raylı makinalarda örülmüş çeşitli kumaşların her yatırım rayındaki rack değerleri gösterilmiştir. Şekildeki duruma göre en düşük rack değeri küçükten büyüğe doğru Franse , Triko , Tuch , Satin , Samt ilmekleridir. Aynı ilmeklerin değişik yatırım raylarındaki rack değerleri değişiktir. En küçük rack değeri ilk yatırım rayında elde edilmektedir. Sırasıyla küçükten büyüğe doğru 1.Yatırım Rayı < 2.Yatırım Rayı < 3.Yatırım Rayı < 4.Yatırım Rayı rack değerleri elde edilmektedir.

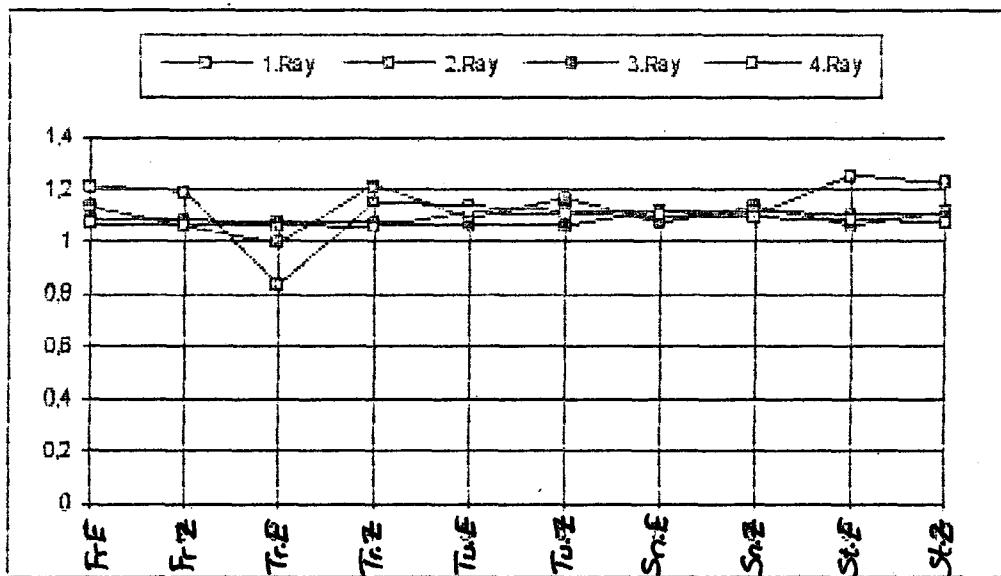
En küçük rack değerini 1. yatırım rayındaki açık Franse ilmeği verirken , en büyük rack değerini ise 4. yatırım rayındaki Samt ilmeği vermektedir. Her yatırım rayında eş yatırım ilmeklerinin rack değerleri , zıt yatırım ilmeklerinin Rack değerlerinden daha yüksek çıkmaktadır.

Şekil 5.58'de görüldüğü gibi , kapalı ilmeklerin rack değerleri , açık ilmeklerin rack değerlerinden daha yüksektir. Her yatırım rayındaki aynı tür ilmeklerin (kapalı ilmek / açık ilmek) oranları 1- 1,2 arasında değişmektedir. Üçüncü ve dördüncü yatırım raylarının rack değerleri daha yüksek olduğundan kapalı ve açık ilmekler arasındaki uzunluk farkının ilmek boyalarına oranı daha düşük çıkmaktadır.

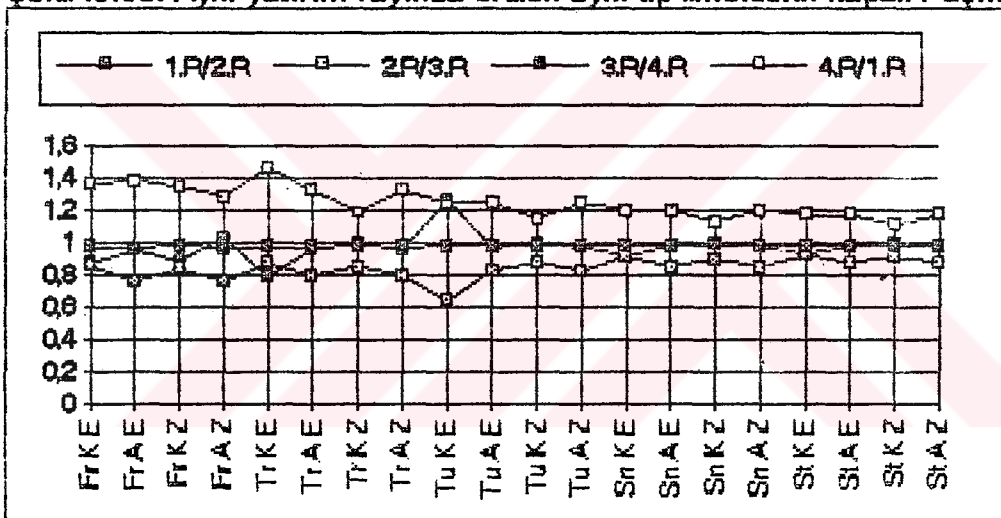
Şekil 5.59'da farklı yatırım raylarında elde edilen aynı tip ilmeklerin uzunlukları oranı gösterilmiştir. Uzunluk oranı değerleri 0,6 - 1 arasında değişmektedir. Bütün oranlar en fazla 0,85 - 0,95 arasında değişmektedir. Genel olarak her yatırım rayı , bir sonraki yatırım rayında örülen aynı tip ilmek için harcanan ipligin %85-95'i civarında iplik harcamaktadır.



Şekil .5.57. Dört yatırım raylı E32 incelikli makinalarda örülen çeşitli kumaşların Rack değerleri.



Şekil .5.58. Aynı yatırım rayında örülen aynı tip ilmeklerin kapalı / açık oranları.



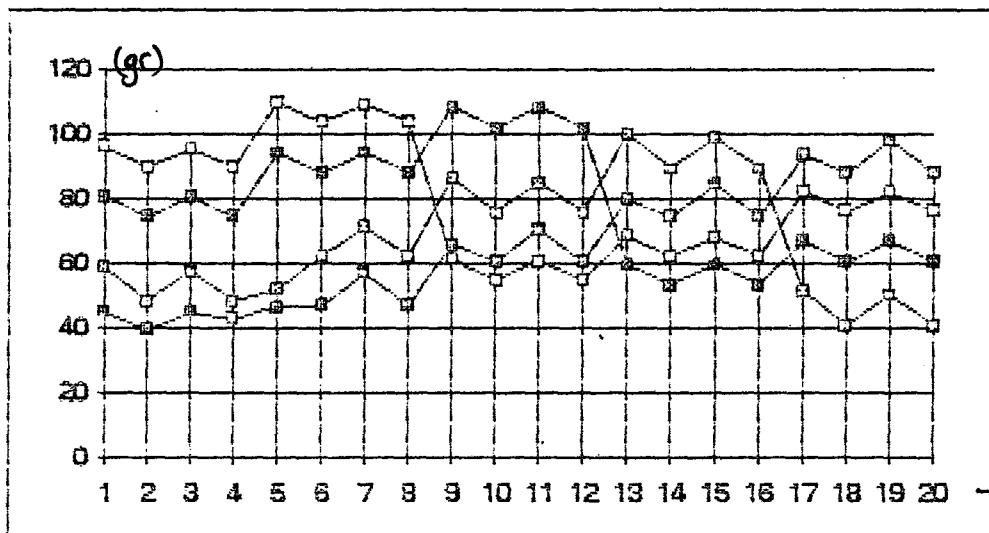
Şekil.5.59. Farklı yatırım raylarında örülen aynı tip ilmeklerin Rack değerleri oranı.

6.1.3.2.2. Ağırlık değerlerinin karşılaştırılması :

İlmeklerin rack değerlerine bağlı olarak her yatırım rayında farklı miktarlarda iplik harcandığından , her yatırım rayı kumaş ağırlığının belirli bir kısmını oluşturur.Ağırlık olarak en az ipliği ilk yatırım rayı harcarken en fazla iplik ağırlığını dördüncü yatırım rayı harcamaktadır.Birbirini takip eden her iki yatırım rayında örülen aynı tip iki ilmekten , sonraki yatırım rayında örülen ilmekler önceki yatırım rayında örülen ilmeklerden kumaşın bir m^2 'si başına yaklaşık olarak 7-8 gr daha fazla iplik harcamaktadır.

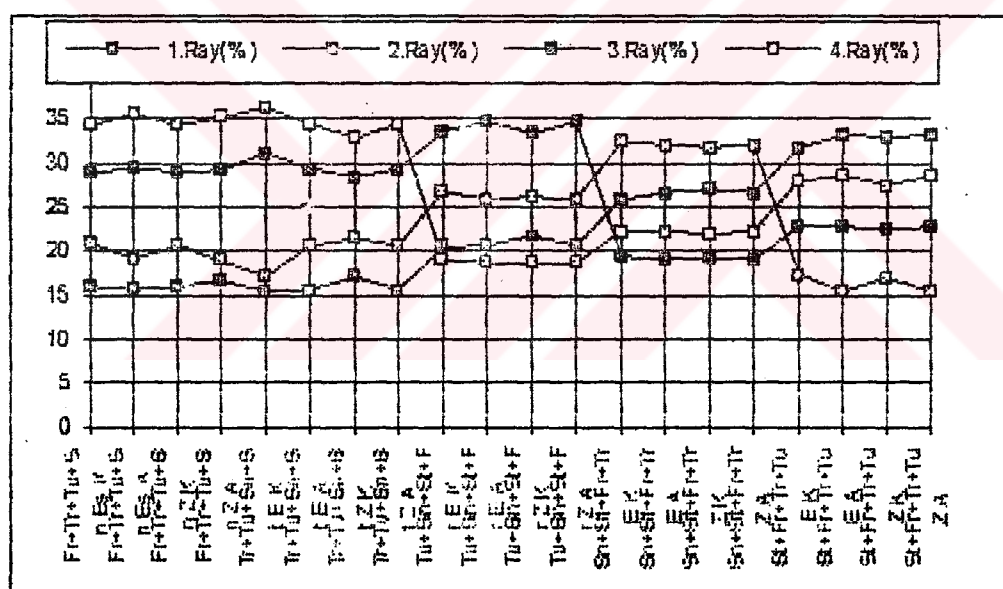
Şekil 5.61'de kumaş ağırlığının yatırım raylarına dağılımının % değerleri verilmiştir.Verilen değerlerde raylara göre dağılım %15 ile %35 arasında değişmektedir.Bu değerler yatırım raylarında örülen ilmeklerin tipine göre değişmektedir.Franse ilmeğli için bu dağılım yatırım rayına göre %16-19 , Triko ilmeğli için %18 -23 , Tuch ilmeğli için %23-28 , Satin ilmeğli için % 27-33 ve Samt ilmeğli için % 32-37 arasında değişmektedir.Verilen aralıklardaki alt ve üst değerleri ise ilmeğin örtüldüğü yatırım rayı , ilmeğin yatırım durumu ve açık , kapalı ilmek

olması durumu belirtmektedir.



→Ciz. 5.9 .Sütun:1

Şekil.5.60: Dört yatırım raylı E32 İncelikli makinalarda örülen kumaşların raylara göre ağırlık değerleri.



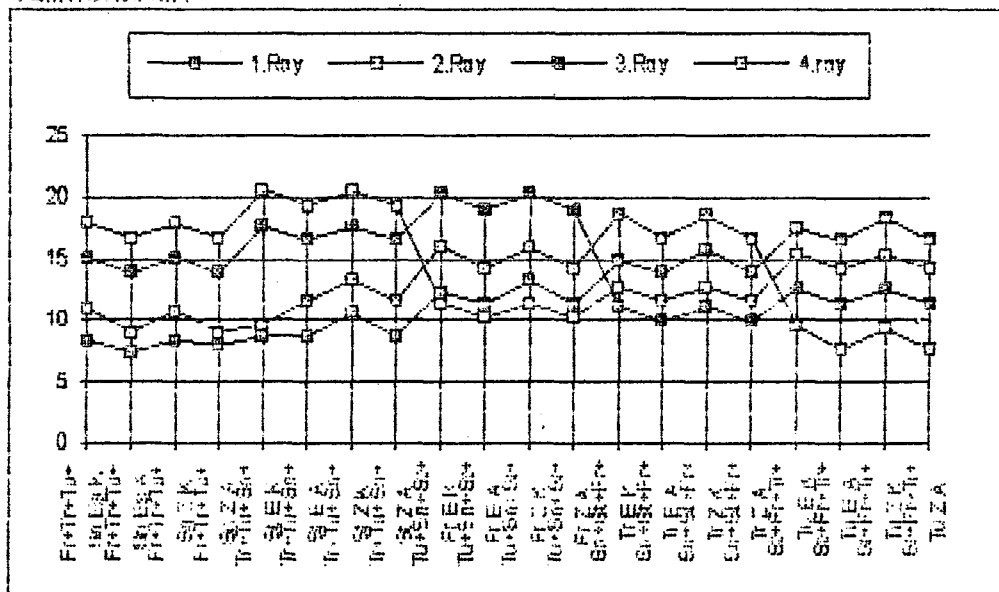
Şekil : 5.61. Dört yatırım raylı E 32 incelikli makinalarda kumaş ağırlığının yatırım raylarına göre dağılımının % cinsinden dağılımı.

5.1.3.2.3. Örtme faktörü değerlerinin karşılaştırılması :

Örtme faktörü değerleri , birim ilmek için harcanan iplik uzunluğu , iplik numarası (kalınlığı) , incelik ve sıra sıklığına bağlı değerdir. Bu çalışmada sırasıklığı ve iplik numarası , kalınlığı sabit tutulduğundan örtme faktörü değerinin değişimi tamamen rack değerine bağlıdır. Dolayısıyla Şekil 5.62 , Şekil 5.57 ve 5.60 ile tamamen aynı olmaktadır.Verilen değerlere göre en yüksek örtme faktörü değerini 4. yatırım rayında örülen eş yatırımlı Samt ilmeği , en düşük örtme faktörünü ise 1. yatırım rayında örülen Franse ilmeği vermektedir.

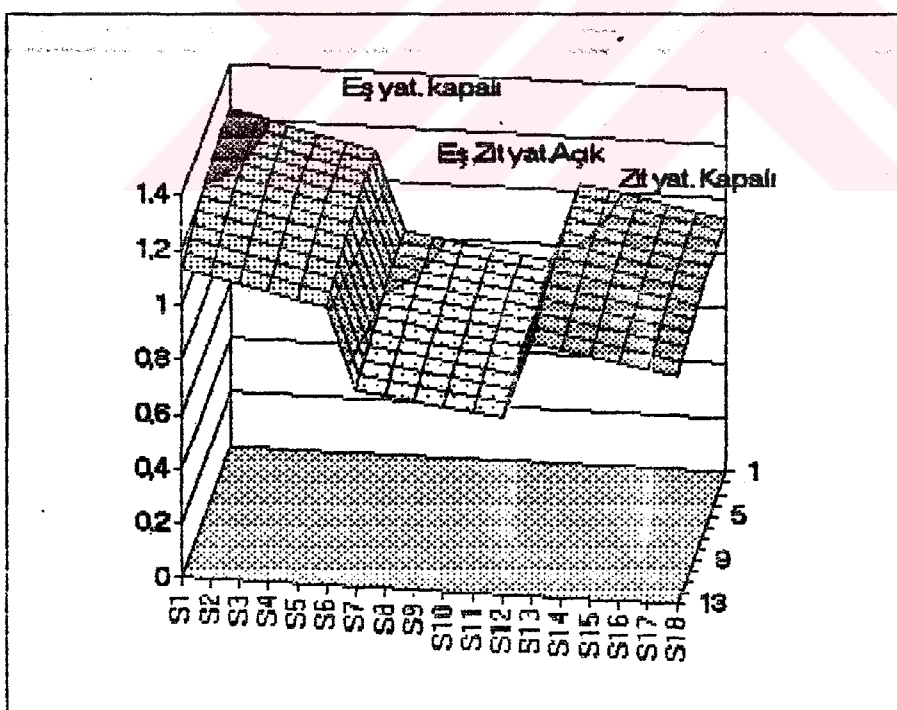
Eş yatırımlı kapalı ilmeklerle örülen kumaşların örtme faktörleri en yüksek

değerleri verirken, en düşük değerler ise açık ilmeklerle örülen kumaslarda elde edilmektedir.



Şekil : 5.62. Dört yatırım raylı E 32 incelikli makinalarda kumaş örtme faktörü değerleri.

5.1.3.2.4. Kumaş kalınlığı :



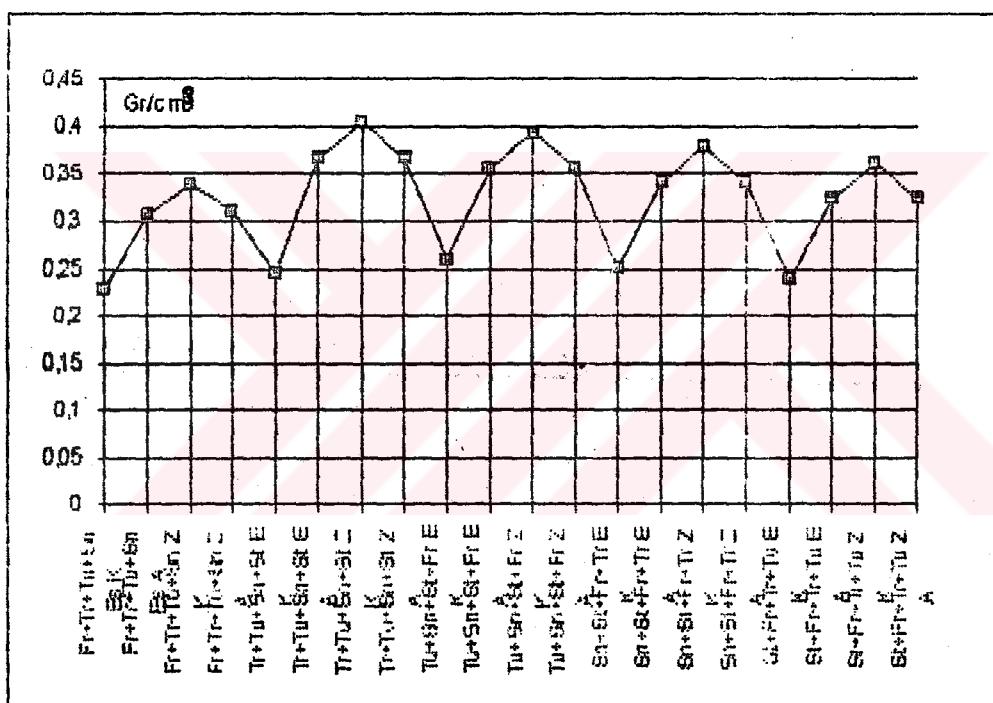
Şekil.5.63. Dört yatırım raylı makinalarda örülen eş yatırımlı kapalı, zıt yatırımlı kapalı ve eş-zıt yatırımlı açık ilmekli kumaş kalınlığı.

Şekil .5.63'de dört yatırım rayında örtülen kumaşların kalınlıkları
görselmektedir S1-S6 arasındaki değerler eş yatırımlı kapalı imeklerde örtülen

kumaşların kalınlığının, iplik kesitinde %0 -10 arasında küçülmesine ve bağlantı noktasındaki ipliklerin pozisyonlarının birbirleri ile 0-60° arasında değişimlerine göre kumaş kalınlığının değişimini göstermektedir. S7-S12 arasındaki değerler eş veya zıt yatırımlı açık ilmeklerden oluşmuş kumaş kalınlığının değişimini, S12-S18 arasındaki değerler ise zıt yatırımlı kapalı ilmeklerle örülmüş kumaşların kalınlığının değişimini göstermektedir.

5.1.3.2.5. Yoğunluk değerlerinin karşılaştırılması :

Şekil 5.64'de görülen yoğunluk değerlerine göre eş yatırımlı kapalı ilmekle örülen kumaşların yoğunluk değerleri en düşük değerleri vermektedir. Zıt yatırımlı kapalı ilmeklerle örülen kumaşlar, eş yatırımlı ilmeklerle örülen kumaşlara göre daha yüksek yoğunluk değerleri vermektedir. En yüksek yoğunluk değerlerini ise açık ilmeklerle örülen kumaşlar vermektedir.



Şekil : 5.64. Dört yatırım raylı E 32 incelikli makinalarda örülen kumaşların yoğunluk değerleri.

5.1.3.3. E 40 incelikli makinalarda örülen kumaşların karşılaştırılması.

Çizelge.5.10. Dört yatırım raylı makinalarda örülen kumaşların Rack, ağırlık ve örtme faktörü değerleri.

	1.Ray	1.Ray	1.Ray	2.Ray	2.Ray	2.Ray	3.Ray	3.Ray	3.Ray	4.Ray	4.Ray	4.Ray
	Rack	m ² gr	Ört.Fak	Rack	m ² gr	Ört.Fak	Rack	m ² gr	Ört.Fak	Rack	m ² gr	Ört.Fak
Fr+Tr+Tu+Sn Eş K	141,38	56,107	10,47	184,12	73,07	13,035	252,88	100,27	18,712	300,13	119,11	22,23
Fr+Tr+Tu+Sn Eş A	124,29	49,323	9,2042	151,52	80,13	11,221	232,71	92,349	17,233	280,17	111,19	20,75
Fr+Tr+Tu+Sn Z K	141,38	56,107	10,47	180,05	71,89	13,379	252,06	100,27	18,712	298,75	110,50	22,12
Fr+Tr+Tu+Sn Z A	133,78	53,083	9,908	151,52	80,13	11,221	232,71	92,349	17,233	280,17	111,19	20,75
Tr+Tu+Sn+St E K	148,94	58,313	10,882	163,55	84,9	12,112	295,19	117,15	21,861	342,87	135,90	25,38
Tr+Tu+Sn+St E A	146,58	58,172	10,856	184	76,99	14,357	275,23	109,23	20,383	322,71	128,07	23,9
Tr+Tu+Sn+St Z K	178,46	70,818	13,216	223,13	88,55	18,624	295,19	117,15	21,961	341,29	135,44	25,27
Tr+Tu+Sn+St Z A	146,58	58,172	10,856	194	76,99	14,357	275,23	109,23	20,383	322,71	128,07	23,9
Tu+Sn+St+Fr E K	208,18	81,913	15,287	269,12	108,9	19,031	337,73	134,03	25,011	192,93	78,523	14,20
Tu+Sn+St+Fr E A	189,06	75,028	14,001	238,53	93,87	17,516	317,77	126,11	23,533	172,87	68,802	12,8
Tu+Sn+St+Fr Z K	220,98	87,899	16,384	285,06	105,4	19,874	337,73	134,03	25,011	191,44	75,976	14,18
Tu+Sn+St+Fr Z A	189,06	75,028	14,001	238,53	93,87	17,516	317,77	126,11	23,533	172,87	68,802	12,8
Sn+St+Fr+Tr E K	248,89	98,30	19,417	311,86	123,7	23,081	367,99	74,584	13,915	215,13	85,372	15,03
Sn+St+Fr+Tr E A	231,59	91,908	17,151	279,08	110,7	20,887	167,93	66,843	12,438	195,17	77,452	14,45
Sn+St+Fr+Tr Z K	263,49	104,57	19,513	309,19	122,3	22,924	167,99	74,584	13,915	213,74	84,924	15,93
Sn+St+Fr+Tr Z A	231,59	91,908	17,151	279,08	110,7	20,887	167,93	66,843	12,438	195,17	77,452	14,45
St+Fr+Tr+Tu E K	281,22	115,57	21,587	161,82	84,22	11,984	210,19	63,413	15,500	257,8	102,23	19,08
St+Fr+Tr+Tu E A	274,13	108,79	20,301	129,22	51,28	9,5898	190,23	75,492	14,088	237,84	94,308	17,8
St+Fr+Tr+Tu Z K	308,03	121,45	22,084	159,35	62,84	11,727	210,19	63,413	15,500	256,22	101,09	19,97
St+Fr+Tr+Tu Z A	274,13	108,79	20,301	129,22	51,28	9,5898	190,23	75,492	14,088	237,84	94,308	17,8

5.1.3.3.1. Rack değerleri.

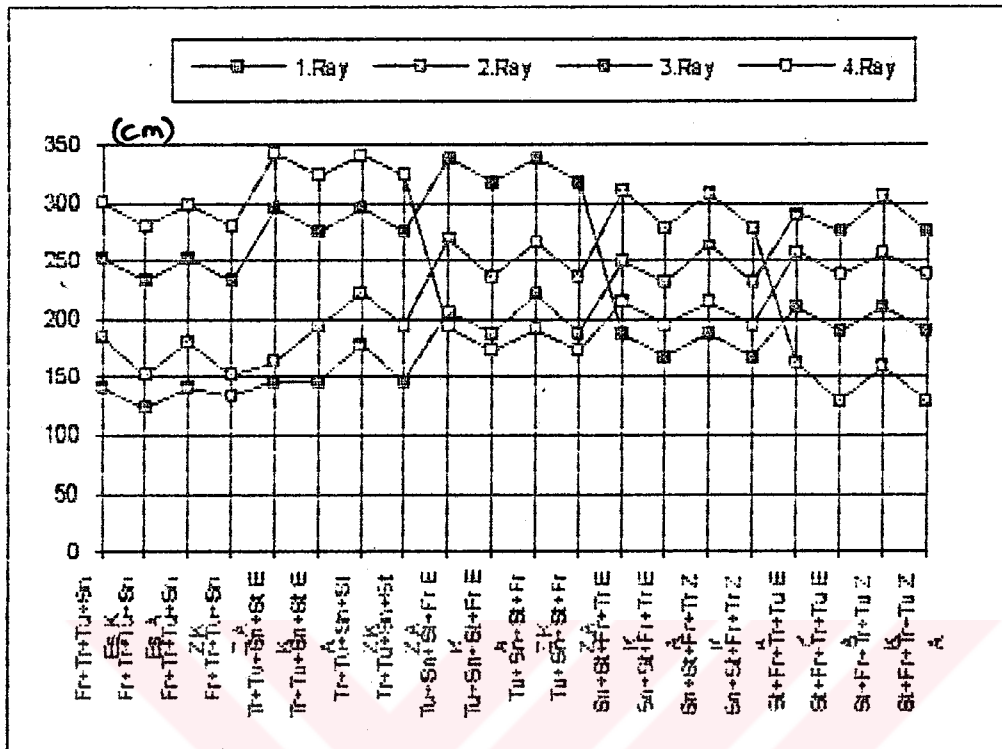
Şekil 5.65'de dört yatırım raylı makinalarda örülmüş çeşitli kumaşların her yatırım rayındaki rack değerleri gösterilmiştir. Şekildeki duruma göre en düşük rack değeri küçükten büyüğe doğru Franse , Triko , Tuch , Satin , Samt ilmekleridir. Aynı ilmeklerin değişik yatırım raylarındaki rack değerleri değişiktilir. En küçük rack değeri ilk yatırım rayında elde edilmiştir. Sırasıyla küçükten büyüğe doğru 1.Yatırım Rayı< 2.Yatırım Rayı<3.Yatırım Rayı<4.Yatırım Rayı rack değerleri elde edilmektedir.

En küçük rack değerini 1. yatırım rayındaki açık Franse ilmeği verirken , en büyük rack değerini ise 4. yatırım rayındaki Samt ilmeği vermektedir. Her yatırım rayında eş yatırım ilmeklerinin rack değerleri , zıt yatırım ilmeklerinin Rack değerlerinden daha yüksek çıkmaktadır.

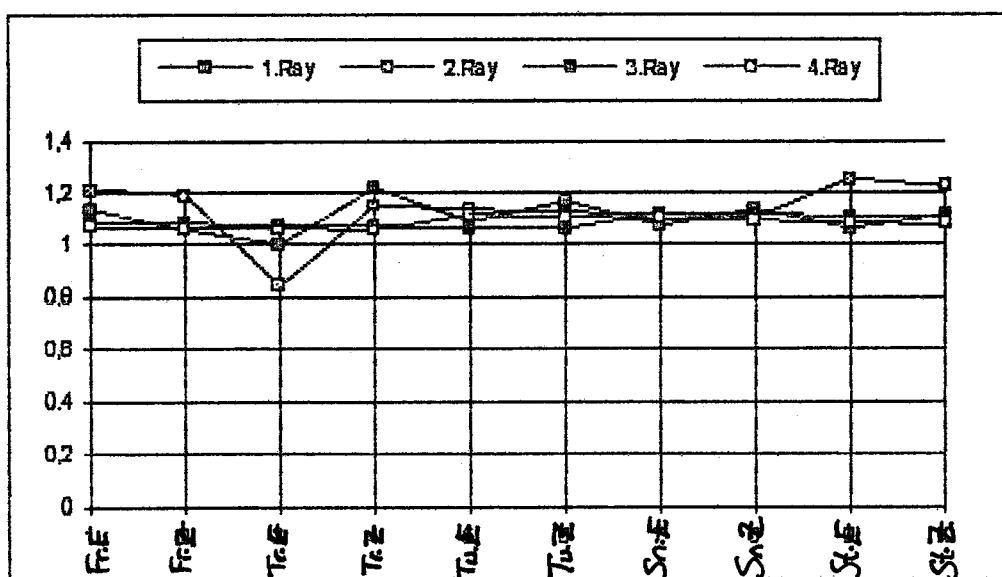
Şekil 5.66'da görüldüğü gibi , kapalı ilmeklerin rack değerleri , açık ilmeklerin rack değerlerinden daha yüksektir. Her yatırım rayındaki aynı tür ilmeklerin (kapalı ilmek / açık ilmek) oranları 1- 1,2 arasında değişmektedir. Üçüncü ve dördüncü yatırım raylarının rack değerleri daha yüksek olduğundan kapalı ve açık ilmekler arasındaki uzunluk farkının ilmek boyalarına oranı daha düşük çıkmaktadır.

Şekil 5.67'de farklı yatırım raylarında elde edilen aynı tür ilmeklerin uzunlukları oranı gösterilmiştir. Uzunluk oranı değerleri 0,6 - 1 arasında değişmektedir. Bütün orantılar en fazla 0,85 - 0,95 arasında değişmektedir. Genel olarak her yatırım rayı ,

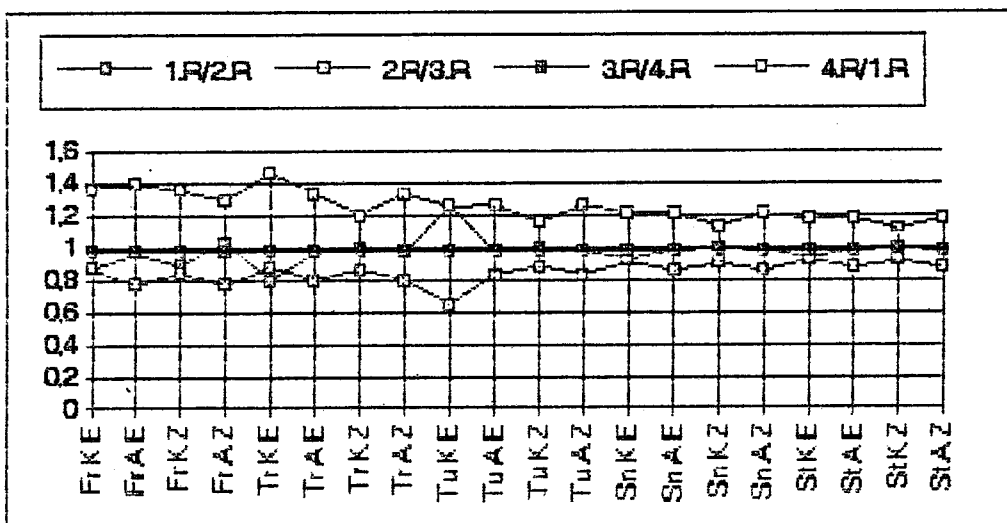
bir sonraki yatırım rayında örülən aynı tip ilmek için harcanan iplığın %85-95'i civarında iplik harcamaktadır.



Şekil .5.65. Dört yatırım raylı E40 incelıklı makinalarda örülən çeşitli kumaşların Rack değerleri.



Şekil .5.66. Aynı yatırım rayında örülən aynı tip ilmeklerin kapalı / açık oranları.

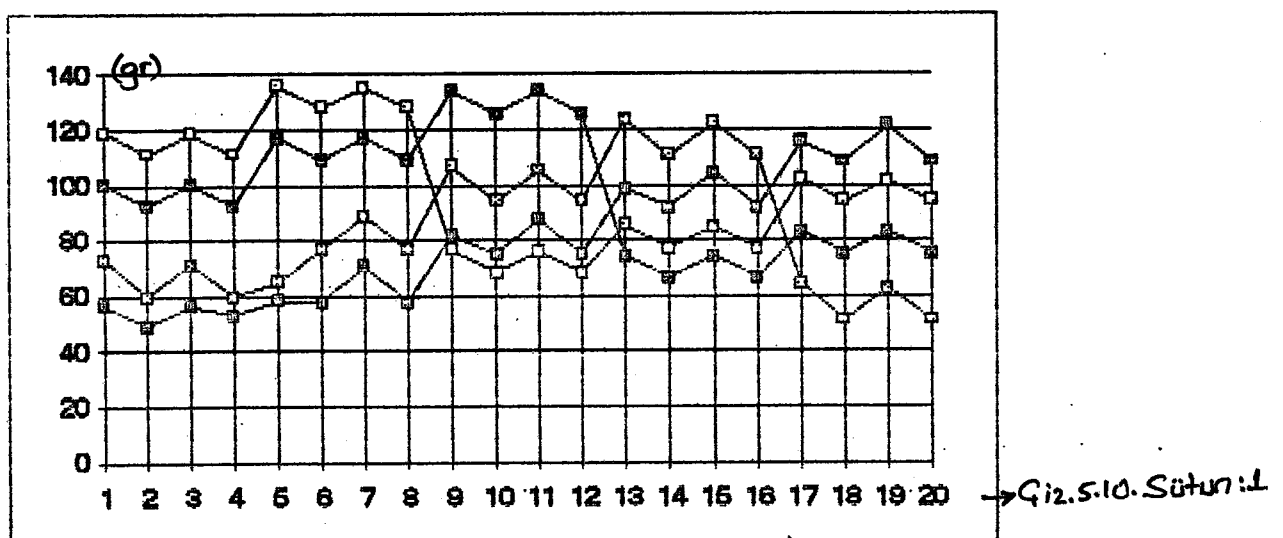


Şekil.5.67. Farklı yatırım raylarında örülen aynı tip ilmeklerin Rack değerleri oranı.

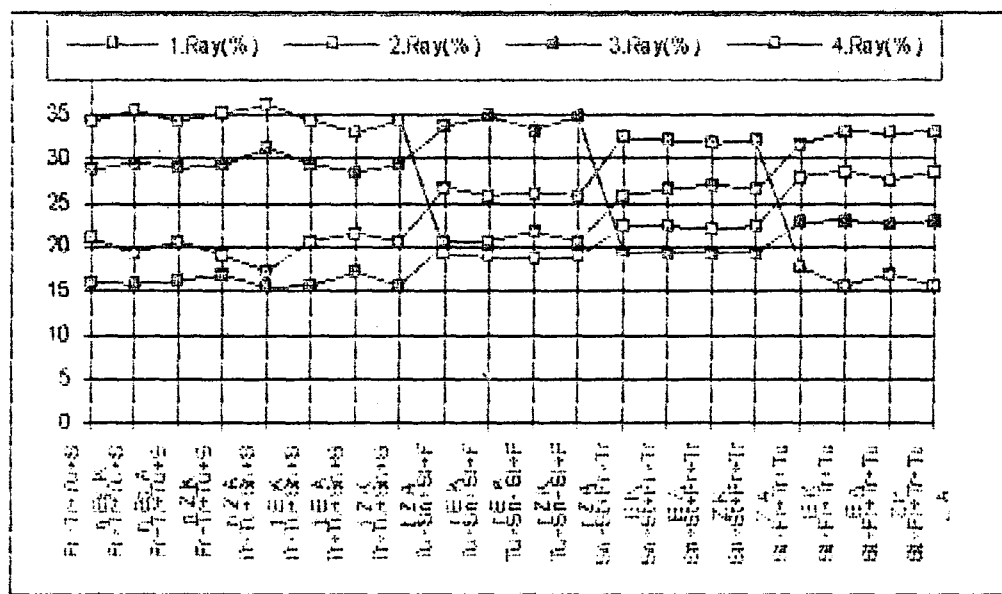
5.1.3.3.2. Ağırlık değerlerinin karşılaştırılması :

İmeklerin rack değerlerine bağlı olarak her yatırım rayında farklı miktarlarda ipiçik harcandığından , her yatırım rayı kumaş ağırlığının belirli bir kısmını oluşturur.Ağırlık olarak en az ipiçili ilk yatırım rayı harcarken en fazla ipiçik ağırlığını dördüncü yatırım rayı harcamaktadır.Birbirini takip eden her iki yatırım rayında örülen aynı tip iki ilmekten , sonraki yatırım rayında örülen ilmekler önceki yatırım rayında örülen ilmeklerden kumaşın bir m² 'si başına yaklaşık olarak 7-8 gr daha fazla ipiçik harcamaktadır.

Şekil 5.69'da kumaş ağırlığının yatırım raylarına dağılmının % değerleri verilmiştir.Verilen değerlerde raylara göre dağılım %15 ile %35 arasında değişmektedir.Bu değerler yatırım raylarında örülen ilmeklerin tipine göre değişmektedir.Franse ilmeğli için bu dağılım yatırım rayına göre %16-19 , Triko ilmeğli için %18 -23 , Tuch ilmeğli için %23-28 , Satin ilmeğli için % 27-33 ve Samt ilmeğli için % 32-37 arasında değişmektedir.Verilen aralıklardaki alt ve üst değerleri ise ilmeğin örtülü olduğu yatırım rayı , ilmeğin yatırım durumu ve açık , kapalı ilmek olması durumu belirlemektedir.



Şekil.5.68: Dört yatırım raylı E40 incelikli makinalarda örülen kumaşların raylara göre ağırlık değerleri

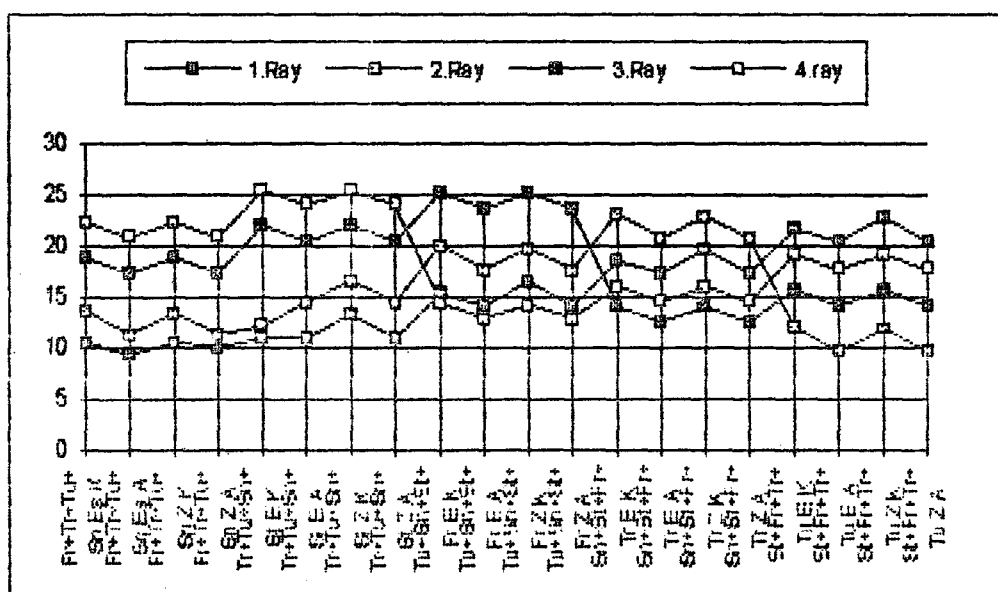


Şekil : 5.69. Dört yatırım raylı E 40 incelikli makinalarda kumaş ağırlığının yatırım raylarına göre dağılımının % cinsinden dağılımı.

5.1.3.3.3. Örtme faktörü değerlerinin karşılaştırılması :

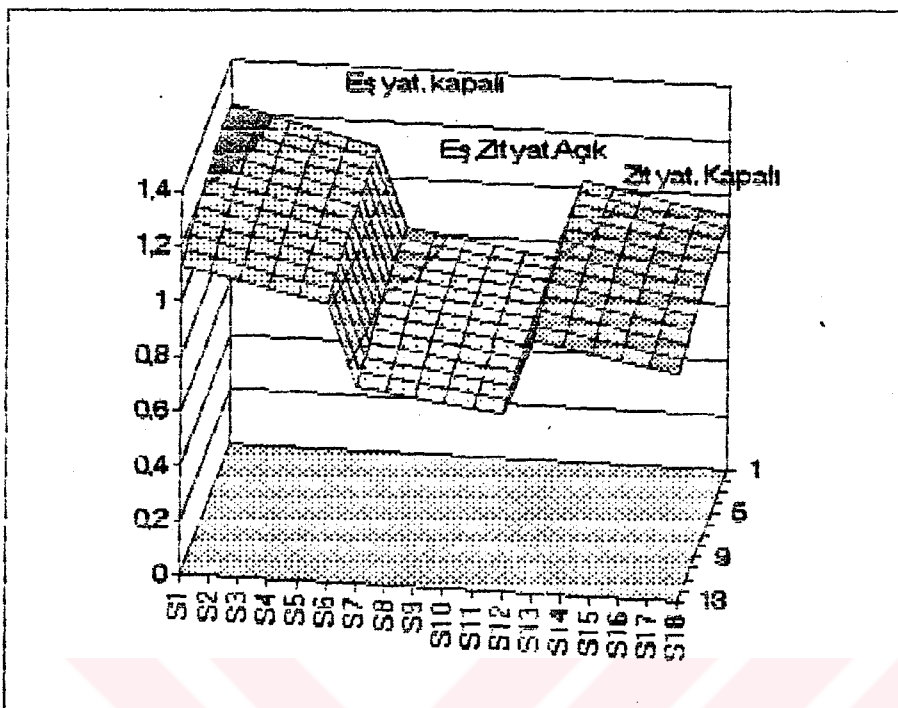
Örtme faktörü değerleri , birim ilmek için harcanan İplik uzunluğu , İplik numarası (kalınlığı) , İncelek ve sıra sıklığına bağlı değildir. Bu çalışmada sırasıyla İplik numarası , kalınlığı sabit tutulduğundan örtme faktörü değerinin değişimi tamamen rakk değerine bağlıdır. Dolayısıyla Şekil 5.70 , Şekil 5.68 ve 5.69 ile aynı olmaktadır. Verilen degenere göre en yüksek örtme faktörü değerini 4. yatırım rayında görülen eş yatırımlı Samt İlmeğl , en düşük örtme faktörünü ise 1. yatırım rayında görülen Franse İlmeğl vermektedir.

Eş yarımılı kapalı ilmeklerle örülən kumaşların örtme faktörleri en yüksek değerleri verirken, en düşük değerler ise açık ilmeklerle örülən kumaşlarda elde edilmektedir.



Şekil : 5.70. Dört yatırım raylı E 40 incelikli makinalarda kumaş örtme faktörü değerleri.

5.1.3.3.4. Kumaş kalınlığı :

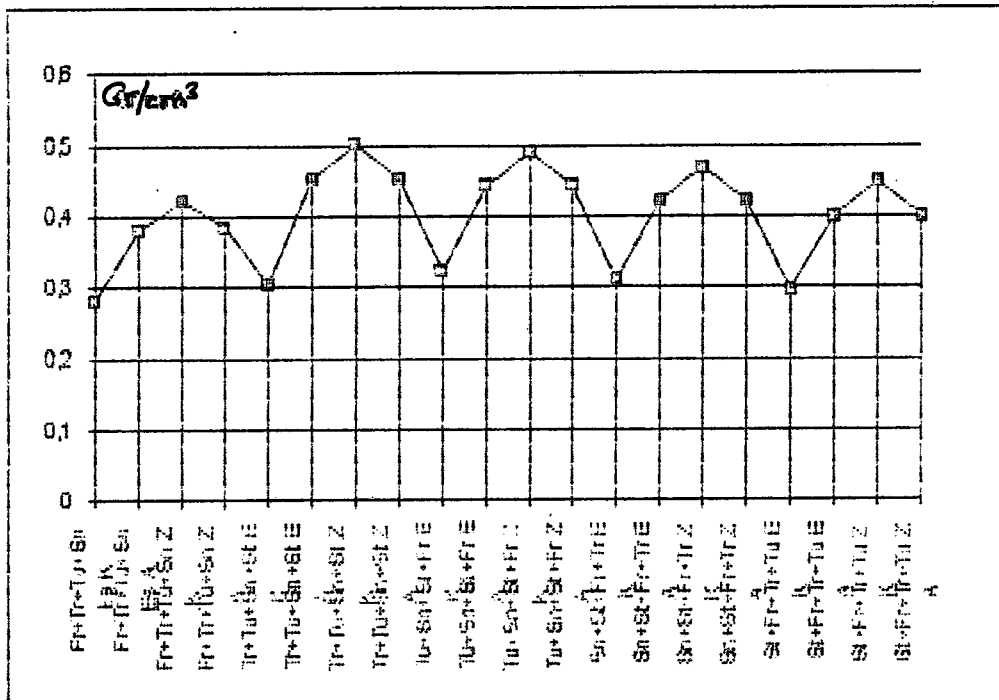


Şekil.5.71. Dört yatırım raylı makinalarda örülen eş yatırımı kapalı, zıt yatırımı kapalı ve eş-zıt yatırımı açık ilmekli kumaş kalınlığı.

Şekil .5.71'de dört yatırım rayında örülen kumaşların kalınlıkları görülmektedir.S1-S6 arasındaki değerler eş yatırımı kapalı ilmeklerle örülen kumaşların kalınlığının , İpilk kesitinde %0 -10 arasında küçülmesine ve bağlantı noktasındaki ipilklerin pozisyonlarının birbirleri ile 0-60° arasında değişimlerine göre kumaş kalınlığının değişimini göstermektedir.S7-S12 arasındaki değerler eş veya zıt yatırımı açık ilmeklerden oluşmuş kumaş kalınlığının değişimini , S12-S18 arasındaki değerler ise zıt yatırımı kapalı ilmeklerle örülmüş kumaşların kalınlığının değişimini göstermektedir.

5.1.3.3.5. Yoğunluk değerlerinin karşılaştırılması :

Şekil 5.72'de görülen yoğunluk değerlerine göre eş yatırımı kapalı ilmekde örülen kumaşların yoğunluk değerleri en düşük değerleri vermektedir.Zityatırımı kapalı ilmeklerle örülen kumaşlar , eş yatırımı ilmeklerle örülen kumaşlara göre daha yüksek yoğunluk değerleri vermektedir.En yüksek yoğunluk değerlerini ise açık ilmeklerle örülen kumaşlar vermektedir.



Şekil : 5.72. Dört yatırım raylı E 40 incekkili makinalarda görülen kumaşların yoğunluk değerleri.

5.1.4. İki yatırım raylı ve üç yatırım raylı makinada ördülen kumaşların karşılaştırılması .

Çizelge . 5.11: İki ve Üç yatırım raylı E29 incelikli makinalarda ördülen kumaş özelliklerinin karşılaştırılması.

E29			Rack oranı	Ağırlık oranı	Örtme fakt.
2R1/3R1	2R2/3R2	2R1/3R3	2R Top/4RTop	2R / 4R	2R /4R
0,78	0,97	0,55	0,53	0,58	0,58
0,72	0,98	0,49	0,51	0,54	0,54
0,78	1,09	0,57	0,55	0,58	0,58
0,72	0,99	0,49	0,51	0,54	0,54
0,99	1,14	0,64	0,64	0,69	0,67
0,99	1,15	0,60	0,64	0,68	0,67
0,99	1,28	0,68	0,67	0,70	0,69
0,98	1,18	0,60	0,64	0,68	0,67
1,18	1,29	0,80	0,74	0,79	0,77
1,18	1,30	0,78	0,75	0,78	0,78
1,18	1,37	0,92	0,78	0,90	0,79
1,18	1,30	0,78	0,75	0,78	0,78
1,29	1,35	1,56	0,96	1,02	1,00
1,32	1,38	1,88	1,01	1,08	1,05
1,29	1,48	1,63	1,00	1,06	1,04
1,32	1,39	1,88	1,01	1,06	1,05
1,39	0,79	1,84	0,79	0,83	0,82
1,43	0,78	1,98	0,81	0,85	0,84
1,39	0,88	1,92	0,82	0,87	0,86
1,43	0,78	1,98	0,81	0,85	0,84

Çizelge . 5.12: İki ve Üç yatırım raylı E32 incelikli makinalarda ördülen kumaş özelliklerinin karşılaştırılması.

E32			Rack oranı	Ağırlık oranı	Örtme fakt.
2R1/3R1	2R2/3R2	2R1/3R3	2R Top/2RTop	2R / 4R	2R /4R
0,78	0,84	0,55	0,53	0,55	0,54
0,72	0,84	0,49	0,50	0,52	0,52
0,78	1,08	0,58	0,54	0,57	0,58
0,72	0,94	0,48	0,50	0,52	0,52
0,95	1,08	0,62	0,61	0,64	0,63
0,93	1,10	0,57	0,61	0,64	0,63
0,95	1,20	0,84	0,84	0,88	0,88
0,93	1,10	0,57	0,61	0,64	0,63
1,10	1,19	0,78	0,70	0,73	0,72
1,11	1,22	0,73	0,70	0,74	0,72
1,10	1,30	0,78	0,72	0,75	0,74
1,11	1,22	0,73	0,70	0,74	0,72
1,21	1,27	1,46	0,80	0,94	0,93
1,24	1,30	1,53	0,94	0,99	0,97
1,21	1,37	1,53	0,94	0,98	0,97
1,24	1,30	1,53	0,94	0,99	0,97
1,30	0,79	1,71	0,75	0,78	0,77
1,33	0,76	1,83	0,77	0,80	0,79
1,30	0,88	1,79	0,78	0,82	0,81

Çizelge . 5.13: İki ve Üç yatırım raylı E40 incelikli makinalarda örtlen kumaş özelliklerinin karşılaştırılması.

E40			Rack ısmı	Ağırlık ımm	Örtme faktör
2R1/3R1	2R2/3R2	2R1/3R3	2R Top/4RTop	2R / 4R	2R / 4R
0,78	0,30	0,50	0,53	0,52	0,41
0,72	0,68	0,49	0,50	0,49	0,40
0,78	1,00	0,59	0,55	0,54	0,42
0,72	0,89	0,49	0,50	0,49	0,40
0,80	1,00	0,58	0,59	0,58	0,40
0,87	1,01	0,54	0,58	0,57	0,48
1,00	1,11	0,61	0,61	0,60	0,49
0,57	1,01	0,54	0,50	0,57	0,48
1,02	1,08	0,71	0,66	0,65	0,50
1,01	1,10	0,57	0,56	0,65	0,51
1,02	1,18	0,72	0,69	0,67	0,52
1,01	1,10	0,57	0,56	0,65	0,51
1,10	1,15	1,31	0,94	0,93	0,39
1,11	1,17	1,36	0,88	0,85	0,71
1,10	1,24	1,27	0,97	0,96	0,72
1,11	1,17	1,38	0,88	0,85	0,71
1,17	0,79	1,53	0,72	0,71	0,39
1,18	0,78	1,62	0,73	0,71	0,38
1,17	0,89	1,60	0,75	0,74	0,39
1,19	0,78	1,62	0,73	0,71	0,38

Çizelgelerde , E28 , 32 ve 40 incelikteki iki ve üç yatırım raylı makinalarda örtlen kumaşların rack değerleri , ağırlıkları ve örtme faktörleri karşılaştırılmıştır.

5.1.4.1.Rack değerleri : İki ve üç yatırım raylı makinanın rack değerleri birbirlerine oranlandığında iki yatırım raylı makinada örtlen ilmeklerin rack değerlerinin , üç yatırım raylı makinada örtlen ilmeklerin %670 - 120 ' si arasında uzunluğa sahip oldukları görülmektedir. En yüksek oranı veren ilmek franse ilmeğidir. En düşük değeri Samt ilmeği vermektedir. İki ve üç yatırım raylı makinalarda örtlen ilmek modellerinden görülebileceği gibi (Şekil.4.1 - 4.7) iki yatırım raylı makinada örtlen ilmeğin içinden 4 adet iplik geçerken üç yatırım raylı makinada örtlen ilmek içinden 6 adet iplik geçmektedir. Bu durumun , üç yatırım rayında örtlen ilmeğin daha fazla iplik harcamasına neden olması gerekirken iki yatırım raylı makinalarda örtlen ilmekler daha uzun olabilmektedir..Bütün rack değerlerinin toplamlarının oranları ise %57-85 arasında değişmektedir. Aradaki fark ray sayılarının eşit olmamasından kaynaklanmaktadır.

5.1.4.2.Ağırlık :Kumaş ağırlıkları karşılaştırıldığında iki yatırım raylı makinalarda örtlen kumaş ağırlığının , üç yatırım rayında örtlen kumaşların yaklaşık olarak %40-70 ' i civarında olduğu görülmektedir.

5.1.4.3.Örtme faktörü : Örtme faktörü değeri , ağırlık değerine benzer olarak ilmeklerin rack değerlerine doğrudan bağlı olduğundan , örtme faktörlerinin oranları ağırlık değerlerinin oranları ile aynı değerleri vermektedir.

5.1.4.4. Kumaş kalınlığı : Kumaş kalınlığı , iki yatırım raylı makinalarda , üç yatırım raylı makinalara göre Sekil .5.23 ve Sekil .5.31 ' den dördülebileceği gibi daha

düşüktür. İki yatırım raylı makinalarda kumaş kalınlığı 0,35 - 0,61 mm arasında değişirken üç yatırım raylı makinalarda 0,62 - 1,15 mm arasında değişebilmektedir.

5.1.4.5. Kumas yoğunluğu :İki ve Üç yatırım raylı makinalarda örülen kumaşların makelimum ve minimum yoğunluk değerleri ;

İki yatırım raylı :

E28 : 0,12 - 0,35 Gr/cm³

E 32 : 0,13 - 0,37

E 40 : 0,15 - 0,40

Üç yatırım raylı :

E 28 : 0,12 - 0,23 gr/cm³

E 32 : 0,14 - 0,25

E 40 : 0,17 - 0,32

Bu verilere göre İki yatırım raylı makinalarda örülmüş kumaşların özgül ağırlıkları daha yüksektir.Bu durum kumaş kalınlıklarından kaynaklanmaktadır.Uç yatırım raylı kumaşların kalınlıkları , İki yatırım raylı kumaşların kalınlıklarının yaklaşık olarak İki katı olmasına rağmen kumaş ağırlığı aynı oranda fazla olmadığından Üç yatırım rayında örülmüş kumaşların özgül ağırlıkları daha düşük çıkmaktadır.

5.1.5. İki yatırım raylı ve dört yatırım raylı makinada örülen kumaşların karşılaştırılması .

Çizelge . 5.14: İki ve Dört yatırım raylı E28 incilikli makinalarda örülen kumaş özelliklerinin karşılaştırılması.

E28				Rack oranı	Ağırlık oranı	Örtme fakt.
2R1/4R1	2R2/4R2	2R1/4R4	2R2/4R4	2R Top/4RTop	2R / 4R	2R /4R
0,73	0,81	0,34	0,50	0,29	0,21	0,20
0,84	0,84	0,28	0,48	0,28	0,19	0,18
0,73	0,79	0,34	0,48	0,28	0,20	0,20
0,59	0,84	0,28	0,48	0,28	0,19	0,18
0,83	0,80	0,40	0,58	0,33	0,24	0,23
0,77	0,93	0,35	0,58	0,31	0,22	0,22
0,76	0,88	0,40	0,57	0,32	0,23	0,22
0,77	0,93	0,35	0,58	0,31	0,22	0,22
0,92	0,86	0,98	1,33	0,44	0,32	0,31
0,88	0,88	0,98	1,38	0,44	0,31	0,31
0,98	0,94	0,99	1,30	0,43	0,31	0,30
0,88	0,99	0,98	1,38	0,44	0,31	0,31
0,99	0,99	1,13	1,44	0,57	0,41	0,40
0,95	1,03	1,12	1,48	0,58	0,41	0,41
0,82	0,86	1,14	1,42	0,50	0,40	0,39
0,85	1,03	1,12	1,48	0,58	0,41	0,41
1,02	0,72	1,15	0,45	0,45	0,32	0,31
0,99	0,73	1,15	0,40	0,44	0,32	0,31
0,97	0,69	1,16	0,43	0,44	0,31	0,31
0,99	0,73	1,15	0,40	0,44	0,32	0,31

Çizelge . 5.15 İki ve Dört yatırım raylı E32 incelikli makinalarda örtülen kumas özelliklerinin karşılaştırılması.

E32				Rack oranı	Ağırlık oranı	Örtme fakt.
2R1/4R1	2R2/4R2	2R1/4R4	2R2/4R4	2R Top/4RTop	2R /4R	2R /4R
0,73	0,78	0,34	0,49	0,29	0,29	0,19
0,84	0,80	0,26	0,43	0,26	0,25	0,18
0,73	0,75	0,34	0,45	0,29	0,27	0,19
0,59	0,80	0,26	0,43	0,25	0,25	0,18
0,79	0,94	0,36	0,58	0,31	0,31	0,22
0,73	0,87	0,33	0,52	0,30	0,29	0,21
0,73	0,62	0,39	0,54	0,30	0,30	0,21
0,73	0,87	0,33	0,52	0,30	0,29	0,21
0,66	0,66	0,38	1,25	0,42	0,41	0,30
0,81	0,91	0,90	1,28	0,41	0,40	0,30
0,80	0,87	0,38	1,22	0,41	0,40	0,29
0,81	0,91	0,90	1,33	0,41	0,40	0,30
0,80	0,92	1,05	1,33	0,54	0,52	0,40
0,87	0,94	1,03	1,28	0,54	0,53	0,41
0,85	0,90	1,06	1,31	0,52	0,51	0,39
0,57	0,94	1,03	1,25	0,54	0,53	0,41
0,93	0,72	1,06	0,45	0,43	0,42	0,18
0,90	0,73	1,05	0,40	0,42	0,41	0,17
0,89	0,69	1,07	0,42	0,41	0,41	0,17
0,80	0,73	1,05	0,40	0,42	0,41	0,17

Çizelge . 5.16: İki ve Dört yatırım raylı E40 incelikli makinalarda örtülen kumas özelliklerinin karşılaştırılması.

E40				Rack oranı	Ağırlık oranı	Örtme fakt.
2R1/4R1	2R2/4R2	2R1/4R4	2R2/4R4	2R Top/4RTop	2R /4R	2R /4R
0,73	0,74	0,34	0,46	0,27	0,27	0,27
0,84	0,76	0,29	0,41	0,26	0,24	0,24
0,73	0,72	0,34	0,43	0,27	0,26	0,26
0,59	0,76	0,29	0,41	0,24	0,24	0,24
0,75	0,76	0,36	0,52	0,29	0,29	0,28
0,89	0,80	0,31	0,48	0,27	0,27	0,23
0,89	0,76	0,38	0,50	0,28	0,28	0,27
0,89	0,80	0,31	0,48	0,27	0,27	0,20
0,78	0,81	0,85	1,13	0,38	0,38	0,37
0,74	0,83	0,81	1,13	0,37	0,38	0,36
0,74	0,79	0,85	1,10	0,37	0,37	0,36
0,74	0,83	0,81	1,13	0,37	0,38	0,36
0,82	0,83	0,85	1,20	0,48	0,48	0,47
0,78	0,84	0,92	1,21	0,48	0,47	0,46
0,77	0,91	0,95	1,17	0,47	0,48	0,45
0,78	0,84	0,82	1,21	0,48	0,47	0,46
0,84	0,72	0,55	0,45	0,39	0,39	0,38
0,80	0,73	0,93	0,40	0,38	0,38	0,37
0,80	0,69	0,95	0,43	0,38	0,38	0,37
0,80	0,73	0,93	0,40	0,39	0,39	0,37

Çizelgelerde , E28 , 32 ve 40 incelikteki iki ve dört raylı makinalarda örtülen

kumaşların rack değerleri , ağırlıkları ve örtme faktörleri karşılaştırılmıştır.

5.1.5.1.Rack değerleri : iki ve dört yatırım raylı makinanın rack değerleri birbirlerine oranlandığında iki yatırım raylı makinada örülen ilmeklerin rack değerlerinin , dört yatırım raylı makinada örülen ilmeklerin %59 - 94 'ü arasında uzunluğa sahip oldukları görülmektedir. En yüksek oranı veren ilmek fransız ilmeğidir. En düşük değeri Samt ilmeği vermektedir. İki ve dört yatırım raylı makinalarda örülen ilmek modellerinden görülebileceği gibi (Şekil.4.1 - 4.12) iki yatırım raylı makinada örülen ilmeğin içinden 4 adet iplik geçerken dört yatırım raylı makinada örülen ilmek içinden 8 adet iplik geçmektedir. Bu durum dört yatırım rayında örülen ilmeğin daha fazla iplik harcamasına neden olmaktadır. Bütün rack değerlerinin topiamalarının oranları ise %24-48 arasında değişmektedir. Oranın bu kadar düşük olmasının nedeni ray sayılarının eşit olmamasıdır.

5.1.5.2.Ağırlık :Kumaş ağırlıkları karşılaştırıldığında iki yatırım raylı makinalarda örülen kumaş ağırlığının , dört yatırım rayında örülen kumaşların yakınsık olarak %24-48 'ı civarında oluşturduğu görülmektedir.

5.1.5.3.Örtme faktörü : Örtme faktörü değeri , ağırlık değerine benzer olarak ilmeklerin rack değerlerine doğrudan bağlı olduğundan , örtme faktörlerinin oranları ağırlık değerlerinin oranları ile aynı değerleri vermektedir.

5.1.5.4. Kumas kalınlığı : iki yatırım raylı makinalarda örülen kumaşların kalınlığı 0,35 - 0,61 mm arasında değişirken , dört yatırım rayında örülen kumaşların kalınlıkları 0,7 - 1,35 mm arasında değişmektedir. Genel olarak dört yatırım rayında örülen kumaş kalınlığı iki yatırım rayında örülen kumaşların iki katı değere sahiptir.

5.1.5.5. Kumas yoğunluğu : iki ve dört yatırım raylı makinalarda örülen kumaşların maksimum ve minimum yoğunluk değerleri ;

Iki yatırım raylı :

E28 : 0,12 - 0,35 Gr/cm³

E 32 : 0,13 - 0,37

E 40 : 0,15 - 0,40

Dört yatırım raylı :

E 28 : 0,2 - 0,36 gr/cm³

E 32 : 0,24 - 0,41

E 40 : 0,28 - 0,5

Bu verilere göre dört yatırım raylı makinalarda örülmüş kumaşların özgül ağırlıkları daha yüksektir. Dört yatırım raylı kumaşların kalınlıklarının daha yüksek olmasına rağmen yoğunluk değerlerinin daha yüksek olması kumaş ağırlıklarının iki raylı kumaş ağırlıklarının iki katından fazla olduğunu göstermektedir.

5.1.6. Üç yatırım raylı ve dört yatırım raylı makinada örülen kumaşların karşılaştırılması.

Çizelge . 5.17: Üç ve Dört yatırım raylı E28 incilikli makinalarda örülen kumaş özelliklerinin karşılaştırılması.

E28				Rack oranı	Ağırlık oranı	Örtme fakt.
3R1/4R1	3R2/4R2	3R3/4R3	3R1/4R4	3R Top/4RTop	3R / 4R	3R /4R
0,84	0,83	0,74	0,44	0,54	0,38	0,30
0,88	0,85	0,70	0,39	0,51	0,35	0,34
0,84	0,72	0,1	0,44	0,51	0,34	0,34
0,82	0,98	0,70	0,39	0,50	0,34	0,34
0,84	0,79	0,72	0,40	0,51	0,35	0,35
0,78	0,80	0,63	0,38	0,49	0,33	0,33
0,77	0,70	0,69	0,40	0,49	0,33	0,32
0,78	0,80	0,68	0,26	0,48	0,33	0,33
0,79	0,78	0,70	0,05	0,60	0,41	0,40
0,74	0,77	0,67	0,81	0,58	0,40	0,39
0,74	0,69	0,69	0,95	0,57	0,39	0,39
0,74	0,77	0,87	0,81	0,58	0,40	0,39
0,78	0,74	0,93	0,89	0,80	0,40	0,40
0,71	0,74	0,79	0,85	0,58	0,39	0,39
0,72	0,87	0,79	0,68	0,56	0,38	0,38
0,71	0,74	0,78	0,85	0,58	0,39	0,39
0,74	0,92	0,78	0,93	0,57	0,38	0,38
0,70	0,97	0,72	0,80	0,55	0,37	0,37
0,70	0,79	0,73	0,84	0,53	0,38	0,38
0,70	0,97	0,72	0,80	0,55	0,37	0,37

Çizelge . 5.18: Üç ve Dört yatırım raylı E32 incilikli makinalarda örülen kumaş özelliklerinin karşılaştırılması.

E32				Rack oranı	Ağırlık oranı	Örtme fakt.
3R1/4R1	3R2/4R2	3R3/4R3	3R1/4R4	3R Top/4RTop	3R / 4R	3R /4R
0,84	0,83	0,73	0,81	0,53	0,51	0,51
0,89	0,85	0,89	0,57	0,51	0,49	0,49
0,84	0,72	0,70	0,59	0,50	0,48	0,48
0,82	0,85	0,69	0,57	0,50	0,48	0,48
0,84	0,78	0,71	0,81	0,51	0,48	0,48
0,78	0,79	0,87	0,57	0,49	0,46	0,46
0,77	0,89	0,68	0,59	0,47	0,48	0,45
0,70	0,79	0,87	0,57	0,48	0,46	0,46
0,78	0,75	0,89	1,22	0,59	0,57	0,57
0,73	0,75	0,88	1,22	0,57	0,56	0,56
0,73	0,87	0,87	1,19	0,58	0,54	0,54
0,73	0,75	0,88	1,22	0,57	0,56	0,56
0,75	0,72	0,83	0,72	0,59	0,57	0,56
0,70	0,72	0,79	0,87	0,57	0,55	0,55
0,70	0,88	0,79	0,69	0,55	0,53	0,53
0,70	0,72	0,79	0,87	0,57	0,56	0,56
0,72	0,92	0,78	0,82	0,58	0,54	0,54
0,88	0,97	0,72	0,57	0,54	0,52	0,52
0,88	0,79	0,73	0,80	0,52	0,51	0,50
0,88	0,97	0,72	0,57	0,54	0,52	0,52

Çizelge . 5.19: Üç ve Dört yatırım raylı E40 incilikli makinalarda örülen kumaş özelliklerinin karşılaştırılması.

E40				Rack oranı	Ağırlık oranı	Örtme İsk.
3R1/4R	3P2/4P2	3R3/4R3	3R1/4R4	3R Top/4RTop	3R / 4R	3R / 4R
0,84	0,83	0,73	0,44	0,53	0,52	0,51
0,99	0,95	0,89	0,39	0,51	0,49	0,49
0,94	0,71	0,70	0,44	0,50	0,49	0,48
0,82	0,85	0,89	0,39	0,50	0,49	0,48
0,84	0,78	0,70	0,40	0,51	0,49	0,49
0,77	0,79	0,87	0,35	0,49	0,46	0,46
0,77	0,89	0,88	0,40	0,47	0,46	0,45
0,77	0,79	0,87	0,35	0,49	0,46	0,46
0,78	0,74	0,89	0,83	0,59	0,57	0,57
0,73	0,75	0,88	0,80	0,57	0,55	0,55
0,73	0,87	0,87	0,84	0,55	0,54	0,53
0,73	0,76	0,88	0,80	0,57	0,56	0,56
0,74	0,72	0,83	0,86	0,59	0,57	0,56
0,70	0,72	0,79	0,83	0,57	0,56	0,54
0,70	0,85	0,79	0,86	0,55	0,53	0,53
0,70	0,72	0,79	0,93	0,57	0,55	0,54
0,72	0,82	0,78	0,81	0,58	0,54	0,54
0,89	0,97	0,72	0,79	0,54	0,52	0,52
0,88	0,79	0,73	0,82	0,52	0,51	0,50
0,88	0,97	0,72	0,78	0,54	0,52	0,52

Çizelgelerde , E28 , 32 ve 40 incelikteki Üç ve dört raylı makinalarda örülen kumaşların rack değerleri , ağırlıkları ve örtme faktörleri karşılaştırılmıştır.

5.1.6.1.Rack değerleri : Üç ve dört yatırım raylı makinanın rack değerleri birbirlerine oranlandığında Üç yatırım raylı makinada örülen ilmeklerin rack değerlerinin , dört yatırım raylı makinada örülen ilmeklerin %67 - 94 ' u arasında uzunluğa sahip oldukları görülmektedir.Eh yüksek oranı veren ilmek fransız ilmeğidir.Eh düşük değeri Samit ilmeği vermektedir.Uç ve dört yatırım raylı makinalarda örülen ilmek modellerinden görülebileceği gibi (Şekil.4.7 - 4.12) Üç yatırım raylı makinada örülen ilmeğin içinden 6 adet İplik geçerken dört yatırım raylı makinada örülen ilmek içinden 8 adet İplik geçmektedir.Bu durum dört yatırım rayında örülen ilmeğin daha fazla İplik harcamasına neden olmaktadır.Bütün rack değerlerinin toplamlarının oranları ise %48 -57 arasında değişmektedir. Oranın bu kadar düşük olmasının nedeni ray sayılarının eşit olmamasıdır.

5.1.6.2.Ağırlık :Kumaş ağırlıkları karşılaştırıldığında Üç yatırım raylı makinalarda örülen kumaş ağırlığının , dört yatırım rayında örülen kumaşların yaklaşıklık olarak %50 'si civarında oluşturduğu görülmektedir.

5.1.6.3.Örtme faktörü : Örtme faktörü değeri , ağırlık değerine benzer olarak ilmeklerin rack değerlerine doğrudan bağlı olduğundan , örtme faktörlerinin oranları ağırlık değerlerinin oranları ile aynı değerleri vermektedir.

5.1.6.4. Kumas kalınlığı : Üç yatırıım raylı kumaşların kalınlığı 0,62 -1,15 mm arasında değişirken , dört yatırıım raylı kumaşların kalınlıkları 0,7 - 1,35 mm arasında değişir.

5.1.6.5. Kumas yoğunluğu : Üç ve dört yatırıım raylı makinalarda örülen kumaşların maksimum ve minimum yoğunluk değerleri ;

Üç yatırıım raylı :

E28 : 0,12 - 0,23 Gr/cm³

E 32 : 0,14 - 0,25

E 40 : 0,17 - 0,32

Dört yatırıım raylı :

E 28 : 0,2 - 0,36 gr/cm³

E 32 : 0,24 - 0,41

E 40 : 0,28 - 0,5

Bu verilere göre Dört yatırıım raylı makinalarda örülmüş kumaşların özgül ağırlıkları daha yüksektir.Bu sonuç , dört yatırıım raylı makinalarda örülen kumaşların ağırlıklarının da , kalınlıklarıya orantılı olarak , üç yatırıım raylı kumaşlardan fazla olduğunu gösterir.

6.2. SONUÇ :

Çizelge.5.20 : İki , Üç , Dört yatırım raylı E 32 incilikli makinalarda örülülmüş kumaşların "track" değerleri.

	İKİ YATIRIM RAYLI		ÜÇ YATIRIM RAYLI			DÖRT YATIRIM RAYLI			
	1.RAY	2.RAY	1.RAY	2.RAY	3.RAY	1.RAY	2.RAY	3.RAY	4.RAY
Fr+Tr+Tu+Sn E K	102,8268	144,16	132,6084	152,9788	184,8683	141,38	185,42	255,28	304,05
Fr+Tr+Tu+Sn E A	79,15889	122,37	109,4735	129,9441	161,6485	124,29	152,82	235,32	284,09
Fr+Tr+Tu+Sn Z K	102,9268	138,84	127,6721	148,4908	178,8121	141,38	181,95	255,28	302,87
Fr+Tr+Tu+Sn Z A	79,15889	122,37	109,4735	129,8441	161,6485	133,76	152,82	235,32	284,09
Tr+Tu+Sn+St E K	130,6354	192,08	137,477	177,8747	208,7468	148,94	183,55	299,11	347,89
Tr+Tu+Sn+St E A	106,8675	170,29	114,3411	154,5389	186,5271	147,89	196,61	279,15	327,93
Tr+Tu+Sn+St Z K	130,6354	184,88	137,477	174,4155	203,5288	179,76	225,74	299,11	346,51
Tr+Tu+Sn+St Z A	106,8675	170,29	114,3411	154,5389	186,5271	147,89	196,61	279,15	327,93
Tu+Sn+St+Fr E K	178,5527	240,04	162,1718	202,5533	234,6478	208,77	273,04	342,96	392,83
Tu+Sn+St+Fr E A	154,7848	218,25	139,036	179,4175	211,428	191,67	240,44	323	372,87
Tu+Sn+St+Fr Z K	178,5527	232,82	162,1718	199,3322	228,4455	223,57	269,57	342,96	391,44
Tu+Sn+St+Fr Z A	154,7848	218,25	139,036	179,4175	211,428	191,67	240,44	323	372,87
Sn+St+Fr+Tr E K	226,5124	288,01	187,0504	227,4542	155,3058	252,8	318,89	187,89	218,43
Sn+St+Fr+Tr E A	202,7445	266,22	163,9145	204,3184	139,097	235,51	284,29	167,93	196,47
Sn+St+Fr+Tr Z K	226,5124	288,01	187,0504	224,2489	148,5277	267,41	313,42	187,89	215,04
Sn+St+Fr+Tr Z A	202,7445	266,22	163,9145	204,3184	139,097	235,51	284,29	167,93	196,47
St+Fr+Tr+Tu E K	274,4801	118,45	211,9513	147,4211	180,1735	298,45	181,82	211,49	260,21
St+Fr+Tr+Tu E A	250,7122	94,66	188,8155	129,9137	143,9646	279,35	129,22	191,53	240,25
St+Fr+Tr+Tu Z K	274,4801	109,23	211,9513	140,085	153,6854	311,28	158,35	211,49	258,83
St+Fr+Tr+Tu Z A	250,7122	94,66	188,8155	129,9137	143,9646	279,35	129,22	191,53	240,25

Çizelge.5.21 : İki , Üç , Dört yatırım raylı E 32 incilikli makinalarda örülülmüş kumaşların m^2 ağırlık değerleri.

	İKİ YATIRIM RAYLI		ÜÇ YATIRIM RAYLI			DÖRT YATIRIM RAYLI			
	1.RAY	2.RAY	1.RAY	2.RAY	3.RAY	1.RAY	2.RAY	3.RAY	4.RAY
Fr+Tr+Tu+Sn E K	33,0188	48,24	40,72258	46,97808	56,77057	39,373	51,64	71,091	84,874
Fr+Tr+Tu+Sn E A	25,3824	39,25	33,61786	39,87338	49,64009	34,612	42,56	65,533	79,116
Fr+Tr+Tu+Sn Z K	33,0188	43,83	39,2084	45,90807	54,84838	39,373	50,87	71,091	84,289
Fr+Tr+Tu+Sn Z A	25,3824	39,25	33,61786	39,87338	49,64009	37,251	42,56	65,533	79,116
Tr+Tu+Sn+St E K	41,9049	61,82	42,21734	54,56153	64,41045	40,921	45,55	83,299	98,884
Tr+Tu+Sn+St E A	34,2807	54,62	35,11264	47,45682	57,27987	41,184	54,75	77,741	91,326
Tr+Tu+Sn+St Z K	41,9049	59,3	42,21734	53,58066	62,50087	50,08	62,87	83,299	98,499
Tr+Tu+Sn+St Z A	34,2807	54,62	35,11264	47,45682	57,27987	41,184	54,75	77,741	91,326
Tu+Sn+St+Fr E K	57,2757	77	49,80078	62,20141	72,0572	58,139	78,04	95,509	53,7
Tu+Sn+St+Fr E A	49,6515	70,01	42,69808	55,0967	64,92672	53,378	66,96	89,951	48,142
Tu+Sn+St+Fr Z K	57,2757	74,88	49,80078	61,21224	70,15258	62,262	75,07	95,509	53,315
Tu+Sn+St+Fr Z A	49,6515	70,01	42,69808	55,0967	64,92672	53,378	66,96	89,951	48,142
Sn+St+Fr+Tr E K	72,6601	92,38	57,44066	69,84815	47,88234	70,347	88,25	52,325	60,272
Sn+St+Fr+Tr E A	65,0359	85,4	50,33596	62,74345	42,71481	65,586	79,17	46,767	54,714
Sn+St+Fr+Tr Z K	72,6601	90,07	57,44066	68,86382	45,81088	74,471	87,28	52,325	59,887
Sn+St+Fr+Tr Z A	65,0359	85,4	50,33596	62,74345	42,71481	65,586	79,17	46,767	54,714
St+Fr+Tr+Tu E K	88,0471	37,38	65,08741	45,27104	49,18712	82,557	45,07	58,898	72,488
St+Fr+Tr+Tu E A	80,4229	30,37	57,98271	39,89476	44,20859	77,796	35,99	53,339	66,908
St+Fr+Tr+Tu Z K	88,0471	35,04	65,08741	43,01823	47,19781	88,682	44,1	58,898	72,081
St+Fr+Tr+Tu Z A	80,4229	30,37	57,98271	39,89476	44,20859	77,796	35,99	53,339	66,908

Çizelge 5.22 : İki , Üç , Dört yatırım raylı E 32 incelikli makinalarda örülülmüş kumaşların "örtme faktörü" değerleri.

	İKİ YATIRIM RAYLI		ÜC YATIRIM RAYLI			DÖRT YATIRIM RAYLI			
	1.RAY	2.RAY	1.RAY	2.RAY	3.RAY	1.RAY	2.RAY	3.RAY	4.RAY
Fr+Tr+Tu+Sn E K	6,037	9,4551	7,55218	9,712295	10,52836	7,3511	9,641	13,273	15,81
Fr+Tr+Tu+Sn E A	4,643	7,177	6,234582	7,394686	8,205877	6,4622	7,948	12,235	14,77
Fr+Tr+Tu+Sn Z K	6,037	8,0316	7,271001	8,514043	10,17206	7,3511	9,4607	13,273	15,74
Fr+Tr+Tu+Sn Z A	4,643	7,177	6,234582	7,394686	9,205877	6,955	7,848	12,235	14,77
Tr+Tu+Sn+St E K	7,662	11,265	7,829394	10,11868	11,94521	7,6401	8,5036	15,562	18,09
Tr+Tu+Sn+St E A	8,268	9,9873	8,511795	8,80108	10,62283	7,6893	10,223	14,515	17,05
Tr+Tu+Sn+St Z K	7,662	10,342	7,829394	9,930063	11,59103	9,3464	11,737	15,552	18,02
Tr+Tu+Sn+St Z A	6,268	9,9873	8,511795	8,80108	10,62283	7,6893	10,223	14,515	17,05
Tu+Sn+St+Fr E K	10,47	14,078	9,235778	11,53653	13,36333	10,855	14,197	17,832	10,03
Tu+Sn+St+Fr E A	9,078	12,8	7,918179	10,21793	12,04095	9,988	12,502	16,794	8,988
Tu+Sn+St+Fr Z K	10,47	13,655	9,235778	11,35208	13,01011	11,625	14,017	17,832	9,954
Tu+Sn+St+Fr Z A	9,078	12,8	7,918179	10,21793	12,04095	9,988	12,502	16,794	8,988
Sn+St+Fr+Tr E K	13,28	16,892	10,65263	12,95365	8,844758	13,134	16,477	9,7694	11,25
Sn+St+Fr+Tr E A	11,89	15,813	9,335029	11,63605	7,921653	12,245	14,782	8,7318	10,22
Sn+St+Fr+Tr Z K	13,28	16,468	10,65263	12,7711	8,458739	13,904	16,296	9,7694	11,18
Sn+St+Fr+Tr Z A	11,89	15,813	9,335029	11,63605	7,921653	12,245	14,782	8,7318	10,22
St+Fr+Tr+Tu E K	16,1	8,83	12,07075	8,395716	9,121972	15,414	8,4139	10,996	13,53
St+Fr+Tr+Tu E A	14,7	5,5519	10,75315	7,398601	8,198887	14,525	6,719	9,9587	12,49
St+Fr+Tr+Tu Z K	16,1	6,4065	12,07075	7,977923	8,753044	16,184	8,2336	10,996	13,46
St+Fr+Tr+Tu Z A	14,7	5,5519	10,75315	7,398601	8,198887	14,525	6,719	9,9587	12,49

Çizelge 5.20 , 21, 22 'de İki , Üç, dört yatırım raylı E 32 incelikli çözgülü örne makinalarında örülen kumaşların rack değerleri , kumaş ağırlıkları , örtme faktörleri toplu halde verilmiştir.Bu Üç tablodan ;

5.2.1. Rack değerleri :Elde edilen kumaşların rack değerleri , İki yatırım raylı makinalarda en düşük değerleri verirken , Üç yatırım raylı makinalarda , İki yatırım raylı makinalara göre daha yüksek değerler elde edilmektedir. En yüksek değerleri ise dört yatırım raylı makinalarda örülen kumaşlar vermektedir.Bunun temeli nedeni İki , Üç ve dört yatırım rayında örülen ilmeklerin geometrik farklılıklarından kaynaklanmaktadır.(Şekil .3.3 - 4.7 - 4.12)

- 1) Yatırım rayı sayısı önemsi olmaksızın bir sonraki yatırım rayında örülen ilmeklerin rack değerleri daima bir önceki yatırım rayından büyük değerlere sahiptir.
- 2) Zıt yatırım ilmekleriyle örülen kumaşların rack değerleri , eş yatırım ilmekleriyle örülen kumashlardan daha küçük değerlere sahiptir.
- 3) Açık ilmeklerle örülen kumaşların rack değerleri , kapalı ilmeklerle örülen kumaşların rack değerlerinden daha küçuktur.

5.2.2. Kumaş ağırlığı : Çizelge 5.21'den görülebileceği gibi her yatırım rayında örülen iplik ağırlığı İki yatırım raylı makinalarda en düşük , dört yatırım raylı makinalarda en yüksek değerini vermektedir.Kumaş ağırlığı , ilmeklerin rack değerlerine doğrudan bağlı bir değer olduğundan rack değeri yüksek olan raylarda örülen kumaşlar daha ağır kumashlardır.Ayrıca yatırım rayı sayısı arttıkça kumaşa ilave iplik girmesi gerekeceğinden en ağır kumashlar dört yatırım rayı ile örülülmüş kumashlardır. En hafif kumashlar ise İki yatırım raylı kumashlardır.

5.2.3. Örtme faktörü : Örtme faktörü değerleri , makina inceliği , iplik numarası , ilmek sırası sıklığı ve rack değerlerine ve yatırıım rayı sayısına doğrudan bağlı değerlerdir.Bu çalışmada iplik numarası , ilmek sırası sıklığı sabit tutulduğundan örtme faktörü değerleri rack değeri ve makina inceliği değişimine göre değişmektedir.

Düşük incelikli makinalarda örülən kumaşların örtme faktörleri daha düşüktür.Dört yatırım raylı makinalarda örülən kumaşların örtme faktörleri en yüksek değerlere , iki yatırım raylı makinalarda örülən kumaşları örtme faktörleri en düşük değerlere sahiptir.

5.2.4. Kumaş kalınlığı : Elde edilen kumaşlar içerisinde en ince kumaşlar , iki yatırım rayında açık ilmeklerle örülülmüş (Eş veya zıt yatırım) kumaşlardır. En kalın kumaşlar ise dört yatırım rayında eş yarılımlı kapalı ilmeklerle örülülmüş kumaşlardır.

Aynı yatırım rayında örülülmüş kumaşlardan , eş yarılımlı kapalı ilmeklerle örülən kumaşlar en kalın , zıt yarılımlı kapalı ilmeklerle örülən kumaşlar daha ince ve eş - zıt yarılımlı açık ilmeklerle örülülmüş kumaşlar ise en ince kumaşlardır.

Dört yatırım rayında örülülmüş kumaşlar , iki yatırım rayında örülən kumaşların yaklaşık olarak iki katı kalınlığa sahiptirler.

5.2.5. Kumaş yoğunluğu : Kumaş yoğunluğu değeri direk olarak kumaş ağırlığı ve kumaş kalınlığına bağlı olduğundan bu iki kumaş parametresini etkileyen tüm faktörlerden direkt olarak etkilerler.

Bu çalışmada iki yatırım raylı makinalarda üretilen kumaşların özgül ağırlığı , üç yatırım raylı makinalarda örülənlerden daha yüksek çıkmıştır.Bu durumun nedeni , üç yatırım raylı makinalarda örülən kumaşların kalınlıkları hemen hemen iki yatırım raylı makinalarda örülən kumaşların iki katına yakın olmasına rağmen , kumaş ağırlığının bu orandan daha düşük olmasından kaynaklanmaktadır.Özgül ağırlığı en yüksek olan kumaşlar dört yatırım raylı E40 incelikli makinalarda örülülmüş kumaşlardır.

5.2.6. Örgü türleri:

5.2.6.1. Franse : Tek başına yüzey oluşturamayan örgüdür.Bu örgüde her iğne bir zincir oluşturmaktadır.Yüzey oluşturamamasının nedeni alt yatırım hareketi olmamasıdır.Bu yüzden tüm temel örgüler içerisinde aynı şartlarda en düşük rack değerlerini veren örgülerdir.ilmek boyunun daha küçük olması nedeniyle kumas gramajı ve örtme faktörü değerleri de en düşük olan örgülerdir.

Alt yatırım hareketi yapmadıklarından dolayı makina inceliği değişimlerinden dolayı rack değeri en az değişen örgü türü franse örgüsündür.Franse örgüsünün bulunduğu kumaşlarda enine germe kuvvetlerine karşı direnç gösteren örgü yüzey oluşturan diğer örgü , boyuna çekme kuvvetlerine karşı en fazla direnç gösteren örgü

franse örgüsündür.Açık franse örgülerinin rack değerleri kapalı franse örgülerine göre daha azdır.

6.2.6.2. Triko :Bir iğne mesafesinde alt yatırıım yapılarak elde edilen örgülerdir.Franse ilmeğinden daha büyük rack değerlerine sahiptirler.Makina inceliğine göre rack değerindeki değişimeler , franse örgüsünden daha fazladır.Açık trikonun rack değeri kapalı trikodan daha azdır.Birden fazla yatırıım rayında triko örülmesi halinde zit yatırııımla örulen kumaş daha dengeli , daha ince ve daha düzgün yüzeylidir.

Enine germe kuvvetlerine karşı direnci , franse örgüsünden daha iyi , boyuna germe kuvvetlerine karşı ise daha düşüktür.

5.2.6.3. Tuch : Triko örgüsüne göre farkı alt yatırıım hareketinin iki iğne üzerinde yapılmasıdır.Makina inceliği değişimi ve sıra sıklığı değişiminden daha önceki iki örgüye göre daha fazla etkilenir.Ön yüzündeki ilmeklerin görünümü zikzak şeklinde ve iki ilmek arasındaki açı Triko örgüsüne göre daha azdır.Arka yüzünün görünümünde triko örgüsüne göre daha düzgündür. Rack değerleri triko ve franseden daha yüksektir.Bundan dolayıda kumaş ağırlığı ve örtme faktörü değerleri daha yüksektir.

Enine germe kuvvetlerine karşı direnci , alt yatırıım ipliklerinin yatayla daha küçük açı yapmalarından dolayı triko ve franseden daha yüksektir.

5.2.6.4. Satın : Alt yatırıım hareketi ve rack değeri önceki Üç örgüden daha uzundur. Bunun sonucu olarak kumaş ağırlığı ve örtme faktörü diğer Üç örgüden daha yüksektir.Açık ilmek uzunuğu kapalı ilmek uzunuğundan daha azdır.

Makina inceliği değişimlerinden diğer örgülere göre daha fazla etkilenir.Enine germe kuvvetlerine karşı boyut değişimi diğer Üç örgüden daha azdır.Kumasın ön yüzündeki ilmek çubuklarının görünümü zikzak yapıda ve iki ilmek arasındaki açı diğer Üç örgü ilmeğinin birbirleri ile yaptıkları açıdan daha küçüktür.Bu yüzden boyuna germe kuvvetlerine karşı boyut değişimi diğer Üç örgüden daha büyütür.Arka yüzünün görünümü diğer Üç örgüden daha düzgündür.

5.2.6.5. Samt : Rack değeri en büyük olan örgüdür.Kumaş ağırlığı ve örtme faktörü diğer örgülere göre daha fazladır.Ön yüzdeki ilmekler arasındaki açı en küçük ,arka yüzünün görünümü ise en düzgün olan örgüdür.Enine germe kuvvetlerine karşı boyut değişimi en düşük , boyuna değişimi ise en yüksek olan örgüdür.

ÖZET

Bu çalışmada , 2,3,4 yatırım raylı çözgү otomat örme makinalarında örülen temel örgüler ve temel örgü kombinasyonlarında kullanılabilecek ,eş,zit yatırımlı kapalı ve açık ilmekler için ayrı ayrı üç boyutlu çözgülü örme ilmek modeli oluşturulmuştur.Oluşturulan ilmek modellerinde bir ilmek için harcanan iplik uzunluğu , makina inceliği , iplik numarası , ilmek sırası sıklığı ve yatırım rayı sayısına bağlı olarak hesaplanmış ve rack değerleri elde edilmiştir.Bu işlemler E 28,32,40 incelikli 2,3,4 yatırım raylı makinalarda eş,zit yatırım ve kapalı , açık franse,triko,tuch,satin ve samt ilmeklerinin herbirisine için yapılmıştır.

Elde edilen sonuçlar arasındaki bağıntılar çizelgeler ve şekiller haline getirilerek karşılaştırma yapılmıştır.Karşılaştırmaların sonucunda , değişen parametrelere göre kumaşların rack değerleri , ağırlığı , örtme faktörü değerlerinin arasındaki ilişkiler tespit edilmiştir.Buna göre : Eş yatırımlı ilmekler zit yatırımlı ilmeklerden , kapalı ilmekler açık ilmeklerden daha büyük rack değerine,daha büyük ağırlığa , daha büyük kalınlığa ,daha yüksek örtme faktörüne ve daha yüksek özgül ağırlığa (yoğunluk)sahiptir.En düşük değerler devamlı ilk yatırım rayında , en yüksek değerler dördüncü yatırım rayında elde edilmiştir.

KAYNAKLAR

- 1- ALPAY,H.R., "Kumaş Geometrisi ve Mekaniği", Fen Bilimleri Enstitüsü ,BURSA,1985
- 2- ALPAY,H.R.,KAVUŞTURAN,Y., "Dokuma kumaşlarda eğilme davranışları.",Tekstil Teknik ,Aralık/1994,Ocak/1995.
- 3-Arbeitgeberkreis,Gesamttekstil,"MaschentechnikKetten-und Raschelwirkerei",Frankfurt ,1980
- 4- BOOTH,E.J., "Textile Mathematics,volume three" The textile Institue,Manchester,1977
- 5- BÜHLER,G., "Dimensional stability of knitted fabrics from the point of view of research and development", Knitting Technique 134-137 ,1986/2
- 6- KARL MAYER ve LİBA çözgülü örme katalogları.
- 7- KNAPTON, J.F., "The dynamics of weft knitting a mathematical analysis.",Textile research journal,1966/August
- 8- KOPIAS,K.H., "Optimizations of the knitting motions of loop forming elements in rachel machines.",Melliand,1983/1
- 9- KORLIŃSKI , W.H., "Theoretical and empirical generalized model of plain knitgoods",Melliand,138-143,1985/October.
- 10- KURBAK,A., "Düz örgülerin geometrik özellikleri üzerine bazı araştırmalar",Tekstil ve Makina ,238-245,1988/Ekim.
- 11- LAZAR,K., "Computer aided method of constructing warp knit fabrics from filament yarns",Melliand,141-144,1988/4
- 12- RAZ,S., "Warp knitting production",Melliand Textilberichte GmbH.,Heidelberg,1987
- 13 - RAZ,S., "Warp knitting technology",Melliand Textilberichte GmbH.,Heidelberg,1989
- 14- ROY,A.K. ,GROSBERG,P., PORAT,I., "Çözgülü örme makinalarında iplik gerginliği değişiminin tahminlenmesi.",Uluslararası Tekstil Sempozyumu ,1992
- 15- SUH,W.M., "A study of the shrinkage of plain knitting kotton fabric,based on the structural changes of the loop geometry due to yarn swelling and deswelling.",Textile Research Journal,417-426,1967/May.
- 16- TARAKÇIOĞLU,I., "Tekstil Terbiyesi ve Makinaları. , cilt-III",İzmir,1988

17- TASMACI,M. "Yüksek lisans ders notları",U.Ü.,1995

18-TASMACI,M. , KAHRAMAN, N. , "Çözgülü örme makinalarında iplik sevk sistemi ile doku çekimi arasındaki ilişkilerin incelenerek optimum örme şartlarını sağlayan matematiksel bağıntıların çıkarılması.",U.Ü. Müh. Fak. , Bitirme tezi ,1988



T E Ş E K K Ü R

Bu çalışmanın planlanması , uygulanması ve değerlendirilmesi aşamasında ve yüksek lisans öğrenimim boyunca benden maddi ve manevi desteğini esirgemeyen danışman hocam Prof. Dr. Mehmet TASMACI 'ya şükranlarımları arz ederim.

Toz çalışmaları ve yazımı esnasında her türlü konuda yardımlarını esirgemeyen A.K.Ü. Karahalli M. Y. Okulu Müdürü , Öğr. Gör. Sayın Ayhan CILIZ ve tüm mesai arkadaşlarına teşekkür ederim.

ÖZGEÇMİŞ

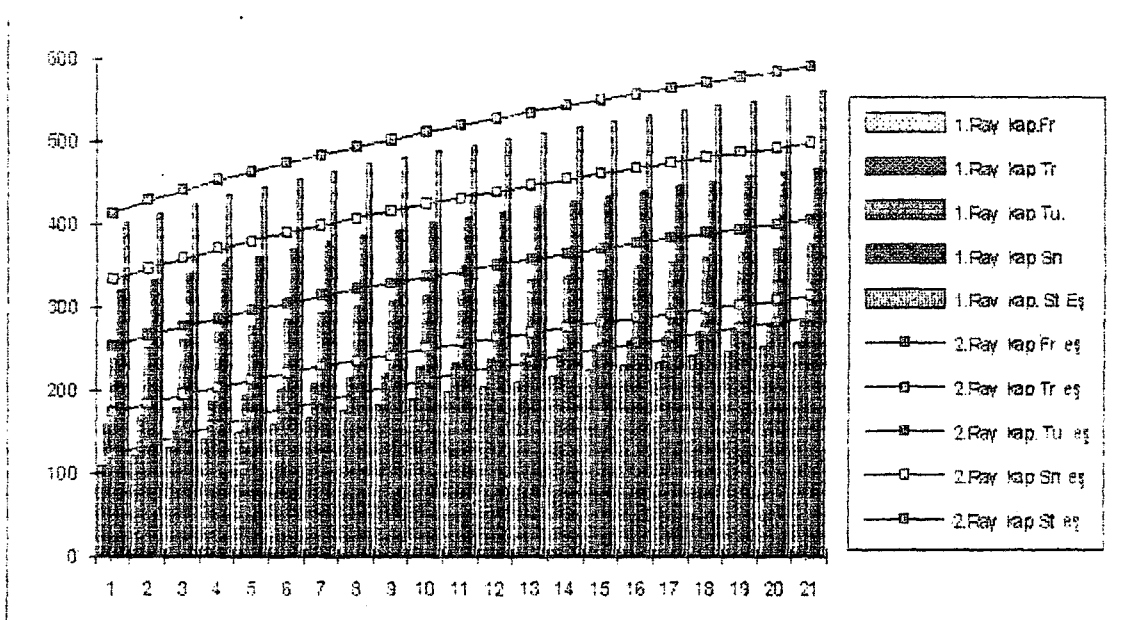
1 Ocak 1968 tarihinde Kütahya 'nın Simav ilçesi Kuşu Kasabasında doğmuştur. İlk, Orta ve Lise tahsilini Simav'da tamamlamıştır. 1983 - 1984 Öğrenim yılında Uludağ Üniversitesi Mühendislik Fakültesi Tekstil Mühendisliği Bölümüne girmiştir. 1988 yılında aynı bölümde tekstil mühendisi olarak mezun olmuştur. Takip eden yıllarda üç yıl sanayide çeşitli işletmelerde çalışıktan sonra 1994 yılında Afyon Kocatepe Üniversitesi Karahallı Meslek Yüksekokulu'nda araştırma görevlisi olarak görevi başlamıştır. Halen bu görevine devam etmektedir.

6. EKLER

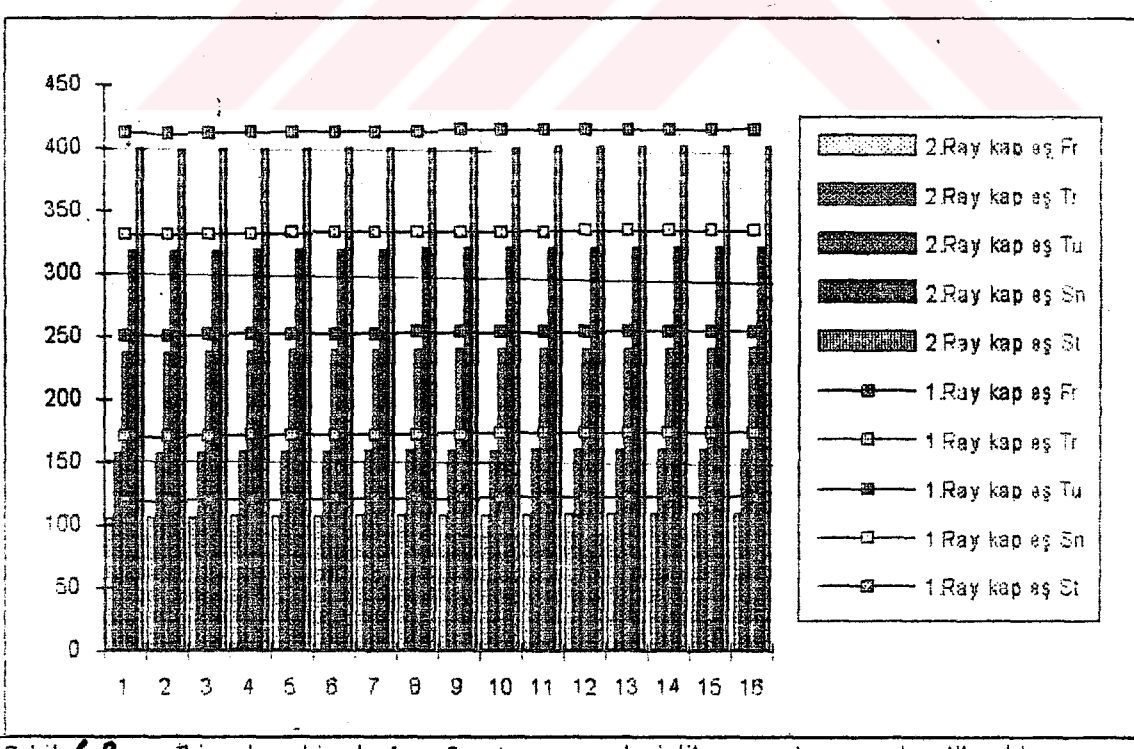


6.1. GRAFIKLER

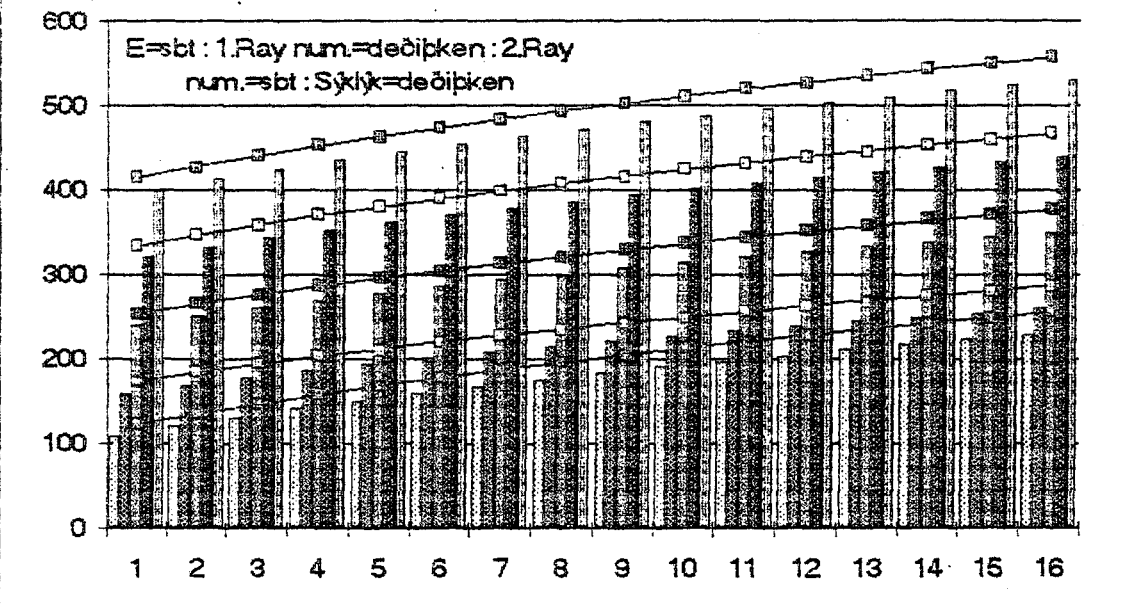
6.1.1. İKİ YATIRIM RAYI



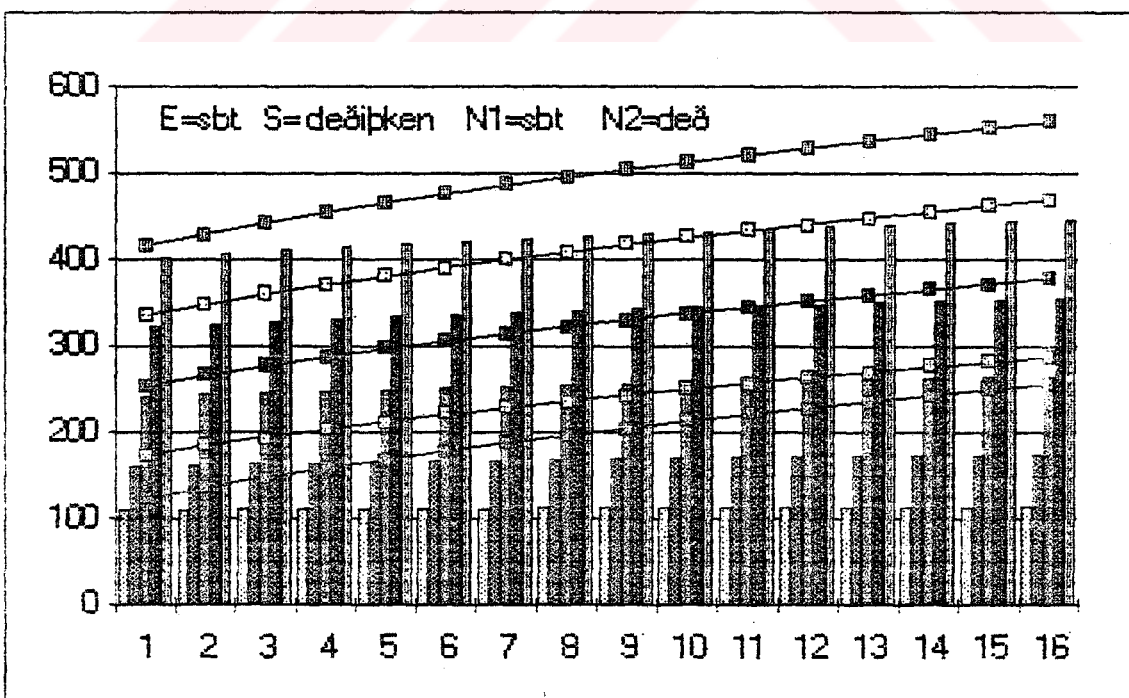
Sekil 6.1 : İki raylı makinada 1. ve 2. yatırım rayında; 1.Ray iplik numaraları farklı, 2.Ray iplik numaraları aynı ,incelik sabit ve sıra sıklığı farklı iken RACK değerleri.



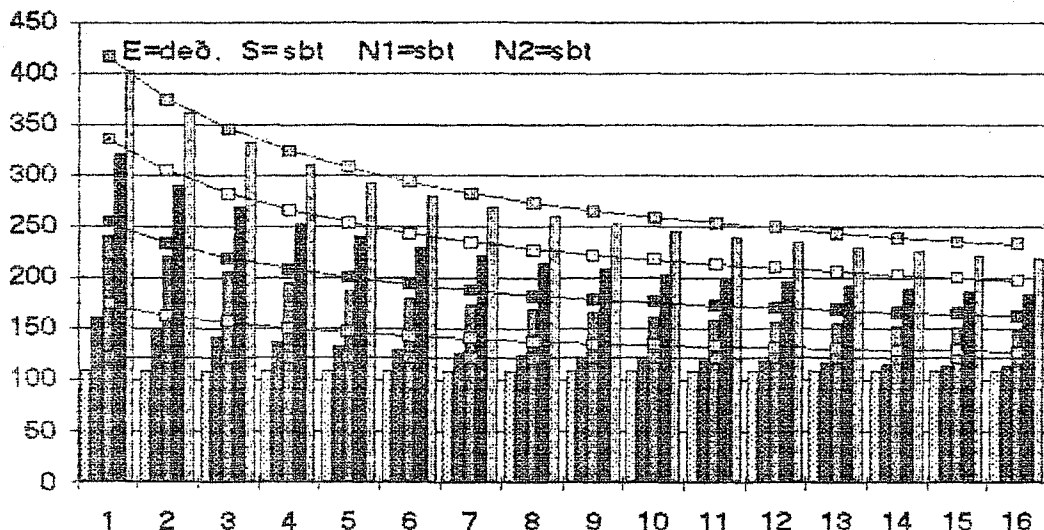
Sekil 6.2 : İki raylı makinada 1. ve 2. yatırım rayında; iplik numaraları aynı ,incelik sabit ve sıra sıklığı farklı iken RACK değerleri.



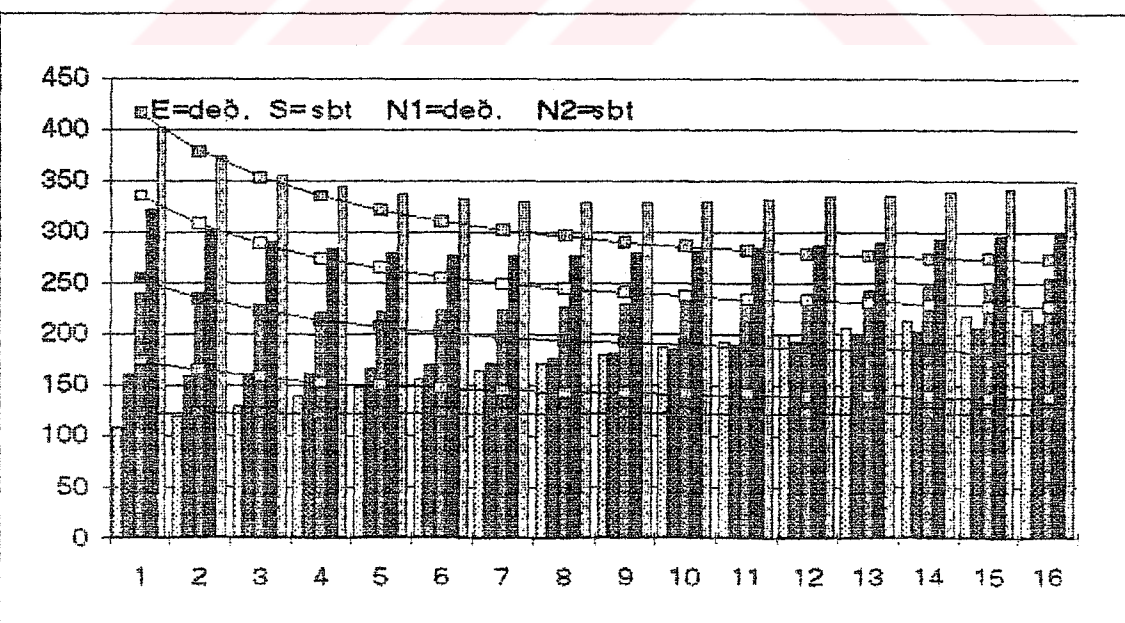
Şekil 6.3 : İki raylı makinada 1. yatırım rayı iplik numarası değişken; 2. yatırım rayı iplik numarası aynı ,incelik sabit ve sıra sıklığı farklı iken RACK değerleri.



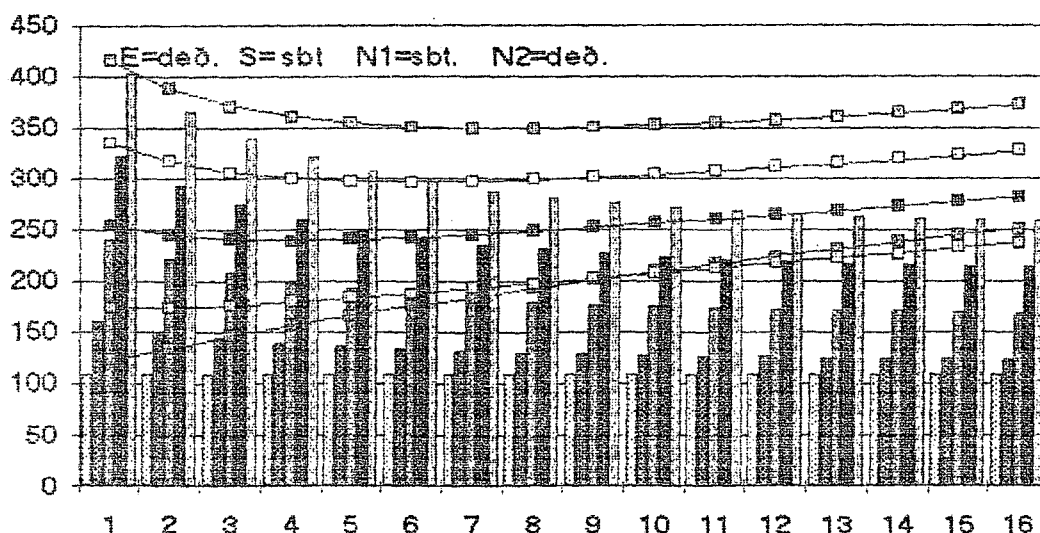
Şekil 6.4 : İki raylı makinada 1. yatırım rayı iplik numarası sbt; 2. yatırım rayı iplik numarası deg.; incelik sbt, sıklık sabit iken RACK değerleri



Şekil 65 : İki raylı makinada iplik numaraları sbt; incelik değişken ve sıra sıklığı sbt iken RACK değerleri.

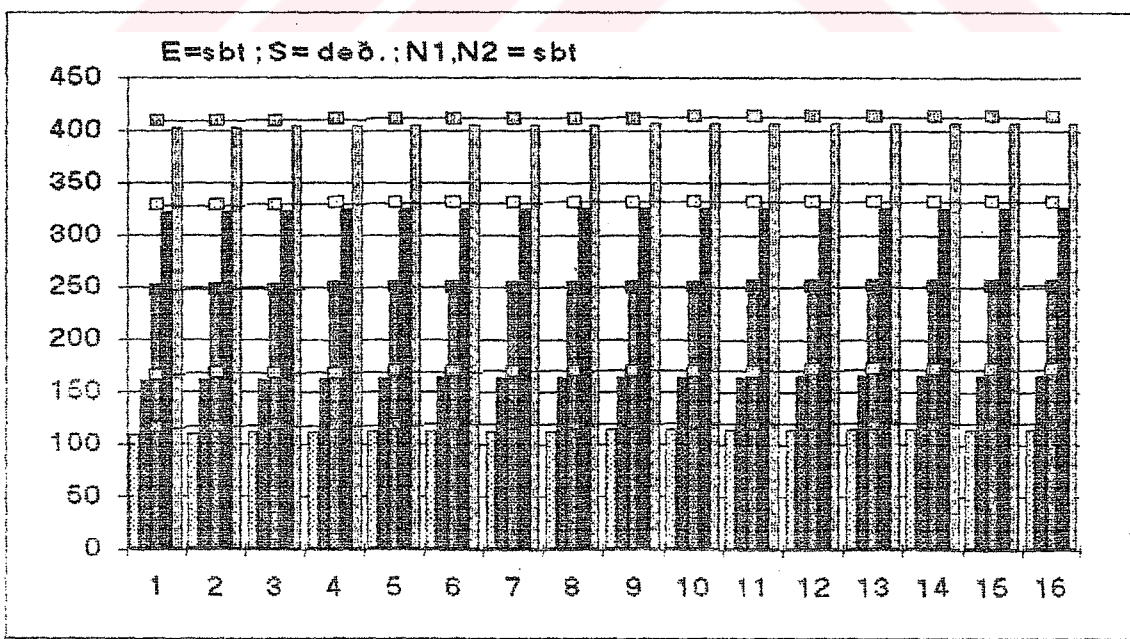


Şekil 66 : İki raylı makinada 1.Ray iplik numarası deð; 2.Ray iplik numarası sbt,,incelik değişken ve sıra sıklığı sbt iken RACK değerleri.

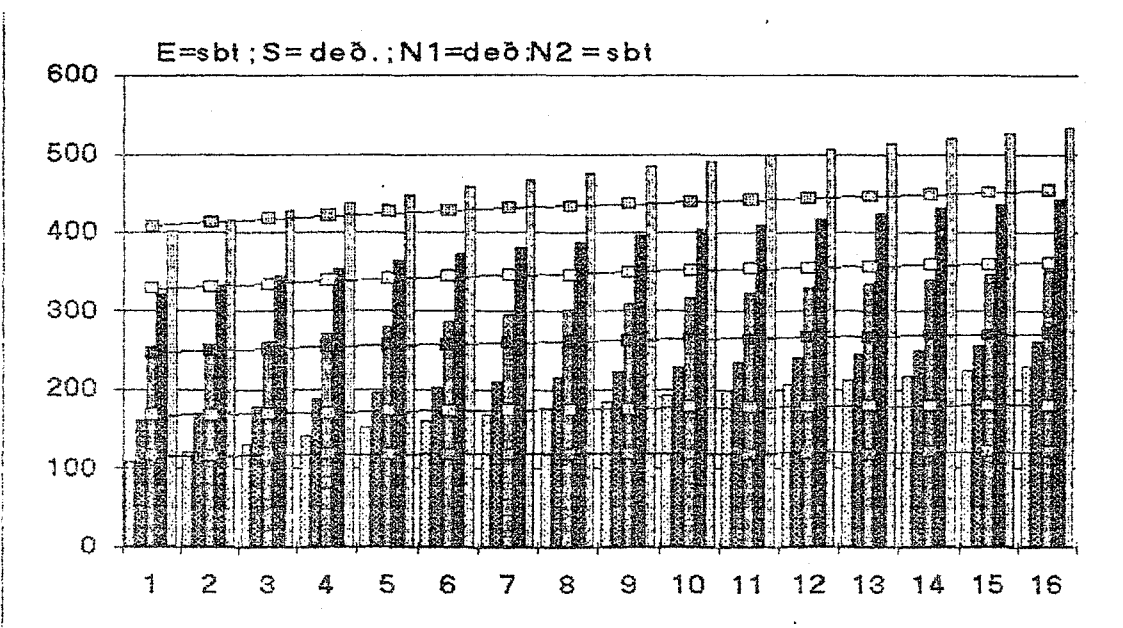


Şekil 6.7 : İki raylı makinada 1.Ray iplik numarası sbt; 2.Ray iplik numarası deð., incelik değişken ve sıra sıklığı sbt iken RACK değerleri.

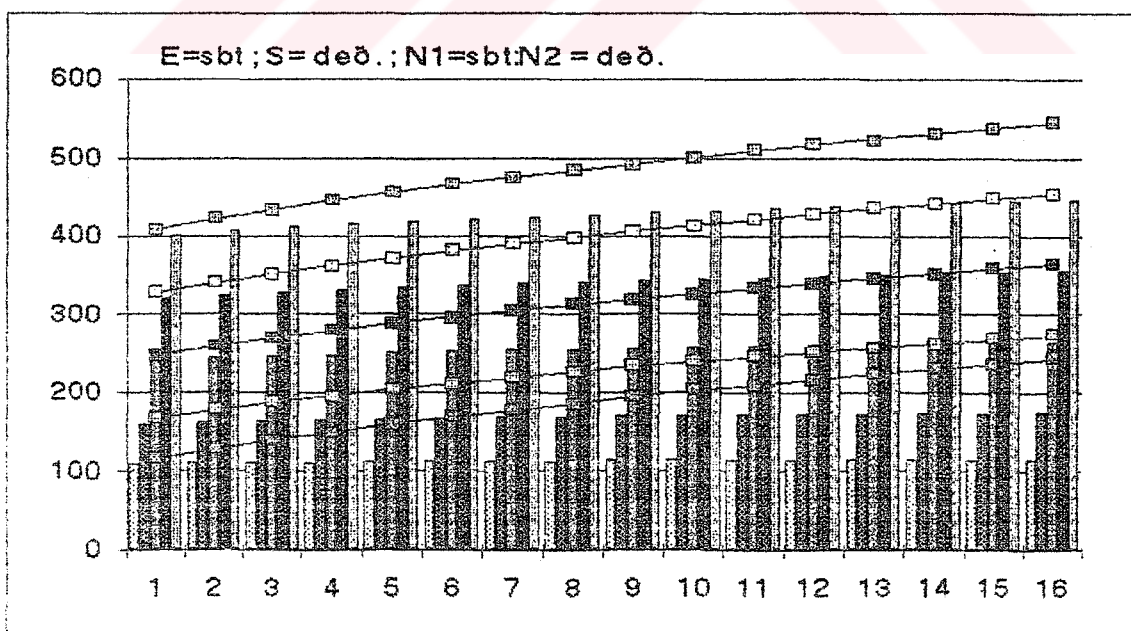
Zit yatırımlı



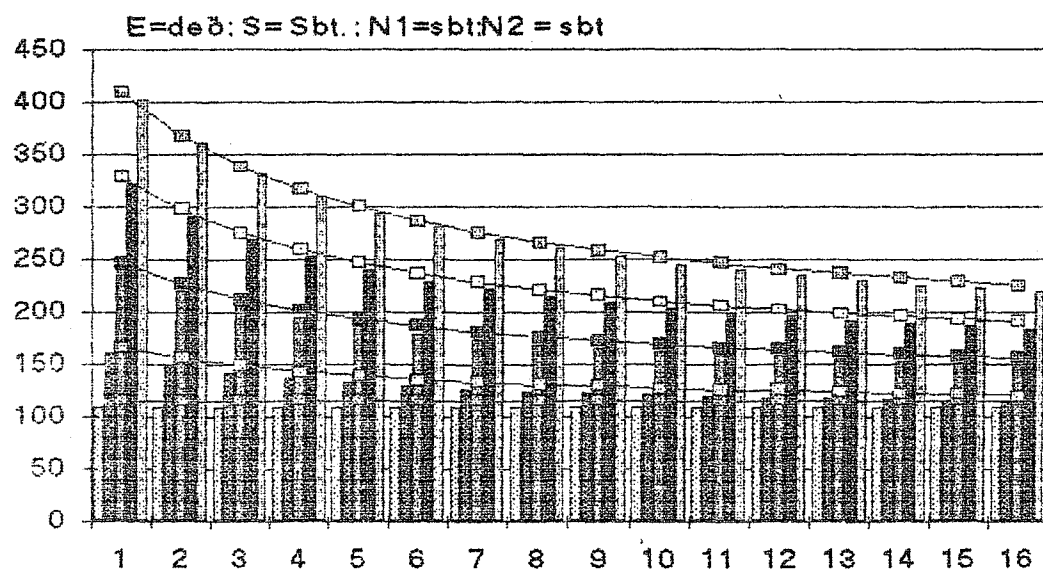
Şekil 6.8 : İki raylı makinada iplik numaraları sbt, incelik sbt ve sıra sıklığı sbt iken RACK değerleri. (Zit yatırımlı)



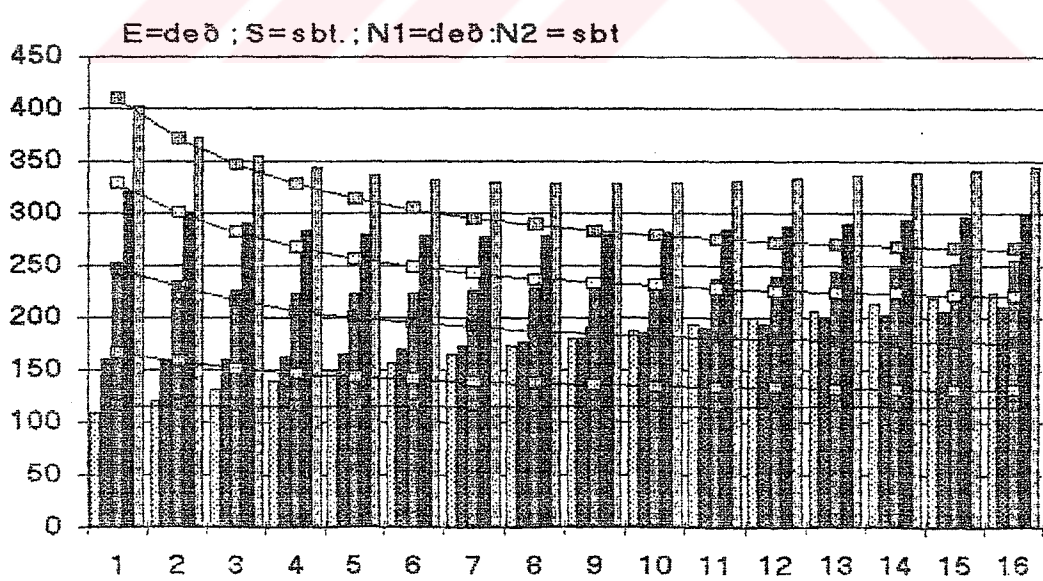
Şekil 6.9 : İki raylı makinada 1.Ray iplik numarası deð. 2.Ray iplik numarası sbt., incelek sbt ve sıra sıklığı deð. iken RACK değerleri. (Zıt yatırıム)



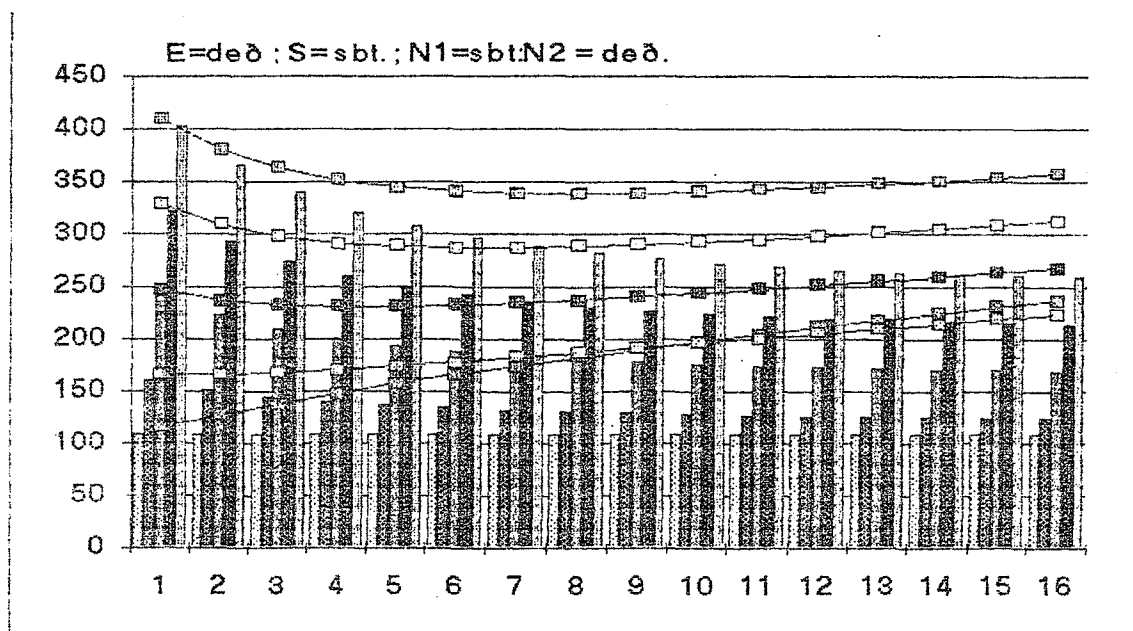
Şekil 6.10 : İki raylı makinada 1.Ray iplik numarası sbt. 2.Ray iplik numarası deð., incelek sbt ve sıra sıklığı deð. iken RACK değerleri. (Zıt yatırıム)



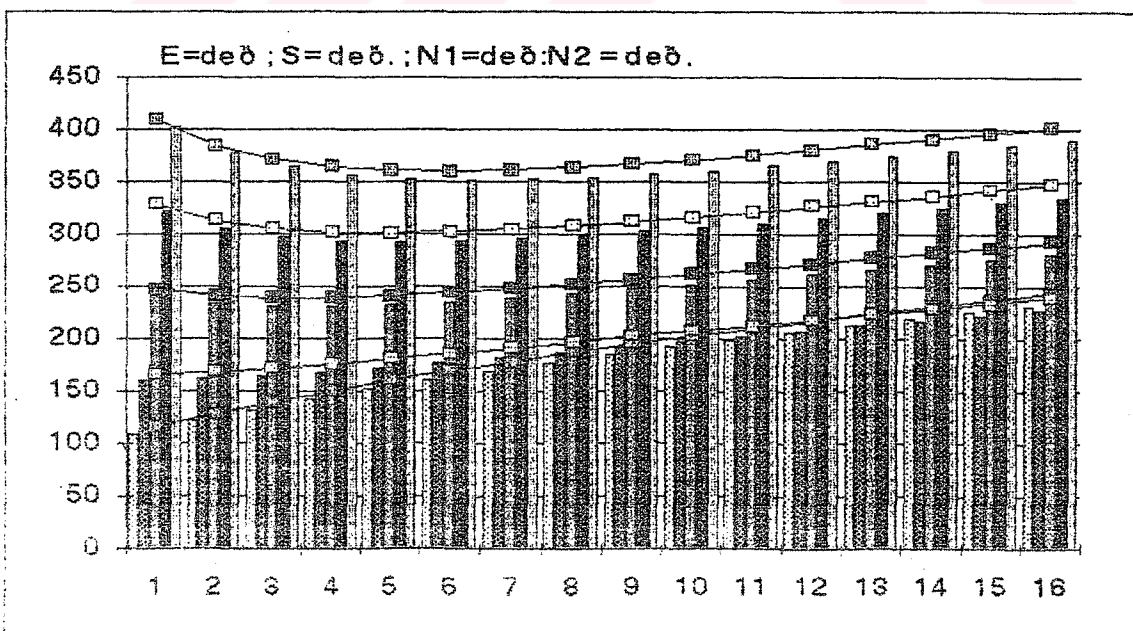
Şekil 6.11 : İki raylı makinada iplik numaraları sbt., incelik deg̃ ve sıra sıklığı sbt. iken RACK değerleri. (Zıt yatırım)



Şekil 6.12 : İki raylı makinada 1.Ray iplik numarası deg̃, 2.Ray iplik numarası sbt., incelik deg̃ ve sıra sıklığı sbt. iken RACK değerleri. (Zıt yatırım)

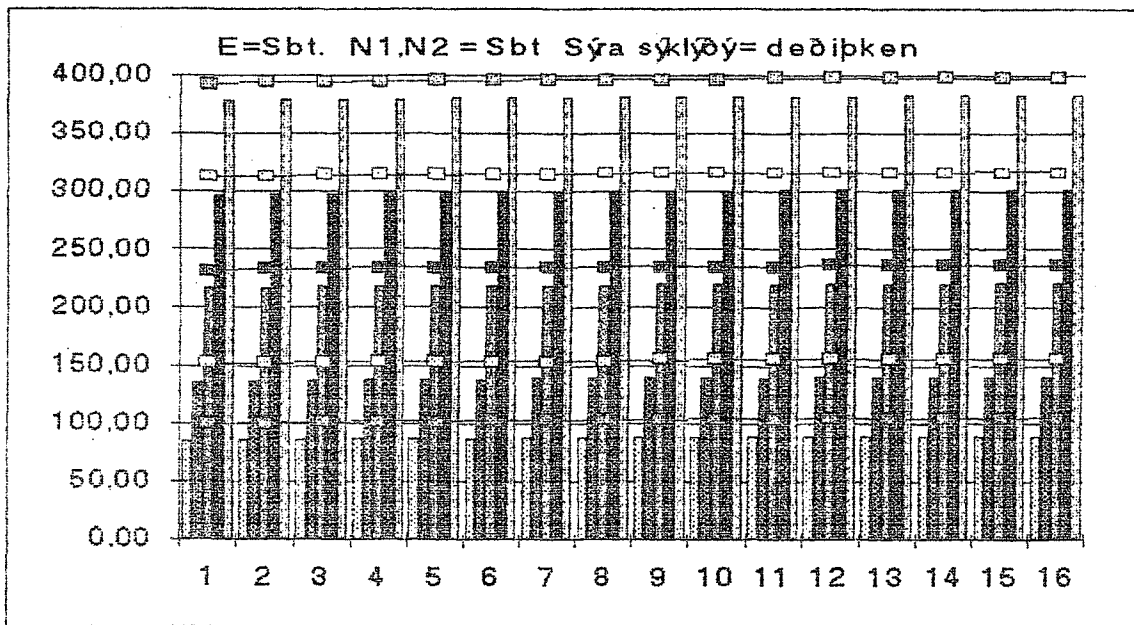


Şekil 6.13 : İki raylı makinada 1.Ray iplik numarası sbt., 2.Ray iplik numarası deg, incelik deg. ve sıra sıklığı sbt. iken RACK değerleri. (Zit yatırımlı)

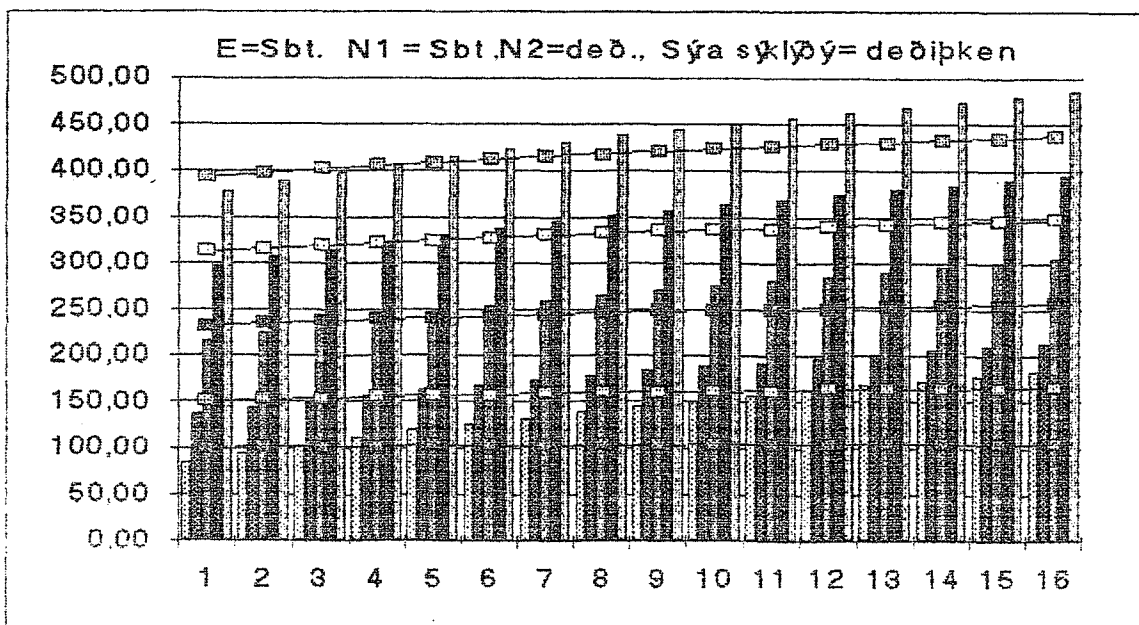


Şekil 6.14 : İki raylı makinada Ray iplik numaraları deg., incelik deg. ve sıra sıklığı dağ. iken RACK değerleri (zit yatırımlı)

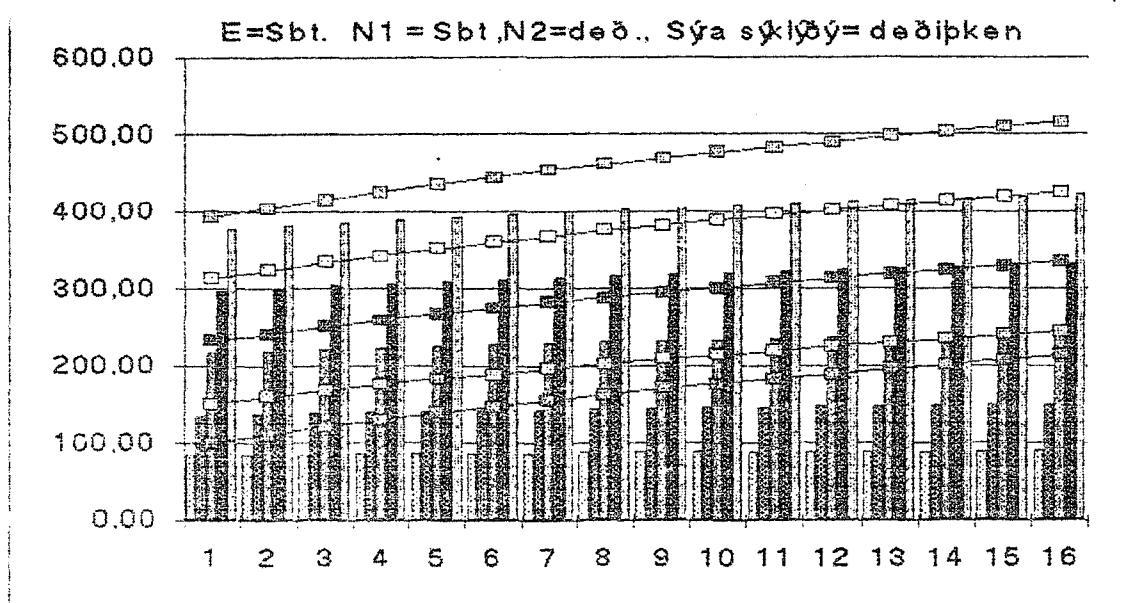
Eş Yatırım , açık ilmek :



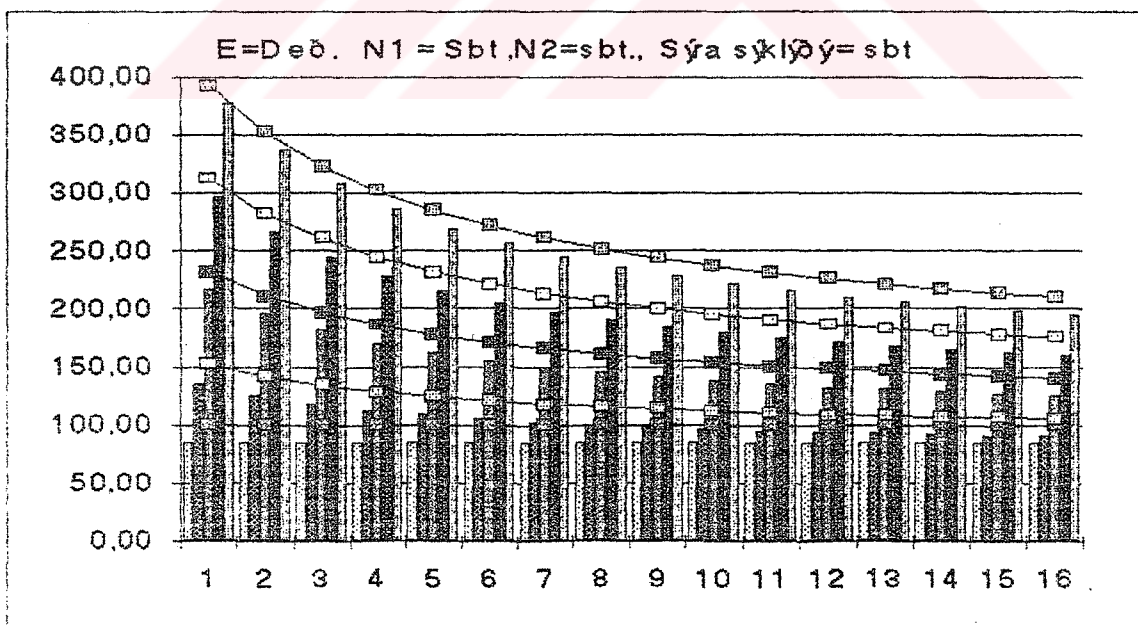
Şekil 6.15 : İki raylı makinada iplik numaraları sbt, incelik sabit ve sıra sıklığı farklı iken RACK değerleri.



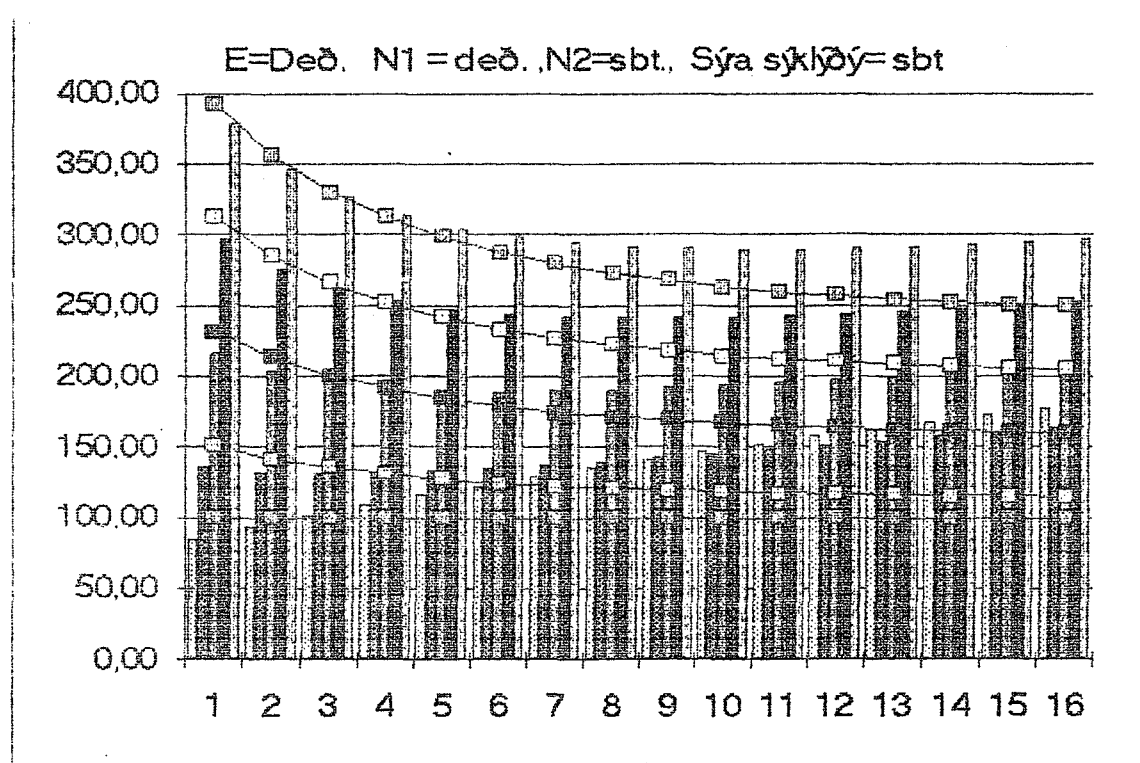
Şekil 6.16 : İki raylı makinada **2. Ray iplik numarası değişken, 1. Ray iplik numarası sbt , incelik sbt; sıklık deg., iken RACK değerleri.**



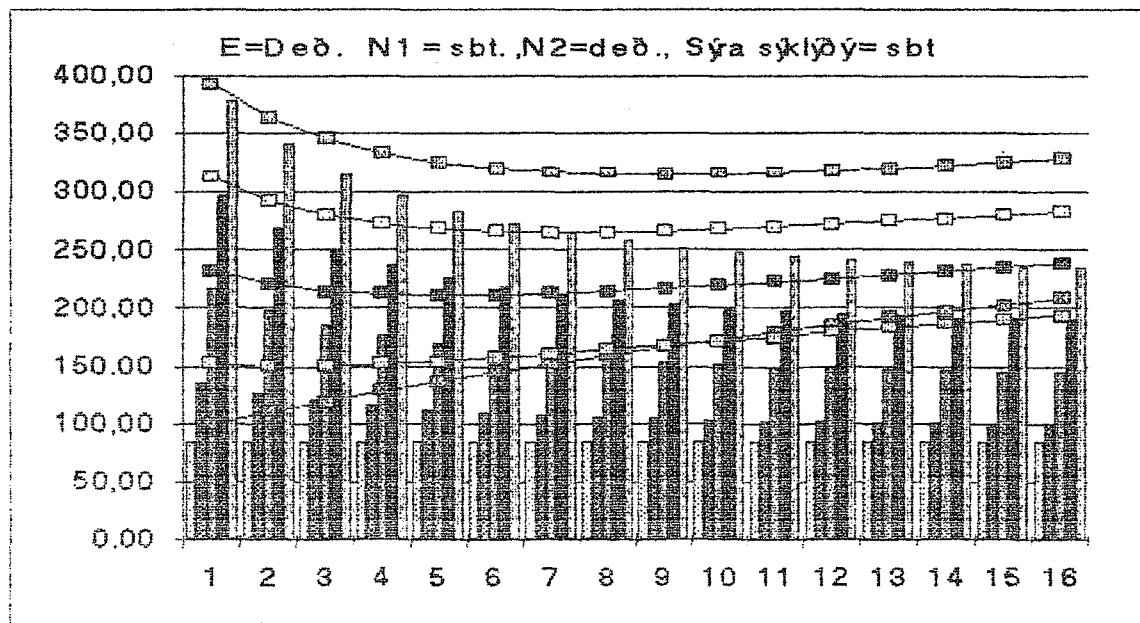
Şekil 6.17 : İki raylı makinada 1.Ray iplik numarası sbt,2.Ray iplik numarası değişken , incelik sabit ve sırta sıklığı değişken iken RACK değerleri.



Şekil 6.18 : İki raylı makinada iplik numaraları sbt, incelik değişken ve sırta sıklığı sbt. iken RACK değerleri



Şekil 6.19 : İki raylı makinada 1.Ray iplik numarası deg.; 2.Ray iplik numarası sbt., incelik değişken ve sıra sıklığı sbt iken RACK değerleri.

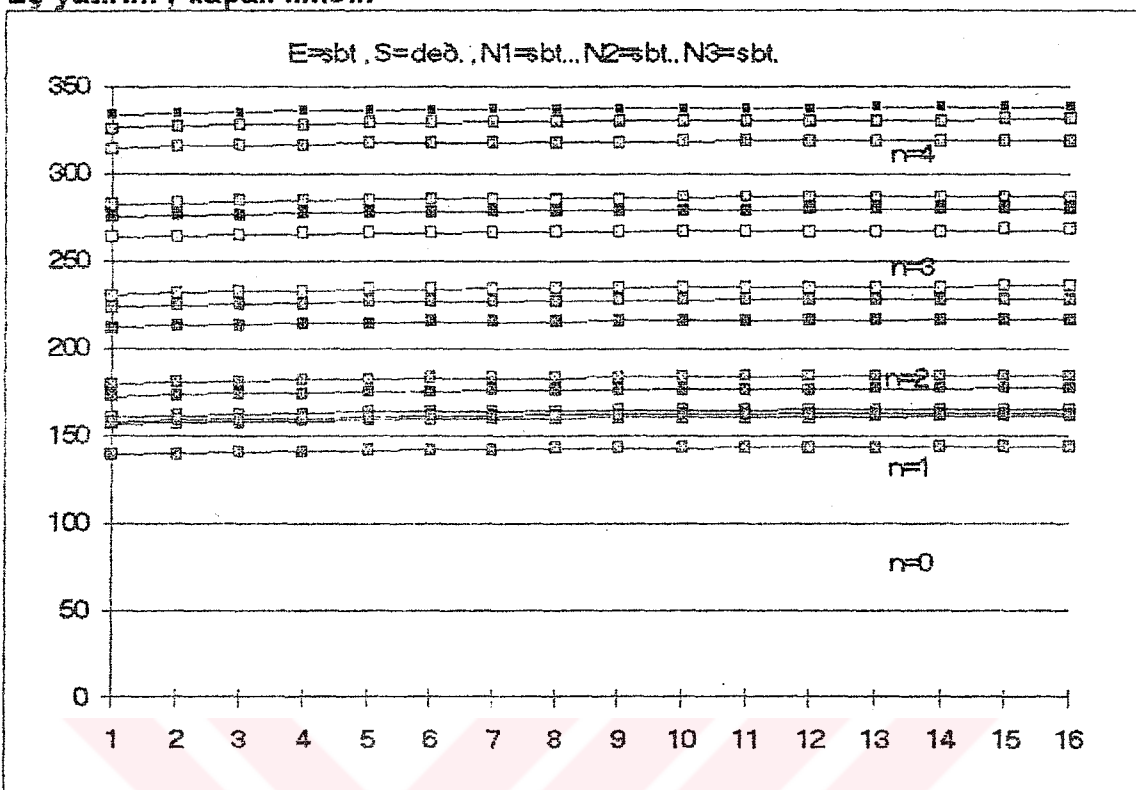


Şekil 6.20 : İki raylı makinada 1.Ray iplik numarası sbt; 2.Ray iplik numarası deg., incelik deg. sıklık sbt. iken RACK değerleri.

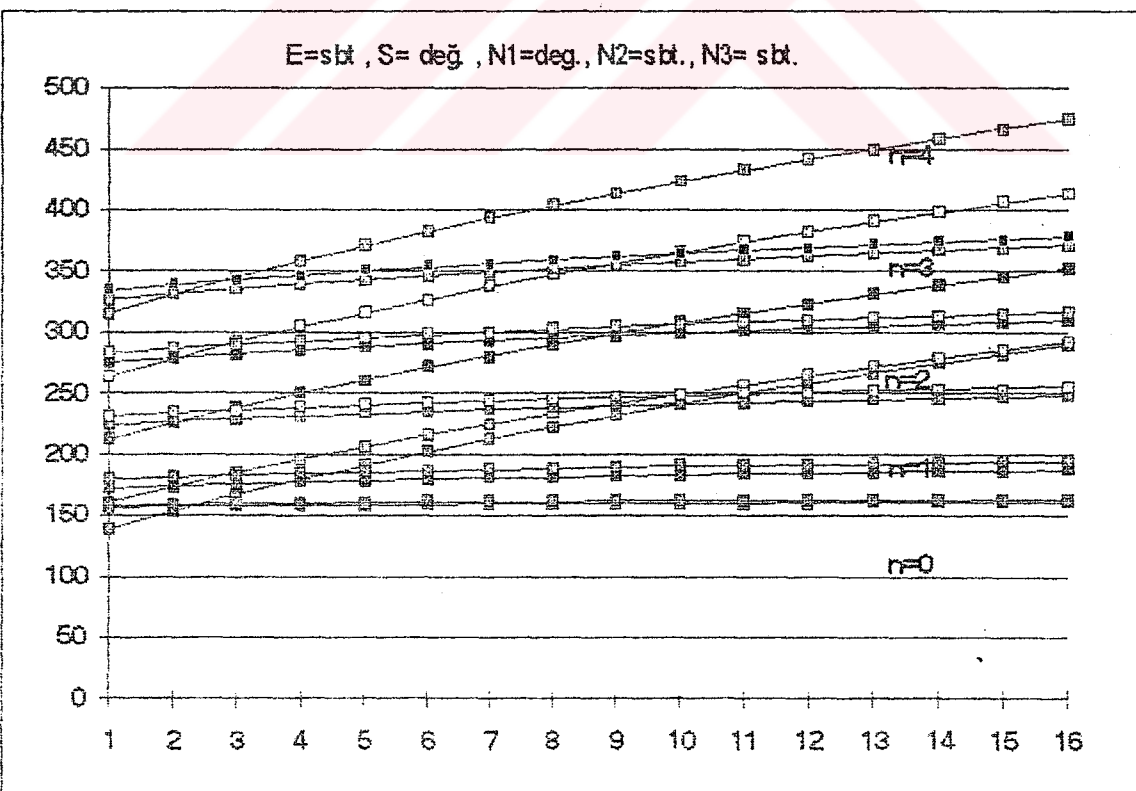
6.1.2.

3 YATIRIM RAYI

Eş yatırım , kapalı ilmek:

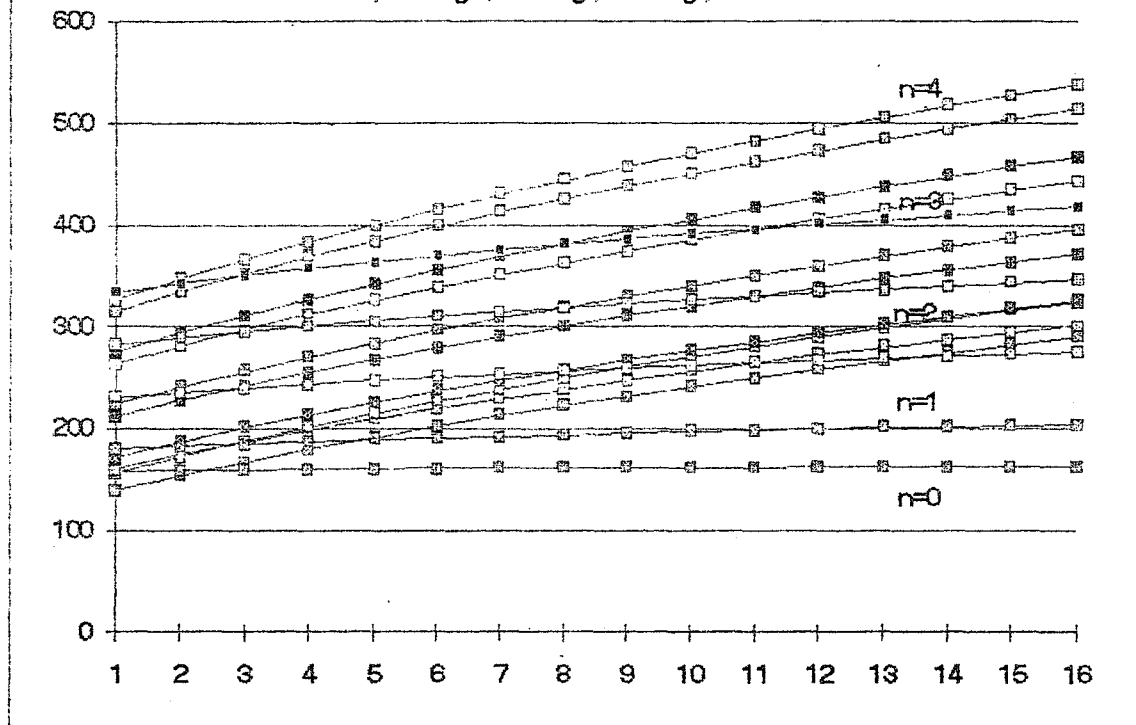


Şekil 6.21 : Üç raylı makinada iplik numaraları sbt; incelik sbt ve sıra sıklığı deg. iken RACK değerleri.



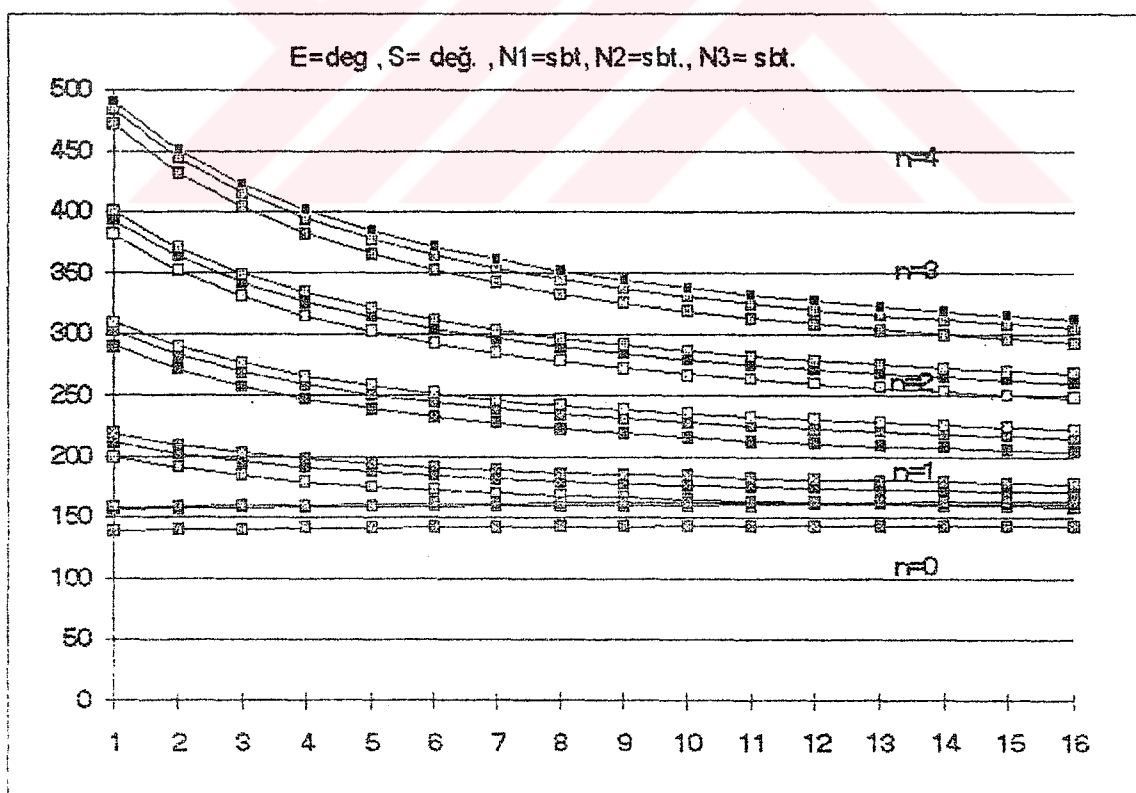
Şekil 6.22 : Üç raylı makinada 1. Ray iplik numarası değişken, 2. ve 3. ray iplik numaraları **sbt** incelik **sbt ve sırlık deg.** iken RACK değerleri.

$E = \text{sbt}$, $S = \text{deg.}$, $N1 = \text{deg.}$, $N2 = \text{deg.}$, $N3 = \text{sbt.}$



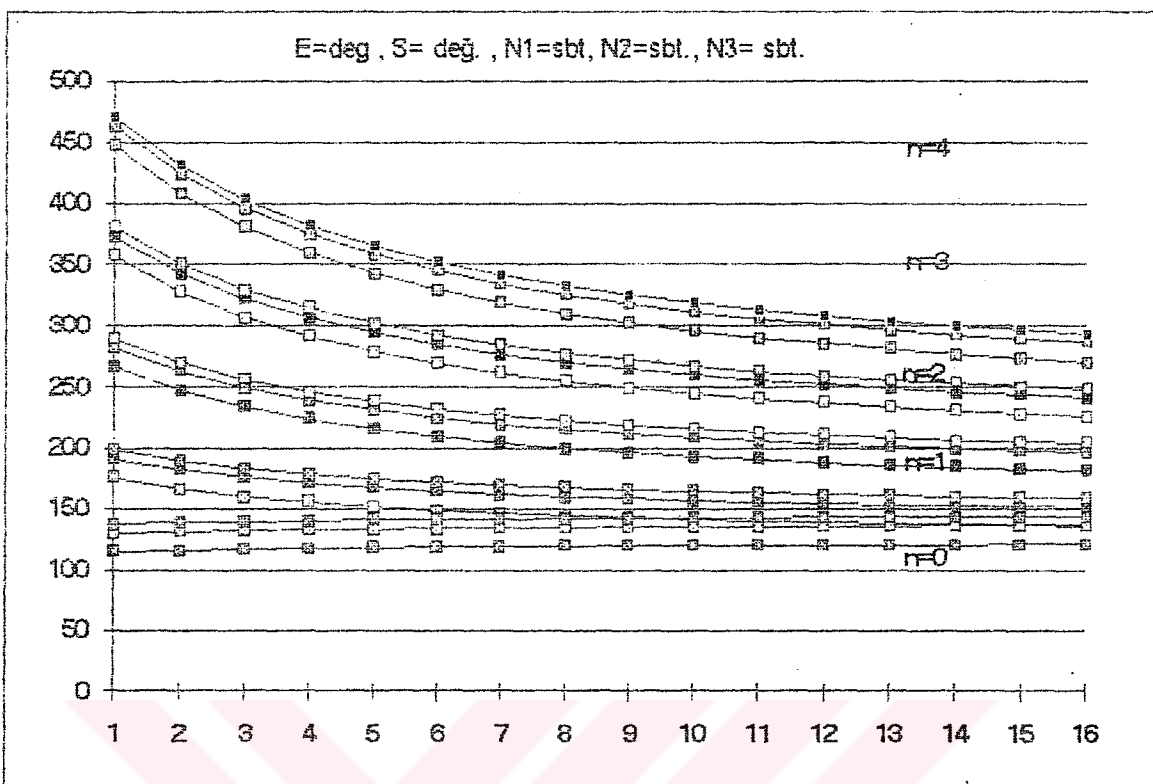
Şekil 6.23 : Üç raylı makinada 1.ve 2.Ray iplik numarası değişken, 3. ray iplik numarası sbt;incelik sbt ve sıra sıklığı deg. iken RACK değerleri.

$E = \text{deg.}$, $S = \text{deg.}$, $N1 = \text{sbt}$, $N2 = \text{sbt.}$, $N3 = \text{sbt.}$

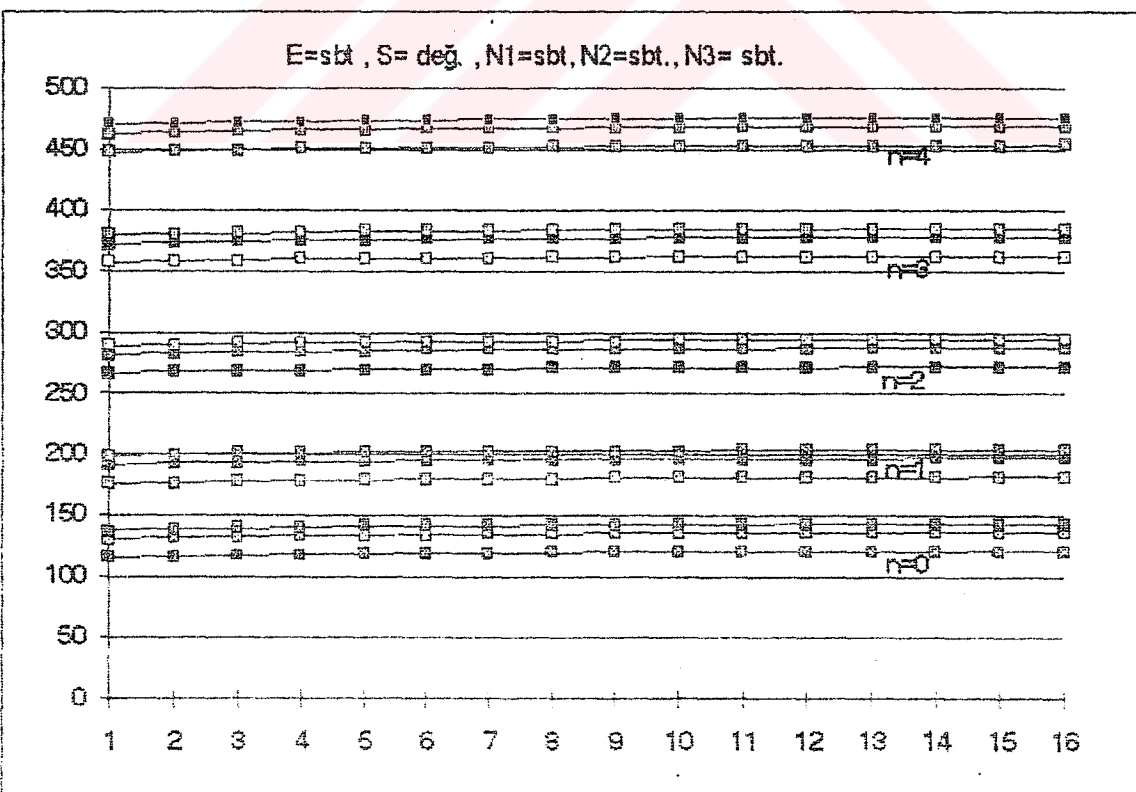


Şekil 6.24 : Üç raylı makinada iplik numaraları sbt, incelik deg ve sıra sıklığı deg. iken RACK değerleri.

Eş yatırımlı , Açık ilmek;

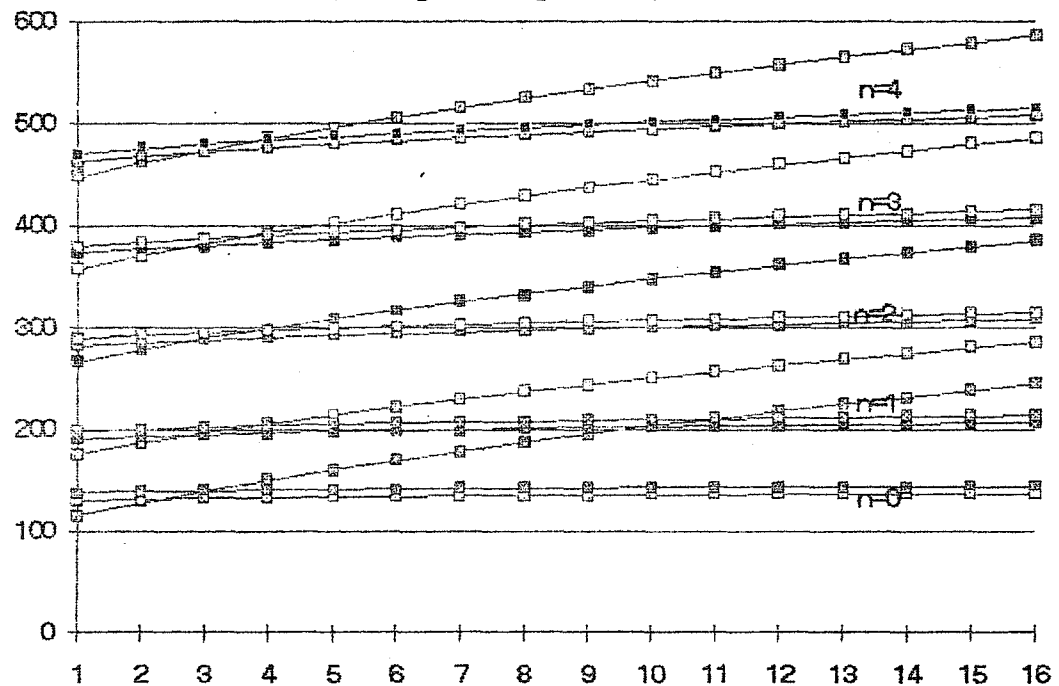


Şekil 6.25 : Üç raylı makinada iplik numaraları sbt, incelik deg ve sıra sıklığı deg. iken RACK değerleri.



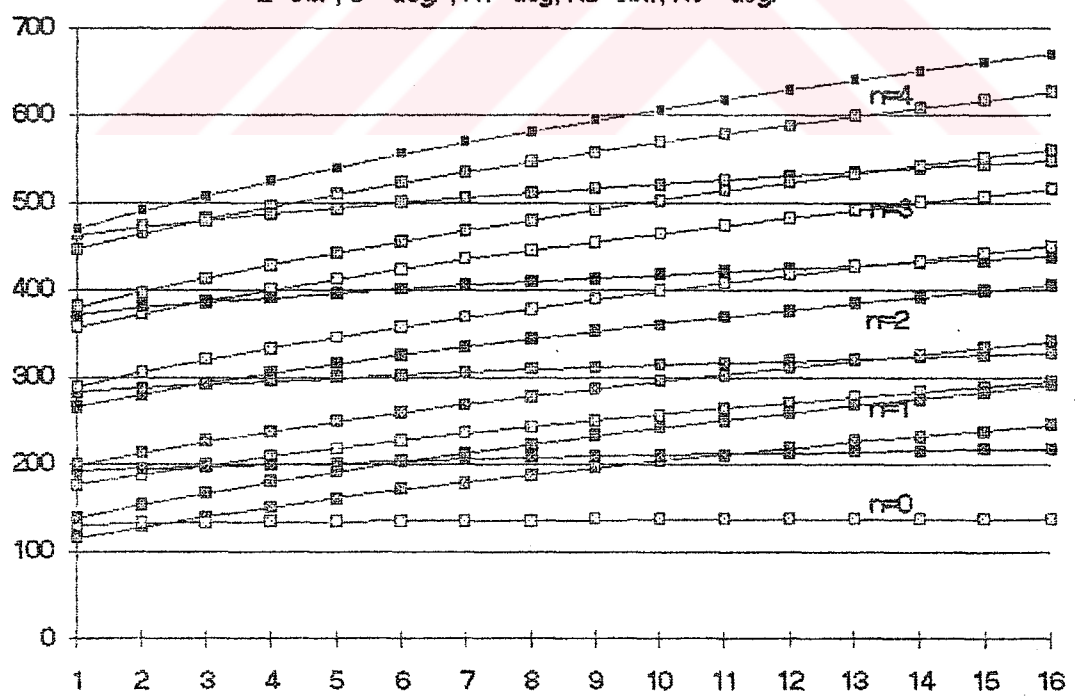
Şekil 6.26 . Üç raylı makinada iplik numaraları sbt, incelik sbt ve sıra sıklığı deg. iken RACK değerleri

$E = \text{sbt}$, $S = \text{deg}$, $N1 = \text{deg}$, $N2 = \text{sbt}$, $N3 = \text{sbt}$.



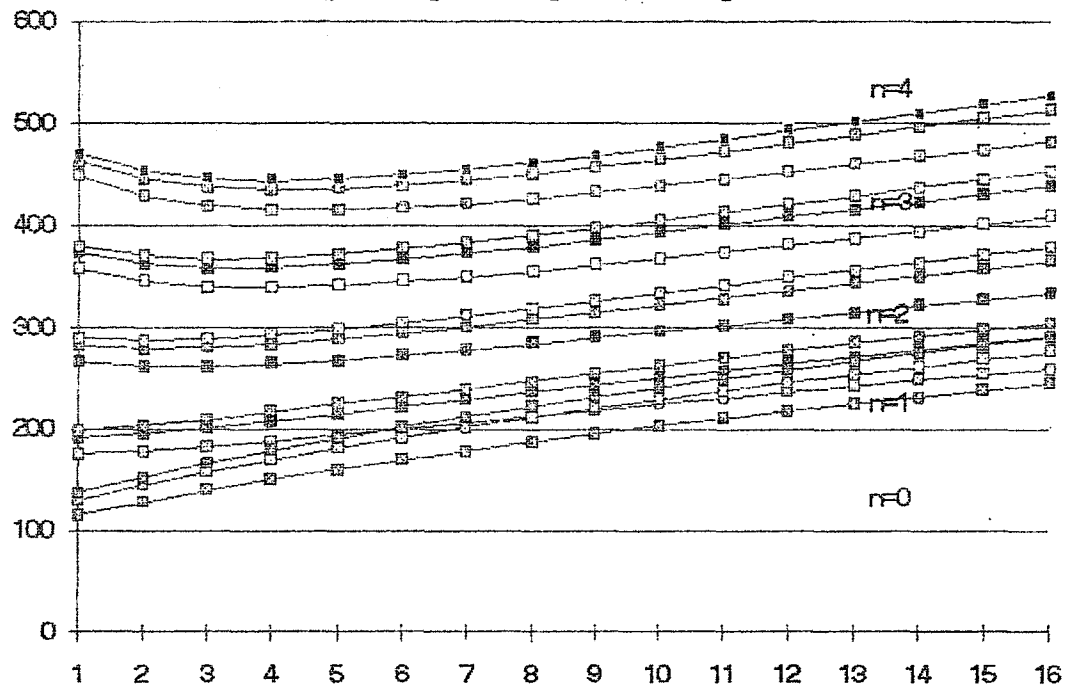
Şekil 6.27 : Üç raylı makinada 1.Ray iplik numarası deg, 2. Ray iplik numarası sbt, incelik sbt ve sıra sıklığı deg iken RACK değerleri.

$E = \text{sbt}$, $S = \text{deg}$, $N1 = \text{deg}$, $N2 = \text{sbt}$, $N3 = \text{deg}$.



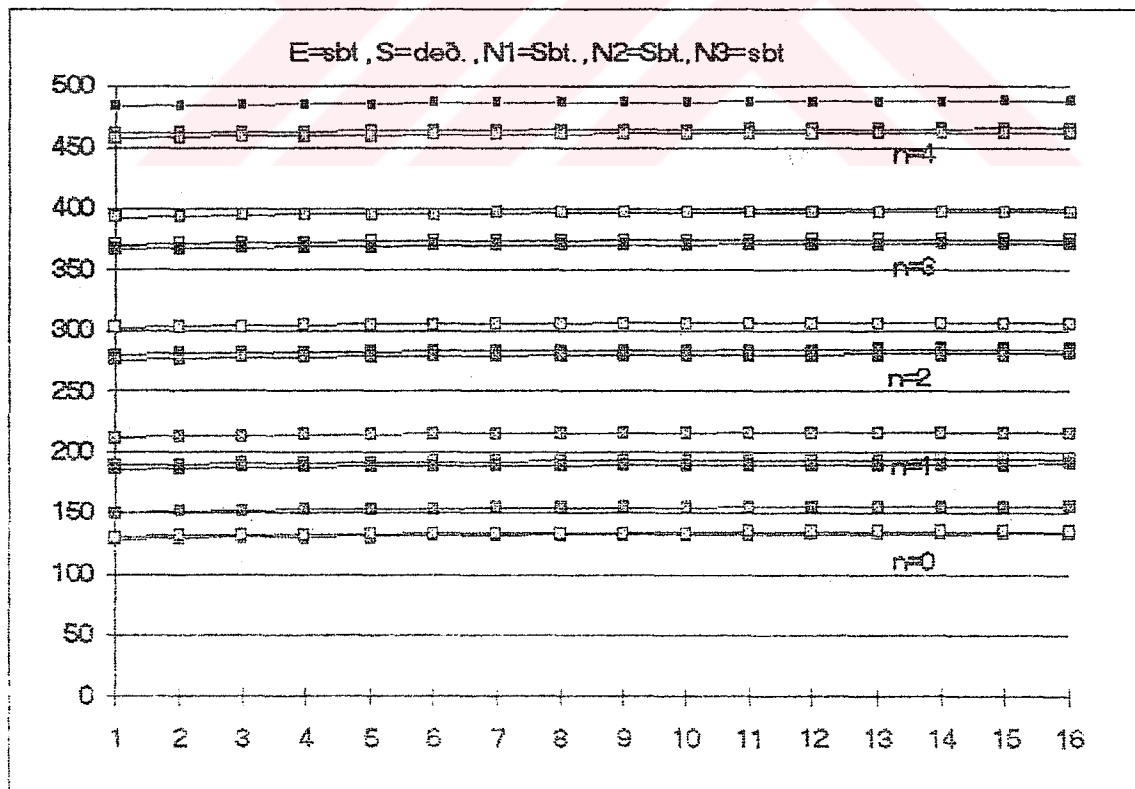
Şekil 6.28 : Üç raylı makinada 1. ve 3. Ray iplik numarası deg, 2. Ray iplik numarası sbt, incelik sbt ve sıra sıklığı deg iken RACK değerleri

$E=\text{deg}$, $S=\text{deg}$, $N1=\text{deg}$, $N2=\text{deg}$, $N3=\text{deg}$

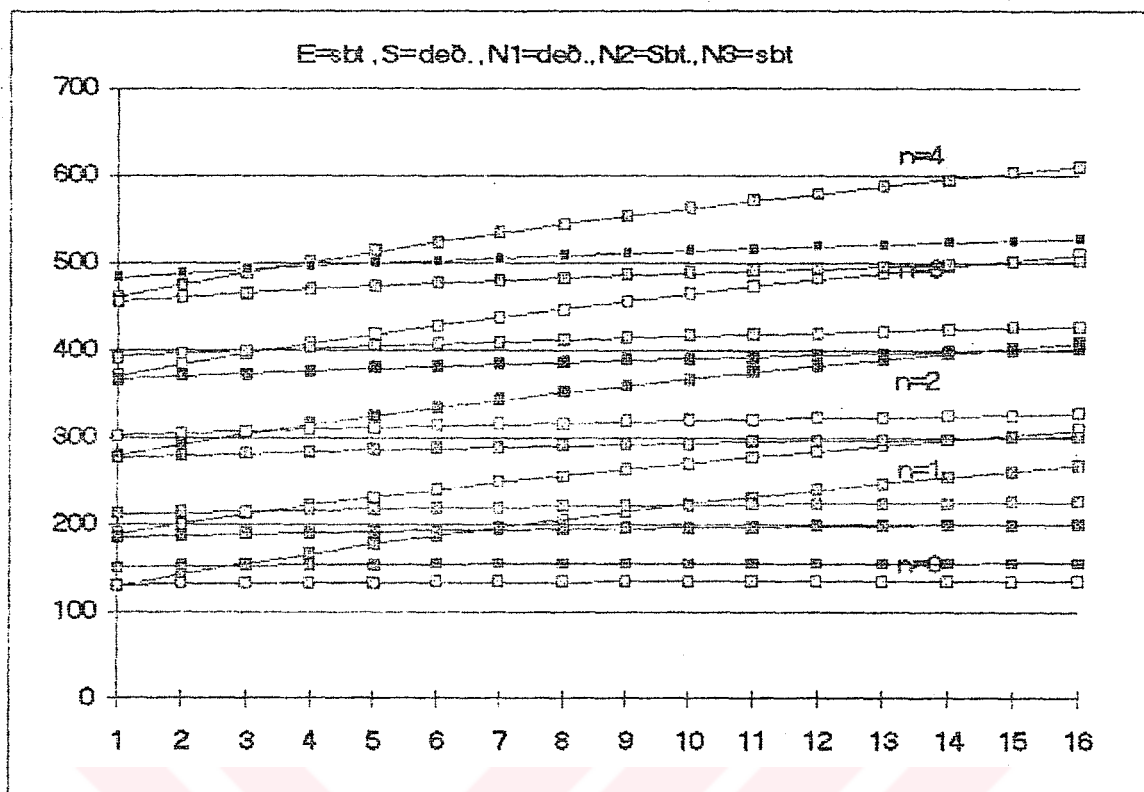


Şekil 6.29 : Üç raylı makinada iplik numaraları deg., incelik deg ve sıra sıklığı deg, iken RACK değerleri.

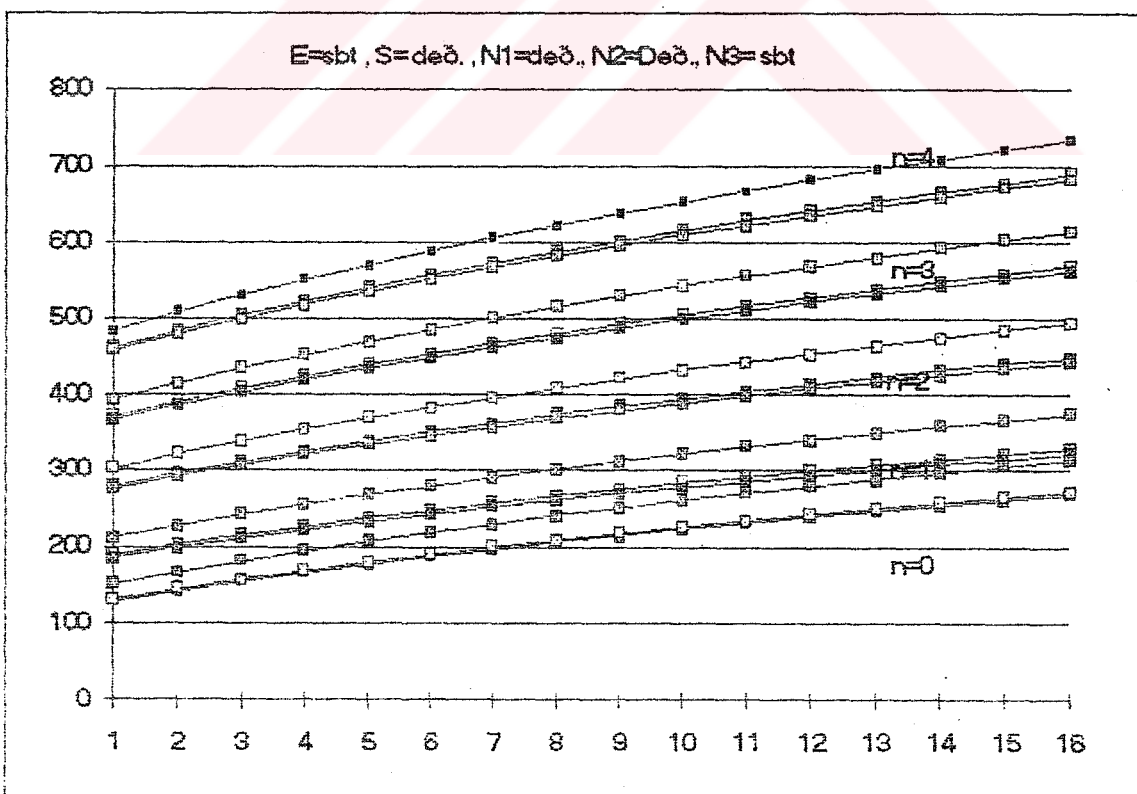
zit yatırım , Kapalı ilmek



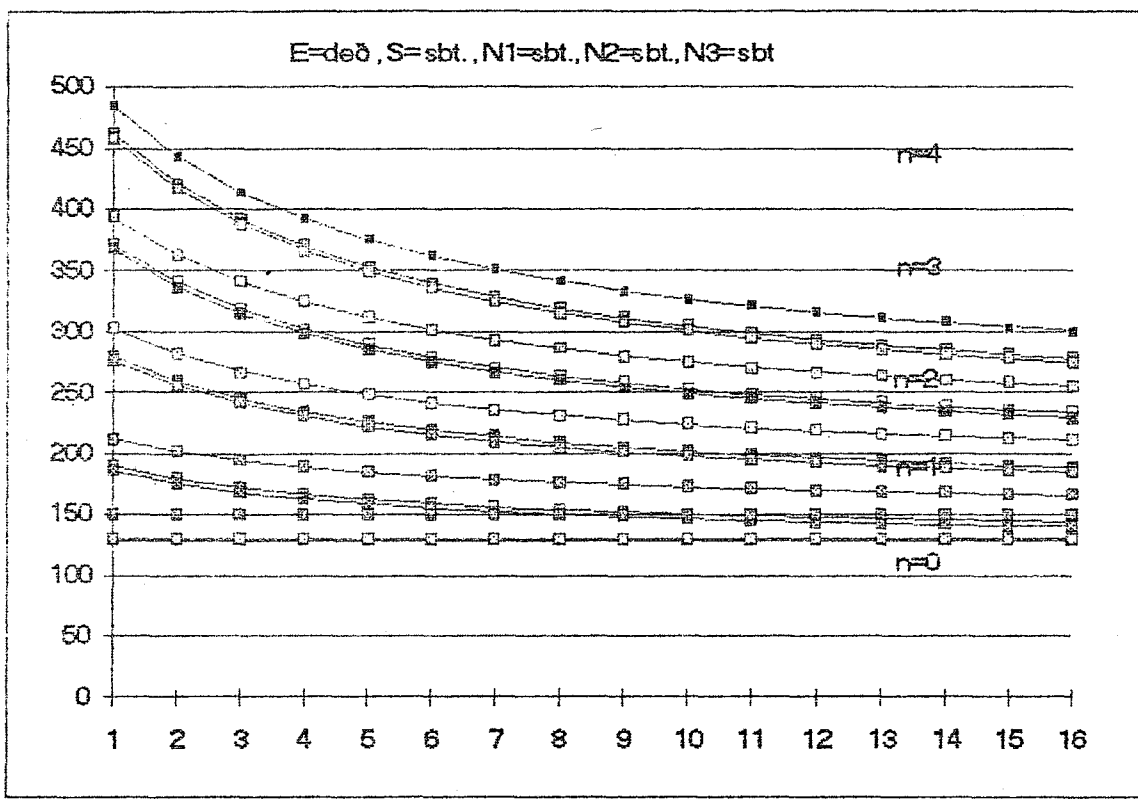
Şekil 6.30 : Üç raylı makinada iplik numaraları sbt,incelik sbt ve sıra sıklığı deg, iken RACK değerleri.



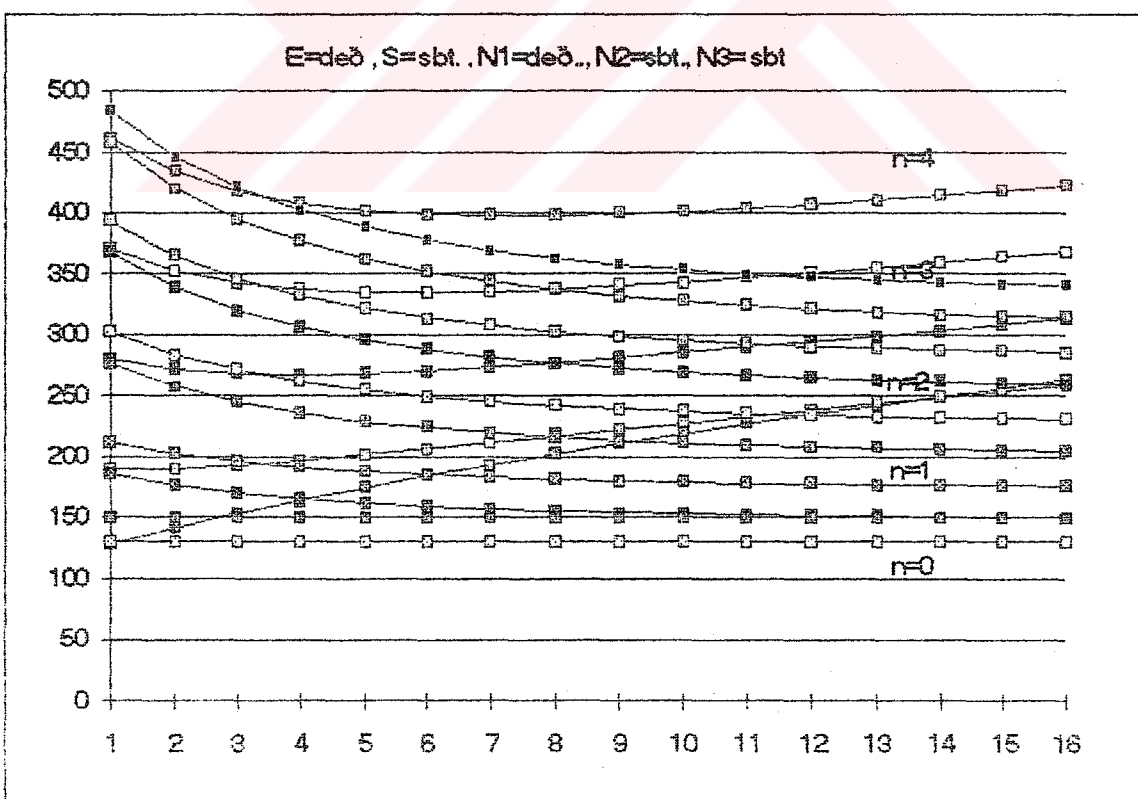
Şekil 6.31 : Üç raylı makinada 1.Ray iplik numarası değişken,2.ve 3. Ray iplik numaraları
sbt;incelik sbt ve sıra sıklığı deg. iken RACK değerleri.



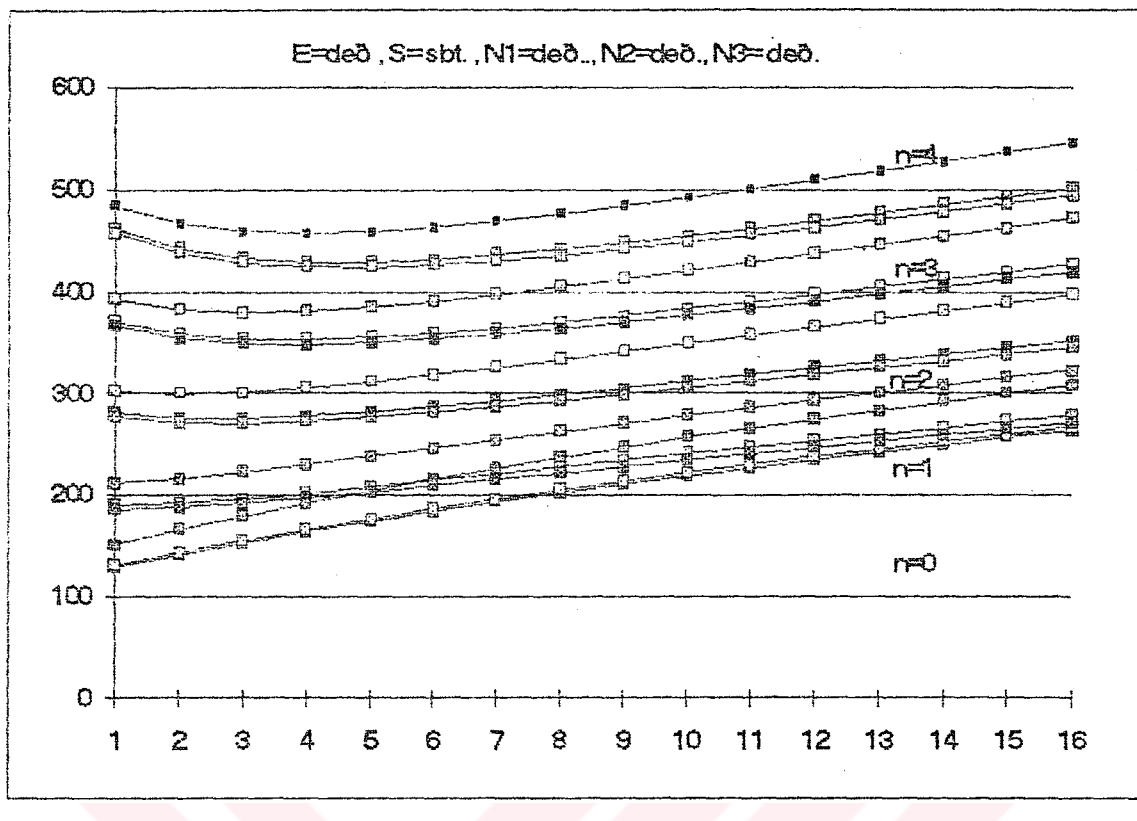
Şekil 6.32 : Üç raylı makinada 1. 2. ve 3.Ray iplik numaraları değişken, incelik sbt ve sıra sıklığı
deg. iken RACK değerleri;



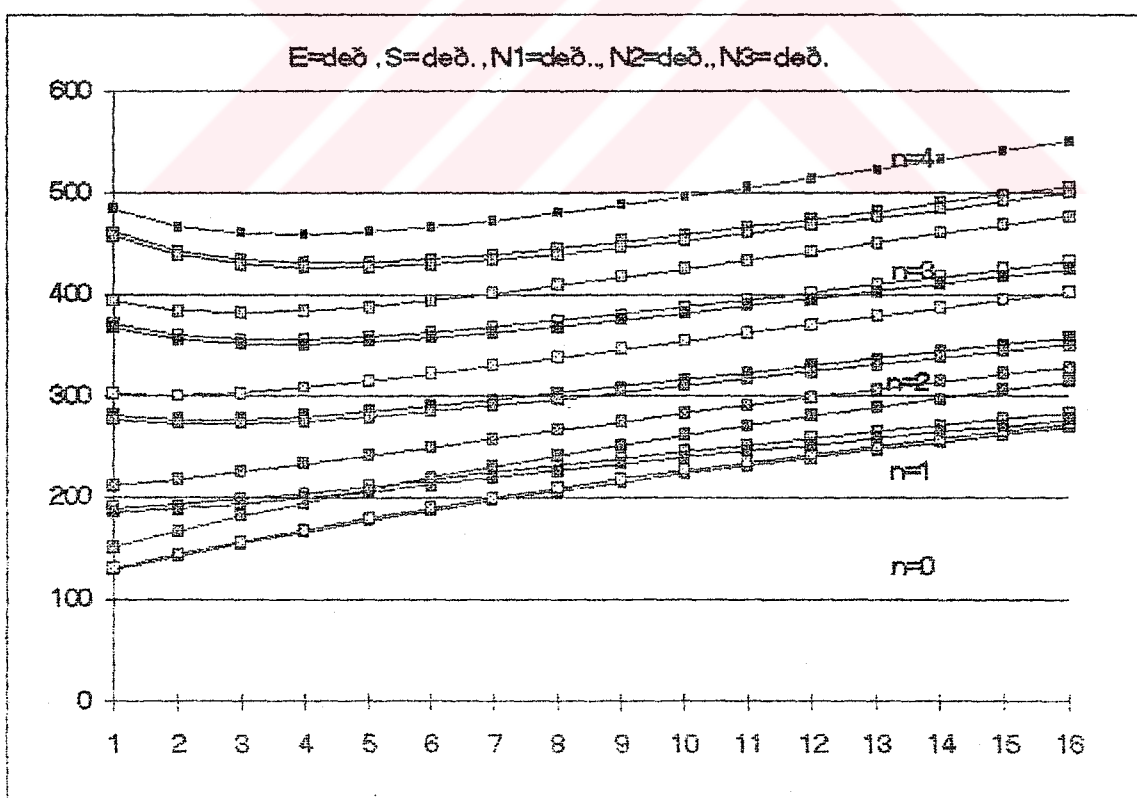
Sekil 6.33 : Üç raylı makinada 1. 2.ve 3.Ray iplik numaraları sbt., incelik deg̃. ve sıra sıklığı sbt. iken RACK değerleri.



Sekil 6.34 : Üç raylı makinada 1.Ray iplik numarası değişken, 2.ve 3.Ray iplik numaraları sbt., sıklık sbt.; incelik deg̃. iken RACK değerleri.



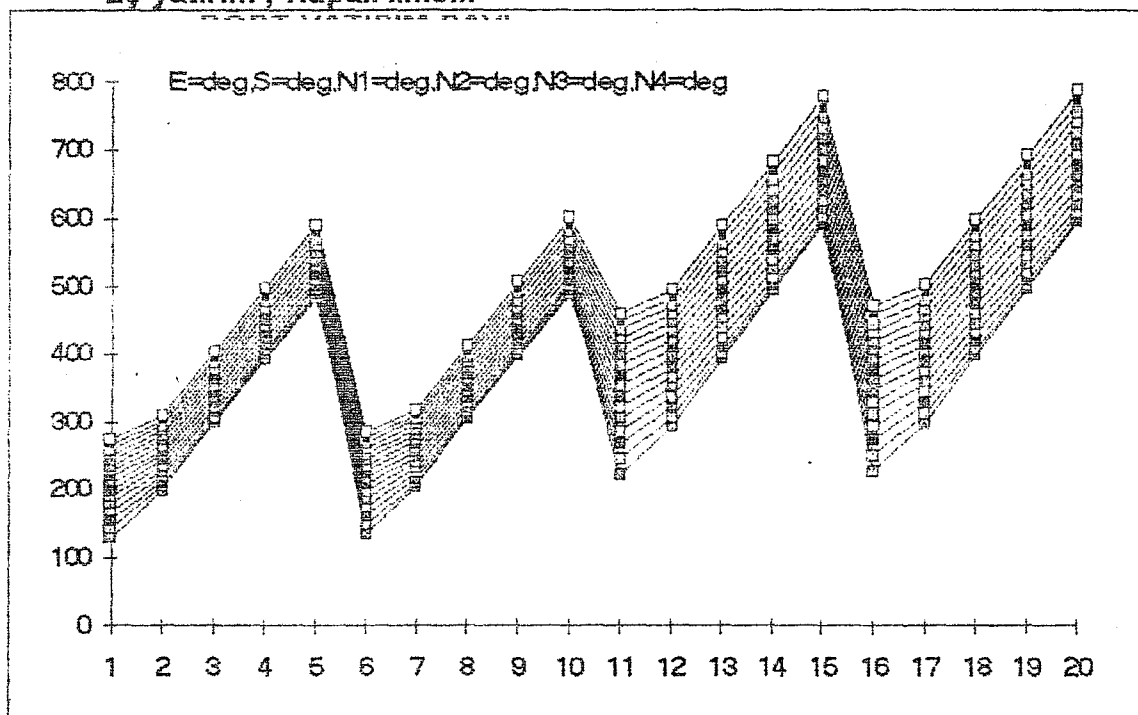
Şekil 6.35 : Üç raylı makinada 1.2. ve 3.Ray iplik numarası değişken, incelik deg. ve sıra sıklığı sbt. iken RACK değerleri.



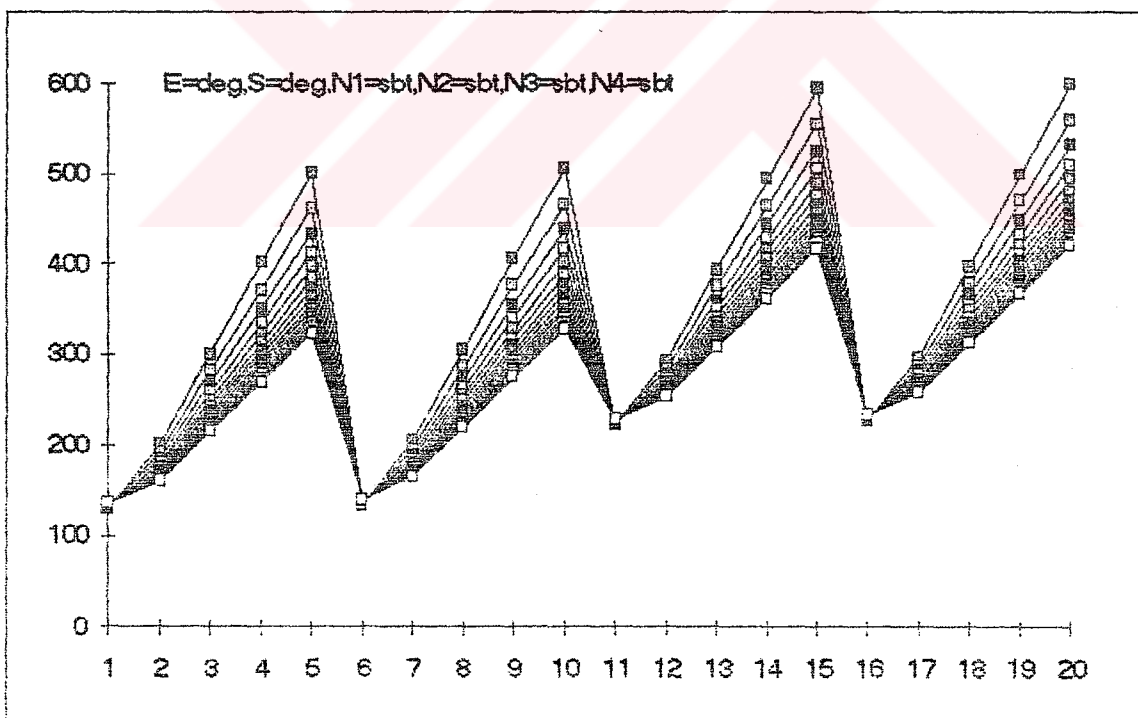
Şekil 6.36 : Üç raylı makinada 1.2. ve 3.Ray iplik numarası değişken, incelik deg. ve sıra sıklığı deg. iken RACK değerleri.

6.1.3. DÖRT YATIRIM RAYI

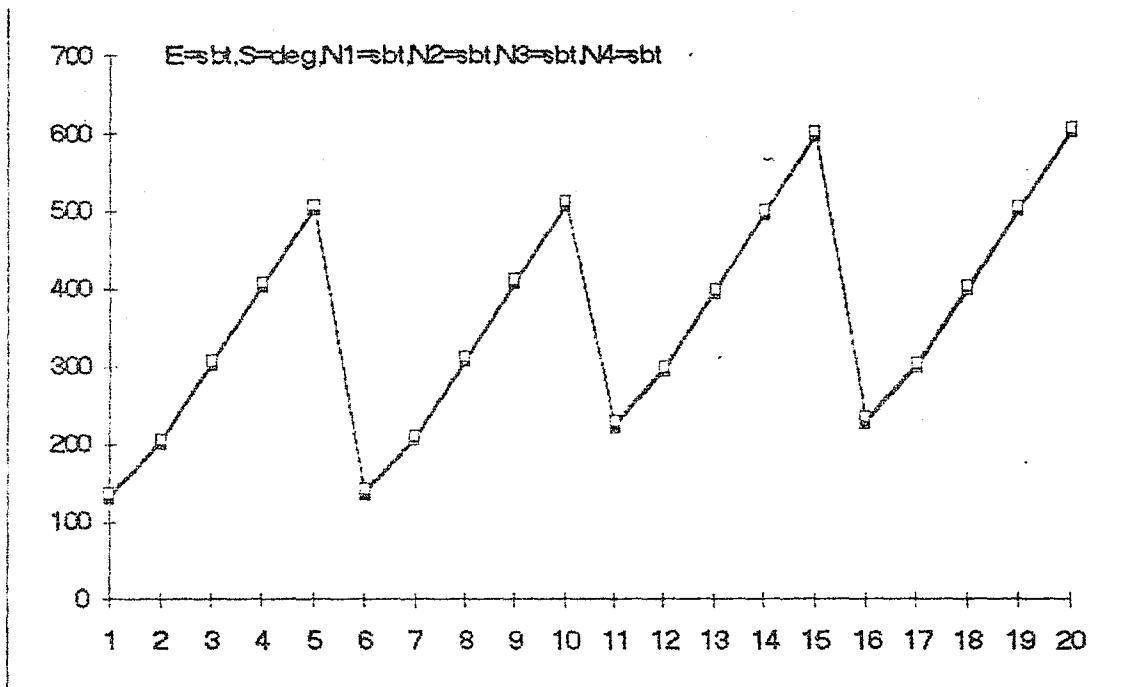
Eş yatırım, Kapalı ilmek:



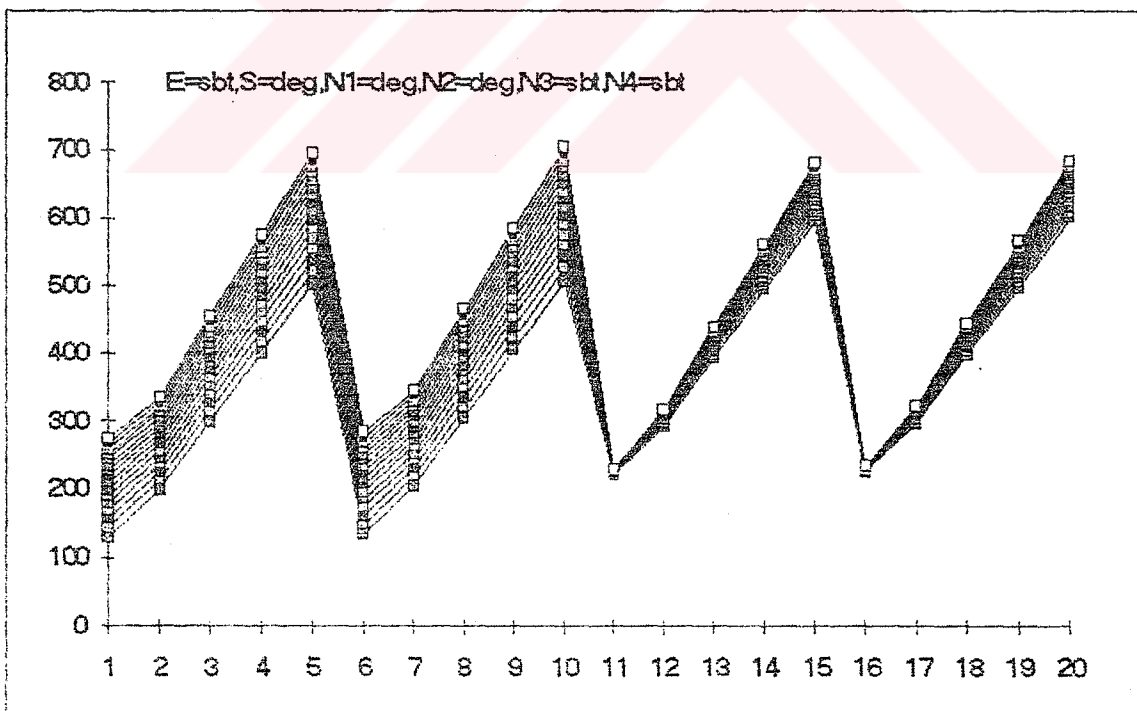
Şekil 6.37 : Dört raylı makinada iplik numaraları değişken, incelik deg. ve sıra sıklığı deg. iken RACK değerleri.



Şekil 6.38 : Dört raylı makinada iplik numaraları sabit, incelik deg. ve sıra sıklığı deg. iken RACK değerleri.

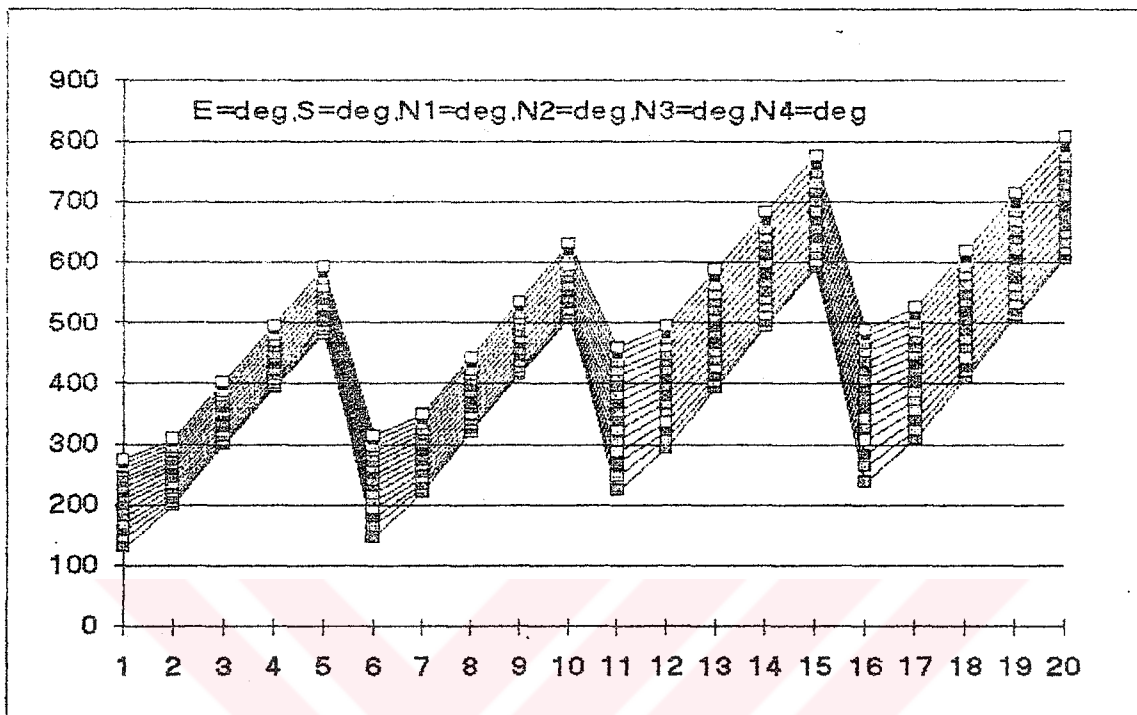


Şekil 6.39 : Dört raylı makinada iplik numaraları sabit, incelik sbt. ve sıra sıklığı dēg. iken RACK değerleri.

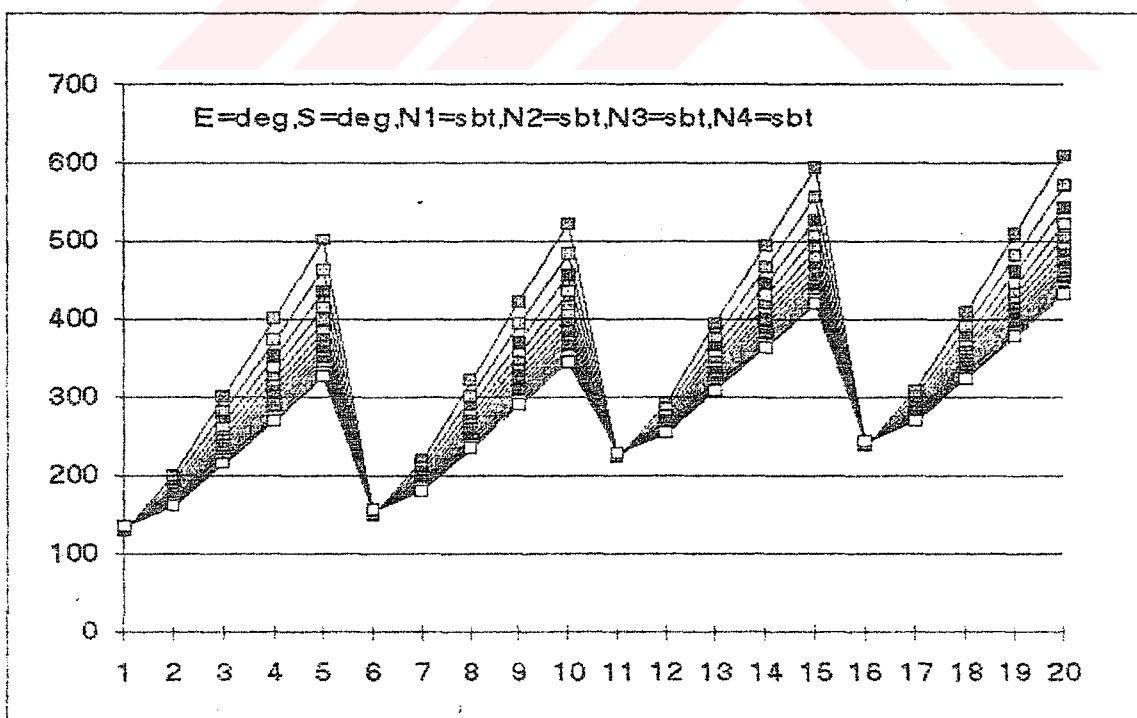


Şekil 6.40 : Dört raylı makinada 1. ve 2. Ray iplik numaraları dēğişken .3. ve 4. ray iplik numaraları sabit, incelik sbt. ve sıra sıklığı dēg. iken RACK değerleri.

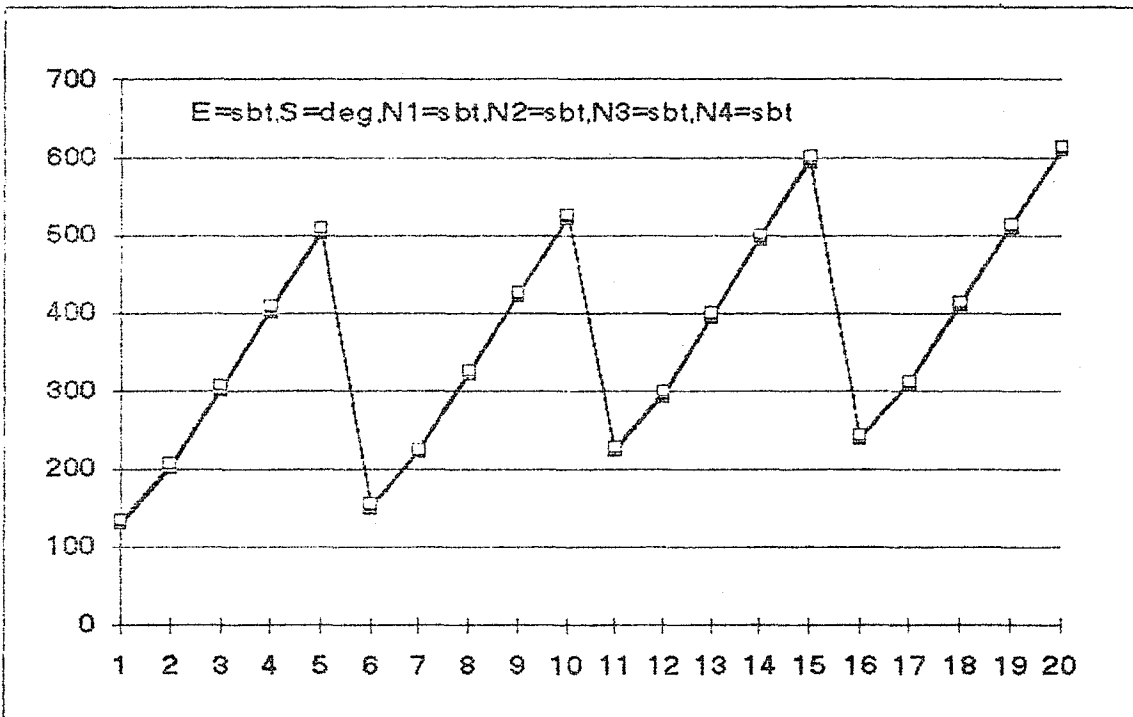
Eş yatırım, Açık ilmek:



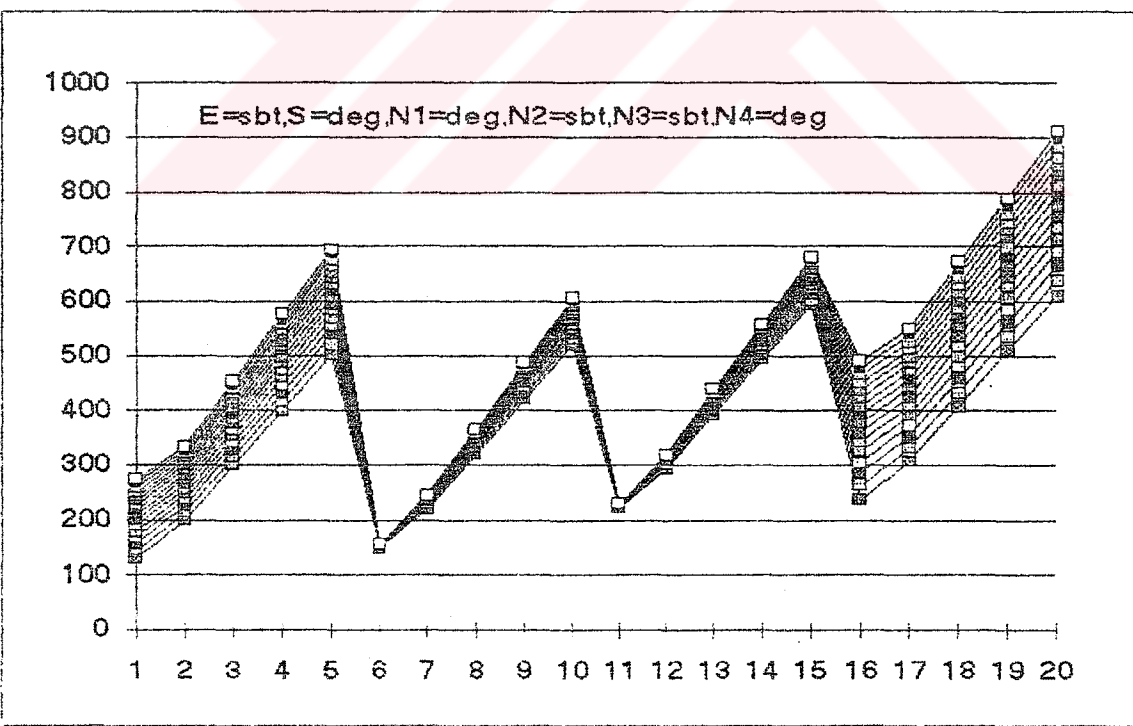
Şekil 6.41 :Dört raylı makinada iplik numaraları değişken , incelik dēg.. ve sıra sıklığı dēg. iken RACK değerleri.



Şekil 6.42 :Dört raylı makinada iplik numaraları sabit , incelik dēg.. ve sıra sıklığı dēg. iken RACK değerleri

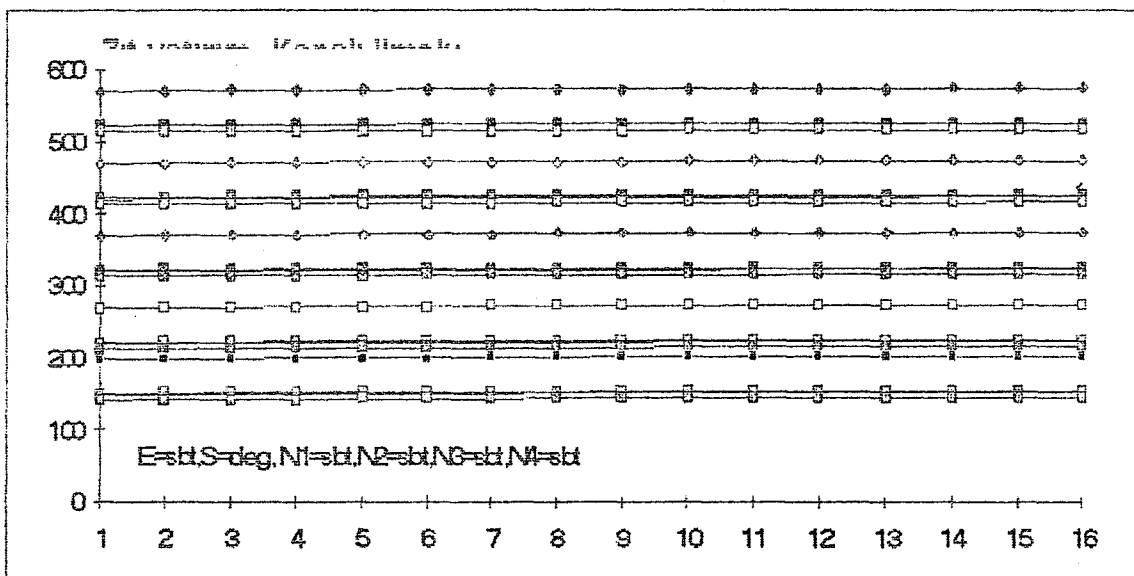


Şekil 6-43 Dört raylı makinada iplik numaraları sabit, incelik sbt. ve sıra sıklığı deg. iken RACK değerleri.

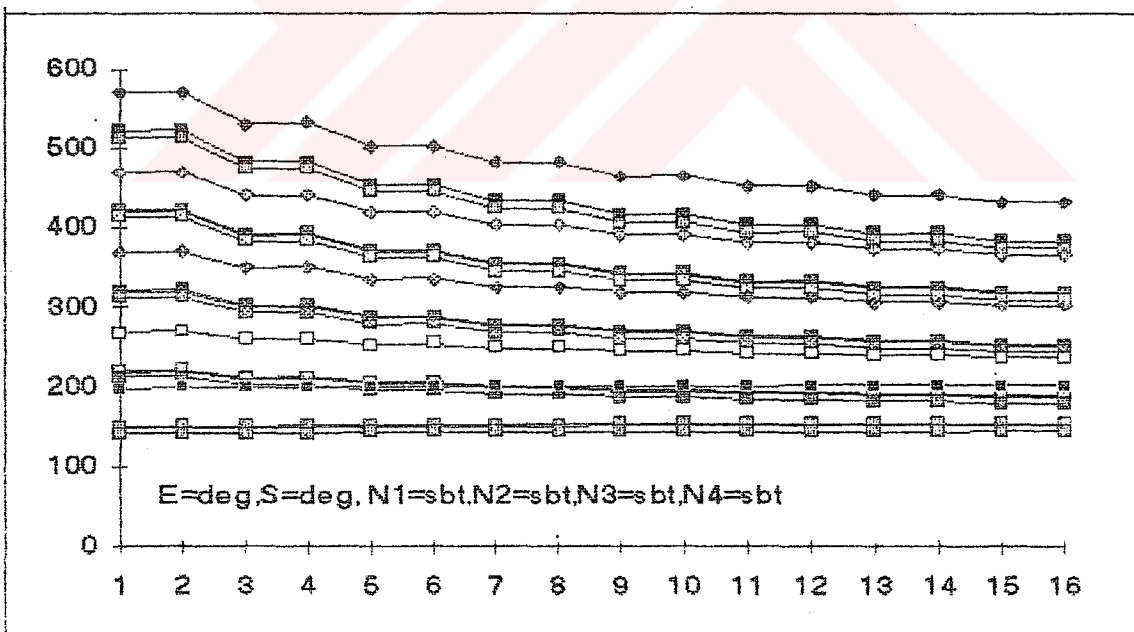


Şekil 6-44 Dört raylı makinada 1. ve 4. ray iplik numaraları deg., incelik sbt. ve sıra sıklığı deg. iken RACK değerleri.

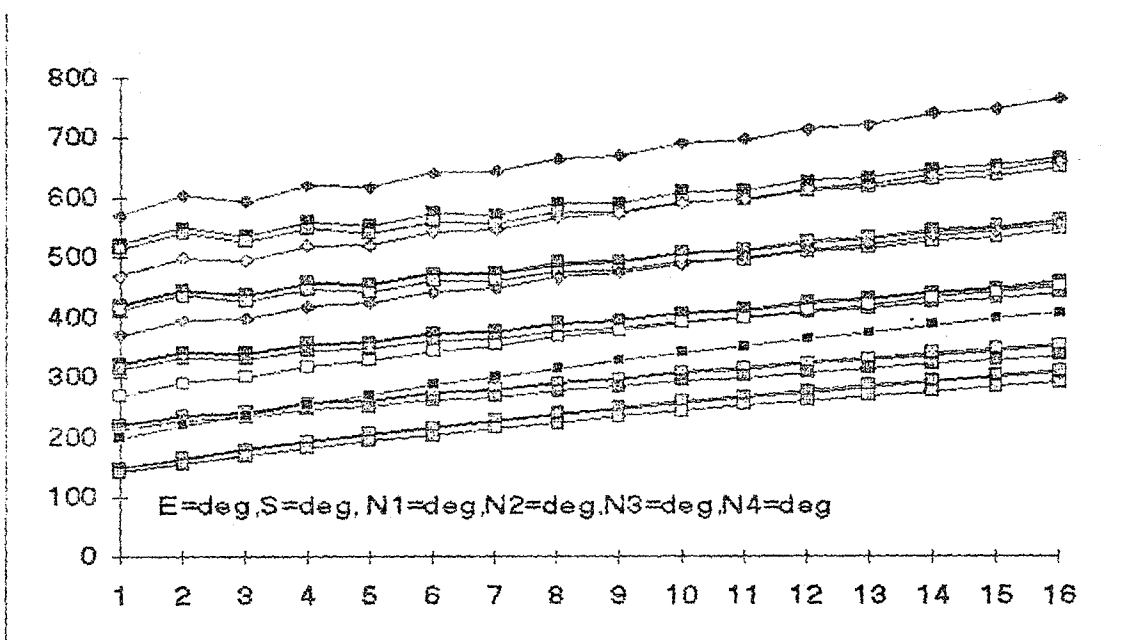
Zit yatırım, Kapalı ilmek:



Şekil 6.45 Dört raylı makinada iplik numaraları sbt, incelik sbt. ve sıra sıklığı deg. iken RACK değerleri.

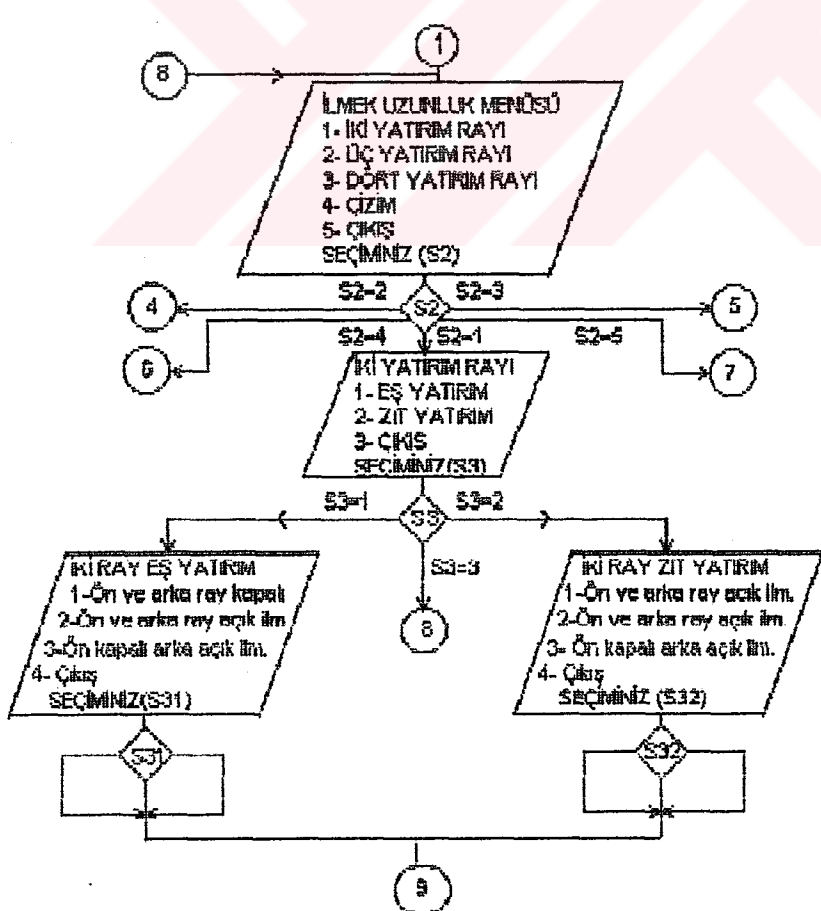
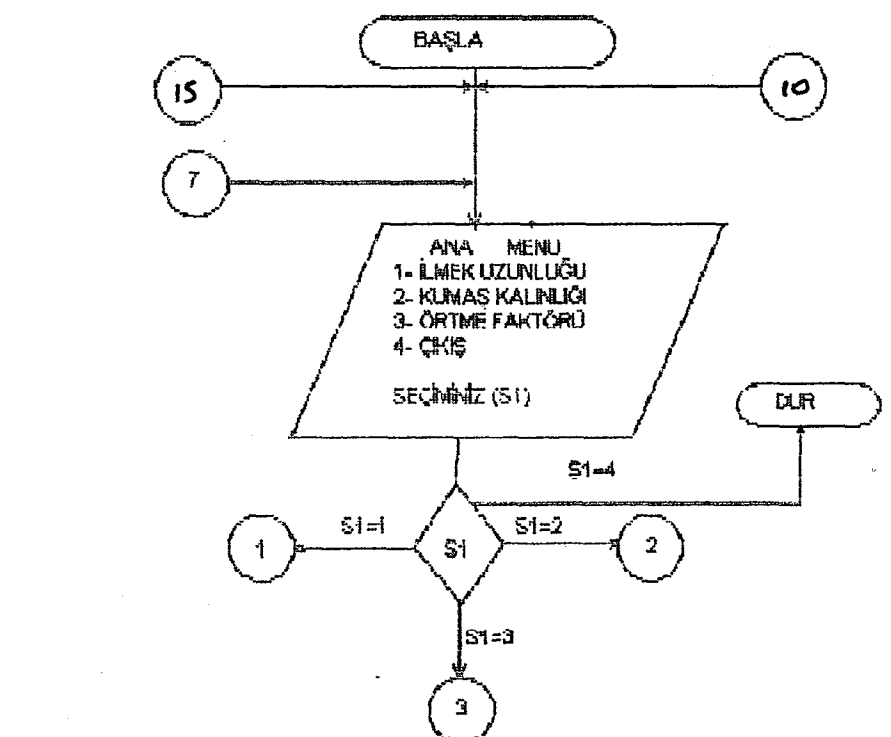


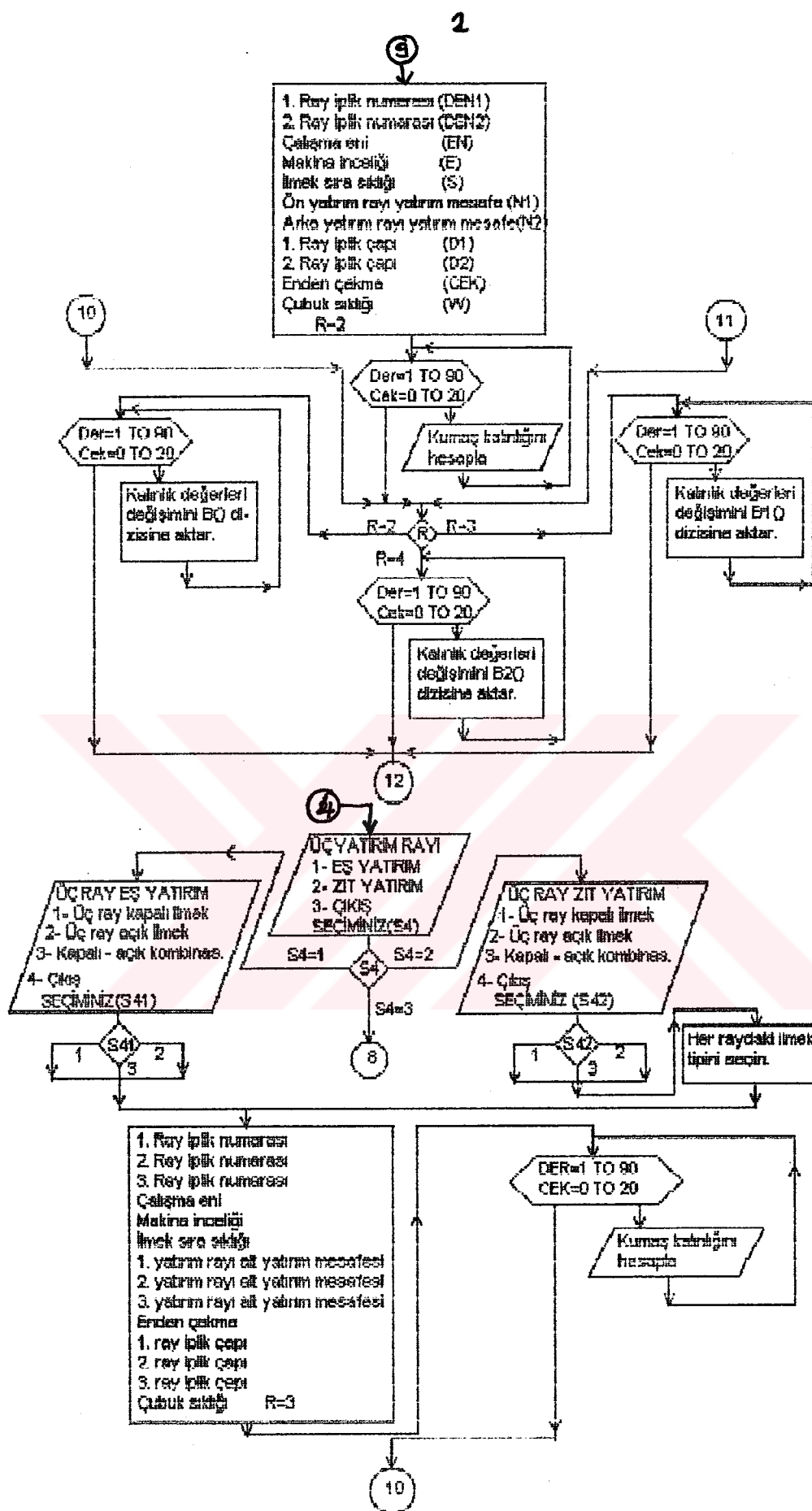
Şekil 6.46 Dört raylı makinada iplik numaraları sbt, incelik deg. ve sıra sıklığı deg. iken RACK değerleri.

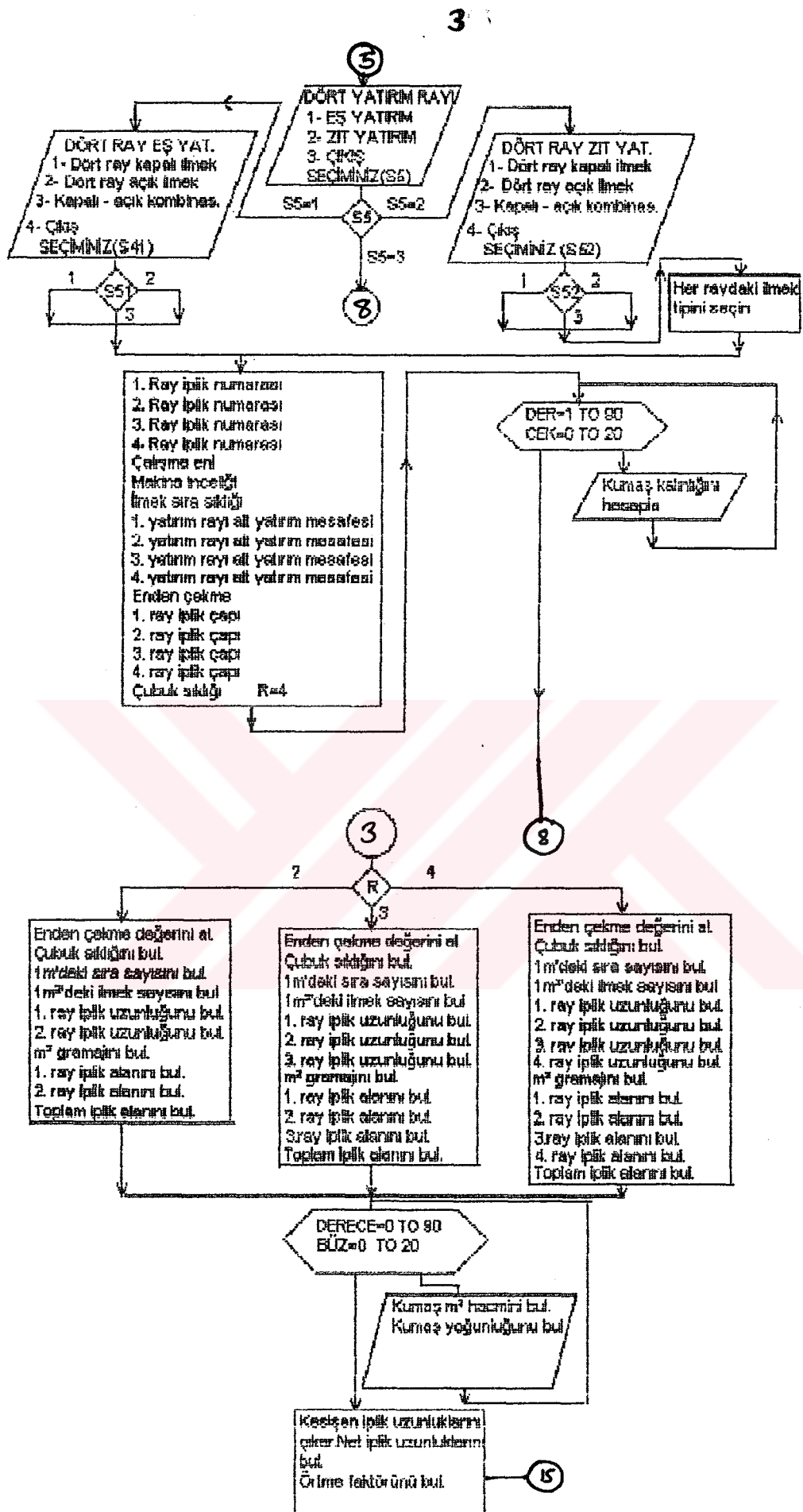


Sekil 6.47 : Dört raylı makinada iplik numaraları deg., incelik deg. ve sıra sıklığı deg. iken RACK değerleri.

6.2. BİLGİSAYAR PROGRAMLARI
6.2.1. Bilgisayar programı akış şeması







Şekil 6.48. Hesaplamada kullanılan bilgisayar programı işlem akış şeması

1.2. İKİ, ÜÇ, DÖRT YATIRIM RAYLIJ MAKİNALARDA ÖRÜLEN KUMAŞLARIN RACK DEĞERİ, AĞIRLIK, ORTME FAKTORU, KUMAŞ KALINLIGI DEĞERLERİNİN HESAPLANMASI.

```

DECLARE SUB IKIRAY (R, D1, N1, N2, W, C, EN, D2, DIZ1(), DEN1, DEN2, E, S, PR$)
DECLARE SUB UCRAY (R, N21, N22, N23, W, C, EN, D1, D2, D3, DIZ2(), DEN1, DEN2, DEN3, E, S, PR$)
DECLARE SUB DORTRAY (R, N41, N42, N43, N44, W, C, EN, D1, D2, D3, D4, DIZ3(), DIZ4(), DEN1,
DEN2, DEN3, DEN4, E, S, PR$)
DECLARE SUB GIRIS2 (N1, N2, W, C, EN, D1, D2, DEN1, DEN2, E, S, PR$)
DECLARE SUB GIRIS3 (N21, N22, N23, W, C, EN, D1, D2, D3, DEN1, DEN2, DEN3, E, S, PR$)
DECLARE SUB GIRIS4 (N41, N42, N43, N44, W, C, EN, D1, D2, D3, D4, DEN1, DEN2, DEN3, DEN4, E, S,
PR$)
DECLARE SUB AKTAR (R, L, DIZ1(), DIZ2(), DIZ3(), DIZ4(), DEN1, DEN2, DEN3, DEN4, EN, E, S, PR$)
DECLARE SUB CIZDIR (R, L, DIZ1(), DIZ2(), DIZ3(), DIZ4(), DEN1, DEN2, DEN3, DEN4, EN, E, S, PR$)
DECLARE SUB KALIN (R, D1, N1, N2, W, C, EN, D2, DIZ1(), DEN1, DEN2, E, S, A(), B(), B1(), B2(), PR$)
DECLARE SUB UCKAL (R, D1, N21, N22, N23, W, C, EN, D2, DIZ1(), DEN1, DEN2, DEN3, E, S, A(), B(),
B1(), B2(), PR$)
DECLARE SUB DORTKAL (R, D1, D3, D4, N41, N42, N43, N44, W, C, EN, D2, DIZ1(), DEN1, DEN2,
DEN3, DEN4, E, S, A(), B(), B1(), B2(), PR$)
DECLARE SUB IKIKAL (R, D1, N1, N2, W, C, EN, D2, DIZ1(), DEN1, DEN2, E, S, A(), B(), B1(), B2(),
PR$)
DECLARE SUB CIZIM1 (R, D1, N1, N2, W, C, EN, D2, DIZ1(), DEN1, DEN2, E, S, A(), B(), B1(), B2(),
PR$)
DECLARE SUB CIZIM2 (R, D1, N1, N2, W, C, EN, D2, DIZ1(), DEN1, DEN2, E, S, A(), B(), B1(), B2(),
PR$)
DECLARE SUB ORTME2 (R, D1, N1, N2, W, C, EN, D2, DIZ1(), DEN1, DEN2, E, S, ORT1(), UZ21, UZ22,
B(), PR$)
DECLARE SUB ORTME2CIZ (R, D1, N1, N2, W, C, EN, D2, DIZ1(), DEN1, DEN2, E, S, ORT1(), UZ21,
UZ22, B(), PR$)
COMMON SHARED R, L, N1, N2, N21, N22, N23, N41, N42, N43, N44, W, C, E, EN, DEN1, DEN2, DEN3,
DEN4, S, PR$
COMMON SHARED DIZ1(), DIZ2(), DIZ3(), DIZ4(), A(), B(), B1(), B2(), ORT1(), UZ21, UZ22
REDIM DIZ1(1, 9), DIZ2(1, 9), DIZ3(1, 9), DIZ4(30, 9)
REDIM A(91, 21), B(91, 21), B1(91, 21), B2(91, 21), ORT1(91, 21)
L = 0: R = 0
1 CLS
SCREEN 9
COLOR 14, 5
LINE (160, 35)-(380, 60), 14, B
LINE (161, 36)-(378, 59), 14, B
LINE (162, 37)-(377, 58), 14, B
LINE (160, 80)-(380, 100), 14, B
LINE (162, 82)-(378, 98), 14, B
LINE (160, 108)-(380, 128), 14, B
LINE (162, 110)-(378, 126), 14, B
LINE (160, 135)-(380, 156), 14, B
LINE (162, 137)-(378, 154), 14, B
LINE (160, 163)-(380, 185), 14, B
LINE (162, 165)-(378, 183), 14, B
LINE (160, 190)-(380, 212), 14, B
LINE (162, 192)-(378, 210), 14, B
LOCATE 4, 23: PRINT "A N A M E N U "
LOCATE 7, 25: PRINT "[1]-İLMEK UZUNLUGU "
LOCATE 9, 25: PRINT "[2]-KUMAŞ KALINLIGI "
LOCATE 11, 25: PRINT "[3]-ORTME FAKTORU"
LOCATE 13, 25: PRINT "[4]-ÇIKIS"
DO
    I$ = INKEY$
    LOCATE 15, 25: PRINT "SEÇİMİNİZ"
    IF I$ = "1" THEN GOSUB 1110: GOTO 1

```

```

157
IF IS = "2" THEN CALL KALIN(R, D1, N1, N2, W, C, EN, D2, DIZ1(), DEN1, DEN2, E, S, A0, B0, B10,
B20, PR$): GOTO 1
IF IS = "3" THEN CALL ORTME2(R, D1, N1, N2, W, C, EN, D2, DIZ1(), DEN1, DEN2, E, S, ORT1(), UZ21,
UZ22, B0, PR$): GOTO 1
IF IS = "4" THEN CLS : END
LOOP
1110 COLOR 14, 5
LINE (160, 35)-(380, 60), 14, R
LINE (161, 36)-(378, 59), 14, B
LINE (162, 37)-(377, 58), 14, B
LINE (160, 80)-(380, 100), 14, E
LINE (162, 82)-(378, 98), 14, B
LINE (160, 108)-(380, 128), 14, B
LINE (162, 110)-(378, 126), 14, B
LINE (160, 135)-(380, 156), 14, B
LINE (162, 137)-(378, 154), 14, B
LINE (160, 163)-(380, 185), 14, B
LINE (162, 165)-(378, 183), 14, B
LINE (160, 190)-(380, 212), 14, B
LINE (162, 192)-(378, 210), 14, B
LOCATE 4, 23: PRINT "ILMEK UZUNLUK MENU SU"
LOCATE 7, 23: PRINT "[1]-IKI YATIRIM RAYI"
LOCATE 9, 23: PRINT "[2]-UC YATIRIM RAYI"
LOCATE 11, 23: PRINT "[3]-DORT YATIRIM RAYI"
LOCATE 13, 23: PRINT "[4]-CIZIM"
LOCATE 15, 23: PRINT "[5]-CIKIS"
DO
IS = INKEY$
LOCATE 17, 25: PRINT "SECEMINIZ"
IF IS = "1" THEN CALL IKIRAY(R, D1, N1, N2, W, C, EN, D2, DIZ1(), DEN1, DEN2, E, S, PR$): GOTO 1110
IF IS = "2" THEN CALL UCRAY(R, N21, N22, N23, W, C, EN, D1, D2, D3, DIZ2(), DEN1, DEN2, DEN3, E,
S, PR$): GOTO 1110
IF IS = "3" THEN CALL DORTRAY(R, N41, N42, N43, N44, W, C, EN, D1, D2, D3, D4, DIZ3(), DEN1, DEN2, DEN3, DEN4, E, S, PR$): GOTO 1110
IF IS = "4" THEN
IF R = 0 THEN CLS : LOCATE 10, 20: PRINT "DEGER GIRISI YAPMADAN CIZIM YAPAMAZSINIZ";
SLEEP 0: CLS : GOTO 1110
CALL CIZDIR(R, L, DIZ1(), DIZ2(), DIZ3(), DIZ4(), DEN1, DEN2, DEN3, DEN4, EN, E, S, PR$)
GOTO 1110
END IF
IF IS = "5" THEN CLS : RETURN
LOOP

SUB AKTAR (R, L, DIZ1(), DIZ2(), DIZ3(), DIZ4(), DEN1, DEN2, DEN3, DEN4, EN, E, S, PR$)
L = L + 1
IF R = 2 THEN
DIZ4(L, 1) = DIZ1(1, 1)
DIZ4(L, 2) = DIZ1(1, 2)
DIZ4(L, 5) = 2
MET = 10000 * (S * E) / (2.54 * (100 - CEK))
DIZ4(L, 6) = MET * DIZ1(1, 1) * DEN1 / 9000
DIZ4(L, 7) = MET * DIZ1(1, 2) * DEN2 / 9000
END IF
IF R = 3 THEN
DIZ4(L, 1) = DIZ2(1, 1)
DIZ4(L, 2) = DIZ2(1, 2)
DIZ4(L, 3) = DIZ2(1, 3)
END IF

```

```

DIZ4(L, 5) = 3
MET = 10000 * (S * E) / (2.54 * (100 - CEK))
DIZ4(L, 6) = MET * DIZ2(1, 1) * DEN1 / 9000
DIZ4(L, 7) = MET * DIZ2(1, 2) * DEN2 / 9000
DIZ4(L, 8) = MET * DIZ2(1, 3) * DEN3 / 9000
END IF
IF R = 4 THEN
DIZ4(L, 1) = DIZ3(1, 1)
DIZ4(L, 2) = DIZ3(1, 2)
DIZ4(L, 3) = DIZ3(1, 3)
DIZ4(L, 4) = DIZ3(1, 4)
DIZ4(L, 5) = 4
MET = 10000 * (S * E) / (2.54 * (100 - CEK))
DIZ4(L, 6) = MET * DIZ3(1, 1) * DEN1 / 9000
DIZ4(L, 7) = MET * DIZ3(1, 2) * DEN2 / 9000
DIZ4(L, 8) = MET * DIZ3(1, 3) * DEN3 / 9000
DIZ4(L, 9) = MET * DIZ3(1, 4) * DEN4 / 9000
END IF
END SUB

SUB CIZDIR (R, L, DIZ1(), DIZ2(), DIZ3(), DIZ4(), DEN1, DEN2, DEN3, DEN4, EN, E, S, PR$)
CLS
FOR N = 1 TO L
IF DIZ4(N, 5) = 2 THEN
PRINT "TKI RAY"
PRINT DIZ4(N, 6), DIZ4(N, 7)
END IF
IF DIZ4(N, 5) = 3 THEN
PRINT "UC RAY"
PRINT DIZ4(N, 6), DIZ4(N, 7), DIZ4(N, 8), DIZ4(N, 6) + DIZ4(N, 7) + DIZ4(N, 8)
END IF
IF DIZ4(N, 5) = 4 THEN
PRINT "DORT RAY"
PRINT DIZ4(N, 6), DIZ4(N, 7), DIZ4(N, 8), DIZ4(N, 9)
END IF
NEXT N
SLEEP 0
CLS
SCREEN 12
LINE (100, 460)-(600, 460), 15
FOR N = 1 TO L
IF DIZ4(N, 5) = 2 THEN
LINE (100 + F, 460)-(103 + F, 460 - DIZ4(N, 6) * 2), N, BF
F = F + 5
LINE (100 + F, 460)-(103 + F, 460 - DIZ4(N, 7) * 2), N, BF
END IF
IF DIZ4(N, 5) = 3 THEN
LINE (100 + F, 460)-(103 + F, 460 - DIZ4(N, 6) * 2), N, BF
F = F + 5
LINE (100 + F, 460)-(103 + F, 460 - DIZ4(N, 7) * 2), N, BF
F = F + 5
LINE (100 + F, 460)-(103 + F, 460 - DIZ4(N, 8) * 2), N, BF
END IF
IF DIZ4(N, 5) = 4 THEN
LINE (100 + F, 460)-(103 + F, 460 - DIZ4(N, 6) * 2), N, BF
F = F + 5
LINE (100 + F, 460)-(103 + F, 460 - DIZ4(N, 7) * 2), N, BF
F = F + 5

```

```

LINE (100 + F, 460)-(103 + F, 460 - DIZ4(N, 8) * 2), N, BF
F = F + 5
LINE (100 + F, 460)-(103 + F, 460 - DIZ4(N, 9) * 2), N, BF
END IF
F = F + 5
NEXT N
SLEEP 0
SCREEN 9
COLOR 14, 5
CLS
END SUB

SUB CIZIM1 (R, D1, N1, N2, W, C, EN, D2, DIZ1(), DEN1, DEN2, E, S, A(), B(), B1(), B2(), PR$)
IF R = 2 THEN
FOR T = 1 TO 91
FOR H = 1 TO 21
B(T, H) = A(T, H)
NEXT H
NEXT T
END IF
IF R = 3 THEN
FOR T = 1 TO 91
FOR H = 1 TO 21
B1(T, H) = A(T, H)
NEXT H
NEXT T
END IF
IF R = 4 THEN
FOR T = 1 TO 91
FOR H = 1 TO 21
B2(T, H) = A(T, H)
NEXT H
NEXT T
END IF
END SUB

SUB CIZIM2 (R, D1, N1, N2, W, C, EN, D2, DIZ1(), DEN1, DEN2, E, S, A(), B(), B1(), B2(), PR$)
CLS
SCREEN 12
N = 0: N3 = 0: N4 = 0: S = 0: S1 = 0: S2 = 0
FOR T = 1 TO 273
IF T <= 91 THEN
LINE (1 + N + S, 350)-(2 + N + S, 350 - 100 * B(T, 1)), 1, BF
LINE (1 + N + S, 350)-(2 + N + S, 350 - 100 * B(T, 21)), 10, BF
S = S + 1
N = N + 1
LOCATE 23, 4: PRINT "MAKS KAL ="; USING "# ####"; B(1, 1)
LOCATE 24, 4: PRINT "MIN KAL ="; USING "####.####"; B(91, 21)
END IF
IF T > 91 AND T <= 182 THEN
LINE (200 + N3 + S1, 350)-(201 + N3 + S1, 350 - 100 * B1(T - 91, 1)), 1, BF
LINE (200 + N3 + S1, 350)-(201 + N3 + S1, 350 - 100 * B1(T - 91, 21)), 10, BF
S1 = S1 + 1
N3 = N3 + 1
LOCATE 23, 32: PRINT "MAKS KAL ="; USING "# ####"; B1(1, 1)
LOCATE 24, 32: PRINT "MIN KAL ="; USING "####.####"; B1(91, 21)
END IF
IF T > 182 THEN

```

```

LINE (350 + N4 + S2, 350)-(401 + N4 + S2, 350 - 100 * B2(T - 182, 1)), 1, BF
LINE (350 + N4 + S2, 350)-(401 + N4 + S2, 350 - 100 * B2(T - 182, 21)), 10, BF
S2 = S2 + 1
N4 = N4 + 1
LOCATE 23, 55: PRINT "MAKS KAL=:", USING "#.####", B2(1, 1)
LOCATE 24, 55: PRINT "MIN KAL=:", USING "####.####", B2(91, 21)
END IF
NEXT T
LINE (1, 350)-(640, 351), 12, BF
LINE (1, 1)-(2, 350), 12, BF
LINE (1, 150)-(640, 150), 15,, &H121
LINE (1, 250)-(640, 250), 15,, &H121
FOR HJ = 350 TO 0 STEP -10
LINE (1, HJ)-(2, HJ), 15
NEXT HJ
LOCATE 2, 3: PRINT "Kalinlik (mm)"
LOCATE 28, 10: PRINT "2,3,4 Rayli makinede orulmus kumas kalinlikleri"
SLEEP 0
END SUB

```

```

SUB DORTKAL (R, D1, D3, D4, N41, N42, N43, N44, W, C, EN, D2, DIZ1(), DEN1, DEN2, DEN3, DEN4,
E, S, A0, B0, B1(), B2(), PR$)
CLS
R = 4
PI = 3.141593
CC = 1: CCC = 1
FOR H1 = 0 TO 90
H = H1 * PI / 180
FOR T = 0 TO 20
T1 = 1 - (T / 100)
X = COS(H) * 10 * (D3 * T1 + D4 * T1) / 2
X1 = COS(H) * 10 * (D1 * T1 + T1 * D2) / 2
L = (10 * (D1 * T1 + D4 * T1) / 2) + X1 + X + 20 * (D1 + D2 + D3 + D4) * T1
A(CCC, CC) = L
CC = CC + 1
NEXT T
CC = 1
CCC = CCC + 1
NEXT H1
CALL CIZIM1(R, D1, N1, N2, W, C, EN, D2, DIZ1(), DEN1, DEN2, E, S, A0, B0, B1(), B2(), PR$)
END SUB

```

```

SUB DORTRAY (R, N41, N42, N43, N44, W, C, EN, D1, D2, D3, D4, DIZ3(), DIZ4(), DEN1, DEN2, DEN3,
DEN4, E, S, PR$)
12 CLS
R = 4
LINE (160, 35)-(380, 60), 14, B
LINE (161, 36)-(378, 59), 14, B
LINE (162, 37)-(377, 58), 14, B
LINE (160, 80)-(380, 100), 14, B
LINE (162, 82)-(378, 98), 14, B
LINE (160, 108)-(380, 128), 14, B
LINE (162, 110)-(378, 126), 14, B
LINE (160, 135)-(380, 155), 14, B
LINE (162, 137)-(378, 154), 14, B
LINE (160, 163)-(380, 185), 15, B
LINE (162, 165)-(378, 183), 15, B
LOCATE 4, 23: PRINT "DORT YATIRIM RAYI MENUSU"

```

```

LOCATE 7, 25: PRINT "[1]- ES YATIRIM"
LOCATE 9, 25: PRINT "[2]- ZIT YATIRIM"
LOCATE 11, 25: PRINT "[3]- CIKIS"
DO
I1$ = INKEY$
LOCATE 13, 25: PRINT "SECIMINIZ"
IF I1$ = "1" THEN GOSUB 5000: GOTO 12
IF I1$ = "2" THEN GOSUB 6000: GOTO 12
IF I1$ = "3" THEN EXIT SUB
LOOP
5000 CLS
LINE (160, 35)-(380, 60), 14, B
LINE (161, 36)-(378, 59), 14, B
LINE (162, 37)-(377, 58), 14, B
LINE (160, 80)-(380, 100), 14, B
LINE (162, 82)-(378, 98), 14, B
LINE (160, 108)-(380, 128), 14, B
LINE (162, 110)-(378, 126), 14, B
LINE (160, 135)-(380, 156), 14, B
LINE (162, 137)-(378, 154), 14, B
LINE (160, 163)-(380, 183), 14, B
LINE (162, 165)-(378, 183), 14, B

LOCATE 4, 24: PRINT "DORT RAY ES YATIRIM"
LOCATE 7, 22: PRINT "1- Dört ray kapali ilmek"
LOCATE 9, 22: PRINT "2- Dört ray acik ilmek"
LOCATE 11, 22: PRINT "3- Dört ray kap. acik komb"
LOCATE 13, 22: PRINT "4- cikis"
DO
I3$ = INKEY$
LOCATE 15, 22: PRINT "SECIMINIZ"
IF I3$ = "1" THEN CALL GIRIS4(N41, N42, N43, N44, W, C, EN, D1, D2, D3, D4, DEN1, DEN2, DEN3,
DEN4, E, S, PR$): GOSUB 5100: GOTO 5000
IF I3$ = "2" THEN CALL GIRIS4(N41, N42, N43, N44, W, C, EN, D1, D2, D3, D4, DEN1, DEN2, DEN3,
DEN4, E, S, PR$): GOSUB 5200: GOTO 5000
IF I3$ = "3" THEN CALL GIRIS4(N41, N42, N43, N44, W, C, EN, D1, D2, D3, D4, DEN1, DEN2, DEN3,
DEN4, E, S, PR$): GOSUB 5300: GOTO 5000
IF I3$ = "4" THEN RETURN
LOOP
5100
EOOOAK1 = SQR((C - 2 * D1) ^ 2 + D1 ^ 2) + SQR((C - 2 * D1) ^ 2 + 16 * D1 ^ 2) + SQR((C - D1) ^ 2 +
(N41 * W - 3 * D1) ^ 2) + 21.42 * D1: DIZ3(1, 1) = EOOOAK1
EOOOAK2 = SQR((C - 2 * D2) ^ 2 + D2 ^ 2) + SQR((C - 2 * D2) ^ 2 + 16 * D2 ^ 2) + SQR((C - D2) ^ 2 +
(N42 * W - 3 * D2) ^ 2) + 23.56 * D2: DIZ3(1, 2) = EOOOAK2
EOOOAK3 = SQR((C - 2 * D3) ^ 2 + D3 ^ 2) + SQR((C - 2 * D3) ^ 2 + 16 * D3 ^ 2) + SQR((C - D3) ^ 2 +
(N43 * W - 3 * D3) ^ 2) + 30.84 * D3: DIZ3(1, 3) = EOOOAK3
EOOOAK4 = SQR((C - 2 * D4) ^ 2 + D4 ^ 2) + SQR((C - 2 * D4) ^ 2 + 16 * D4 ^ 2) + SQR((C - D4) ^ 2 +
(N44 * W - 3 * D4) ^ 2) + 31.84 * D4: DIZ3(1, 4) = EOOOAK4
CALL AKTAR(R, L, DIZ1(), DIZ2(), DIZ3(), DIZ4(), DEN1, DEN2, DEN3, DEN4, EN, E, S, PR$)
RETURN
5200
EOOOAA1 = 2 * SQR((C - 2 * D1) ^ 2 + D1 ^ 2) + SQR((C - D1) ^ 2 + (N41 * W - 3 * D1) ^ 2) + 20.42 *
D1: DIZ3(1, 1) = EOOOAA1
EOOOAA2 = 2 * SQR((C - 2 * D2) ^ 2 + D2 ^ 2) + SQR((C - D2) ^ 2 + (N42 * W - 3 * D2) ^ 2) + 21.42 *
D2: DIZ3(1, 2) = EOOOAA2
EOOOAA3 = 2 * SQR((C - 2 * D3) ^ 2 + D3 ^ 2) + SQR((C - D3) ^ 2 + (N43 * W - 3 * D3) ^ 2) + 29.26 *
D3: DIZ3(1, 3) = EOOOAA3
EOOOAA4 = 2 * SQR((C - 2 * D4) ^ 2 + D4 ^ 2) + SQR((C - D4) ^ 2 + (N44 * W - 3 * D4) ^ 2) + 30.26 *

```

```

D4: DIZ3(1, 4) = E000AAA4
CALL AKTAR(R, L, DIZ1(), DIZ2(), DIZ3(), DIZ4(), DEN1, DEN2, DEN3, DEN4, EN, E, S, PR$)
RETURN
5300
CLS
LOCATE 5, 25: PRINT "RAY SIRASINA GORE ILMEK TIPINI GIRINIZ (Acik/Kepali)""
LOCATE 5, 54: INPUT SECIM$
FOR K = 1 TO 4
C$ = MID$(SECIM$, K, 1)
IF C$ = "A" AND K = 1 THEN EKOMB41 = 2 * SQR((C - 2 * D1) ^ 2 + D1 ^ 2) + SQR((C - D1) ^ 2 + (N41 *
W - 3 * D1) ^ 2) + 20.42 * D1: DIZ3(1, 1) = EKOMB41
IF C$ = "K" AND K = 1 THEN EKOMB41 = SQR((C - 2 * D1) ^ 2 + D ^ 2) + SQR((C - 2 * D1) ^ 2 + 16 * D1
^ 2) + SQR((C - D) ^ 2 + (N41 * W - 3 * D1) ^ 2) + 21.42 * D1: DIZ3(1, 1) = EKOMB41
IF C$ = "A" AND K = 2 THEN EKOMB42 = 2 * SQR((C - 2 * D2) ^ 2 + D2 ^ 2) + SQR((C - D2) ^ 2 + (N42 *
W - 3 * D2) ^ 2) + 21.42 * D2: DIZ3(1, 2) = EKOMB42
IF C$ = "K" AND K = 2 THEN EKOMB42 = SQR((C - 2 * D2) ^ 2 + D ^ 2) + SQR((C - 2 * D2) ^ 2 + 16 * D2
^ 2) + SQR((C - D2) ^ 2 + (N42 * W - 3 * D2) ^ 2) + 25.56 * D2: DIZ3(1, 2) = EKOMB42
IF C$ = "A" AND K = 3 THEN EKOMB43 = 2 * SQR((C - 2 * D3) ^ 2 + D3 ^ 2) + SQR((C - D3) ^ 2 + (N43 *
W - 3 * D3) ^ 2) + 29.26 * D3: DIZ3(1, 3) = EKOMB43
IF C$ = "K" AND K = 3 THEN EKOMB43 = SQR((C - 2 * D3) ^ 2 + D ^ 2) + SQR((C - 2 * D3) ^ 2 + 16 * D3
^ 2) + SQR((C - D) ^ 2 + (N43 * W - 3 * D3) ^ 2) + 30.84 * D3: DIZ3(1, 3) = EKOMB43
IF C$ = "A" AND K = 4 THEN EKOMB44 = 2 * SQR((C - 2 * D4) ^ 2 + D4 ^ 2) + SQR((C - D4) ^ 2 + (N44 *
W - 3 * D4) ^ 2) + 30.26 * D4: DIZ3(1, 4) = EKOMB44
IF C$ = "K" AND K = 4 THEN EKOMB44 = SQR((C - 2 * D4) ^ 2 + D ^ 2) + SQR((C - 2 * D4) ^ 2 + 16 * D4
^ 2) + SQR((C - D) ^ 2 + (N44 * W - 3 * D4) ^ 2) + 31.84 * D4: DIZ3(1, 4) = EKOMB44
NEXT K
CALL AKTAR(R, L, DIZ1(), DIZ2(), DIZ3(), DIZ4(), DEN1, DEN2, DEN3, DEN4, EN, E, S, PR$)
RETURN
6000 CLS
LINE (160, 35)-(400, 60), 14, B
LINE (161, 36)-(398, 59), 14, B
LINE (162, 37)-(397, 58), 14, B
LINE (160, 80)-(400, 100), 14, B
LINE (162, 82)-(398, 98), 14, B
LINE (160, 108)-(400, 128), 14, B
LINE (162, 110)-(398, 126), 14, B
LINE (160, 135)-(400, 156), 14, B
LINE (162, 137)-(398, 154), 14, B
LINE (160, 163)-(400, 185), 14, B
LINE (162, 165)-(398, 183), 14, B

LOCATE 4, 24: PRINT "DORT RAY ZIT YATIRIM"
LOCATE 7, 22: PRINT "[1]- Dört ray kapali ilmek"
LOCATE 9, 22: PRINT "[2]- Dört ray acik ilmek"
LOCATE 11, 22: PRINT "[3]- Dört ray kap. acik komb"
LOCATE 13, 22: PRINT "[4]- cikis"
DO
I3$ = INKEY$
LOCATE 15, 22: PRINT "SECIMINIZ"
IF I3$ = "1" THEN CALL GIRIS4(N41, N42, N43, N44, W, C, EN, D1, D2, D3, D4, DEN1, DEN2, DEN3,
DEN4, E, S, PR$): GOSUB 6100: GOTO 6000
IF I3$ = "2" THEN CALL GIRIS4(N41, N42, N43, N44, W, C, EN, D1, D2, D3, D4, DEN1, DEN2, DEN3,
DEN4, E, S, PR$): GOSUB 6200: GOTO 6000
IF I3$ = "3" THEN CALL GIRIS4(N41, N42, N43, N44, W, C, EN, D1, D2, D3, D4, DEN1, DEN2, DEN3,
DEN4, E, S, PR$): GOSUB 6300: GOTO 6000
IF I3$ = "4" THEN RETURN
LOOP

```

6100
 $ZOOOAK1 = SQR((C - 2 * D)^2 + D^2) + SQR((C - 2 * D)^2 + 16 * D^2) + SQR((C - D)^2 + (N41 * W - 3 * D1)^2) + 21.42 * D1; DIZ3(1, 1) = ZOOOAK1$
 $ZOOOAK2 = SQR((C - 2 * D)^2 + 2 * D^2) + SQR((25 / 64) * (C - 2 * D2)^2 + 5.25 * D2^2) + SQR((9 / 64) * (C - 2 * D2)^2 + 3.25 * D1)^2 + SQR((C - D)^2 + (N42 * W - 3 * D2)^2) + 21.42 * D2; DIZ3(1, 2) = ZOOOAK2$
 $ZOOOAK3 = SQR((C - 2 * D3)^2 + D3^2) + SQR((C - 2 * D3)^2 + 16 * D3^2) + SQR((C - D3)^2 + (N43 * W - 3 * D3)^2) + 25.56 * D3; DIZ3(1, 3) = ZOOOAK3$
 $ZOOOAK4 = SQR((C - 2 * D4)^2 + 2 * D4^2) + SQR((25 / 64) * (C - 2 * D4)^2 + 5.25 * D4^2) + SQR((9 / 64) * (C - D4)^2 + 3.25 * D4^2) + SQR((C - D4)^2 + (N44 * W - 3 * D4)^2) + 21.42 * D4; DIZ3(1, 4) = ZOOOAK4$
 CALL AKTAR(R, L, DIZ1(), DIZ2(), DIZ3(), DIZ4(), DEN1, DEN2, DEN3, DEN4, EN, E, S, PR\$)
 RETURN
 6200
 $ZOOOAA1 = 2 * SQR((C - 2 * D1)^2 + D1^2) + SQR((C - D1)^2 + (N41 * W - (D1 + D2 + D3 + D4))^2) + 20.42 * D1; DIZ3(1, 1) = ZOOOAA1$
 $ZOOOAA2 = 2 * SQR((C - 2 * D2)^2 + D2^2) + SQR((C - D2)^2 + (N42 * W - (D1 + D2 + D3 + D4))^2) + 21.42 * D2; DIZ3(1, 2) = ZOOOAA2$
 $ZOOOAA3 = 2 * SQR((C - 2 * D3)^2 + D3^2) + SQR((C - D3)^2 + (N43 * W - (D1 + D2 + D3 + D4))^2) + 29.25 * D3; DIZ3(1, 3) = ZOOOAA3$
 $ZOOOAA4 = 2 * SQR((C - 2 * D4)^2 + D4^2) + SQR((C - D4)^2 + (N44 * W - (D1 + D2 + D3 + D4))^2) + 30.26 * D4; DIZ3(1, 4) = ZOOOAA4$
 CALL AKTAR(R, L, DIZ1(), DIZ2(), DIZ3(), DIZ4(), DEN1, DEN2, DEN3, DEN4, EN, E, S, PR\$)
 RETURN
 6300
 CLS
 LOCATE 5, 5: PRINT "RAY SIRASINA GORE ILMEK TIPINI GIRINIZ (Acik/Kapali):"
 LOCATE 5, 60: INPUT SECIM\$
 FOR K = 1 TO 4
 C\$ = MID\$(SECIM\$, K, 1)
 IF C\$ = "A" AND K = 1 THEN ZKOMB1 = 2 * SQR((C - 2 * D1)^2 + D1^2) + SQR((C - D1)^2 + (N41 * W - (D1 + D2 + D3 + D4))^2) + 20.42 * D1; DIZ3(1, 1) = ZKOMB1
 IF C\$ = "K" AND K = 1 THEN ZKOMB1 = SQR((C - 2 * D)^2 + D^2) + SQR((C - 2 * D)^2 + 16 * D^2) + SQR((C - D)^2 + (N41 * W - 3 * D1)^2) + 21.42 * D1; DIZ3(1, 1) = ZKOMB1
 IF C\$ = "A" AND K = 2 THEN ZKOMB2 = 2 * SQR((C - 2 * D2)^2 + D2^2) + SQR((C - D2)^2 + (N42 * W - (D1 + D2 + D3 + D4))^2) + 21.42 * D2; DIZ3(1, 2) = ZKOMB2
 IF C\$ = "K" AND K = 2 THEN ZKOMB2 = SQR((C - 2 * D)^2 + 2 * D^2) + SQR((25 / 64) * (C - 2 * D2)^2 + 5.25 * D2^2) + SQR((9 / 64) * (C - 2 * D2)^2 + 3.25 * D1)^2 + SQR((C - D)^2 + (N42 * W - 3 * D2)^2) + 21.42 * D2; DIZ3(1, 2) = ZKOMB2
 IF C\$ = "A" AND K = 3 THEN ZKOMB3 = 2 * SQR((C - 2 * D3)^2 + D3^2) + SQR((C - D3)^2 + (N43 * W - (D1 + D2 + D3 + D4))^2) + 29.25 * D3; DIZ3(1, 3) = ZKOMB3
 IF C\$ = "K" AND K = 3 THEN ZKOMB3 = SQR((C - 2 * D3)^2 + D3^2) + SQR((C - 2 * D3)^2 + 16 * D3^2) + SQR((C - D3)^2 + (N43 * W - 3 * D3)^2) + 25.56 * D3; DIZ3(1, 3) = ZKOMB3
 IF C\$ = "A" AND K = 4 THEN ZKOMB4 = 2 * SQR((C - 2 * D4)^2 + D4^2) + SQR((C - D4)^2 + (N44 * W - 3 * D4)^2) + 30.26 * D4; DIZ3(1, 4) = ZKOMB4
 IF C\$ = "K" AND K = 4 THEN ZKOMB4 = SQR((C - 2 * D4)^2 + 2 * D4^2) + SQR((25 / 64) * (C - 2 * D4)^2 + 5.25 * D4^2) + SQR((9 / 64) * (C - D4)^2 + 3.25 * D4^2) + SQR((C - D4)^2 + (N44 * W - 3 * D4)^2) + 21.42 * D4; DIZ3(1, 4) = ZKOMB4
 NEXT K
 CALL AKTAR(R, L, DIZ1(), DIZ2(), DIZ3(), DIZ4(), DEN1, DEN2, DEN3, DEN4, EN, E, S, PR\$)
 RETURN
 RETURN
 END SUB

SUB GIRIS2 (D2, N1, NZ, W, C, EN, D1, DEN1, DEN2, E, S, PR\$)
 CLS

LOCATE 5, 25: PRINT "1. RAY IPLIK NUMARASI (Denye):"
 LOCATE 6, 25: PRINT "2. RAY IPLIK NUMARASI (Denye):"

```

LOCATE 7, 25: PRINT "CALEMMA ENI (Cm)      :"
LOCATE 8, 25: PRINT "MAKINA INCELIGI (igne/Inc) :"
LOCATE 9, 25: PRINT "ILMEK SIRA SIKLIGI (Sira/Cm) :"
LOCATE 10, 25: PRINT "ON YAT. RAYI YAT. MESAFESI :"
LOCATE 11, 25: PRINT "ARKA YAT. RAYI YAT. MESAFESI :"
LOCATE 5, 58: INPUT DEN1
LOCATE 6, 58: INPUT DEN2
LOCATE 7, 58: INPUT EN
LOCATE 8, 58: INPUT E
LOCATE 9, 58: INPUT S
LOCATE 10, 58: INPUT N1
LOCATE 11, 58: INPUT N2
D1 = .00102 * SQR(DEN1)
D2 = .00102 * SQR(DEN2)
C = 1 / 8
AR = 2.54 / (1.7 * E)
CEK = 100 * (1 - E * (AR + 2 * (D1 + D2)) / 2.54)
W = 1 / ((E * 100) / (2.54 * (100 - CEK)))
CALL IKIKAL(R, D1, N1, N2, W, C, EN, D2, DIZ1(), DEN1, DEN2, E, S, A(), B(), B1(), B2(), PR$)
END SUB

SUB GIRIS3 (N21, N22, N23, W, C, EN, D1, D2, D3, DEN1, DEN2, DEN3, E, S, PR$)
CLS
LOCATE 5, 25: PRINT "1. RAY IPLIK NUMARASI (Denye) :"
LOCATE 6, 25: PRINT "2. RAY IPLIK NUMARASI (Denye) :"
LOCATE 7, 25: PRINT "3. RAY IPLIK NUMARASI (Denye) :"
LOCATE 8, 25: PRINT "CALEMMA ENI (Cm)      :"
LOCATE 9, 25: PRINT "MAKINA INCELIGI (igne/Inc) :"
LOCATE 10, 25: PRINT "ILMEK SIRA SIKLIGI (Sira/Cm) :"
LOCATE 11, 25: PRINT "ON YAT. RAYI YAT. MESAFESI :"
LOCATE 12, 25: PRINT "ORTA YAT. RAYI YAT. MESAFESI :"
LOCATE 13, 25: PRINT "ARKA YAT. RAYI YAT. MESAFESI :"
LOCATE 5, 58: INPUT DEN1
LOCATE 6, 58: INPUT DEN2
LOCATE 7, 58: INPUT DEN3
LOCATE 8, 58: INPUT EN
LOCATE 9, 58: INPUT E
LOCATE 10, 58: INPUT S
LOCATE 11, 58: INPUT N21
LOCATE 12, 58: INPUT N22
LOCATE 13, 58: INPUT N23
D1 = .00102 * SQR(DEN1)
D2 = .00102 * SQR(DEN2)
D3 = .00102 * SQR(DEN3)
C = 1 / 8
AR = 2.54 / (1.7 * E)
CEK = 100 * (1 - E * (AR + 1.425 * (D1 + D2 + D3)) / 2.54)
W = 1 / ((E * 100) / (2.54 * (100 - CEK)))
CALL UCKAL(R, D1, N21, N22, N23, W, C, EN, D2, DIZ1(), DEN1, DEN2, DEN3, E, S, A(), B(), B1(), B2(), PR$)
END SUB

SUB GIRIS4 (N41, N42, N43, N44, W, C, EN, D1, D2, D3, D4, DEN1, DEN2, DEN3, DEN4, E, S, PR$)
CLS
LOCATE 5, 25: PRINT "1. RAY IPLIK NUMARASI (Denye) :"
LOCATE 6, 25: PRINT "2. RAY IPLIK NUMARASI (Denye) :"
LOCATE 7, 25: PRINT "3. RAY IPLIK NUMARASI (Denye) :"
LOCATE 8, 25: PRINT "4. RAY IPLIK NUMARASI (Denye) :"

```

```

LOCATE 9, 25: PRINT "CALISMA ENI (Cm)      :"
LOCATE 10, 25: PRINT "MAKINA INCELICI (gme/Inc)   :"
LOCATE 11, 25: PRINT "ILMEK SIRA SIKLIGI (Sira/Cm)  :"
LOCATE 12, 25: PRINT "ON YAT. RAYI YAT. MESAFESI  :"
LOCATE 13, 25: PRINT "2. YAT. RAYI YAT. MESAFESI  :"
LOCATE 14, 25: PRINT "3. YAT. RAYI YAT. MESAFESI  :"
LOCATE 15, 25: PRINT "4. YAT. RAYI YAT. MESAFESI  :"
LOCATE 5, 58: INPUT DEN1
LOCATE 6, 58: INPUT DEN2
LOCATE 7, 58: INPUT DEN3
LOCATE 8, 58: INPUT DEN4
LOCATE 9, 58: INPUT EN
LOCATE 10, 58: INPUT E
LOCATE 11, 58: INPUT S
LOCATE 12, 58: INPUT N41
LOCATE 13, 58: INPUT N42
LOCATE 14, 58: INPUT N43
LOCATE 15, 58: INPUT N44
D1 = .00102 * SQR(DEN1)
D2 = .00102 * SQR(DEN2)
D3 = .00102 * SQR(DEN3)
D4 = .00102 * SQR(DEN4)
C = 1 / S
AR = 2.54 / (1.7 * E)
CEK = 100 * (1 - E * (AR + 1.125 * (D1 + D2 + D3 + D4)) / 2.54)
W = 1 / ((E * 100) / (2.54 * (100 - CEK)))
CALL DORTKAL(R, D1, D3, D4, N41, N42, N43, N44, W, C, EN, D2, DIZ1(), DEN1, DEN2, DEN3, DEN4,
          E, S, AQ, BO, B1(), B2(), PR$)
END SUB

SUB IKIKAL (R, D1, N1, N2, W, C, EN, D2, DIZ1(), DEN1, DEN2, E, S, AQ, BO, B1(), B2(), PR$)
CLS
R = 2
PI = 22 / 7
FOR H = 1 TO 91
FOR Z = 1 TO 21
X = ((100 - Z) / 100) * COS(H * PI / 180) * 10 * (D1 + D2)
Y = ((100 - Z) / 100) * SIN(H * PI / 180) * 10 * (D1 + D2)
IF DEN1 > DEN2 THEN
A(H, Z) = 2 * ((100 - Z) / 100) * 10 * D1 + X
END IF
IF DEN2 > DEN1 THEN
A(H, Z) = 2 * ((100 - Z) / 100) * 10 * D2 + X
END IF
IF DEN2 = DEN1 THEN
A(H, Z) = 2 * ((100 - Z) / 100) * 10 * D2 + X
END IF
NEXT Z
NEXT H
CALL CEZIM1(R, D1, N1, N2, W, C, EN, D2, DIZ1(), DEN1, DEN2, E, S, AQ, BO, B1(), B2(), PR$)
CLS
END SUB

SUB IKIRAY (R, D2, N1, N2, W, C, EN, D1, DIZ1(), DEN1, DEN2, E, S, PR$)
10 CLS
R = 2
LINE (160, 35)-(380, 60), 14, B
LINE (161, 36)-(378, 59), 14, B

```

```

LINE (162, 37)-(377, 58), 14, B
LINE (160, 80)-(380, 100), 14, B
LINE (162, 82)-(378, 98), 14, B
LINE (160, 108)-(380, 128), 14, B
LINE (162, 110)-(378, 126), 14, B
LINE (160, 135)-(380, 156), 14, B
LINE (162, 137)-(378, 154), 14, B
LOCATE 4, 23: PRINT "IKI YATIRIM RAYI MENUSU"
LOCATE 7, 25: PRINT "[1]- ES YATIRIM"
LOCATE 9, 25: PRINT "[2]- ZIT YATIRIM"
LOCATE 11, 25: PRINT "[3]- CIKIS"
DO
I1$ = INKEY$
LOCATE 13, 25: PRINT "SECIMINIZ"
IF I1$ = "1" THEN GO SUB 1000: GOTO 10
IF I1$ = "2" THEN GO SUB 2000: GOTO 10
IF I1$ = "3" THEN EXIT SUB
LOOP
1000 CLS
LINE (160, 35)-(400, 60), 14, B
LINE (161, 36)-(398, 59), 14, B
LINE (162, 37)-(397, 58), 14, B
LINE (160, 50)-(400, 100), 14, B
LINE (162, 82)-(398, 98), 14, B
LINE (160, 108)-(400, 128), 14, B
LINE (162, 110)-(398, 126), 14, B
LINE (160, 135)-(400, 156), 14, B
LINE (162, 137)-(398, 154), 14, B
LINE (160, 163)-(400, 185), 14, B
LINE (162, 165)-(398, 183), 14, B
LOCATE 4, 22: PRINT "IKI YATIRIM RAYI ES YATIRIM"
LOCATE 7, 22: PRINT "1- On ve Arka ray kapali"
LOCATE 9, 22: PRINT "2- On ve Arka ray acik"
LOCATE 11, 22: PRINT "3- On ray kap. Arka ray acik"
LOCATE 13, 22: PRINT "4- cikis"
DO
I2$ = INKEY$
LOCATE 15, 22: PRINT "SECIMINIZ"
IF I2$ = "1" THEN CALL GIRIS2(D2, N1, NZ, W, C, EN, D1, DEN1, DEN2, E, S, PR$): GOSUB 1100: GOTO 1000
IF I2$ = "2" THEN CALL GIRIS2(D2, N1, NZ, W, C, EN, D1, DEN1, DEN2, E, S, PR$): GOSUB 1200: GOTO 1000
IF I2$ = "3" THEN CALL GIRIS2(D2, N1, NZ, W, C, EN, D1, DEN1, DEN2, E, S, PR$): GOSUB 1300: GOTO 1000
IF I2$ = "4" THEN RETURN
LOOP
1100 CLS
EOAK1 = SQR((C - D1) ^ 2 + (N1 * W - 3 * D1) ^ 2) + SQR((C - 2 * D1 ^ 2) + D1 ^ 2) + SQR((C - 2 * D1 ^
2) + 4 * D1 ^ 2) + 15.4 * D1: DIZ1(1, 1) = EOAK1
EOAK2 = SQR((C - D2) ^ 2 + (N2 * W - 3 * D2) ^ 2) + SQR((C - 2 * D2 ^ 2) + D2 ^ 2) + SQR((C - 2 * D2 ^
2) + 4 * D2 ^ 2) + 18.14 * D2: DIZ1(1, 2) = EOAK2
UZ21 = EOAK1
UZ22 = EOAK2
PR$ = "EONARKAP"
CALL AKTAR(R, L, DIZ1(), DIZ2(), DIZ3(), DIZ4(), DEN1, DEN2, DEN3, DEN4, EN, E, S, PR$)
RETURN
1200: EOAA1 = SQR((C - D1) ^ 2 + (N1 * W - 3 * D1) ^ 2) + 2 * SQR((C - 2 * D1 ^ 2) + D1 ^ 2) + 11.28 *
D1: DIZ1(1, 1) = EOAA1

```

```

EOAA2 = SQR((C - D2) ^ 2 + (N2 * W - 3 * D2) ^ 2) + 2 * SQR((C - 2 * D2 ^ 2) + D2 ^ 2) + 14.42 * D2:
DIZ1(1, 2) = EOAA2
UZ21 = EOAA1
UZ22 = EOAA2
PR$ = "EONARAC"
CALL AKTAR(R, L, DIZ1(), DIZ2(), DIZ3(), DIZ4(), DEN1, DEN2, DEN3, DEN4, EN, E, S, PR$)
RETURN
1300
EOKAA1 = SQR((C - D1) ^ 2 + (N1 * W - 3 * D1) ^ 2) + SQR((C - 2 * D1 ^ 2) + D1 ^ 2) + SQR((C - 2 * D1
^ 2) + 4 * D1 ^ 2) + 15.4 * D1: DIZ1(1, 1) = EOKAA1
EOKAA2 = SQR((C - D2) ^ 2 + (N2 * W - 3 * D2) ^ 2) + 2 * SQR((C - 2 * D2 ^ 2) + 2 * D2 ^ 2) + 13.85 *
D2: DIZ1(1, 2) = EOKAA2
UZ21 = EOKAA1
UZ22 = EOKAA2
PR$ = "EONKAPARAC"
CALL AKTAR(R, L, DIZ1(), DIZ2(), DIZ3(), DIZ4(), DEN1, DEN2, DEN3, DEN4, EN, E, S, PR$)
RETURN
2000 CLS
LINE (160, 35)-(420, 60), 14, B
LINE (161, 36)-(418, 59), 14, B
LINE (162, 37)-(417, 58), 14, B
LINE (160, 80)-(420, 100), 14, B
LINE (162, 82)-(418, 98), 14, B
LINE (160, 108)-(420, 128), 14, B
LINE (162, 110)-(418, 126), 14, B
LINE (160, 135)-(420, 156), 14, B
LINE (162, 137)-(418, 154), 14, B
LINE (160, 163)-(420, 185), 14, B
LINE (162, 165)-(418, 183), 14, B
LOCATE 4, 23: PRINT "IKI YATIRIM RAYI ZIT YATIRIM"
LOCATE 7, 22: PRINT "[1]- On ve Arka ray kap. ilmek"
LOCATE 9, 22: PRINT "[2]- On ve Arka ray acik ilmek"
LOCATE 11, 22: PRINT "[3]- On ray kap. Arka ray acik"
LOCATE 13, 22: PRINT "[4]- cikis"
DO
I3$ = INKEY$
LOCATE 15, 23: PRINT "SECEMINIZ"
IF I3$ = "1" THEN CALL GIRIS2(D2, N1, N2, W, C, EN, D1, DEN1, DEN2, E, S, PR$): GOSUB 2100: GOTO
2000
IF I3$ = "2" THEN CALL GIRIS2(D2, N1, N2, W, C, EN, D1, DEN1, DEN2, E, S, PR$): GOSUB 2200: GOTO
2000
IF I3$ = "3" THEN CALL GIRIS2(D2, N1, N2, W, C, EN, D1, DEN1, DEN2, E, S, PR$): GOSUB 2300: GOTO
2000
IF I3$ = "4" THEN RETURN
LOOP
2100
ZOAK1 = SQR((C - D1) ^ 2 + (N1 * W - 3 * D1) ^ 2) + SQR((C - 2 * D1 ^ 2) + D1 ^ 2) + SQR((C - 2 * D1 ^
2) + 4 * D1 ^ 2) + 15.4 * D1: DIZ1(1, 1) = ZOAK1
ZOAK2 = SQR((C - D2) ^ 2 + (N2 * W - 3 * D2) ^ 2) + SQR((C - 2 * D2 ^ 2) + 2 * D2 ^ 2) + SQR((C - 2 *
D2 ^ 2) + 4 * D2 ^ 2) + 16.42 * D2: DIZ1(1, 2) = ZOAK2
UZ21 = ZOAK1
UZ22 = ZOAK2
PR$ = "ZONARKAP"
CALL AKTAR(R, L, DIZ1(), DIZ2(), DIZ3(), DIZ4(), DEN1, DEN2, DEN3, DEN4, EN, E, S, PR$)
RETURN
2200
ZOAA1 = SQR((C - D1) ^ 2 + (N1 * W - 3 * D1) ^ 2) + 2 * SQR((C - 2 * D1 ^ 2) + D1 ^ 2) + 11.28 * D1:
DIZ1(1, 1) = ZOAA1

```

```

ZOAA2 = SQR((C - D2) ^ 2 + (N2 * W - 3 * D2) ^ 2) + 2 * SQR((C - 2 * D2 ^ 2) + D2 ^ 2) + 14.42 * D2;
DIZ1(1, 2) = ZOAA2
UZ21 = ZOAA1
UZ22 = ZOAA2
PR$ = "ZONARAC"
CALL AKTAR(R, L, DIZ1(), DIZ2(), DIZ3(), DIZ4(), DEN1, DEN2, DEN3, DEN4, EN, E, S, PR$)
RETURN
2300
ZOKAA1 = SQR((C - D1) ^ 2 + (N1 * W - 3 * D1) ^ 2) + SQR((C - 2 * D1 ^ 2) + D1 ^ 2) + SQR((C - 2 * D1
    ^ 2) + 4 * D1 ^ 2) + 15.4 * D1; DIZ1(1, 1) = ZOKAA1
ZOKAA2 = SQR((C - D2) ^ 2 + (N2 * W - 3 * D2) ^ 2) + 2 * SQR((C - 2 * D2 ^ 2) + 2 * D2 ^ 2) + 13.85 *
    D2; DIZ1(1, 2) = ZOKAA2
UZ21 = ZOKAA1
UZ22 = ZOKAA2
PR$ = "ZONKAPARAC"
CALL AKTAR(R, L, DIZ1(), DIZ2(), DIZ3(), DIZ4(), DEN1, DEN2, DEN3, DEN4, EN, E, S, PR$)
RETURN
RETURN
END SUB

SUB KALIN (R, D1, N1, N2, W, C, EN, D2, DIZ1(), DEN1, DEN2, E, S, A(), B(), B1(), B2(), PR$)
CALL CIZIM2(R, D1, N1, N2, W, C, EN, D2, DIZ1(), DEN1, DEN2, E, S, A(), B(), B1(), B2(), PR$)
END SUB

SUB ORTME2 (R, D1, N1, N2, W, C, EN, D2, DIZ1(), DEN1, DEN2, E, S, ORT1(), UZ21, UZ22, B(), PR$)
CLS
PI = 3.141592653589793
MCS = 100 * (1 + CEK / 100) * E / 2.54
SIRA = S * 100
ILSAY = MCS * SIRA
R1HI = UZ21 * ILSAY
R2HI = UZ22 * ILSAY
MKARG = (R1HI * DEN1 + R2HI * DEN2) / 9000000
R1IAL = R1HI * D1
R2IAL = R2HI * D2
TOPLAMAL = R1IAL + R2IAL
FOR T = 1 TO 91
FOR H = 1 TO 21
KHACIM = B(T, H) * 1000
MKAREYOG = MKARG / KHACIM
ORT1(T, H) = 10 * MKAREYOG
NEXT H
NEXT T
PRINT TOPLAMAL; "CM 2", ORT1(1, 1), ORT1(91, 21)
IF PR$ = "EONARKAP" THEN
    UZUNLUK1 = (SQR((C - D1) ^ 2 + (N1 * W - 3 * D1) ^ 2) + SQR((C - 2 * D1 ^ 2) + D1 ^ 2) + SQR((C - 2 *
        D1 ^ 2) + 4 * D1 ^ 2) + 15.4 * D1) * D1 - ((6.14 * D1 ^ 2)) + (D1 ^ 2) - N1 * (D1 ^ 2)
    UZUNLUK2 = (SQR((C - D2) ^ 2 + (N2 * W - 3 * D2) ^ 2) + SQR((C - 2 * D2 ^ 2) + D2 ^ 2) + SQR((C - 2 *
        D2 ^ 2) + 4 * D2 ^ 2) + 18.14 * D2) * D2 - (9.28 * D2 ^ 2) + D2 ^ 2 - N2 * (D2 ^ 2)
END IF
IF PR$ = "EONARAC" OR PR$ = "ZONARAC" THEN
    UZUNLUK1 = (SQR((C - D1) ^ 2 + (N1 * W - 3 * D1) ^ 2) + 2 * SQR((C - 2 * D1 ^ 2) + D1 ^ 2) + 11.28 *
        D1) * (D1) - (6.14 * D1 ^ 2) + D1 ^ 2 - N1 * D1 ^ 2
    UZUNLUK2 = (SQR((C - D2) ^ 2 + (N2 * W - 3 * D2) ^ 2) + 2 * SQR((C - 2 * D2 ^ 2) + D2 ^ 2) + 14.42 *
        D2) * (D2) - (6.14 * D2 ^ 2) + D2 ^ 2 - N2 * D2 ^ 2
END IF; IF PR$ = "EONKAPARAC" THEN
    UZUNLUK1 = (SQR((C - D1) ^ 2 + (N1 * W - 3 * D1) ^ 2) + SQR((C - 2 * D1 ^ 2) + D1 ^ 2) + SQR((C - 2 *
        D1 ^ 2) + 4 * D1 ^ 2) + 15.4 * D1) * (D1) - (6.14 * D1 ^ 2) + D1 ^ 2 - N1 * (D1 ^ 2)

```

```

UZUNLUK2 = (SQR((C - D2) ^ 2 + (N2 * W - 3 * D2) ^ 2) + 2 * SQR((C - 2 * D2 ^ 2) + 2 * D2 ^ 2) + 13.85 *
*D2) * (D2) - (6.14 * D2 ^ 2) + D2 ^ 2 - N2 * (D2 ^ 2)
END IF
IF PR$ = "ZONARKAP" THEN
UZUNLUK1 = (SQR((C - D1) ^ 2 + (N1 * W - 3 * D1) ^ 2) + SQR((C - 2 * D1 ^ 2) + D1 ^ 2) + SQR((C - 2 *
D1 ^ 2) + 4 * D1 ^ 2) + 15.4 * D1) * (D1) - (6.14 * D1 ^ 2) + (D1 ^ 2) - N1 * (D1 ^ 2)
UZUNLUK2 = (SQR((C - D2) ^ 2 + (N2 * W - 3 * D2) ^ 2) + SQR((C - 2 * D2 ^ 2) + 2 * D2 ^ 2) + SQR((C -
2 * D2 ^ 2) + 4 * D2 ^ 2) + 16.42 * D2) * (D2) - (9.28 * D2 ^ 2) + D2 ^ 2 - N2 * (D2 ^ 2)
END IF
IF PR$ = "ZONKAPARAC" THEN
UZUNLUK1 = (SQR((C - D1) ^ 2 + (N1 * W - 3 * D1) ^ 2) + SQR((C - 2 * D1 ^ 2) + D1 ^ 2) + SQR((C - 2 *
D1 ^ 2) + 4 * D1 ^ 2) + 15.4 * D1) * (D1) - (6.14 * D1 ^ 2) + (D1 ^ 2) - N1 * (D1 ^ 2)
UZUNLUK2 = (SQR((C - D2) ^ 2 + (N2 * W - 3 * D2) ^ 2) + 2 * SQR((C - 2 * D2 ^ 2) + D2 ^ 2) + 14.42 *
D2) * (D2) - (6.14 * D2 ^ 2) + D2 ^ 2 - N2 * (D2 ^ 2)
END IF
GORTAL = (UZUNLUK1 + UZUNLUK2) / 2
ORTFAK = GORTAL / (TOPLAMAL / 2)
LOCATE 5, 15: PRINT "GERCEK ORTME ALANI =", GORTAL
LOCATE 6, 15: PRINT "ORTIME FAKTORU =", ORTFAK
LOCATE 7, 15: PRINT "ORTIME FAKTORU (M 2) =", GORTAL / 10000
LOCATE 8, 15: PRINT "TOPLAM IPLIK ALANI =", TOPLAMAL / 10000; "M 2"

SLEEP 0
CALL. ORTME2CIZ(R, D1, N1, N2, W, C, EN, D2, DIZ1(), DEN1, DEN2, E, S, ORT1(), UZ21, UZ22, B(), PR$)
END SUB

SUB ORTME2CIZ (R, D1, N1, N2, W, C, EN, D2, DIZ1(), DEN1, DEN2, E, S, ORT1(), UZ21, UZ22, B(), PR$)
COLOR 0, 0
CLS
PI = 22 / 7
PL = 10: PK = 200: NS = 1: RENK = 1
FOR DEN1 = 40 TO 200 STEP 10
D1 = .00102 * SQR(DEN1)
FOR DEN2 = 40 TO 240 STEP 10
D2 = .00102 * SQR(DEN2)
IF PR$ = "EONARKAP" THEN
EOAK1 = SQR((C - D1) ^ 2 + (N1 * W - 3 * D1) ^ 2) + SQR((C - 2 * D1 ^ 2) + D1 ^ 2) + SQR((C - 2 * D1 ^
2) + 4 * D1 ^ 2) + 15.4 * D1
EOAK2 = SQR((C - D2) ^ 2 + (N2 * W - 3 * D2) ^ 2) + SQR((C - 2 * D2 ^ 2) + D2 ^ 2) + SQR((C - 2 * D2 ^
2) + 4 * D2 ^ 2) + 18.14 * D2
UZ21 = EOAK1
UZ22 = EOAK2
END IF
IF PR$ = "EONARAC" THEN
EOAA1 = SQR((C - D1) ^ 2 + (N1 * W - 3 * D1) ^ 2) + 2 * SQR((C - 2 * D1 ^ 2) + D1 ^ 2) + 11.28 * D1
EOAA2 = SQR((C - D2) ^ 2 + (N2 * W - 3 * D2) ^ 2) + 2 * SQR((C - 2 * D2 ^ 2) + D2 ^ 2) + 14.42 * D2
UZ21 = EOAA1
UZ22 = EOAA2
END IF
IF PR$ = "EONKAPARAC" THEN
EOKAA1 = SQR((C - D1) ^ 2 + (N1 * W - 3 * D1) ^ 2) + SQR((C - 2 * D1 ^ 2) + D1 ^ 2) + SQR((C - 2 * D1 ^
2) + 4 * D1 ^ 2) + 15.4 * D1
EOKAA2 = SQR((C - D2) ^ 2 + (N2 * W - 3 * D2) ^ 2) + 2 * SQR((C - 2 * D2 ^ 2) + 2 * D2 ^ 2) + 13.85 *
D2
UZ21 = EOKAA1: UZ22 = EOKAA2

```

```

END IF
IF PR$ = "ZONARKAP" THEN
  ZOAK1 = SQR((C - D1) ^ 2 + (N1 * W - 3 * D1) ^ 2) + SQR((C - 2 * D1 ^ 2) + D1 ^ 2) + SQR((C - 2 * D1 ^
  2) + 4 * D1 ^ 2) + 15.4 * D1
  ZOAK2 = SQR((C - D2) ^ 2 + (N2 * W - 3 * D2) ^ 2) + SQR((C - 2 * D2 ^ 2) + D2 ^ 2) + SQR((C - 2 *
  D2 ^ 2) + 4 * D2 ^ 2) + 16.42 * D2
  UZ21 = ZOAK1
  UZ22 = ZOAK2
END IF
IF PR$ = "ZONARAC" THEN
  ZOAA1 = SQR((C - D1) ^ 2 + (N1 * W - 3 * D1) ^ 2) + 2 * SQR((C - 2 * D1 ^ 2) + D1 ^ 2) + 11.28 * D1
  ZOAA2 = SQR((C - D2) ^ 2 + (N2 * W - 3 * D2) ^ 2) + 2 * SQR((C - 2 * D2 ^ 2) + D2 ^ 2) + 14.42 * D2
  UZ21 = ZOAA1
  UZ22 = ZOAA2
END IF
IF PR$ = "ZONKAPARAC" THEN
  ZOKAA1 = SQR((C - D1) ^ 2 + (N1 * W - 3 * D1) ^ 2) + SQR((C - 2 * D1 ^ 2) + D1 ^ 2) + SQR((C - 2 * D1
  ^ 2) + 4 * D1 ^ 2) + 15.4 * D1
  ZOKAA2 = SQR((C - D2) ^ 2 + (N2 * W - 3 * D2) ^ 2) + 2 * SQR((C - 2 * D2 ^ 2) + D2 ^ 2) + 13.85 *
  D2
  UZ21 = ZOKAA1
  UZ22 = ZOKAA2
END IF
AR = 2.54 / (1.7 * E)
CEK = 100 * (1 - E * (AR + 2 * (D1 + D2)) / 2.54)
MCS = 100 * (1 + CEK / 100) * E / 2.54
SIRA = S * 100
ILSAY = MCS * SIRA
R1HI = UZ21 * ILSAY
R2HI = UZ22 * ILSAY
MKARG = (R1HI * DEN1 + R2HI * DEN2) / 9000000
R1IAL = R1HI * D1
R2IAL = R2HI * D2
TOPLAMAL = R1IAL + R2IAL
IF PR$ = "EONARKAP" THEN
  UZUNLUK1 = (SQR((C - D1) ^ 2 + (N1 * W - 3 * D1) ^ 2) + SQR((C - 2 * D1 ^ 2) + D1 ^ 2) + SQR((C - 2 *
  D1 ^ 2) + 4 * D1 ^ 2) + 15.4 * D1) * D1 - ((6.14 * D1 ^ 2)) + (D1 ^ 2) - N1 * (D1 ^ 2)
  UZUNLUK2 = (SQR((C - D2) ^ 2 + (N2 * W - 3 * D2) ^ 2) + SQR((C - 2 * D2 ^ 2) + D2 ^ 2) + SQR((C - 2 *
  D2 ^ 2) + 4 * D2 ^ 2) + 16.14 * D2) * D2 - ((9.28 * D2 ^ 2)) + (D2 ^ 2) - N2 * (D2 ^ 2)
END IF
IF PR$ = "EONARAC" OR PR$ = "ZONARAC" THEN
  UZUNLUK1 = (SQR((C - D1) ^ 2 + (N1 * W - 3 * D1) ^ 2) + 2 * SQR((C - 2 * D1 ^ 2) + D1 ^ 2) + 11.28 *
  D1) * (D1) - ((6.14 * D1 ^ 2)) + (D1 ^ 2) - N1 * (D1 ^ 2)
  UZUNLUK2 = (SQR((C - D2) ^ 2 + (N2 * W - 3 * D2) ^ 2) + 2 * SQR((C - 2 * D2 ^ 2) + D2 ^ 2) + 14.42 *
  D2) * (D2) - ((6.14 * D2 ^ 2)) + (D2 ^ 2) - N2 * (D2 ^ 2)
END IF
IF PR$ = "EONKAPARAC" THEN
  UZUNLUK1 = (SQR((C - D1) ^ 2 + (N1 * W - 3 * D1) ^ 2) + SQR((C - 2 * D1 ^ 2) + D1 ^ 2) + SQR((C - 2 *
  D1 ^ 2) + 4 * D1 ^ 2) + 15.4 * D1) * (D1) - ((6.14 * D1 ^ 2)) + (D1 ^ 2) - N1 * (D1 ^ 2)
  UZUNLUK2 = (SQR((C - D2) ^ 2 + (N2 * W - 3 * D2) ^ 2) + 2 * SQR((C - 2 * D2 ^ 2) + D2 ^ 2) + 13.85 *
  D2) * (D2) - ((6.14 * D2 ^ 2)) + (D2 ^ 2) - N2 * (D2 ^ 2)
END IF
IF PR$ = "ZONARKAP" THEN
  UZUNLUK1 = (SQR((C - D1) ^ 2 + (N1 * W - 3 * D1) ^ 2) + SQR((C - 2 * D1 ^ 2) + D1 ^ 2) + SQR((C - 2 *
  D1 ^ 2) + 4 * D1 ^ 2) + 15.4 * D1) * (D1) - ((6.14 * D1 ^ 2)) + (D1 ^ 2) - N1 * (D1 ^ 2)
  UZUNLUK2 = (SQR((C - D2) ^ 2 + (N2 * W - 3 * D2) ^ 2) + SQR((C - 2 * D2 ^ 2) + D2 ^ 2) + SQR((C -
  2 * D2 ^ 2) + 4 * D2 ^ 2) + 16.42 * D2) * (D2) - ((9.28 * D2 ^ 2)) + (D2 ^ 2) - N2 * (D2 ^ 2)
END IF

```

```

IF PR$ = "ZONKAPARAC" THEN
  UZUNLUK1 = (SQR((C - D1) ^ 2 + (N1 * W - 3 * D1) ^ 2) + SQR((C - 2 * D1 ^ 2) + D1 ^ 2) + SQR((C - 2 *
    D1 ^ 2) + 4 * D1 ^ 2) + 15.4 * D1) * (D1) - (6.14 * D1 ^ 2) + (D1 ^ 2) * N1 * (D1 ^ 2)
  UZUNLUK2 = (SQR((C - D2) ^ 2 + (N2 * W - 3 * D2) ^ 2) + 2 * SQR((C - 2 * D2 ^ 2) + D2 ^ 2) + 14.42 *
    D2) * (D2) - (6.14 * D2 ^ 2) + D2 ^ 2 * N2 * (D2 ^ 2)
END IF
GORTAL = (UZUNLUK1 + UZUNLUK2) * IL SAY / 2
ORTFAK = GORTAL / (TOPLAMAL / 2)
LINE (PL, PK)-(PL + 2, PK - ORTFAK * 100), RENK, BF
PL = PL + 3
NEXT DEN2
RENK = RENK + 1
IF N8 MOD 7 <> 0 THEN
  N8 = N8 + 1
  PL = PL + 20
  GOTO 1245
END IF
IF N8 MOD 7 = 0 THEN
  N8 = 1
  PL = 10
  PK = PK + 100
  END IF
1245 NEXT DEN1
SLEEP 0
END SUB

```

```

SUB UCKAL (R, D1, N21, N22, N23, W, C, EN, D2, DIZ1(), DEN1, DEN2, DEN3, E, S, A(), B(), B1(), B2(), PR$)
CLS
R = 3
PI = 3.141593
CLS
CC = 1; CCC = 1
FOR H1 = 1 TO 91
  H = H1 * PI / 180
  FOR T = 1 TO 21
    T1 = 1 - (T / 100)
    B = SIN(H) * 10 * (T1 * D1 + T1 * D2) * 180 / (PI * 10 * (T1 * D2 + T1 * D3))
    C = 180 - (B + H * 180 / PI)
    IF H = 0 THEN KAL = 30 * (D1 + D2 + D3); GOTO 100
    X = (SIN(C * PI / 180) * 10 * (T1 * D2 + T1 * D3)) / (2 * SIN(H))
    KAL = X + (10 * (T1 * D1 + T1 * D3) / 2) + 20 * (T1 * D1 + T1 * D3 + T1 * D2)
    100 A(CC, CCC) = KAL
    CCC = CCC + 1
  NEXT T
  CC = CC + 1
  CCC = 1
NEXT H1
CALL CZIZM1(R, D1, N1, N2, W, C, EN, D2, DIZ1(), DEN1, DEN2, E, S, A(), B(), B1(), B2(), PR$)
END SUB

```

```

SUB UCRAY (R, N21, N22, N23, W, C, EN, D1, D2, D3, DIZ2(), DEN1, DEN2, DEN3, E, S, PR$)
11 CLS
R = 3
LINE (160, 35)-(380, 60), 14, B
LINE (161, 36)-(378, 59), 14, B
LINE (162, 37)-(377, 58), 14, B
LINE (160, 80)-(380, 100), 14, B

```

```

LINE (162, 82)-(378, 98), 14, B
LINE (160, 108)-(380, 128), 14, B
LINE (162, 110)-(378, 126), 14, B
LINE (160, 135)-(380, 156), 14, B
LINE (162, 137)-(378, 154), 14, B
LINE (160, 163)-(380, 185), 15, B
LINE (162, 165)-(378, 183), 15, B
LOCATE 4, 25: PRINT "UC YATIRIM RAYI MENUSU"
LOCATE 7, 25: PRINT "[1]- ES YATIRIM"
LOCATE 9, 25: PRINT "[2]- ZIT YATIRIM"
LOCATE 11, 25: PRINT "[3]- CIKIS"
DO
I1$ = INKEY$
LOCATE 13, 25: PRINT "SECTMINIZ"
IF I1$ = "1" THEN GOSUB 3000: GOTO 11
IF I1$ = "2" THEN GOSUB 4000: GOTO 11
IF I1$ = "3" THEN EXIT SUB
LOOP
3000 CLS
LINE (160, 35)-(380, 60), 14, B
LINE (161, 36)-(378, 59), 14, B
LINE (162, 37)-(377, 58), 14, B
LINE (160, 50)-(380, 100), 14, B
LINE (162, 82)-(378, 98), 14, B
LINE (160, 108)-(380, 128), 14, B
LINE (162, 110)-(378, 126), 14, B
LINE (160, 135)-(380, 156), 14, B
LINE (162, 137)-(378, 154), 14, B
LINE (160, 163)-(380, 185), 15, B
LINE (162, 165)-(378, 183), 15, B
LOCATE 4, 22: PRINT "UC YATIRIM RAYI ES YATIRIM"
LOCATE 7, 22: PRINT "[1]- Uc ray kapali ilmek"
LOCATE 9, 22: PRINT "[2]- Uc ray acik ilmek"
LOCATE 11, 22: PRINT "[3]- Uc ray kap. acik komb"
LOCATE 13, 22: PRINT "[4]- sikis"
DO
I2$ = INKEY$
LOCATE 15, 25: PRINT "SECTMINIZ"
IF I2$ = "1" THEN CALL GIRI3(N21, N22, N23, W, C, EN, D1, D2, D3, DEN1, DEN2, DEN3, E, S, PR$):
    GOSUB 3100: GOTO 3000
IF I2$ = "2" THEN CALL GIRI3(N21, N22, N23, W, C, EN, D1, D2, D3, DEN1, DEN2, DEN3, E, S, PR$):
    GOSUB 3200: GOTO 3000
IF I2$ = "3" THEN CALL GIRI3(N21, N22, N23, W, C, EN, D1, D2, D3, DEN1, DEN2, DEN3, E, S, PR$):
    GOSUB 3300: GOTO 3000
IF I2$ = "4" THEN RETURN
LOOP
3100
EOOAK1 = SQR((C - 2 * D1) ^ 2 + 9 * D1 ^ 2) + SQR((C - 2 * D1) ^ 2 + D1 ^ 2) + SQR((C - D1) ^ 2 + (N21
    * W - (D1 + D2 + D3)) ^ 2) + 20.56 * D1: DIZ2(1, 1) = EOOAK1
EOOAK2 = SQR((C - 2 * D2) ^ 2 + 9 * D2 ^ 2) + SQR((C - 2 * D2) ^ 2 + D2 ^ 2) + SQR((C - D2) ^ 2 + (N22
    * W - (D1 + D2 + D3)) ^ 2) + 23.7 * D2: DIZ2(1, 2) = EOOAK2
EOOAK3 = SQR((C - 2 * D3) ^ 2 + 9 * D3 ^ 2) + SQR((C - 2 * D3) ^ 2 + D3 ^ 2) + SQR((C - D3) ^ 2 + (N23
    * W - (D1 + D2 + D3)) ^ 2) + 25.157 * D3: DIZ2(1, 3) = EOOAK3
CALL AKTAR(R, L, DIZ1(), DIZ2(), DIZ3(), DIZ4(), DEN1, DEN2, DEN3, DEN4, EN, E, S, PR$)
RETURN
3200
EOOAA1 = 2 * SQR((C - 2 * D1) ^ 2 + D1 ^ 2) + SQR((C - D1) ^ 2 + (N21 * W - (D1 + D2 + D3)) ^ 2) +
    17.42 * D1: DIZ2(1, 1) = EOOAA1

```

```

EOOAA2 = 2 * SQR((C - 2 * D2) ^ 2 + D2 ^ 2) + SQR((C - D2) ^ 2 + (N22 * W - (D1 + D2 + D3)) ^ 2) +
      20.56 * D2: DIZ2(1, 2) = EOOAA2
EOOAA3 = 2 * SQR((C - 2 * D3) ^ 2 + D3 ^ 2) + SQR((C - D3) ^ 2 + (N23 * W - (D1 + D2 + D3)) ^ 2) + 22 *
      * D3: DIZ2(1, 3) = EOOAA3
CALL AKTAR(R, L, DIZ1(), DIZ2(), DIZ3(), DIZ4(), DEN1, DEN2, DEN3, DEN4, EN, E, S, PR$)
RETURN
3500
CLS
LOCATE 5, 25: PRINT "RAY SIRASINA GORE ILMEK TIPINI GIRINIZ (Acik/Kapali):"
LOCATE 5, 34: INPUT SECIM$
FOR K = 1 TO 3
  C$ = MID$(SECIM$, K, 1)
  IF C$ = "A" AND K = 1 THEN EKOMB1 = 2 * SQR((C - 2 * D1) ^ 2 + D1 ^ 2) + SQR((C - D1) ^ 2 + (N21 *
    W - (D1 + D2 + D3)) ^ 2) + 17.42 * D1: DIZ2(1, 1) = EKOMB1
  IF C$ = "K" AND K = 1 THEN EKOMB1 = SQR((C - 2 * D1) ^ 2 + 9 * D1 ^ 2) + SQR((C - 2 * D1) ^ 2 + D1
    ^ 2) + SQR((C - D1) ^ 2 + (N21 * W - (D1 + D2 + D3)) ^ 2) + 20.56 * D1: DIZ2(1, 1) = EKOMB1
  IF C$ = "A" AND K = 2 THEN EKOMB2 = 2 * SQR((C - 2 * D2) ^ 2 + D2 ^ 2) + SQR((C - D2) ^ 2 + (N22 *
    W - (D1 + D2 + D3)) ^ 2) + 20.56 * D2: DIZ2(1, 2) = EKOMB2
  IF C$ = "K" AND K = 2 THEN EKOMB2 = SQR((C - 2 * D2) ^ 2 + 9 * D2 ^ 2) + SQR((C - 2 * D2) ^ 2 + D2
    ^ 2) + SQR((C - D2) ^ 2 + (N22 * W - (D1 + D2 + D3)) ^ 2) + 23.7 * D2: DIZ2(1, 2) = EKOMB2
  IF C$ = "A" AND K = 3 THEN EKOMB3 = 2 * SQR((C - 2 * D3) ^ 2 + D3 ^ 2) + SQR((C - D3) ^ 2 + (N23 *
    W - (D1 + D2 + D3)) ^ 2) + 22 * D3: DIZ2(1, 3) = EKOMB3
  IF C$ = "K" AND K = 3 THEN EKOMB3 = SQR((C - 2 * D3) ^ 2 + 9 * D3 ^ 2) + SQR((C - 2 * D3) ^ 2 + D3
    ^ 2) + SQR((C - D3) ^ 2 + (N23 * W - (D1 + D2 + D3)) ^ 2) + 25.157 * D3: DIZ2(1, 3) = EKOMB3
NEXT K
CALL AKTAR(R, L, DIZ1(), DIZ2(), DIZ3(), DIZ4(), DEN1, DEN2, DEN3, DEN4, EN, E, S, PR$)
RETURN
4000 CLS
LINE (160, 35)-(390, 60), 14, B
LINE (161, 36)-(388, 59), 14, B
LINE (162, 37)-(387, 58), 14, B
LINE (160, 80)-(390, 100), 14, B
LINE (162, 82)-(388, 98), 14, B
LINE (160, 108)-(390, 128), 14, B
LINE (162, 110)-(388, 126), 14, B
LINE (160, 135)-(390, 156), 14, B
LINE (162, 137)-(388, 154), 14, B
LINE (160, 163)-(390, 185), 14, B
LINE (162, 165)-(388, 183), 14, B
LOCATE 4, 22: PRINT "UC YATIRIM RAYI ZIT YATIRIM"
LOCATE 7, 22: PRINT "[1]- Uc ray kapali ilmek"
LOCATE 9, 22: PRINT "[2]- Uc ray acik ilmek"
LOCATE 11, 22: PRINT "[3]- Uc ray kap. acik komb"
LOCATE 13, 22: PRINT "[4]- cikis"
DO
  I2$ = INKEY$
  LOCATE 15, 22: PRINT "SECIMINIZ"
  IF I2$ = "1" THEN CALL GIRIS3(N21, N22, N23, W, C, EN, D1, D2, D3, DEN1, DEN2, DEN3, E, S, PR$):
    GOSUB 4100: GOTO 4000
  IF I2$ = "2" THEN CALL GIRIS3(N21, N22, N23, W, C, EN, D1, D2, D3, DEN1, DEN2, DEN3, E, S, PR$):
    GOSUB 4200: GOTO 4000
  IF I2$ = "3" THEN CALL GIRIS3(N21, N22, N23, W, C, EN, D1, D2, D3, DEN1, DEN2, DEN3, E, S, PR$):
    GOSUB 4300: GOTO 4000
  IF I2$ = "4" THEN RETURN
LOOP
4100
ZOOAK1 = SQR((C - 2 * D1) ^ 2 + 9 * D1 ^ 2) + SQR((C - 2 * D1) ^ 2 + D1 ^ 2) + SQR((C - D1) ^ 2 + (N21
  * W - (D1 + D2 + D3)) ^ 2) + 20.56 * D1: DIZ2(1, 1) = ZOOAK1

```

```

ZOOAK2 = SQR((C - 2 * D2) ^ 2 + 9 * D2 ^ 2) + SQR((C - 2 * D2) ^ 2 + D2 ^ 2) + SQR((C - D2) ^ 2 + (N21
    * W - (D1 + D2 + D3)) ^ 2) + 23.7 * D2: DIZ2(1, 2) = ZOOAK2
ZOOAK3 = SQR((C - 2 * D3) ^ 2 + 9 * D3 ^ 2) + SQR((C - 2 * D3) ^ 2 + D3 ^ 2) + SQR((C - D3) ^ 2 + (N23
    * W - (D1 + D2 + D3)) ^ 2) + 25.157 * D3: DIZ2(1, 3) = ZOOAK3
CALL AKTAR(R, L, DIZ1(), DIZ2(), DIZ3(), DIZ4(), DEN1, DEN2, DEN3, DEN4, EN, E, S, PR$)
RETURN
4200
ZOOAA1 = 2 * SQR((C - 2 * D1) ^ 2 + D1 ^ 2) + SQR((C - D1) ^ 2 + (N21 * W - (D1 + D2 + D3)) ^ 2) +
    17.42 * D1: DIZ2(1, 1) = ZOOAA1
ZOOAA2 = 2 * SQR((C - 2 * D2) ^ 2 + D2 ^ 2) + SQR((C - D2) ^ 2 + (N22 * W - (D1 + D2 + D3)) ^ 2) +
    20.56 * D2: DIZ2(1, 2) = ZOOAA2
ZOOAA3 = 2 * SQR((C - 2 * D3) ^ 2 + D3 ^ 2) + SQR((C - D3) ^ 2 + (N23 * W - (D1 + D2 + D3)) ^ 2) + 22
    * D3: DIZ2(1, 3) = ZOOAA3
CALL AKTAR(R, L, DIZ1(), DIZ2(), DIZ3(), DIZ4(), DEN1, DEN2, DEN3, DEN4, EN, E, S, PR$)
RETURN
4300
CLS
LOCATE 5, 25: PRINT "RAY STRASINA GORE ILMEK TIPINI GIRINIZ (Acik/Kapali):"
LOCATE 5, 54: INPUT SECIM$
FOR K = 1 TO 3
C$ = MID$(SECIM$, K, 1)
IF C$ = "A" AND K = 1 THEN ZKOMB1 = 2 * SQR((C - 2 * D1) ^ 2 + D1 ^ 2) + SQR((C - D1) ^ 2 + (N21 *
    W - (D1 + D2 + D3)) ^ 2) + 17.42 * D1: DIZ2(1, 1) = ZKOMB1
IF C$ = "K" AND K = 1 THEN ZKOMB1 = SQR((C - 2 * D1) ^ 2 + 9 * D1 ^ 2) + SQR((C - 2 * D1) ^ 2 + D1
    ^ 2) + SQR((C - D1) ^ 2 + (N21 * W - (D1 + D2 + D3)) ^ 2) + 20.56 * D1: DIZ2(1, 1) = ZKOMB1
IF C$ = "A" AND K = 2 THEN ZKOMB2 = 2 * SQR((C - 2 * D2) ^ 2 + D2 ^ 2) + SQR((C - D2) ^ 2 + (N22 *
    W - (D1 + D2 + D3)) ^ 2) + 20.56 * D2: DIZ2(1, 2) = ZKOMB2
IF C$ = "K" AND K = 2 THEN ZKOMB2 = SQR((C - 2 * D2) ^ 2 + 9 * D2 ^ 2) + SQR((C - 2 * D2) ^ 2 + D2
    ^ 2) + SQR((C - D2) ^ 2 + (N22 * W - (D1 + D2 + D3)) ^ 2) + 23.7 * D2: DIZ2(1, 2) = ZKOMB2
IF C$ = "A" AND K = 3 THEN ZKOMB3 = 2 * SQR((C - 2 * D3) ^ 2 + D3 ^ 2) + SQR((C - D3) ^ 2 + (N23 *
    W - (D1 + D2 + D3)) ^ 2) + 22 * D3: DIZ2(1, 3) = ZKOMB3
IF C$ = "K" AND K = 3 THEN ZKOMB3 = SQR((C - 2 * D3) ^ 2 + 9 * D3 ^ 2) + SQR((C - 2 * D3) ^ 2 + D3
    ^ 2) + SQR((C - D3) ^ 2 + (N23 * W - (D1 + D2 + D3)) ^ 2) + 25.157 * D3: DIZ2(1, 3) = ZKOMB3
NEXT K: CALL AKTAR(R, L, DIZ1(), DIZ2(), DIZ3(), DIZ4(), DEN1, DEN2, DEN3, DEN4, EN, E, S, PR$)
RETURN: RETURN: END SUB

```